

3ο ΓΥΜΝΑΣΙΟ ΠΑΤΡΩΝ

Στατική Μελέτη-ΤΜΗΜΑΤΟΣ -Δ-
Σύμφωνα με τους Ευρωκώδικες.

Περιεχόμενα

1. Πρώτη σελίδα.....	1
2. Υπεύθυνη δήλωση.....	4
<i>Υπεύθυνη δήλωση Μηχανικού.....</i>	<i>4</i>
3. Παραδοχές μελέτης διαστασιολόγησης.....	5
4. Εκτίμηση φέρουσας ικανότητας εδάφους.....	7
<i>Εκτίμηση επιτρέπομενης τάσης εδάφους.....</i>	<i>7</i>
5. Τεχνική έκθεση προγράμματος - Διαστασιολόγηση.....	8
<i>Διαστασιολόγηση κτιριακού έργου.....</i>	<i>8</i>
6. Γενικοί έλεγχοι δομήματος.....	20
<i>Σεισμική ανάλυση.....</i>	<i>22</i>
7. Πίνακας κοντών υποστυλωμάτων.....	25
<i>Πίνακας Κοντών Υποστυλωμάτων.....</i>	<i>25</i>
8. Ικανοτικός σχεδιασμός υποστυλωμάτων.....	26
<i>Ικανοτικός σχεδιασμός υποστυλωμάτων.....</i>	<i>26</i>
<i>Διανομή ροπών ανακατανομής δοκών στα υποστυλώματα.....</i>	<i>26</i>
9. Πλάκες ορ. -2.....	28
10. Πλάκες ορ. -1.....	29
11. Πλάκες ορ. 0.....	30
12. Πλάκες ορ. 1.....	31
13. Πλάκες ορ. 2.....	32
14. Στοιχεία - δεδομένα κτιρίου.....	33
15. Αποτελέσματα επίλυσης.....	47
<i>Δεδομένα επίλυσης.....</i>	<i>47</i>
<i>Μετάθεση κέντρου μάζας.....</i>	<i>47</i>
<i>Πίνακας μαζών ιδιομορφών και αθροίσματα.....</i>	<i>48</i>
<i>Ιδιοπερίοδοι - Φασματικές επιταχύνσεις.....</i>	<i>48</i>
<i>Συντεταγμένες πόλου στροφής σημαντικών ιδιομορφών.....</i>	<i>49</i>
<i>Φαινόμενα 2ας τάξης.....</i>	<i>50</i>
<i>Σεισμικοί συνδυασμοί.....</i>	<i>51</i>
<i>Πιθανοτικός προσδιορισμός συνδυασμού εντατικών μεγεθών.....</i>	<i>51</i>
<i>Χωρικές επαλληλίες των σεισμικών διευθύνσεων.....</i>	<i>52</i>
16. Ξυλότυπος ορ. -2.....	53
17. Δοκοί ορ. -2.....	54
18. Ξυλότυπος ορ. -1.....	61
19. Δοκοί ορ. -1.....	62
20. Ξυλότυπος ορ. 0.....	68
21. Δοκοί ορ. 0.....	69
22. Ξυλότυπος ορ. 1.....	76
23. Δοκοί ορ. 1.....	77
24. Ξυλότυπος ορ. 2.....	83
25. Δοκοί ορ. 2.....	84
26. Υποστυλώματα ορ. -1.....	90
27. Υποστυλώματα ορ. 0.....	95

28. Υποστυλώματα ορ. 1.....	98
29. Υποστυλώματα ορ. 2.....	101
30. Συνολική προμέτρηση κτιρίου.....	104
31. Αναλυτικά αποτελέσματα υποστυλωμάτων.....	108

ΣΤΑΤΙΚΟΣ ΥΠΟΛΟΓΙΣΜΟΣ

ΥΠΕΥΘΥΝΗ ΔΗΛΩΣΗ ΤΟΥ ΜΕΛΕΤΗΤΗ ΚΑΙ ΕΠΙΒΛΕΠΟΝΤΟΣ ΜΗΧΑΝΙΚΟΥ ΤΩΝ ΣΤΑΤΙΚΩΝ ΕΡΓΩΝ

Ο υπογεγραμμένος ΑΘΗΝΑ ΑΝΤΖΟΥΛΑΤΟΥ Διπλωματούχος ΠΟΛΙΤΙΚΟΣ ΜΗΧΑΝΙΚΟΣ βάσει του νόμιμου δικαιώματος ασκήσεως επαγγέλματος κάτοικος Οδός αριθ. τηλ. Αρ. Αστυνομικής ταυτότητας και χρονολογίας εκδόσεως εκδόθείσα υπό του παρ/τος Ασφαλείας ή Υπ/τος Χωρ/κης Αστυνομικό τμήμα . Αυξών αριθμός μητρώου του Πολεοδομικού γραφείου

ΔΗΛΩΝΩ ΥΠΕΥΘΥΝΑ

Α) Για την περίπτωση φέροντος οργανισμού από οπλισμένο σκυρόδεμα:

1. Οτι κατά την σύνταξη της μελέτης, συμμορφώθηκα πλήρως προς τον Κανονισμό για την Μελέτη και Κατασκευή Εργων από Ωπλισμένο Σκυρόδεμα (ΕC 2, EN 1992), καθώς και προς τον Αντισεισμικό Κανονισμό (ΕC 8, EN 1998) με τα αντίστοιχα Εθνικά Προσαρτήματα GR για Ελλάδα ή CY για Κύπρο.
 2. Οτι αναλαμβάνω την πλήρη ευθύνη για την ακρίβεια των υπολογισμών.
 3. Οτι θα προβώ έγκαιρα στην επιμελημένη σύνταξη των σχεδίων λεπτομερειών.
 4. Οτι θα συμμορφωθώ πλήρως κατά την κατασκευή προς τις διατάξεις του Κανονισμού για την Μελέτη και Κατασκευή Εργων από Ωπλισμένο Σκυρόδεμα (ΕC 2, EN 1992).
 5. Οτι συνεχώς θα παρακολουθώ και θα ελέγχω την ορθή και ακριβή τοποθέτηση των οπλισμών, την στατική επάρκεια των ξυλοτύπων, την σύμφωνη προς τη μελέτη και από κάθε άποψη επιμελημένη διεξαγωγή των εργασιών σκυροδεπτήσεως, έχοντας πλήρη και ακέραια την ευθύνη επί πάντων των ζητημάτων τούτων.
- Β) Για την περίπτωση φέροντος οργανισμού από υλικά διαφορετικά του οπλισμένου σκυροδέματος:
1. Οτι κατά την σύνταξη της μελέτης, συμμορφώθηκα πλήρως προς τον Αντισεισμικό Κανονισμό (ΕC 8, EN 1998) με τα αντίστοιχα Εθνικά Προσαρτήματα GR για Ελλάδα ή CY για Κύπρο καθώς και τους κανονισμούς (ΕC5, EN1995), (ΕC6, EN1996) για Δομική Ξυλεία και Τοιχοποίia αντίστοιχα.
 2. Οτι αναλαμβάνω την πλήρη ευθύνη για την ακρίβεια των υπολογισμών.
 3. Οτι θα προβώ έγκαιρα στην επιμελημένη σύνταξη των σχεδίων λεπτομερειών.

Ημερομηνία
Ο ΔΗΛΩΝ

Παραδοχές Υπολογισμού

[1] Υλικά		[6] Στοιχεία αντισεισμικού σχεδιασμού	
Σκυρόδεμα	C30/37	Εθνικό προσάρτημα	GR(Ελλάς)
Χάλυβας οπλισμού	B500C	Κατηγορία πλαστιμότητας	ΚΠΜ
Κατηγορία έκθεσης	[XC3]	Σεισμική ζώνη Z2	$a_{gR} = 0,240$
Δομικός χάλυβας	S235	Σπουδαιότητα III	$a_{VgR} = 0,216$
Δομική ξυλεία	C24/11E	Κατακόρυφη συνιστώσα	$\gamma_I = 1,20$
		Τύπος φάσματος Σχεδιασμού	NAI
		Εδαφικός τύπος	1
		Ιδιοπερίοδοι φάσματος $T_B=0,15$	$S = 1,20$
		Συντ. απόσβεσης	$T_C=0,60$
		Συντελεστής τοπογραφίας	$\xi = 5,00\%$
			$S_T = 1,00$
[2] Μόνιμα φορτία		[6.1] Συντελεστής συμπεριφοράς	
Ειδικό βάρος σκυροδέματος	25.0 kN/m ³	Συντ. σεισμικής συμπεριφοράς οριζ. $a_X=3,45$	$a_Z=3,30$
Ειδικό βάρος χάλυβα	78.5 kN/m ³	Συντ. σεισμικής συμπεριφοράς κατακόρυφα	$a_V=1,50$
Δρομικής πλινθοδομής	2.1 kN/m ²	Στατικό σύστημα: (Διεύθυνση X) ΠΛΑΙΣΙΩΤΟ ΠΟΛΥΩΡΟΦΟ ΣΥΣΤΗΜΑ(ΠΟΛΛΑ ΑΝΟΙΓΜΑΤΑ)	
Μπατικής πλινθοδομής	3.6 kN/m ²	Στατικό σύστημα: (Διεύθυνση Z) ΠΛΑΙΣΙΩΤΟ ΠΟΛΥΩΡΟΦΟ ΣΥΣΤΗΜΑ(ΕΝΑ ΑΝΟΙΓΜΑ)	
Επικάλυψη πλακών γενικά	1.2 kN/m ²	Κανονικότητα σε κάτοψη Κανονικότητα καθ' ύψος	OXI X: NAI Z: NAI
Επικάλυψη κλιμάκων	2.5 kN/m ²	Βασική τιμή συντ. συμπεριφοράς	$a_{0X}=3,45$
Επικάλυψη δώματος/Στέγης	2.0 kN/m ²	Λόγος υπεραντοχής	$a_u/a_{1_X}=1,15$
Ειδικό βάρος γαιών	20.0 kN/m ³	Συντελεστής τοιχωμάτων	$a_u/a_{1_Z}=1,10$
Ειδικό βάρος Δομικής ξυλείας	3.5 kN/m ³	Αντισεισμική Ανάλυση Ανάλυση pushover	$Kw_X=1,00$ $Kw_Z=1,00$
		Συντ. μείωσης μετακινήσεων Ο.Κ.Π.Β.	$v=0,40$
		Ικανοτικός σχεδιασμός σε κάμψη	X: NAI
			Z: NAI
[3] Μεταβλητά φορτία		[7] Πρότυπα κ' Εθνικά προσαρτήματα (ΕΛΟΤ)	
Δάπεδα κατοικιών-γραφείων	2.0 kN/m ²	Βάσεις σχεδιασμού	EN1990 2002
Δάπεδα και κλιμάκ. καταστημάτων	5.0 kN/m ²	Δράσεις στους φορείς	EN1991-1 2002
Κλιμάκων κατοικίας-γραφείων	3.5 kN/m ²	Κανονισμός, Σκυροδέματος	EN1992-1 2004
Δάπεδα εξωστών	5.0 kN/m ²	Κανονισμός κατασκευών από Χάλυβα	EN1993-1 2006
Δάπεδα χώρων στάθμευσης	5.0 kN/m ²	Κανονισμός κατασκευών από τοιχοποιία	EN1996-1 2006
Δώμα / Στέγη (μη βατή)	0.5 kN/m ²	Γεωτεχνικός Σχεδιασμός	EN1997-1 2004
		Αντισεισμικός Κανονισμός	EN1998-1,5 2004
		Ανάλυση pushover	EN1998-3 2005
			KAN.ΕΠΕ ΦΕΚ2187/Β/5/9/13
[4] Συντελεστές ασφαλείας φορτίων-υλικών		[8] Προβλέψεις	
Μόνιμα φορτία	$\gamma_G=1,35$	Καθ' Ύψος	MΗΔΕΝ(0)
Μεταβλητά φορτία	$\gamma_Q=1,50$	Κατ' Επέκταση	0
Σκυροδέματος	$\gamma_C=1,50$		
Συντελεστής θλιπτικής αντοχής	$\alpha_{CC}=0,85$		
Χάλυβα οπλισμού	$\gamma_S=1,15$		
Δομικός χάλυβας	$\gamma_{M0}=1,00$		
	$\gamma_{M1}=1,00$		
	$\gamma_{M2}=1,25$		
Συντ. υπεραντοχής δομικού χάλυβα	$\gamma_{ov}=1,25$		
Δομική ξυλεία	$\gamma_M=1,50$		
Συνδυασμοί EC0 (6.10a)+(6.10b)	$\xi=0,85$		
[5] Έδαφος		[8] Προβλέψεις	
Μέθοδος υπολογισμού	Απλοποιημένη μεθ.		
Δείκτης εδάφους	$K_V=40000,00$ kN/m ³		
Επιτρεπόμενη τάση	$\sigma_{EP}=150,00$ kN/m ²		
Γωνία τριβής στη βάση θεμελίου	$\delta=30,00[^\circ]$		
Συντελεστές ασφαλείας (Ολισθηση)	Στατικά $\gamma_{Rh}=1,10$		
	Σεισμικά $\gamma_{Rh}=1,00$		
Συντελεστές ασφαλείας (Φέρουσα Ικανότητα)	Στατικά $\gamma_{RV}=1,40$		
	Σεισμικά $\gamma_{RV}=1,00$		

Φορτίσεις & Συνδυασμοί φορτίσεων στο κτίριο

Πίνακας φορτίσεων

A/A	Όνομα	Συντομογραφία
Φ1	Μόνιμα φορτία	G
Φ2	Κινητά φορτία	Q
Φ3	Κινητά Α'	QA
Φ4	Κινητά Β'	QB
Φ5	Κινητά Κ'	QC
Φ6	Κινητά Δ'	QD
Φ7	Κινητά Ε'	QE
Φ8	[G+ψ2xQ]	[G+ψ2xQ]

Συνδυασμοί δράσεων

A/A	Περιγραφή συνδυασμού	Σε περιβάλλουσα	Έλεγχος αστοχίας	Έλεγχος ρηγμάτωσης	Περιορισμός τάσεων	Έλεγχος βέλους
ΣΦ1	1.35G+1.05Q	Ναι	Ναι	Όχι	Όχι	Όχι
ΣΦ2	1.35G+1.05QA	Ναι	Ναι	Όχι	Όχι	Όχι
ΣΦ3	1.35G+1.05QB	Ναι	Ναι	Όχι	Όχι	Όχι
ΣΦ4	1.35G+1.05QC	Ναι	Ναι	Όχι	Όχι	Όχι
ΣΦ5	1.35G+1.05QD	Ναι	Ναι	Όχι	Όχι	Όχι
ΣΦ6	1.35G+1.05QE	Ναι	Ναι	Όχι	Όχι	Όχι
ΣΦ7	1.15G+1.50Q	Ναι	Ναι	Όχι	Όχι	Όχι
ΣΦ8	1.15G+1.50QA	Ναι	Ναι	Όχι	Όχι	Όχι
ΣΦ9	1.15G+1.50QB	Ναι	Ναι	Όχι	Όχι	Όχι
ΣΦ10	1.15G+1.50QC	Ναι	Ναι	Όχι	Όχι	Όχι
ΣΦ11	1.15G+1.50QD	Ναι	Ναι	Όχι	Όχι	Όχι
ΣΦ12	1.15G+1.50QE	Ναι	Ναι	Όχι	Όχι	Όχι
ΣΦ13	1.00G+1.00Q	Όχι	Όχι	Όχι	Ναι	Όχι
ΣΦ14	1.00[G+ψ2xQ]	Όχι	Όχι	Ναι	Όχι	Ναι

Σεισμικοί συνδυασμοί

A/A	O.K.A. - Συνδυασμοί των σεισμικών δράσεων
ΣΣ1	1.00*G+ψ2*Q±1.00{E[x]+E[z]+E[Y]}

ΕΡΓΟ : 3ο ΓΥΜΝΑΣΙΟ ΠΑΤΡΩΝ

ΙΔΙΟΚΤΗΤΗΣ : ΔΗΜΟΣ ΠΑΤΡΕΩΝ

ΔΙΕΥΘΥΝΣΗ :

ΕΚΤΙΜΗΣΗ ΕΠΙΤΡΕΠΟΜΕΝΗΣ ΤΑΣΗΣ ΕΔΑΦΟΥΣ

Η φέρουσα ικανότητα του εδάφους, εκτιμάται με βάση υπάρχουσα εμπειρία από παρακείμενες κατασκευές,
θεμελιωμένες σε ίσιους εδαφικούς σχηματισμούς.

Στις παρακείμενες κατασκευές που υπάρχουν, έχει ληφθεί επιτρεπόμενη τάση ίση με:

$$\sigma_E = \dots\dots\dots \text{ kPa}$$

Οι κατασκευές αυτές δεν έχουν εμφανίσει αξιόλογες υποχωρήσεις και έχουν επειδείξει καλή συμπεριφορά
σε προγενέστερες σεισμικές δράσεις.

Η φέρουσα ικανότητα του θεμελίου εκτιμάται από την παρακάτω σχέση:

$$\frac{R_{vd}}{A'} = 2 * i * \sigma_E$$

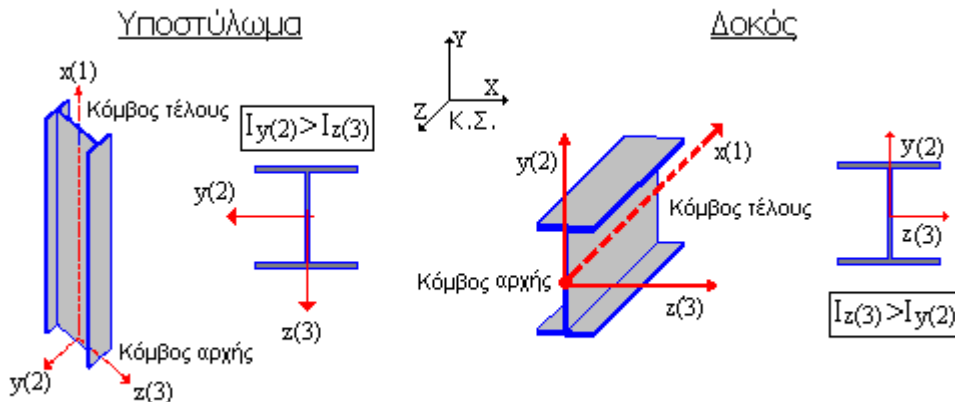
Ημερομηνία
Ο ΜΗΧΑΝΙΚΟΣ

ΤΕΧΝΙΚΗ ΕΚΘΕΣΗ ΠΡΟΓΡΑΜΜΑΤΟΣ

ΚΤΙΡΙΑΚΟ ΕΡΓΟ ΣΥΜΦΩΝΑ ΜΕ ΤΟΥΣ ΕΥΡΩΚΩΔΙΚΕΣ

• **Μέθοδοι Υπολογισμού, Γενικές Αρχές**

1. **Αξονες**



2. **Προσομοίωση Δυσκαμψίας Στοιχείων Οπλισμένου Σκυροδέματος**

Το προσομοίωμα του δομήματος είναι πλαίσιο τριών διαστάσεων, εδραζόμενο επί ελαστικού εδάφους. Κατά συνέπεια η αλληλεπίδραση εδάφους - κατασκευής εισέρχεται εξ' αρχής στους υπολογισμούς και δεν απαιτείται εκ νέου διανομή των δράσεων λόγω εκκεντροτήτων των στοιχείων θεμελίωσης.

Οι καμπτικές δυσκαμψίες των στοιχείων λαμβάνονται σύμφωνα με την §4.3.1(7) του EC8-1, δηλαδή ισες με το 1/2 της δυσκαμψίας της μη ρηγματωμένης διατομής.

Η στρεπτική δυσκαμψία των μελών λαμβάνεται ίση με το 1/10 της αντιστοιχης τιμής.

Τα στοιχεία δυσκαμψίας των μελών αναγράφονται στο κεφάλαιο «Στοιχεία - Δεδομένα κτιρίου» στους πίνακες 401.1, 402.1 για τις δοκούς και 201.1, 202.1 για τα κατακόρυφα μέλη.

3. **Προσομοίωση Μαζών**

Σημεία συγκέντρωσης μάζας ορίζονται γενικά οι κόμβοι του προσομοιώματος. Παραλείπονται οι μάζες που αντιστοιχούν σε παγιωμένους βαθμούς ελευθερίας

4. **Ελευθερίες Κίνησης***

Σε κάθε κόμβο αντιστοιχούν έξι βαθμοί ελευθερίας κίνησης, ενώ οι κόμβοι που αντιστοιχούν σε ελαστική θεμελίωση θεωρούνται εν γένει οριζόντια παγιωμένοι και έχουν τέσσερις βαθμούς ελευθερίας.

5. **Επιλύσεις Προσομοιώματος**

Οι επιλύσεις έγιναν με την ακριβή μέθοδο αντιστροφής του μητρώου ακαμψίας (κατά GAUSS) των μελών του χωρικού προσομοιώματος. Λαμβάνονται υπόψη έργα από αξονικές, τέμνουσες δυνάμεις, ροπές κάμψης και ροπές στρέψης.

6. **Σεισμική ανάλυση**

a. **Δυναμική Ανάλυση του Δομήματος, Πλήθος Ιδιομορφών**

Το δόμημα επιλύεται με την δυναμική φασματική μέθοδο σύμφωνα με την §4.3.3.1 του EC8-1. Το πλήθος των ιδιομορφών που αναλύονται έχει επιλεγεί ώστε να πληρούνται τα κριτήρια της §4.3.3.3.1(3) του EC8-1, όπως λεπτομερώς αναφέρεται στον πίνακα «Αποτελέσματα Επίλυσης - Πίνακας μαζών ανά Ιδιομορφή» της παρούσας μελέτης.

b. **Μέθοδος ανάλυσης Οριζόντιας φόρτισης - (Απλοποιημένη Φασματική ανάλυση)**

Η σεισμική ανάλυση της κατασκευής συνίσταται στην εφαρμογή οριζόντιας στατικής φόρτισης σύμφωνα με την §4.3.3.2 του EC8-1.

Η θεμελιώδης ιδιοπερίοδος ταλάντωσης T1 στις δύο οριζόντιες διευθύνσεις υπολογίζεται βάσει της μεθοδολογίας της §4.3.3.2.2(3)-(4).

Σε δομήματα με τρεις ή περισσότερους ορόφους και $T1 \leq 2*Tc$ η σεισμική δύναμη λαμβάνεται μειωμένη κατά 15%. Βλ. EC8-1 §4.3.3.2.2(1)Α

7. **Κατακόρυφη Σεισμική Διέγερση, Πρόβολοι - Φυτευτά υποστυλώματα**

Εφόσον συντρέχουν οι συνθήκες της §4.3.3.5.2(1) του EC8-1, λαμβάνεται υπόψη η κατακόρυφη συνιστώσα.

Στην περίπτωση φυτευτών υποστυλωμάτων, μεγάλους μήκους δοκών ή προβόλων ακολουθείται η ακριβής διαδικασία της φασματικής και χωρικής επαλληλίας. Ενώ κατά τον υπολογισμό των πλακών - προβόλων, η συνεισφορά της κατακόρυφης συνιστώσας λαμβάνεται υπόψη με εφαρμογή ισοδύναμης στατικής φόρτισης.

Λεπτομέρειες αναγράφονται στο κεφάλαιο «Αποτελέσματα Επίλυσης - Φασματικές επιπταχύνσεις» της παρούσας μελέτης.

• **Κανονικότητα Δομήματος**

1. **Κανονικότητα σε κάτωση**

Ελέγχονται τα κριτήρια κανονικότητας σε κάτωση της §4.2.3.2(6) του EC8-1. Στους «Γενικούς ελέγχους δομήματος» της παρούσης παρουσιάζονται για κάθε επίπεδο και σεισμική διεύθυνση, ο έλεγχος περιορισμού της στατικής εκκεντρότητας (4.1α) $\epsilon < 0.3^{\circ}r$ και ο έλεγχος στρεπτικής δυακαμψίας (4.1β) $r > ls$.

Εφόσον δεν πληρούνται τα παραπάνω κριτήρια ή τα γεωμετρικά της §4.2.3.2(2)-(5) του EC8-1, τότε το δόμημα θεωρείται **μη-κανονικό σε κάτωση** και εφόσον ο λόγος υπερντοχής **αυ/α1** δεν καθορίζεται από **μη-γραμμική στατική ανάλυση**, τότε

σύμφωνα με την §5.2.2.2(6) ή §6.3.2(4) οι προσεγγιστικές τιμές αυ/α1 της §5.2.2.2(5) ή §6.3.1(5) απομειώνονται στον μέσο όρο αυτών και του 1.00.

2. Στρεπτική δυσκαμψία

Ειδικά στην περίπτωση που δεν πληρούται η ανίσωση (4.1β) σε κάποιο επίπεδο ή σε κάποια σεισμική διεύθυνση, τότε σύμφωνα με την EC8-1 §5.2.2.1(6) το δόμημα θεωρείται στρεπτικά εύκαμπτο.

3. Κανονικότητα καθ' ύψος

Εφόσον το δόμημα προκύπτει μη κανονικό καθ' ύψος βάσει των κριτηρίων της §4.2.3.3 του EC8-1, τότε η τιμή του συντελεστή συμπεριφοράς ο λαμβάνεται μειωμένη κατά 20%, όπως αναφέρεται στην §5.2.2.2(3) ή §6.3.2(2) του EC8-1.

Βάσει της EC8-1 §4.3.6.3.2 σε πλαισιακά συστήματα ΚΠΥ από σκυρόδεμα ή χάλυβα εάν υπάρχει δραστική μείωση τοιχοπληρώσεων σε κάποιον όροφο συγκριτικά με τον υπερκείμενο (π.χ. πιλοτή), τότε τα σεισμικά εντατικά μεγέθη των υποστυλωμάτων και των τοιχωμάτων του ορόφου αυτού μεγεθύνονται με το συντελεστή

$$\eta = 1 + \frac{\Delta V_{RW}}{\Delta V_{Ed}} \leq q$$

όπου ΔV_{Ed} η σεισμική τέμνουσα του ορόφου και ΔV_{RW} η μείωση της αντοχής των τοιχοπληρώσεων σχετικά με τον υπερκείμενο όροφο

Οι συντελεστές προσαύξησης εντατικών μεγεθών -η- παρουσιάζονται για κάθε όροφο και διεύθυνση σεισμικής δράσης στο κεφάλαιο «Γενικοί έλεγχοι δομήματος» της παρούσης.

Τα σεισμικά «Εντατικά μεγέθη» όπως εμφανίζονται στον ομώνυμο πίνακα της παρούσης, ενσωματώνουν τον πολλαπλασιαστή -η-

• Τυχηματικές Στρεπτικές επιδράσεις

1. ΔΥΝΑΜΙΚΗ ΜΕ ΜΕΤΑΤΟΠΙΣΗ ΜΑΖΩΝ

Το Κέντρο Μάζας κάθε ορόφου λαμβάνεται μετατεθειμένο κατά την τυχηματική εκκεντρότητα $eai=0.05*Li$, όπου Li η κάθετη προς την εξεταζόμενη σεισμική διεύθυνση διάσταση του κτιρίου. Με τον τρόπο αυτό προκύπτουν τέσσερεις ανεξάρτητοι φορείς προς επίλυση, EC8-1 §4.3.2

2. ΔΥΝΑΜΙΚΗ ΜΕ ΣΤΡΕΠΤΙΚΑ ΖΕΥΓΗ / ΑΠΛΟΠΟΙΗΜΕΝΗ ΦΑΣΜΑΤΙΚΗ ΑΝΑΛΥΣΗ

Οι τυχηματικές στρεπτικές επιδράσεις καθορίζονται ως περιβάλλουσα των εντατικών μεγεθών εναλλασσόμενων ομόσημων στρεπτικών ζευγών ίσων με $eai*Fi$, όπου Fi είναι το οριζόντιο φορτίο του ορόφου i, όπως αυτό προκύπτει από κατανομή καθ' ύψος της τέμνουσας βάσης σύμφωνα με την EC8-1 §4.3.3.2.3

Σε πλαισιακά συστήματα ΚΠΥ, όπου οι τοιχοπληρώσεις δεν είναι ομοιόμορφα κατανεμημένες σε κάτοψη, η μη κανονικότητα αυτή λαμβάνεται υπόψη με διπλασιασμό της τυχηματικής εκκεντρότητας eai. EC8-1 §4.3.6.3.1

Οι τιμές της τυχηματικής εκκεντρότητας, που υιοθετούνται στην ανάλυση αναγράφονται ανά όροφο και διεύθυνση σεισμικής δράσης στο Κεφάλαιο «Γενικοί έλεγχοι δομήματος» - «Συνοπτικά δεδομένα μελέτης».

• Οριακή Κατάσταση αστοχίας

1. Επιρροές 2ας Τάξεως Ρ-Δ - Δείκτες Σχετικής Μεταθετότητας θ

Υπολογίζονται και παρουσιάζονται με μορφή πίνακα στο Κεφάλαιο «Γενικοί έλεγχοι δομήματος - Φαινόμενα 2ας τάξης» οι δείκτες σχετικής μεταθετότητας του δομήματος θ ανά όροφο και για κάθε εξεταζόμενη σεισμική διεύθυνση.

$$\theta = \frac{P_{tot} \cdot d_r}{V_{tot} \cdot h} \leq 0,10$$

Για τιμές του θ > 0.1 γίνεται επαύξηση της αντίστοιχης σεισμικής δράσης σύμφωνα με την EC8-1 §4.4.2.2(3), ενώ το θ δεν επιτρέπεται να υπερβαίνει την τιμή 0.30 σε καμία περίπτωση.

Η σεισμική συνιστώσα των εντατικών μεγεθών, που εμφανίζονται στους πίνακες της παρούσης, είναι επαυξημένη λόγω φαινομένων Ρ-Δ

2. Εξασφάλιση γενικής και τοπικής πλαστιμότητας

- Σχετικά με την «Αποφυγή σχηματισμού πλαστικού μηχανισμού μαλακού ορόφου» EC8-1 §4.4.2.3(3) βλ. τη σχετική παράγραφο στα Υποστυλώματα «Ικανοτικός έλεγχος κόμβων»
- Σχετικά με την «Αποφυγή ψαθυρών μορφών αστοχίας» EC8-1 §4.4.2.3(7) βλ. παραγράφους της παρούσης περί Ικανοτικής Τέμνουσας
- Σχετικά με την «Αντοχή των θεμελιώσεων» EC8-1 §4.4.2.6 βλ. σχετική ανάλυση της παρούσης περί θεμελιώσεων.

3. Μέγεθος Σεισμικού Αρμού

Ο σεισμικός αρμός εκτιμάται σύμφωνα με την EC8-1 §4.4.2.7 από το μέγεθος $ds=q*de$. Το μέγεθος de υπολογίζεται βάσει της EC8-1 §4.3.4 και αντιστοιχεί στην μέγιστη μετακίνηση σε κάθε επίπεδο, όπως προσδιορίζεται από γραμμική ανάλυση βασισμένη στο φάσμα σχεδιασμού, ενώ στην διαμόρφωσή της τιμής της έχουν ληφθεί υπόψη και οι στρεπτικές επιδράσεις της σεισμικής δράσης. Ο σεισμικός αρμός αναγράφεται για κάθε επίπεδο και διεύθυνση σεισμικής δράσης στον σχετικό πίνακα των «Γενικών ελέγχων δομήματος».

Η ελάχιστη απόσταση της κατασκευής από τη γραμμή ιδιοκτησίας προκύπτει βάσει του μεγέθος του σεισμικού αρμού συνεκτιμώντας και τις προβλέψεις των EC8-1 §4.4.2.7(2)-(3)

• Έλεγχοι Οριακής Κατάστασης Περιορισμού Βλαβών (Ο.Κ.Π.Β.) Οργανισμού πλήρωσης

Η μέση γωνιακή παραμόρφωση dr/h του ορόφου παρουσιάζεται στον σχετικό πίνακα των «Γενικών ελέγχων δομήματος» για κάθε σεισμική διεύθυνση και ελέγχεται με τα όρια της §4.4.3.2(1) (α),(β) ή (γ) του EC8-1 ανάλογα με τον τύπο των μη φερόντων στοιχείων. Η τιμή της μέσης σχετικής μετακίνησης dr υπολογίζεται βάσει της EC8-1 §4.4.2.2(2), ενώ η αναγραφόμενη τιμή dr/h είναι πολλαπλασιασμένη με τον συντελεστή ν (βλ. EC8-1 §4.4.2.2(2))

• Συντελεστής συμπεριφοράς q

1. Οπλισμένο σκυρόδεμα

Η βασική τιμή του συντελεστή συμπεριφοράς ο διαμορφώνεται βάσει της EC8-1 §5.2.2 λαμβάνοντας υπόψη την Κατηγορία Πλαστιμότητας, την δυστρεψία του δομήματος [EC8-1 §5.2.2.1(4)Α-(6)], το στατικό σύστημα, το οποίο καθορίζεται από το ποσοστό τέμνουσας δύναμης ην που αναλαμβάνουν τα πλάστιμα τοιχώματα [EC8-1 §5.1.2], και την κανονικότητα καθ' ύψος [EC8-1 §5.2.2.3(3)].

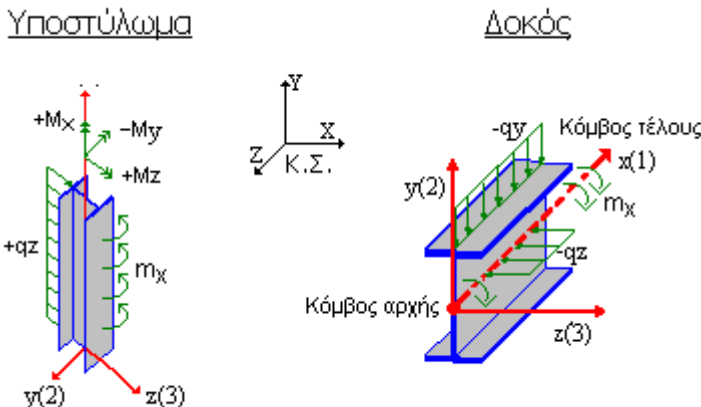
2. Δομικός χάλυβας

Η τιμή αναφοράς του συντελεστή συμπεριφοράς ο διαμορφώνεται βάσει της EC8-1 §6.3.2 λαμβάνοντας υπόψη την Κατηγορία Πλαστιμότητας, τον στατικό τύπο (πιν. 6.2) και την κανονικότητα καθ' ύψος [EC8-1 §6.3.2(2)].

Ο λόγος υπεραντοχής αυ/α1 μπορεί να ελέγχεται από μη γραμμική στατική ανάλυση (pushover), διαφορετικά λαμβάνονται κατά περίπτωση οι τιμές της EC8-1 §5.2.2.2(2)-(5) ή EC8-1 §6.3.1(5) λαμβάνοντας υπόψη την κανονικότητα σε κάτοψη του δομήματος [EC8-1 §5.2.2.2(6) ή §6.3.2(4)]

• Ανάλυση του Δομήματος

1. Φορτίσεις



Γίνεται επίλυση του χωρικού προσομοιώματος για τις εξής φορτίσεις:

Φ1	Στατική Φόρτιση	= Μόνιμες δράσεις - ΦΟΡΤΙΣΗ G
Φ2	Στατική Φόρτιση	= Μεταβλητές δράσεις - ΦΟΡΤΙΣΗ Q
Φ3	Στατική Φόρτιση	= Δυσμενής μεταβλητή δράση A - QA (εάν υπάρχει)
Φ4	Στατική Φόρτιση	= Δυσμενής μεταβλητή δράση B - QB (εάν υπάρχει)
Φ5	Στατική Φόρτιση	= Δυσμενής μεταβλητή δράση C - QC (εάν υπάρχει)
Φ6	Στατική Φόρτιση	= Δυσμενής μεταβλητή δράση D - QD (εάν υπάρχει)
Φ7	Στατική Φόρτιση	= Δυσμενής μεταβλητή δράση E - QE (εάν υπάρχει)
Φ8	Στατική Φόρτιση	= Οιονεί μόνιμα φορτία G + ψ2*Q

Ακολουθούν οι λοιπές φορτίσεις όπως περιγράφονται στους πίνακες 808, 809, 815

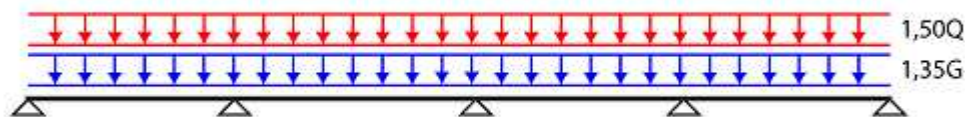
Φ9	1η Λοιπή φόρτιση
Φ10	2η Λοιπή φόρτιση
Φ11	κλπ...

Σημείωση:

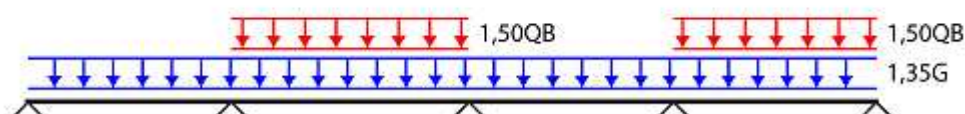
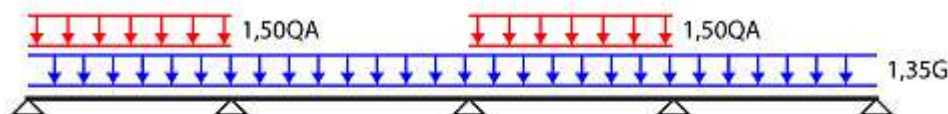
Οι φορτίσεις QA, QB παράγονται από την εναλλάξ φόρτιση ανοιγμάτων με το μεταβλητό φορτίο σχεδιασμού βάσει της EC2-1-1 §5.1.3(1)A(a) ή EC3-1-1 παράρτ. AB.2(1)B(a), ώστε να προκύψει η κρίσιμη εντατική κατάσταση για το άνοιγμα (θετικές ροπές) της δοκού.

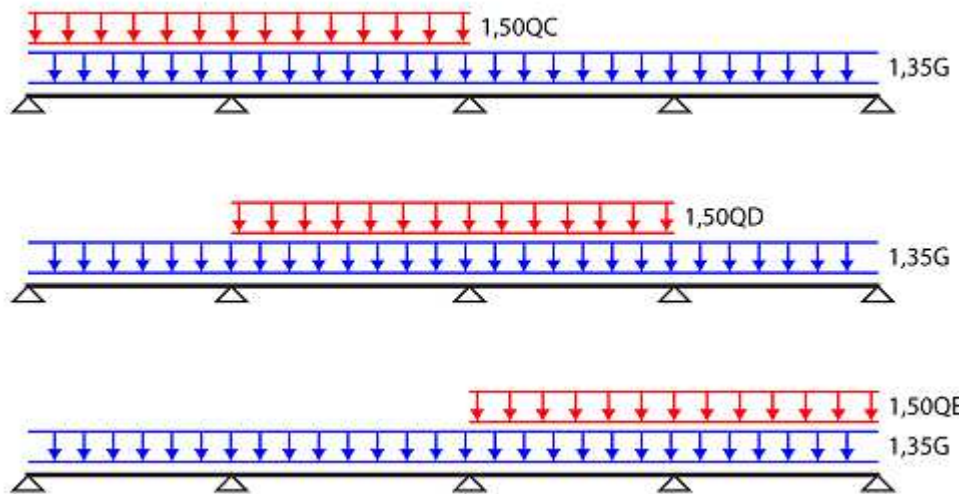
Οι φορτίσεις QC, QD, QE παράγονται από την εναλλάξ φόρτιση δύο συνεχόμενων ανοιγμάτων με το μεταβλητό φορτίο σχεδιασμού βάσει της EC2-1-1 §5.1.3(1)A(a) ή EC3-1-1 παράρτ. AB.2(1)B(a), ώστε να προκύψει η κρίσιμη εντατική κατάσταση στην στήριξη (αρνητικές ροπές) της δοκού.

Όλα τα ανοίγματα



Εναλλασσόμενα ανοίγματα



Γειτονικά ανοίγματα**2. Ατέλειες φορέα σε κατασκευές από δομικό ύάλινα**

Σύμφωνα με EC3-1-1, §5.3, η επιρροή των ατελειών λαμβάνεται υπόψη για τον υπολογισμό των φορέων με την παραδοχή ισοδύναμων γεωμετρικών στελειών με τη μορφή αρχικών κλίσεων Φ . Οι ατέλειες του φορέα λαμβάνονται υπόψη στην ανάλυση ως επιπλέον δράσεις και ισοδυναμούν με αρχική πλευρική μετατόπιση. Οι αρχικές ατέλειες πλευρικής μετατόπισης υπολογίζονται για κάθε κατεύθυνση (0,90, 180, 270 μοίρες), δεν συνδυάζονται μεταξύ τους, αλλά εφαρμόζονται ομόφορα με άλλες οριζόντιες φορτίσεις (π.χ. άνεμος) ώστε να δυσμενοποιείται το τελικό αποτέλεσμα.

3. Συνδυασμοί Φορτίσεων για διαστασιολόγηση ΟΚΑ και ΟΚΛ**Συνδυασμοί για έλεγχο στην Οριακή Κατάσταση Αστοχίας**

ΣΦ	<p>Θεμελιώδεις συνδυασμοί Δράσεων: [EC0 §6.4.3.2]</p> <p>Ελέγχεται:</p> <p>είτε ο συνδυασμός EC0 (6.10) $\gamma G * G + \gamma q_1 * Q_1 + \sum (\gamma Q_i * \psi_0 i * Q_i) \dots i > 1$</p> <p>είτε οι συνδυασμοί EC0 (6.10α) και (6.10β) $\gamma G * G + \sum (\gamma Q_i * \psi_0 i * Q_i) \dots i \geq 1 \quad (6.10\alpha)$ $\xi * \gamma G * G + \gamma Q_1 * Q_1 + \sum (\gamma Q_i * \psi_0 i * Q_i) \dots i > 1 \quad (6.10\beta)$ (όπου στον συνδυασμό (6.10β) η επιδραση των δυσμενών μονίμων δράσεων G λαμβάνεται απομειωμένη)</p> <p>Εάν εξετάζονται δυσμενείς μεταβλητές δράσεις, ως Q_1 ορίζονται διαδοχικά οι φορτίσεις Q, QA και QB (1-3 συνδυασμοί) Η επιλογή μεταξύ των εναλλακτικών συνδυασμών (6.10) και (6.10α)-(6.10β) καθώς και η τιμή του μειωτικού συντελεστή ξ παρουσιάζονται στις «Παραδόχες μελέτης» Οι συντελεστές συνδυασμού δράσεων γg και $\gamma \psi * \varphi$ κάθε στατικής φόρτισης φαίνονται στα «Στοιχεία - δεδομένα κτιρίου» πίνακας 816</p>
ΣΣ	<p>Σεισμικοί συνδυασμοί: $G + E_j + \psi_2 * Q$ [EC0 §6.4.3.4]</p> <p>Τα αδρανειακά αποτέλεσματα της σεισμικής δράσης καθορίζονται συνυπολογίζοντας τη μάζα, που συνδέεται με όλα τα φορτία βαρύτητας που περιλαμβάνονται στον συνδυασμό $G + \psi_2 * \varphi * Q$ (EC8-1 §3.2.4 - §4.2.4)</p> <p>Οι επιμέρους τιμές των ψ_2 και φ αναγράφονται ανά όροφο στο Κεφάλαιο «Δεδομένα Κτιρίου», Στοιχεία Ορόφων.</p>

ΔΥΝΑΜΙΚΗ ΜΕ ΜΕΤΑΤΟΠΙΣΗ ΜΑΖΩΝ - Λαμβάνονται οι ακόλουθοι Σεισμικοί Συνδυασμοί $G + E_j + \psi_2 * Q$

ΣΣ:+x	Σεισμ. Συνδ. με κατεύθυνση σεισμικής δράσης 0°	= (μετακίνηση μάζας κατά + X)
ΣΣ:+x	Σεισμ. Συνδ. με κατεύθυνση σεισμικής δράσης 90°	= (μετακίνηση μάζας κατά + X)
ΣΣ:+z	Σεισμ. Συνδ. με κατεύθυνση σεισμικής δράσης 0°	= (μετακίνηση μάζας κατά + Z)
ΣΣ:+z	Σεισμ. Συνδ. με κατεύθυνση σεισμικής δράσης 90°	= (μετακίνηση μάζας κατά + Z)
ΣΣ:-x	Σεισμ. Συνδ. με κατεύθυνση σεισμικής δράσης 0°	= (μετακίνηση μάζας κατά - X)
ΣΣ:-x	Σεισμ. Συνδ. με κατεύθυνση σεισμικής δράσης 90°	= (μετακίνηση μάζας κατά - X)
ΣΣ:-z	Σεισμ. Συνδ. με κατεύθυνση σεισμικής δράσης 0°	= (μετακίνηση μάζας κατά - Z)
ΣΣ:-z	Σεισμ. Συνδ. με κατεύθυνση σεισμικής δράσης 90°	= (μετακίνηση μάζας κατά - Z)

ΔΥΝΑΜΙΚΗ ΜΕ ΣΤΡΕΠΤΙΚΑ ΖΕΥΓΗ - Λαμβάνονται οι ακόλουθοι Σεισμικοί Συνδυασμοί $G + E_j + \psi_2 * Q$

ΣΣ1	Σεισμ. Συνδ. με κατεύθυνση σεισμικής δράσης 0°
ΣΣ2	Σεισμ. Συνδ. με κατεύθυνση σεισμικής δράσης 90°

Η τελική τιμή της σεισμικής έντασης προκύπτει προσθαφαιρώντας κατάλληλα την περιβάλλουσα των τυχηματικών στρεπτικών επιδράσεων στα εντατικά μεγεθή της δυναμικής ανάλυσης ώστε να δυσμενοποιείται το υπό εξάταση μέγεθος.

**ΑΠΛΟΠΟΙΗΜΕΝΗ ΦΑΣΜΑΤΙΚΗ ΜΕΘΟΔΟΣ (ή ανάλυση οριζόντιας φόρτισης)
Λαμβάνονται οι ακόλουθοι Σεισμικοί Συνδυασμοί $G + E_j + \psi_2 * Q$**

ΣΣ:+x	Σεισμ. Συνδ. με κατεύθυνση σεισμικής δράσης 0°	= (εκκεντρότητα + X)
ΣΣ:+x	Σεισμ. Συνδ. με κατεύθυνση σεισμικής δράσης 90°	= (εκκεντρότητα + X)
ΣΣ:+z	Σεισμ. Συνδ. με κατεύθυνση σεισμικής δράσης 0°	= (εκκεντρότητα + Z)
ΣΣ:+z	Σεισμ. Συνδ. με κατεύθυνση σεισμικής δράσης 90°	= (εκκεντρότητα + Z)
ΣΣ:-x	Σεισμ. Συνδ. με κατεύθυνση σεισμικής δράσης 0°	= (εκκεντρότητα - X)

$\Sigma\Sigma:-x$	Σεισμ. Συνδ. με κατεύθυνση σεισμικής δράσης 90°	= (εκκεντρότητα - X)
$\Sigma\Sigma:-z$	Σεισμ. Συνδ. με κατεύθυνση σεισμικής δράσης 0°	= (εκκεντρότητα - Z)
$\Sigma\Sigma:-z$	Σεισμ. Συνδ. με κατεύθυνση σεισμικής δράσης 90°	= (εκκεντρότητα - Z)

Συνδυασμοί για έλεγχο στην Οριακή Κατάσταση Λειτουργικότητας

ΣΦ	Χαρακτηριστικός συνδυασμός: $G + Q_1 + \Sigma(\psi_0 \cdot Q_i)$ [ECO §6.5.3(2)a] Για έλεγχο επιτρέπομενων τάσεων χάλυβα και σκυροδέματος <u>Οιονεί μόνιμος συνδυασμός:</u> $G + \psi_2 \cdot Q_i$ - [EC §6.5.3(2)γ] Για έλεγχο ρηγμάτωσης και έλεγχο βέλους
----	---

4. Ιδιοπερίοδοι Τ - Φασματική απόκριση

Οι τιμές των ιδιοπεριόδων Τ του δομήματος, των δεδομένων του φάσματος (σεισμική ζώνη, συντ. συμπεριφοράς, σπουδαιότητα, εδαφικός τύπος κλπ) καθώς και οι φασματικές επιταχύνσεις $Sd(T)$, όπως αυτές προκύπτουν βάσει της EC8-1 §3.2.2, αναγράφονται αναλυτικά στο Κεφάλαιο «Αποτελέσματα Επίλυσης» - «Ανάλυση φασματικής απόκρισης» και «Ιδιοπερίοδοι - Φασματικές επιταχύνσεις».

ΓΙΑ ΚΑΘΕ ΦΟΡΤΙΣΗ ΕΚΤΥΠΩΝΟΝΤΑΙ ΤΑ ΕΝΤΑΤΙΚΑ ΜΕΓΕΘΗ, Ο ΑΠΑΙΤΟΥΜΕΝΟΣ ΔΙΑΜΗΚΗΣ και ΕΓΚΑΡΣΙΟΣ ΟΠΛΙΣΜΟΣ και τελικά εφαρμόζονται τα μέγιστα λαμβάνοντας υπόψη και τις διατάξεις όπλισης των κανονισμών.

• Διαστασιολογηση Δομικών Μελών**• Οπλισμένο σκυρόδεμα****• Κύριες (ή πρωτεύουσες) Δοκοί****1. Αντοχή σε Κάμψη**

Για τη διαστασιολογήση των δοκών σε κάμψη συνεκτιμάται και ο συνεργαζόμενος εφελκυόμενος οπλισμός της πλάκας. Βλ. EC8-1 ΚΠΜ-§5.4.3.1.1 και ΚΠΥ-§5.5.3.1.1
Προσμετράτοι οπλισμός της πλάκας που βρίσκεται διατεταγμένος σε πλάτος b_{eff} , το οποίο λαμβάνεται σύμφωνα με το σχήμα 5.5 του EC8-1

Εφαρμόζεται πάντα εντός του συνδετήρα ο βάσει κανονισμού ελάχιστος οπλισμός pl,min ή το 75% του απαιτούμενου εφελκυόμενου οπλισμού.

2. Γραμμική ανάλυση με Περιορισμένη Ανακατανομή

Η καμπτική ένταση σχεδιασμού συνεχών δοκών στην ΟΚΑ προκύπτει από περιορισμένη ανακατανομή των ροπών κάμψης της ανάλυσης. Βλ. EC8-1 ΚΠΜ-§5.4.2.1(1)Α ή ΚΠΥ §5.5.2.1(2)Α και EC2-1-1 §5.5.

Εξασφάλιση ισορροπίας των ανακατανεμημένων ροπών με τα εφαρμοζόμενα φορτία

- Στις στατικές φορτίσεις υποβιβάζονται οι αρνητικές ροπές στηρίξης με ισόποση αύξηση των ροπών ανοίγματος
- Στις σεισμικές φορτίσεις και για κάθε διεύθυνση της οριζόντιας δράσης το άθροισμα των ροπών στηρίξεων κατά μήκος της δοκοσειράς πριν και μετά την ανακατανομή παραμένει σταθερό.
- Οι ροπές σχεδιασμού των υποστυλώματων είναι οι μέγιστες που προκύπτουν από την ανάλυση και από την ισορροπία με τις ανακατανεμήνες ροπές των δοκών. Βλ. EC2-1-1 §5.3.2.2(3).

Το βάθος της θλιβόμενης ζώνης χυ μετά την ανακατανομή περιορίζεται ώστε να πληρούται η συνθήκη EC2-1-1 (5.10):

$$\delta > 0.44 + \frac{1.25 \cdot x_u}{d}$$

όπου $\delta > 0,7$ το ποσοστό της ανακατανομής.

Η ανακατανεμημένη ροπή σχεδιασμού, το ποσοστό ανακατανομής δ , καθώς και το βάθος της θλιβόμενης ζώνης χυ μετά την ανακατανομή παρουσιάζονται για κάθε θέση διαστασιολογησης και κάθε φόρτιση στον σχετικό πίνακα της παρούσης. Επίσης για κάθε δοκοσειρά εκτυπώνονται και τα διαγράμματα περιβαλλούσών των ροπών πριν και μετά την ανακατανομή.

Επιπρόσθια, πραγματοποιείται «Φόρτιση υποστυλώματων με τις ροπές ανακατανομής των δοκών», ώστε να εξασφαλίζεται η ισορροπία των πλαισίων. Βλ. EC2-1-1 §5.3.2.2(3) και την παράγραφο της παρούσης σχετικά με τον ικανοτικό σχεδιασμό υποστυλώματων σε κάμψη.

3. Εξασφάλιση τοπικής πλαστιμότητας

Οι λεπτομέρειες όπλισης των κρίσιμων κύριων δοκών διαμορφώνονται κατάλληλα ώστε να εξασφαλίζεται το **τοπική πλαστιμότητα** [EC8-1 ΚΠΜ-§5.4.3.1.2 και ΚΠΥ-§5.5.3.1.3], ειδικότερα:

- Σε όλο το μήκος Της δοκού τοποθετείται ελάχιστος εφελκυόμενος οπλισμός που δίδεται από την EC8-1 (5.12)
- Στη θλιβόμενη περιοχή τοποθετείται οπλισμός που υπερβαίνει το μισό του εφελκυόμενου εφελκυόμενου, πλέον του απαιτούμενου θλιβόμενου στην σεισμική κατάσταση σχεδιασμού.
- Ο τοποθετούμενος οπλισμός r' στη θλιβόμενη ζώνη διαμορφώνεται ώστε να καλύπτεται η απαίτηση μη υπέρβασης του μέγιστου εφελκυόμενου οπλισμού που δίδεται στην EC8-1 (5.11)

$$\rho_{max} = r' + 0.0018 \cdot \frac{f_{cd}}{\mu_f \cdot \epsilon_{syd} \cdot f_y}$$

- Το μέγιστο βήμα των συνδετήρων στις κρίσιμες περιοχές δεν υπερβαίνει το όριο που δίδεται στις EC8-1 ΚΠΜ (5.13) & ΚΠΥ (5.29)

4. Αποφυγή ωσθυρής αστοχίας - Τέμνουσα σχεδιασμού

Η αντοχή σε διάτμηση ελέγχεται με την ικανοτική τέμνουσα σχεδιασμού, η οποία υπολογίζεται σύμφωνα με τις ΚΠΜ-§5.4.2.2 και ΚΠΥ-§5.5.2.1 από τις ροπές αντοχής MR_b στα άκρα της δοκού, ενώ στον υπολογισμό της MR_b συνεισφέρει και ο συνεργαζόμενος εφελκυόμενος οπλισμός της πλάκας.

Στις δοκούς στη Υψηλή Κ.Π. τοποθετείται δισδιαγώνιος οπλισμός εάν απαιτείται βάσει της EC8-1 §5.5.3.1.2(3). Ο οπλισμός αυτός περιγράφεται στους «Οπλισμούς δάπτησης» της παρούσης.

5. Αγκύρωση ράβδων - Αποφυγή αστοχίας συνάφειας

Για την αποφυγή αστοχίας συνάφειας των ράβδων που διέρχονται μέσω κόμβου δοκού - υποστυλώματος η διάμετρος τους dbi περιορίζεται ώστε να πληρούνται οι εκφράσεις EC8-1 (5.50a) και (5.50b) αντίστοιχα για εσωτερικό και εξωτερικό κόμβο. EC8-1 §5.6.2.2(2)Α

- a. εσωτερικός κόμβος (5.50a)

$$\frac{d_{bl} \leq 7,5 \cdot f_{ctm}}{h_c \cdot \gamma_{Rd} \cdot f_{yd}} \cdot \frac{1+0,8 \cdot v_d}{1+0,75 \cdot k_d \cdot p' / \rho_{max}}$$

- b. εξωτερικός κόμβος (5.50b)

$$\frac{d_{bl} \leq 7,5 \cdot f_{ctm}}{h_c \cdot \gamma_{Rd} \cdot f_{yd}} \cdot (1+0,8 \cdot v_d)$$

Στο σχετικό πίνακα του παρόντος παρουσιάζονται συγκεντρωτικά κατά μήκος της δοκοσειράς και για κάθε κόμβο η μέγιστη επιτρεπόμενη διάμετρος dbl,max για τη δεδομένη διάσταση hc και ανηγμένη αξονική δύναμη vd του υποστυλώματος.

• **Κύρια (ή πρωτεύοντα) Υποστυλώματα**

1. **Αποφυγή σχηματισμού μαλακού ορόφου - Ικανοτικός σχεδιασμός σε κάμψη**

Πραγματοποιείται Ικανοτικός έλεγχος κόμβων σε κτίρια με τρεις ή περισσότερους ορόφους και στις διευθύνσεις που χαρακτηρίζονται ως πλαισιωτά ή ισοδύναμα προς πλαισιωτά. Σε διώροφα κτίρια γίνεται ικανοτικός έλεγχος κόμβων στην περίπτωση που το μέγιστο ανηγμένο θλιπτικό αξονικό φορτίο vd των υποστυλώματων του ισογείου υπερβαίνει το 0.30. Βλ. EC8-1 §4.4.2.3, ενώ για την κατάταξη των στατικών συστημάτων βλ. EC8-1 §5.2.2.1(4)A - (6)

- a. Τα κριτήρια εφαρμογής του ικανοτικού σχεδιασμού σε κάμψη των §4.4.2.3(4) και §5.2.3.3(2)(β) και συγκεκριμένα, ο λόγος η της τέμνουσας που αναλαμβάνουν τα τοιχώματα ως προς την συνολική, καθώς και η μέγιστη ανηγμένη αξονική δύναμη των κατακόρυφων μελών vd του ορόφου βάσης παρουσιάζονται στο κεφάλαιο «Γενικοί έλεγχοι δομήματος» της παρούσης.
- b. Σε κάθε κόμβο, για κάθε διεύθυνση και φορά της σεισμικής δράσης υπολογίζονται τα αθροίσματα των ροπών υπεραντοχής των δοκών 1,3*ΣMRb και διανέμονται στα συντρέχοντα υποστυλώματα.

Η ροπή αντοχής της δοκού MRb διαμορφώνεται **συνυπολογίζοντας και τον συνεργαζόμενο εφελκυόμενο οπλισμό της πλάκας**. Βλέπε EC8-1 §5.2.3.3(3) και την παράγραφο «Αντοχή σε Κάμψη δοκών» της παρούσης.

Η ικανοτική ροπή σε συνδυασμό με την ταυτόχρονη αξονική και την εγκάρσια καμπτική ένταση αποτελούν την ένταση σχεδιασμού του υποστυλώματος.

Στον σχετικό πίνακα της παρούσης παρουσιάζονται συγκεντρωτικά τα αποτελέσματα της διανομής των ροπών υπεραντοχής των δοκών 1,3*ΣMRb στα υποστυλώματα και στις διεύθυνσεις που ορίζονται από τους τοπικούς άξονες των υποστυλώματων. Επιπλέον, στον ίδιο πίνακα δίδεται πληροφοριακά και ο μεγεθυντικός συντελεστής της ροπής σχεδιασμού acd, όπως αυτός προκύπτει από την παραπάνω διαδικασία.

Επιπρόσθετα, πραγματοποιείται «Φόρτιση υποστυλώματων με τις ροπές ανακατανομής των δοκών», ώστε να εξασφαλίζεται η ισορροπία των πλαισίων. Βλ. EC2-1-1 §5.3.2.2(3).

Τα αποτελέσματα παρουσιάζονται στον ομώνυμο πίνακα με την έννοια της επαύξησης των ροπών σχεδιασμού των υποστυλώματων. Βλ. και τη σχετική με την «Ανακατανομή ροπών δοκών» παράγραφο της παρούσης.

2. **Εξασφάλιση τοπικής πλαστιμότητας**

Για την εξασφάλιση τοπικής πλαστιμότητας, στις κρίσιμες περιοχές των υποστυλώματων:

- a. Υπολογίζεται και τοποθετείται (όταν απαιτείται) ο αναγκαίος οπλισμός περίσφιγξης σύμφωνα με την EC8-1 ΚΠΜ-§5.4.3.2.2 ή την ΚΠΥ-§5.5.3.2.2. Το μηχανικό ογκομετρικό ποσοστό περίσφιγξης αναγράφεται μαζί με τις άλλες λεπτομέρειες του υπολογισμού των υποστυλώματων των ορόφων, στον πίνακα «Οπλισμοί Διάτμησης».
- b. Το μέγιστο βήμα των συνδετήρων s δεν υπερβαίνει το όριο που δίδεται στις EC8-1 ΚΠΜ (5.18) ή ΚΠΥ (5.32)
- c. Η απόσταση bi των εγκάρσια συγκρατούμενων ράβδων δεν υπερβαίνει τα όρια των EC8-1 ΚΠΜ-§5.4.3.2.2(11)β ή ΚΠΥ-§5.5.3.2.2(12)γ

3. **Αποφυγή ψαθυρής αστοχίας - Τέμνουσα σχεδιασμού**

Η αντοχή σε διάτμηση ελέγχεται με την ικανοτική τέμνουσα σχεδιασμού, η οποία υπολογίζεται σύμφωνα με ΚΠΜ-§5.4.2.3 και ΚΠΥ-§5.5.2.23, από τις ροπές αντοχής MRb στα άκρα του μέλους

Σε πλαισιακά συστήματα ΚΠΥ, τα υποστυλώματα εξασφαλίζονται έναντι των τοπικών επιδράσεων, που οφείλονται στην αλληλεπιδραση πλαισίου - τοιχοπληρώσεων. Βλ. EC8-1 §4.3.6.1(1)Α - §4.3.6.2(4)Α. Συγκεκριμένα, ο ικανοτικός σχεδιασμός έναντι τέμνουσας όπως περιγράφεται στην EC8-1 §5.5.2.2 πραγματοποιείται λαμβάνοντας υπόψη τις σχετικές προβλέψεις της EC8-1 §5.9 για τοιχοπληρώσεις που είτε διακόπτονται καθ' ύψος, είτε είναι μονόπλευρες.

4. **Κοντά υποστυλώματα**

◦ **Αποφυγή ψαθυρής αστοχίας**

Διαστασιολόγηση έναντι τέμνουσας των θέσεις Κοντών υποστυλώματων.

Σε πλαισιακά συστήματα ΚΠΥ και σε θέσεις όπου η τοιχοπληρώσεις διακόπτονται καθ' ύψος του υποστυλώματος, καθιστώντας το θέσεις κοντά υποστύλωμα, η εξασφάλιση του μέλους έναντι ψαθυρής διάτμητικής αστοχίας επιτυγχάνεται με τον ικανοτικό σχεδιασμό έναντι τέμνουσας (EC8-1 §5.5.2.2), ενώ λαμβάνονται υπόψη και οι σχετικές προβλέψεις της EC8-1 §5.9(2).

◦ **Εξασφάλιση ελαστικής συμπεριφοράς**

Σε υποστυλώματα με μικρό λόγο διάτμησης ($as=M/(V*h) < 2,0$) διαμορφώνεται τέτοιος οπλισμός, ώστε είτε να εξασφαλίζεται η ελαστική απόκριση του μέλους, είτε να εξασφαλίζεται η αστοχία του υποστυλώματος μετα από αυτην των δοκών. Για το σκοπό αυτό η σεισμική ροπή προσαυξάνεται με το συντελεστή **q/1.50** ή αντίστοιχα πραγματοποιείται ικανοτικός έλεγχος κόμβου.

• **Κόμβοι Δοκού - Υποστυλώματος**

1. **Διαμόρφωση λεπτομερειών όπλισης**

Εξασφαλίζεται η **ακεραιότητα κόμβων** Κύριων δοκών - Υποστυλώματων με κατάληη διαμόρφωση λεπτομερειών όπλισης του υποστυλώματος εντός του κόμβου (βήμα συνδετήρων, εγκάρσια απόσταση διαμήκων ράβδων) σύμφωνα με την EC8-1 ΚΠΜ-§5.4.3.3 ή ΚΠΥ-§5.5.3.3(7)-(9)

Ειδικά για ΚΠΥ υπολογίζεται εγκάρσιος (συνδετήρες) και κατακόρυφος (διαμήκεις ράβδοι) οπλισμός περίσφιγξης κόμβου σύμφωνα με EC8-1 §5.5.3.3(3)-(6)

Οι παραπάνω έλεγχοι παρουσιάζονται για τους κόμβους Δοκού - Υποστυλώματος συγκεντρωτικά για κάθε δοκοσειρά στον πίνακα «Έλεγχος διάτμησης κόμβου» της παρούσης

Σε περίπτωση που ο εγκάρσιος οπλισμός (συνδετήρες), που υπολογίζεται παραπάνω προκύψει καθοριστικός για την όπλιση του υποστυλώματος, αυτό σημαίνεται με το σύμβολο «κπ» στον πίνακα υπολογισμού του οπλισμού διάτμησης.

2. **Αντοχή του λοξού θλιπτήρα**

Για ΚΠΥ ελέγχεται η αντοχή του **λοξού θλιπτήρα** σκυροδέματος, που δημιουργείται στον πυρήνα του κόμβου [EC8-1 §5.5.3.3(2))]

• **Πλάστιμα Τοιχώματα.**

Σύμφωνα με τις §9.6.1 του EC2-1-1 και §5.1.2 του EC8-1, ένα κατακόρυφο στοιχείο θεωρείται τοίχωμα όταν ο λόγος των πλευρών του (I_w/bw) > 4.

1. **Περιβάλλουσα Ροπών**

Η καμπτική ένταση σχεδιασμού Πλάστιμων Τοιχωμάτων με $hw/Iw > 2$ προκύπτει από την περιβάλλουσα των ροπών κάμψης της ανάλυσης με κατακόρυφη μετατόπιση. «Κοντά» τοιχώματα ($hw/Iw \leq 2$) σχεδιάζονται έναντι κάμψης με τα αποτελέσματα της ανάλυσης. Βλ. EC8-1 §5.4.2.4(4)Α-(5) ή §5.5.2.4.1(4)Α-(5) και §5.5.2.4.2

2. **Περιβάλλουσα Τεμνουσών**

Οι τέμνουσες δυνάμεις της ανάλυσης πολλαπλασιάζονται με το συντελεστή ϵ , ο οποίος για ΚΠΜ λαμβάνεται ίσος με 1.5, ενώ για ΚΠΥ προσδιορίζεται βάσει της (5.25). Εφόσον συντρέχουν οι προύποθέσεις της ΚΠΜ-§5.4.2.4(8) ή αντίστοιχα της ΚΠΥ-§5.5.2.4.2(8), τότε χρησιμοποιείται η περιβάλλουσα σχεδιασμού τεμνουσών δυνάμεων του EC8-1 σχ. 5.4. Η τέμνουσα σχεδιασμού στο υπόγειο τμήμα Πλάστιμων Τοιχωμάτων υπολογίζεται σύμφωνα με την §5.8.1(3). Για «κοντά» τοιχώματα ΚΠΥ η τέμνουσα δύναμη από την ανάλυση αυξάνεται σύμφωνα με την §5.5.2.4.2(2)

Στην παράγραφο «Διαγράμματα τοιχωμάτων» της παρούσας παριστάνεται γραφικά η περιβάλλουσα ροπών και τεμνουσών των τοιχωμάτων, όπως προκύπτει από την παραπάνω διαδικασία

3. **Εξασφάλιση τοπικής πλαστιμότητας**

Οι κρίσιμες περιοχές Πλάστιμων Τοιχωμάτων οπλίζονται για εξασφάλιση τοπικής πλαστιμότητας. Για το λόγο αυτό διαμορφώνονται ενισχυμένα -περισφιγμένα- άκρα βάσει των ΚΠΜ-§5.4.3.4.2 ή ΚΠΥ-§5.5.3.4.5

4. **Αντοχή σε Διάτμηση**

Η αντοχή σε διάτμηση Πλάστιμων Τοιχωμάτων προσδιορίζεται για **ΚΠΜ** βάσει της §5.4.3.1.1

Ειδικά για Πλάστιμα τοιχώματα **ΚΠΥ** ελέγχεται η **διαγώνια εφελκυστική αντοχή του κορμού λόγω διάτμησης** βάσει της §5.5.3.4.3 και προσδιορίζεται ο εγκάρσιος και κατακόρυφος οπλισμός κορμού. Η αντοχή του κορμού έναντι διαγώνιας θλιπτικής αστοχίας ελέγχεται είτε βάσει της §5.5.3.4.2 του EC8-1, είτε βάσει της ακριβέστερης σχέσης (A.15) του EC8-3.

Σημείωση

Τα τοιχώματα που συμμετέχουν στην τιμή του πν, αναφέρονται στους «Γενικούς ελέγχους δομήματος» ενώ ο καθορισμός του μέλους ως «Πλάστιμο Τοίχωμα» - «Υποστύλωμα» αναγράφεται στα «Γενικά δεδομένα μέλους»

• **Δομικός Χάλυβας**

• **Γενικά - Έλεγχοι EC3**

1. **Κατηγορία διατομής**

Υπολογίζεται η κατηγορία διατομής για κάθε συνδυασμό φόρτισης βάσει του πίνακα 5.2 του EC3-1-1

Για τους συνδυασμούς όπου η διατομή έχει προκύψει κατηγορία 1 ή 2 λαμβάνονται οι πλαστικές αντοχές, ενώ για διατομές κατηγορίας 3 οι ελαστικές

2. **Έλεγχος διατομής**

◦ **Εφελκυσμός**

Η αντοχή διατομής σε εφελκυσμό N_{rd} σύμφωνα με EC3-1-1 §6.2.3 προκύπτει ως:

$$N_{rd} = \min[N_{plRd} = \frac{A * f_y}{\gamma_{M0}}, N_{URd} = \frac{A_{net} * f_u}{\gamma_{M2}}]$$

◦ **Θλίψη**

Η αντοχή διατομής σε θλίψη, προκύπτει σύμφωνα με την EC3-1-1 §6.2.4:

$$N_{CRd} = \frac{A * f_y}{\gamma_{M0}}$$

◦ **Διάτμηση**

Η αντοχή σε διάτμηση, σύμφωνα με τον EC3-1-1 §6.2.6, γενικά προκύπτει ως:

$$V_{Rd} = \frac{A_v * f_y}{\sqrt{3} * \gamma_{M0}}$$

Όπου Αν η ενεργός επιφάνεια διάτμησης για τον εκάστοτε εξεταζόμενο άξονα της διατομής, η οποία προκύπτει βάσει της EC3-1-1 §6.2.6(3)

◦ **Κάμψη**

Η αντοχή σε κάμψη, σύμφωνα με τον EC3-1-1 §6.2.5, γενικά προκύπτει ως:

$$M_{CRd} = \frac{W * f_y}{\gamma_{M0}}$$

όπου $W=W_{pl}$ για διατομές κατηγορίας 1 ή 2, και $W=W_{el}$ για διατομές κατηγορίας 3

◦ **Κάμψη και Διάτμηση**

Αν η δρώσα τέμνουσα δύναμη στην διατομή είναι μεγαλύτερη από το 50% της διατμητικής αντοχής της, τότε η αλληλεπίδραση κάμψης και τέμνουσας λαμβάνεται υπόψιν στους ελέγχους αντοχής διατομής απομειώνοντας την ροπή αντοχής. Σύμφωνα με EC3-1-1 §6.2.8 η αντοχή σχεδιασμού της διατομής υπολογίζεται χρησιμοποιώντας μειωμένη αντοχή $(1-\rho)^*\gamma$ για την επιφάνεια διάτμησης όπου

$$\rho = \left(\frac{2V_{Ed}}{V_{Pl,Rd}} - 1 \right)^2$$

◦ **Κάμψη και αξονική δύναμη**

Όπου υπάρχει αξονική δύναμη λαμβάνεται υπόψη η επιδρασή της στην πλαστική ροπή αντοχής σύμφωνα με την EC3-1-1 §6.2.9.

Π.χ. για διατομές 1 & 2 ελέγχεται η συνθήκη (6.41):

$$\left[\frac{M_{yEd}}{M_{NyRd}} \right]^\alpha + \left[\frac{M_{zEd}}{M_{NzRd}} \right]^\beta < 1$$

όπου η αντοχή M_{Nrd} και οι συντελεστές α και β δίδονται ανάλογα με τον τύπο της διατομής βάσει της EC3-1-1 §6.2.9

για διατομές κατηγορίας 3 ελέγχεται η συνθήκη (6.2):

$$\frac{N_{Ed}}{N_{Rd}} + \frac{M_{y,Ed}}{M_{y,Rd}} + \frac{M_{z,Ed}}{M_{z,Rd}} < 1$$

3. **Αντοχή των μελών σε λυγισμό**

Σε μέλη υποκείμενα σε συνδυασμένη κάμψη και θλίψη ελέγχονται οι ανισότητες (6.61) & (6.62) της EC3-1-1 §6.3.3(4):

$$\frac{N_{Ed}}{X_y * A * f_y / \gamma_{M1}} + \frac{k_{yy} * M_{yEd}}{X_{LT} * W_y * f_y / \gamma_{M1}} + \frac{k_{yz} * M_{zEd}}{W_z * f_y / \gamma_{M1}} < 1$$

$$\frac{N_{Ed}}{X_z * A * f_y / \gamma_{M1}} + \frac{k_{zy} * M_{yEd}}{X_{LT} * W_y * f_y / \gamma_{M1}} + \frac{k_{zz} * M_{zEd}}{W_z * f_y / \gamma_{M1}} < 1$$

όπου X_y , X_z και χ_{LT} οι μεωτικοί συντελεστές λόγω καμπτικού και στρεπτοκαμπτικού λυγισμού αντίστοιχα, οι οποίοι λαμβάνονται από τις §6.3.1.2 & §6.3.2.3 του EC3-1-1, ανάλογα και με την μορφή λυγισμού

Εάν το μέλος της θεωρείται πλευρικά εξασφαλισμένο και συνεπώς δεν υπάρχει απαίτηση ελέγχου έναντι στρεπτοκαμπτικού λυγισμού (βλ. «Γενικά δεδομένα κτιρίου») ή για συνδυασμούς φορτίσεων όπου η ανηγμένη λυγηρότητα λ_{LT} προκύπτει <0.4 , λαμβάνεται $\chi_{LT} = 1.00$

kyy, kyz, kzy, kzz είναι οι συντελεστές αλληλεπίδρασης, οι οποίοι υπολογίζονται σύμφωνα το Παράρτημα Α του EC3-1-1

• **Σχεδιασμός μεταλλικών στοιχείων σε κατασκευές με απαιτήσεις πλαστιμότητας ΚΠΜ - ΚΠΥ**

1. **Πλάστιμα στοιχεία σε θλίψη ή κάμψη - Κατηγορία διατομής**

Η κατηγορία πλαστιμότητας και ο συντελεστής συμπεριφοράς q καθορίζουν την **απαιτούμενη κατηγορία διατομής** για τους σεισμικούς συνδυασμούς σύμφωνα με EC8-1 πιν. 6.3:

ΚΠΜ - $1,5 < q < 2$: κατηγορία 1,2, ή 3
 ΚΠΜ - $2,0 < q < 4$: κατηγορία 1 ή 2
 ΚΠΥ - $q > 4$: κατηγορία 1

2. **Εφελκυόμενα μέλη**

Σε μέλη υπό εφελκυσμό ελέγχεται η συνθήκη πλαστιμότητας των EC8-1 §6.5.4 & EC3-1-1 §6.2.3 σύμφωνα με την οποία θα πρέπει:

$$N_{plRd} = \frac{A * f_y}{\gamma_{M0}} < N_{URd} = \frac{A_{net} * f_u}{\gamma_{M2}}$$

3. **Πλαϊσια παραλαβής ροπών**

a. **Δοκοί**

Γίνεται έλεγχος έναντι πλευρικού καμπτικού ή στρεπτοκαμπτικού λυγισμού των δοκών θεωρώντας ότι στο ένα άκρο (με την μεγαλύτερη καταπόνηση) έχει αναπτυχθεί καμπτική πλαστική άρθρωση

Για την εξασφάλιση της ελάχιστης απαιτούμενης αντοχής και επαρκούς πλαστιμότητας στροφής ελέγχονται οι συνθήκες της EC8-1 §6.6.2:

$$\frac{M_{Ed}}{M_{plRd}} \leq 1.00 , \quad \frac{N_{Ed}}{N_{plRd}} \leq 0.15 , \quad \frac{(V_{EdG} + V_{EdM})}{V_{plRd}} \leq 0.50$$

όπου V_{EdG} η στατική συνιστώσα της σεισμικής τέμνουσας και V_{EdM} η ικανοτική τέμνουσα, η οποία προκύπτει σύμφωνα με την EC8-1 §6.6.2(2) θεωρώντας πλαστικές ροπές αντοχής στα άκρα της δοκού.

Για διατομές κατ. 3 αντί των πλαστικών τιμών αντοχής υιοθετούνται οι αντίστοιχες ελαστικές

b. **Υποστυλώματα**

Για σεισμικούς συνδυασμούς, τα εντατικά μεγέθη υποστυλωμάτων που συμμετέχουν στην πλασιακή λειτουργία της κατασκευής προκύπτουν ικανοτικά βάσει της υπεραντοχής των δοκών των πλαισίων

$$N_{Ed} = N_{Ed,G} + 1.1 \gamma_{ov} \Omega N_{Ed,E}, \quad M_{Ed} = M_{Ed,G} + 1.1 \gamma_{ov} \Omega M_{Ed,E}, \quad V_{Ed} = V_{Ed,G} + 1.1 \gamma_{ov} \Omega V_{Ed,E}$$

όπου Ω είναι η ελάχιστη τιμή του λόγου

$$\Omega = \frac{M_{Pl,Rd}}{M_{Ed}}$$

από όλες τις δοκούς όπου αναπτύσσεται πλαστική άρθρωση

Οι συντελεστές υπεραντοχής $1.1 \gamma_{ov} * \Omega$ των πλαστιμών δοκών εμφανίζονται για κάθε διεύθυνση του κτιρίου X & Z στους «Γενικούς ελέγχους δομήματος» στον πίνακα «Ικανοτικός σχεδιασμός πλαισίων παραλαβής ροπών» - «Πλάστιμα μέλη», ενώ για κάθε υποστυλώματα τυπώνεται ο συντελεστής $1.1 \gamma_{ov} * \Omega$, που προκύπτει σε κάθε τοπική διεύθυνση γ και ζ στην οποία το υποστυλώματα λειτουργεί πλαστικά.

4. Δικτυωτοί σύνδεσμοι χωρίς εκκεντρότητα

Σε δικτυωτούς συνδέσμους χωρίς εκκεντρότητα η ανάληψη των οριζόντιων δυνάμεων γίνεται κυρίως από ράβδους επιπονούμενες σε αξονική δύναμη, ενώ πλάστιμα στοιχεία σε τέτοιους συνδέσμους είναι κατά κύριο λόγο τα μέλη αυτά.

a. Διαγώνιοι Σύνδεσμοι

Οι οριζόντιες δύναμεις εναλλασσόμενης φοράς αναλαμβάνονται μόνο από τις εκάστοτε εφελκυόμενες διαγωνίους, ενώ αγνοείται η συμμετοχή των θλιβόμενων διαγωνίων (που δέν ελέγχονται σε θλίψη). Οι διαγώνιοι αντίθετης δράσης μπορούν να βρίσκονται στο ίδιο φάτνωμα ή σε διαφορετικό φάτνωμα. Στην τελευταία περίπτωση το μέγεθος Acosφ, (όπου A η διατομή και φ η γωνία κλίσης της διαγωνίου ως προς την οριζόντια) δεν πρέπει να μεταβάλλεται περισσότερο από 5% μεταξύ 2 αντίθετων διαγωνίων του ίδιου ορόφου. Βλ. EC8-1 §6.7.1

b. Σύνδεσμοι τύπου V ή Λ

Στον τύπο αυτό η συμμετοχή της θλιβόμενης διαγωνίου είναι απαραίτητη για την ανάληψη των οριζόντιων δυνάμεων. Οι διαγώνιοι μπορούν να έχουν μορφή V ή Λ και το κοινό σημείο τους βρίσκεται στο άνοιγμα του ζυγώματος χωρίς να διακόπτει την στατική του συνέχεια.

c. Έλεγχοι

Οι διαγώνιοι σύνδεσμοι ελέγχονται σε **εφελκυσμό**, ενώ σε μέλη συνδέσμων V/Λ ελέγχεται και η αντοχή σε **λυγισμό**

Σε κατασκευές με τρεις ή περισσότερους ορόφους ελέγχεται η **ανηγμένη λυγηρότητα** των διαγωνίων στους δύο άξονες της διατομής σύμφωνα με EC8-1 §6.7.3:

Διαγώνιοι Χιαστί Σύνδεσμοι : $1.3 \leq \lambda \leq 2.0$

Διαγώνιοι Σύνδεσμοι (σε διαφορετικά ανοίγματα) : $\lambda \leq 2.0$

Σύνδεσμοι τύπου V ή Λ : $\lambda \leq 2.0$

d. Πλαστιμότητα

Οι δικτυωτοί σύνδεσμοι χωρίς εκκεντρότητα θεωρούνται ζώνες αποόδοσης ενέργειας και συνεπώς για τα μέλη αυτά υπολογίζεται λόγος υπεραντοχής Ω σύμφωνα με την EC8-1 §6.7.4.1(1):

$$\Omega = \frac{N_{p,rd}}{N_{Ed}}$$

Οι δοκοί και τα υποστυλώματα της διεύθυνσης X ή Z, στην οποία είναι διατεταγμένα τα διαγώνια μέλη διαστασιολογούνται με αξονική δύναμη, η οποία προκύπτει βάσει της (6.12) του EC8-1 (βλ. και «Ελεγχο επάρκειας» σε Δοκό και Υποστύλωμα)

$$N_{Ed} = N_{Ed,G} + 1.1 \gamma_{ov} \Omega N_{Ed,E}$$

Οι συντελεστές υπεραντοχής 1.1γον*Ω των διαγωνίων συνδέσμων εμφανίζονται για κάθε διεύθυνση του κτιρίου X & Z στους «Γενικούς ελέγχους δομήματος» στον πίνακα «Ικανοτικός σχεδιασμός μεταλλικων πλαισίων με συνδέσμους».

• **Δευτερεύοντα Σεισμικά Μέλη Δ.Σ.Μ.**

1. Γενικά

Είναι δυνατόν ορισμένα δοκάρια και υποστυλώματα να έχουν οριστεί ως Δευτερεύοντα Σεισμικά Μέλη σύμφωνα με την EC8-1 §4.2.2. Η καμπτική δυσκαμψία και αντοχή των στοιχείων αυτών στις σεισμικές δράσεις αγνοείται, ενώ διατηρούν την ικανότητα ανάληψης κατακόρυφων φορτίων βαρύτητας.

2. Ανάλυση - Διαστασιολόγηση

- Μοντέλο 1: Πλήρες προσομοίωμα της κατασκευής με τα πρωτεύοντα και δευτερεύοντα μέλη.
- Μοντέλο 2: Προσομοίωμα της κατασκευής αμελώντας τη συμμετοχή των δευτερευόντων μελών στην οριζόντια δυσκαμψία (αρθρώσεις στα άκρα τους).

A. Μη-σεισμικά φορτία

Ανάλυση της κατασκευής και διαστασιολόγηση κύριων και δευτερευόντων μελών χρησιμοποιώντας το μοντέλο 1.

B. Σεισμικά φορτία

- Ανάλυση της κατασκευής χρησιμοποιώντας το μοντέλο 2
- Υπολογισμός μετακινήσεων de2 βάσει του φάσματος σχεδιασμού
- Εξαγωγή εντατικών μεγεθών E_{ed} χρησιμοποιώντας το μητρώο ακαμψίας του μοντέλου 1 [K1] και τις μετακινήσεις του μοντέλου 2 de2 ($E_{ed} = [K1]*de2$)
 - Διαστασιολόγηση **πρωτεύοντων** μελών τα εντατικά μεγέθη E_{ed} και τις διατάξεις των EC8 & EC2 ή EC3
 - Διαστασιολόγηση **δευτερεύοντων** μελών με τα εντατικά μεγέθη $E'_{ed} = [K1]*q(de2)$ και τις διατάξεις του EC2 ή EC3. Ο πολλαπλασιασμός με τον συντελεστή συμπεριφοράς q αποσκοπεί στην ενσωμάτωση της απαίτησης της EC8-1 §4.2.2(1)Α για ελαστική απόκριση (βλ. και EC8-1 §4.3.4)

Σημείωση: η προσαύξηση για τα φαινόμενα P-Δ λαμβάνεται υπόψη στη διαστασιολόγη τόσο των πρωτευόντων όσο και των δευτερευόντων μελών

3. Έλεγχος σχετικής δυσκαμψίας

Ελέγχεται σύμφωνα με την EC8-1 §4.2.2(4) εάν η συνολική δυσκαμψία των Δ.Σ.Μ. υπερβαίνει το 15% της δυσκαμψίας των Κύριων Μελών. Το ποσοστό αυτό για κάθε διεύθυνση παρουσιάζεται στον πίνακα «Σχετική δυσκαμψία Δευτερευόντων Σεισμικών Μελών» της παρούσας.

Τα σεισμικά εντατικά μεγέθη των Δευτερευόντων Σεισμικών Μελών που εμφανίζονται στον ομώνυμο πίνακα της παρούσας έχουν προκύψει με την παραπάνω διαδικασία.

Ο χαρακτηρισμός ενός μέλους ως Κύριο ή Δευτερεύοντος φαίνεται στα «Γενικά δεδομένα μέλους»

• **Οριακή Κατάσταση Λειτουργικότητας**

• **Οπλισμένο σκυρόδεμα**

1. Περιορισμός Τάσεων Χάλυβα και Σκυροδέματος

Υπολογίζεται ο απαιτούμενος οπλισμός, ώστε να ικανοποιείται ο έλεγχος τάσεων χάλυβα και σκυροδέματος [βλ. EC2-1-1 §7.2(2)-(5)].

Γίνεται παραδοχή τριγωνικής κατανομής τάσεων, ενώ ως επιτρεπόμενες τιμές των τάσεων λαμβάνονται:

- Χάλυβας, σ.επ = 0,8·fyk
- Σκυρόδεμα, σ.επ = 0,6·fck

Ο έλεγχος πλακών και δοκών πραγματοποιείται εν γένει με τον χαρακτηριστικό συνδυασμό δράσεων [EC0 §6.5.3(2)]. Για δοκούς βλ.

«Στοιχεία - δεδομένα κτιρίου» πίνακας 816.

Εφόσον ο έλεγχος σε θέση στήριξης ή ανοίγματος δοκού ή πλάκας καταδεικνύει ανεπάρκεια της διατομής, τότε τοποθετείται πρόσθετος οπλισμός.

2. Έλεγχος ρηγμάτωσης

Για πλάκες ή δοκούς με πάχος μεγαλύτερο από 20cm και για τον εφαρμοζόμενο οπλισμό υπολογίζεται η τάση χάλυβα σ με παραδοχή τριγωνικής κατανομής τάσεων και συγκρίνεται με τη μέγιστη επιτρεπόμενη os_max βάσει της διαμέτρου Φερ (πιν. 7.2) ή της απόστασης Sm (πιν. 7.3) ή συγκρίνεται το υπολογιζόμενο εύρος ρωγμής wk με το επιτρεπόμενο wk_max (π.χ. 0.3mm). Βλ. EC2-1-1 §7.3.4

Εφόσον ο έλεγχος σε θέση στήριξης ή ανοίγματος δοκού ή πλάκας καταδεικνύει ανεπάρκεια της διατομής τόσο βάσει της μεθοδολογίας της EC2-1-1 §7.3.3 όσο και βάσει της §7.3.4, τότε προοτιθένται επιπλέον ράβδοι.

Ο έλεγχος ρηγμάτωσης πλακών και δοκών πραγματοποιείται εν γένει με τα οινεί μόνιμα φορτία [EC0 §6.5.3(2)γ]. Για δοκούς βλ. «Στοιχεία - δεδομένα κτιρίου» πίν. 816.

3. Έλεγχος βέλους

Ελέγχεται η συνθήκη απαλλαγής από τον αναλυτικό υπολογισμό του βέλους η οποία περιγράφεται στην EC2-1-1 §7.4.2. Ο έλεγχος συνίσταται στην σύγκριση του λόγου μήκους προς στατικό ύψος του μέλους l/d με το όριο (l/d)lim, που υπολογίζεται βάσει της EC2-1-1 (7.16) Το όριο (l/d)lim, τροποποιείται ανάλογα με τον εφαρμοζόμενο οπλισμό και το μέγεθος του συνεργαζόμενου πλάτους beff. Βλ. EC2-1-1 §7.4.2(2).

Εξετάζεται, ακόμη, η περίπτωση όπου το εξεταζόμενο μέλος φέρει ευαίσθητα διαχωριστικά (π.χ. τοιχοπληρώσεις). Βλ. EC2-1-1 §7.4.2(2)

Στην σχετική παράγραφο του παρόντος παρουσιάζεται το όριο (l/d)lim, ενώ στις πλάκες, όπου απαιτείται πραγματοποιείται και αναλυτικάς υπολογισμός του βέλους υπό τα οινεί μόνιμα φορτία βάσει της EC2-1-1 §7.4.3 και προσδιορίζεται τυχόν απαίτηση ανύψωσης ξυλοτύπου.

Βλ. στο τεύχος σε πλάκες & δοκούς «Συνθήκη απαλλαγής αναλυτικού υπολογισμού βέλους» και «Αναλυτικός υπολογισμός βέλους»

• Δομικός χάλυβας

1. Έλεγχος βέλους

Ο έλεγχος της οριακής κατάστασης λειτουργικότητας γίνεται για τα κυρίως καμπτόμενα στοιχεία (δοκοί) του φορέα, καθώς και τα στοιχεία εκείνα που φέρουν την επικάλυψη του φορέα (τεγίδες στις στέγες).

Ο υπολογισμός του κατακόρυφου βέλους κάμψης, καθώς και τα επιτρεπόμενα όρια για το συνολικό βέλος wmax και το βέλος λόγω μεταβλητών δράσεων w3 φαίνονται στο τεύχος για κάθε δοκό στον πίνακα «Έλεγχοι βελών κάμψης». Βλ. EC3-1-1 §7.2.1 (εθνικό προσάρτημα).

Σε μονώροφα μεταλλικά δομήματα χωρίς γερανογέφυρα το οριζόντιο βέλος κάμψης πληροί τον όριο που τίθεται στην EC3-1-1 §7.2.2 (εθνικό προσάρτημα).

• Παρατήρηση

Οι συνδυασμοί, για τους οποίους γίνεται ο έλεγχος βέλους μεταλλικών δοκών φαίνονται στα «Στοιχεία - δεδομένα κτιρίου» στον πίνακα 816 της παρούσης.

• Επιφανειακές Θεμελιώσεις

Η παραμορφωσιμότητα της θεμελιώσης (περιλαμβανομένης και της αλληλεπιδρασης εδάφους-φορέα) έχει ληφθεί υπόψη στην ανάλυση της κατασκευής. Βλ. EC8-1 §4.3.1(9)Α.

1. Δράσεις σχεδιασμού

Οι δράσεις σχεδιασμού των στοιχείων θεμελιώσης υπολογίζονται με βάση την υπεραντοχή των θεμελιούμενων στοιχείων [EC8-1 §4.4.2.6(2)Α].

a. Πέδιλα

Οι υπολογιστικές δράσεις των πεδίλων προσαυξάνονται σύμφωνα με τη σχέση (4.30) του EC8-1, λαμβανοντας υπόψη την ροπή υπεραντοχής του θεμελιούμενου στοιχείου.

b. Συνδετήριο Δοκοί

Οι σεισμικές συνιστώσες των υπολογιστικών δράσεων στις συνδετήριες δοκούς λαμβάνονται προσαυξημένες με ενιαία τιμή του γRd*Ω=1.40 [EC8-1 §4.4.2.6(8)].

c. Πεδιλοδοκοί

Οι σεισμικές συνιστώσες των υπολογιστικών δράσεων στις πεδιλοδοκούς λαμβάνονται προσαυξημένες με ενιαία τιμή του γRd*Ω=1.40 [EC8-1 §4.4.2.6(8)].

2. Φέρουσα ικανότητα

Γίνεται αναλυτικός έλεγχος της φέρουσας ικανότητας έδρασης (οριακού φορτίου) σύμφωνα με την EC7-1 §6.5.2.2 στα μεν αργιλώδη εδάφη θεωρώντας φόρτιση υπό αστράγγιστες συνθήκες (EC7-1 Παράρτημα Δ.3), στα δε αμμώδη εδάφη θεωρώντας φόρτιση χωρίς ανάπτυξη υδατικών υπερπιέσεων πόρων (EC7-1 Παράρτημα Δ.4).

3. Έλεγχος Αστοχίας σε ολισθηση

Γίνεται έλεγχος έναντι αστοχίας σε ολισθηση, σύμφωνα με EC7-1 §6.5.3

4. Αλληλεπιδραση εδάφους-κατασκευής

Όλα τα μέλη επί ελαστικού εδάφους ελέγχονται στην οριακή κατάσταση αστοχίας υπό την επιδραση δράσεων σχεδιασμού και των σχετικών αντιδράσεων του εδάφους, που προκύπτουν από θεώρηση ελαστικού ημιχώρου.

• Συνοπτική Περιγραφή της Ακολουθουμένης Μεθόδου

Συνοπτικά η μέθοδος σεισμικού υπολογισμού ακολουθεί τα εξής βήματα:

1. Καθορισμός - επιλογή φάσματος σχεδιασμού που εξαρτάται από την τοποθεσία, την σπουδαιότητα του δομήματος, τον εδαφικό τύπο κ.λ.π.
2. Εξιδανίκευση του δομήματος και καθορισμός προσομοιώματος
3. Υπολογισμός των μητρώου ακαμψίας [K]
4. Υπολογισμός του μητρώου μάζας [M]
5. Λύση του προβλήματος των ιδιομορφών για τον προσδιορισμό των πιο χαμηλόσυχνων (υψηλότερες ιδιοπερίοδοι Ti) Για δυναμική ανάλυση με μετατόπιση μαζών η παραπάνω διαδικασία επαναλαμβάνεται για κάθε έναν από τους τέσσερεις φορείς, οι οποίοι προκύπτουν από τη μετάθεση του Κέντρου Μάζας κατά την τυχηματική εκκεντρότητα (+x, +z, -x, -z)
6. Υπολογισμός της μέγιστης ιδιομορφικής απόκρισης για κάθε ιδιομορφή ως εξής:
 - a. Για κάθε ιδιοπερίοδο Ti ανάγνωση από το φάσμα σχεδιασμού των τεταγμένων επιτάχυνσης Sd(T)
 - b. Με βάση τα Sd(T) υπολογισμός των ιδιομορφικών μετατοπίσεων.
 - c. Υπολογισμός των ιδιομορφικών εντατικών μεγεθών.
7. Υπολογισμός των μεγίστων των εντατικών μεγεθών από τις ιδιομορφικές τους συνιστώσες (μέθοδος πλήρους τετραγωνικής επαλληλίας CQC) EC8-1 §4.3.3.3.2(3)A
8. Χωρική επαλληλία. Υπολογισμός των μεγίστων μετατοπίσεων και δυνάμεων για τις δύο (ή τις τρεις) συνιστώσες της σεισμικής φόρτισης (μέθοδος τετραγωνικής επαλληλίας SRSS) EC8-1 §4.3.3.5.1(2)β (ή EC8-1 §4.3.3.5.2(4) όταν υπάρχει και κατακόρυφη συνιστώσα)
9. Υπολογισμός των ταυτόχρονων (με τις μέγιστες) τιμών των εντατικών μεγεθών ('Ελλειψη Gupta) EC8-1 §4.3.3.5.1(2)γ.
10. Έλεγχος δυστρεψίας και κανονικότητας σε κάτοψη του δομήματος βάσει των ποσοτικών κριτηρίων των σχέσεων των EC8-1 §4.2.3.2(6) και §5.2.2.1(4)A και (6)
11. Υπολογισμός επιπρόσθετου κριτηρίου δυστρεψίας βάσει του οποίου ελέγχεται εάν οι δύο σημαντικές ιδιομορφές είναι κυρίως μεταφορικές.
12. Υπολογισμός πλαστιμότητας καμπυλοτήτων με [EC8-1 §5.2.3.4(3)] για τις δυο σεισμικές διευθύνσεις (κτίρια από σκυρόδεμα)
13. Υπολογισμός των αναγκαίων οπλισμών ώστε να προκύψει ανθεκτική και πλάστιμη κατασκευή:
 - a. Ανθεκτική κατασκευή: Διαστασιολόγηση μελών, ώστε να τηρείται η συνθήκη αντοχής $Ed < Rd$
 - b. Πλάστιμη κατασκευή: εξασφάλιση ολικής και τοπικής πλαστιμότητας
Τα δομικά μέλη διαστασιολογούνται με τέτοιον τρόπο ώστε να προηγείται η καμπτική αστοχία της διατμητικής. Σε πλαισιακά δομήματα εξασφαλίζεται ότι η αντοχή σε κάμψη των υποστυλωμάτων σε ενα κόμβο να είναι μεγαλύτερη από την αντοχή σε κάμψη των δοκών που συντρέχουν στον ίδιο κόμβο. Εξασφαλίζεται, ακόμη, η τοπική πλαστιμότητα σε θέσεις πιθανών πλαστικών αρθρώσεων.
14. Όταν κρίνεται αναγκαίο ή σκόπιμο πραγματοποιείται μη γραμμική στατική ανάλυση (pushover) ώστε να ελεγχθούν οι πλαστικοί μηχανισμοί, η ακολουθία δημιουργίας των πλαστικών αρθρώσεων και τα περιθώρια του λόγου υπεραντοχής αυ/α1. Βλ. EC8-1 §4.2.3(8), §4.3.3.4.2.4

• Πίνακας ειδικών συμβόλων αποτελεσμάτων οπλισμών

A/A	Σύμβολο	Έλεγχος	Σημασία
1.	Λ	Οπουδήποτε	Το υπόψη στοιχείο απέτυχε στον έλεγχο
2.	&	Zoellner	Διαδοκίδων ως ορθογωνική διατομή
3.	!	Λυγηρότητα	Υπέρβαση ορίων λυγηρότητας
4.	ΠΛ	Κάμψη προβόλου	Κρίσιμος είναι ο έλεγχος στην πλάκα
5.	Πρ	Κάμψη προβόλου	Κρίσιμος είναι ο έλεγχος στον πρόβολο
6.	Μ	Εντατικά μεγέθη δοκών	Η ροπή του ανοίγματος προέκυψε από την ροπή της μονόπακτης
7.	Σ	Εντατικά μεγέθη δοκών	Η ροπή της στήριξης προέκυψε από το 65% της ροπής της αμφίπακτης
8.	Π	ΚΑΜΨΗ δοκών	Ο συνεργάζομενος οπλισμός πλάκας προσμετράται στον οπλισμό της δοκού και στους ελέγχους πλαστιμότητας
9.	KΟΜΒΟΣ 0	ΚΑΜΨΗ δοκών	Σημείο μέγιστης θετικής ροπής της δοκού
10.	x	ΔΙΑΤΑΜΗΣΗ δοκών	Στοιχείο υπό ανακυκλίζομένη τέμνουσα. Απαιτείται (και τοποθετείται) δισδιαγώνιος οπλισμός που παραλαμβάνει το 50% της τέμνουσας
11.	πλ	ΠΛΑΣΤΙΜΟΤΗΤΑ δοκών	Τοποθετείται πρόσθετος οπλισμός ώστε να ικναποιείται ο έλεγχος τοπικής πλαστιμότητας
12.	π	ΣΥΝΔΕΤΗΡΕΣ στύλων	Πραγματοποιείται έλεγχος περίσφριγξης
13.	κ	ΣΥΝΔΕΤΗΡΕΣ στύλων	Πραγματοποιείται έλεγχος διάτμησης κόμβου
14.	!	ΠΕΔΙΛΑ, ΠΕΔΙΛΟΔΟΚΟΙ	Υπέρβαση επιτρεπομένων τάσεων εδάφους
15.	@	ΠΕΔΙΛΑ, ΠΕΔΙΛΟΔΟΚΟΙ	Αρνητική τάση εδάφους (εμφάνιση χαίνοντος αρμού)

• Βιβλιογραφία

1. «Numerical methods in finite element analysis», K.J. Bathe and E.L. Wilson, 1976.
2. «Seismic design of reinforced concrete and masonry buildings», T. Paulay and M. J. N. Priestley, 1992.
3. «Dynamics of Structures», R. W. Clough and J. Penzien, 1993.
4. «Seismic Design, Assessment and Retrofitting of Concrete Buildings», Michael N. Fardis, 2009.
5. «Αντισεισμικές κατασκευές Ι», K. K. Αναστασιάδη, 1989.
6. «Earthquake-resistant concrete structures», G. Penelis and A. Kappos, 1997.

7. «Ο νέος αντισεισμικός κανονισμός και η δυναμική μέθοδος», Σ.Π. Λιβιεράτου και Δ.Κ. Χαραμιδόπουλου, 1995.
8. «FESPA for Windows - Το επίσημο εγχειρίδιο αναφοράς», LH Λογισμική, 1998.
9. «FESPA 10 - ΕΥΡΩΚΩΔΙΚΕΣ & PUSHOVER - Οδηγίες χρήσης», LH Λογισμική, 2010.
10. «Εφαρμογή Ευρωκωδίκων στο FESPA», Ιωάννη Ψυχάρη, 2010.
11. «Designers' Guide to EN 1992-1-1 and EN 1992-1-2 Eurocode 2: Design of Concrete Structures», A.W. Beeby and R.S. Narayanan, 2005.
12. «Designers' Guide to EN 1997-1 Eurocode 7: Geotechnical Design - General Rules», R. Frank, C Bauduin, R. Driscoli, M. Kavvadas, N. Krebs Ovesen, T. Orr and B. Shuppener, 2004.
13. «Concrete Structures Euro-Design Handbook 1994/96», Ernst & Sohn, Berlin, 1995.
14. «Reinforced Concrete Design to Eurocode 2», Bill Mosley, John Bungey and Ray Hulse, 2007.
15. «Σιδηρές Κατασκευές», Τόμος Ι, Βάγιας Ι., Ερμόπουλος Ι., Ιωαννίδης Γ, Κλειδάριθμος, 2005.
16. «Σιδηρές Κατασκευές», Βάγιας Ι., Κλειδάριθμος, 2003.

Γενικοί έλεγχοι δομήματος.

ην Ευρωκώδικα για την επιλογή q

Υπολογισμός nV βάσει: όλων των τοιχωμάτων

Ποσοστό τέμνουσας δύναμης τοιχωμάτων §5.1.2

nvX	nVZ
0,000	0,000

ηνG για απαίτηση ικανοτικού

Υπολογισμός nG βάσει: όλων των τοιχωμάτων με μήκος lw >= 1,50

Ποσοστό τέμνουσας δύναμης τοιχωμάτων §5.1.2 & §4.4.2.3(4) Ελληνικό Ε.Π. §3.2

nvGx	nvGz
0,000	0,000

Όταν nG > 0.50: Δεν απαιτείται ικανοτικός σχεδιασμός υποστυλωμάτων

Μέγιστο ανηγμένο αξονικό φορτίο υποστυλωμάτων

Οροφος [/]	Υποστύλωμα [/]	Φόρτιση [/]	vd [/]
0	K8	ΣΣ:+x	-0,30

$$\text{Σκυρόδεμα: } v_d = \frac{N_{Ed}}{A_c \cdot f_{cd}} \quad - \quad \text{Χάλυβας: } v_d = \frac{N_{Ed}}{N_{plRd}}$$

Σημείωση

* Το υψόμετρο βάσης του κτηρίου είναι: H= 0,00

* Ο υπολογισμός του (nV) γίνεται στους στύλους του ορόφου: 0

Κριτήρια κανονικότητας σε κάτοψη - EC8-1 §4.2.3.2

Ελεγχοί στρεπτικής δυσκαμψίας ορόφων - EC8-1 §5.2.2.1(4)P {r > ls}

Επίπεδο [/]	Υψόμετρο οροφής [m]	rI [m]	>	ls [m]	rII [m]	>	ls [m]
4	14,85	12,98	>	5,86	6,81	>	5,86
3	10,65	12,98	>	5,93	6,81	>	5,93
2:nv	6,45	12,98	>	5,93	6,81	>	5,93
1	0,00	12,98	>	5,98	6,81	>	5,98

To δόμημα είναι στρεπτικά δύσκαμπτο.

Ελεγχοί περιορισμού στατικής εκκεντρότητας - EC8-1 §4.2.3.2(6) {0,30*r > |eoI|}

Επίπεδο [/]	Υψόμετρο οροφής [m]	0,30*rI [m]	>	eoI [m]	0,30*rII [m]	>	eoII [m]
4	14,85	3,89	>	0,15	2,04	>	0,02
3	10,65	3,89	>	0,14	2,04	>	0,02
2:nv	6,45	3,89	>	0,14	2,04	>	0,02
1	0,00	3,89	>	0,16	2,04	>	0,01

To δόμημα ενδεχομένων είναι κανονικό σε κάτωση**.

* ==> όπου: ? = μη πληρούμενο κριτήριο

** ==> Απαιτείται επιπλέον έλεγχος των γεωμετρικών κριτηρίων των §4.2.3.2(2) - (5)

Ελεγχος δύο πρώτων σημαντικών Ιδιομορφών αν είναι κυρίως μεταφορικές: (PM1>ls),(PM2>ls)

Επίπεδο	ls	Μετ.Μάζας [+X]		Μετ.Μάζας [+Z]		Μετ.Μάζας [-X]		Μετ.Μάζας [-Z]	
		PM1	PM2	PM1	PM2	PM1	PM2	PM1	PM2
4	5,86	99,99	0,95?	99,99	2,80?	99,99	1,08?	99,99	2,50?
3	5,93	99,99	0,94?	99,99	2,70?	99,99	1,19?	99,99	2,50?
2:nv	5,93	99,99	1,03?	99,99	2,60?	99,99	1,19?	99,99	2,40?
1	5,98	99,99	0,92?	99,99	3,99?	94,13	0,70?	99,99	3,61?

* ==> όπου: ? = μη πληρούμενο κριτήριο

Πλαστιμότητα καμπυλοτήτων μφ - EC8-1 §5.2.3.4(3)

Διεύθυνση σεισμού [-]	Βασική τιμή συντ. συμπεριφοράς qo	Θεμελιώδης Ιδιοπερίοδος T1 [sec]	Δρώσα μάζα [%]	Φορέας [/]	Πλαστιμότητα μφ [/]	Επιταχύνσεις ελαστ. φάσμ. Se(T1) [m/s ²]
Z	3,300	1,247	97,610	4	5,600	4,079
X	3,450	0,646	79,643	2	5,900	7,873

Χαρακτηριστική Περίοδος Tc = 0,600

Επίπεδο [/] /	Θήτα [/]	ds (X) [cm]	ds (Z) [cm]	Μέσο(drX*v)/h [/]	Μέσο(drZ*v)/h [/]	K-ΔΣΜ(X) [%]	K-ΔΣΜ(Z) [%]
4	0,036	10,63	19,21	0,0015	0,0020	0,00	0,00
3	0,072	8,94	17,03	0,0023	0,0036	0,00	0,00
2:nv	0,160	6,34	13,02	0,0031	0,0072	0,00	0,00
1	0,053	0,87	0,88	0,0011	0,0011	0,00	0,00

Σημείωση

* Τα Θ, dr, ds έχουν υπολογιστεί με $d = q * de$ ($qx = 3,45 / qz = 3,30$). Συντελεστής μείωσης $v = 0,40$

* (ds: Απόλυτες μετακινήσεις, dr: Σχετικές μετακινήσεις).

* ΚΔΣΜ: Ακαμψία Δευτερευόντων μελών $<= 15.0\%$

Επίδραση τοιχοπληρώσεων - η_c (ΣΠΕΜ) Υποστυλωμάτων EC8-1 §4.3.6.3.2

Ορόφος [/]	$\Delta VRwX$ [kN]	$\Delta VRwZ$ [kN]	$\Sigma VEdX$ [kN]	$\Sigma VEdz$ [kN]	ΣΠΕΜ η_c_X	qx [-]	ΣΠΕΜ η_c_Z	qz [-]
2	0,00	0,00	1193,65	1576,31	1,000	3,450	1,000	3,300
1	0,00	0,00	1836,38	1703,56	1,000	3,450	1,000	3,300
0	0,00	0,00	2338,82	1619,65	1,000	3,450	1,000	3,300
-1	0,00	0,00	2724,06	2414,85	1,000	3,450	1,000	3,300

$$\eta_c = 1 + \frac{\Delta V_{Rw}}{\Sigma V_{Ed}} \leq q$$

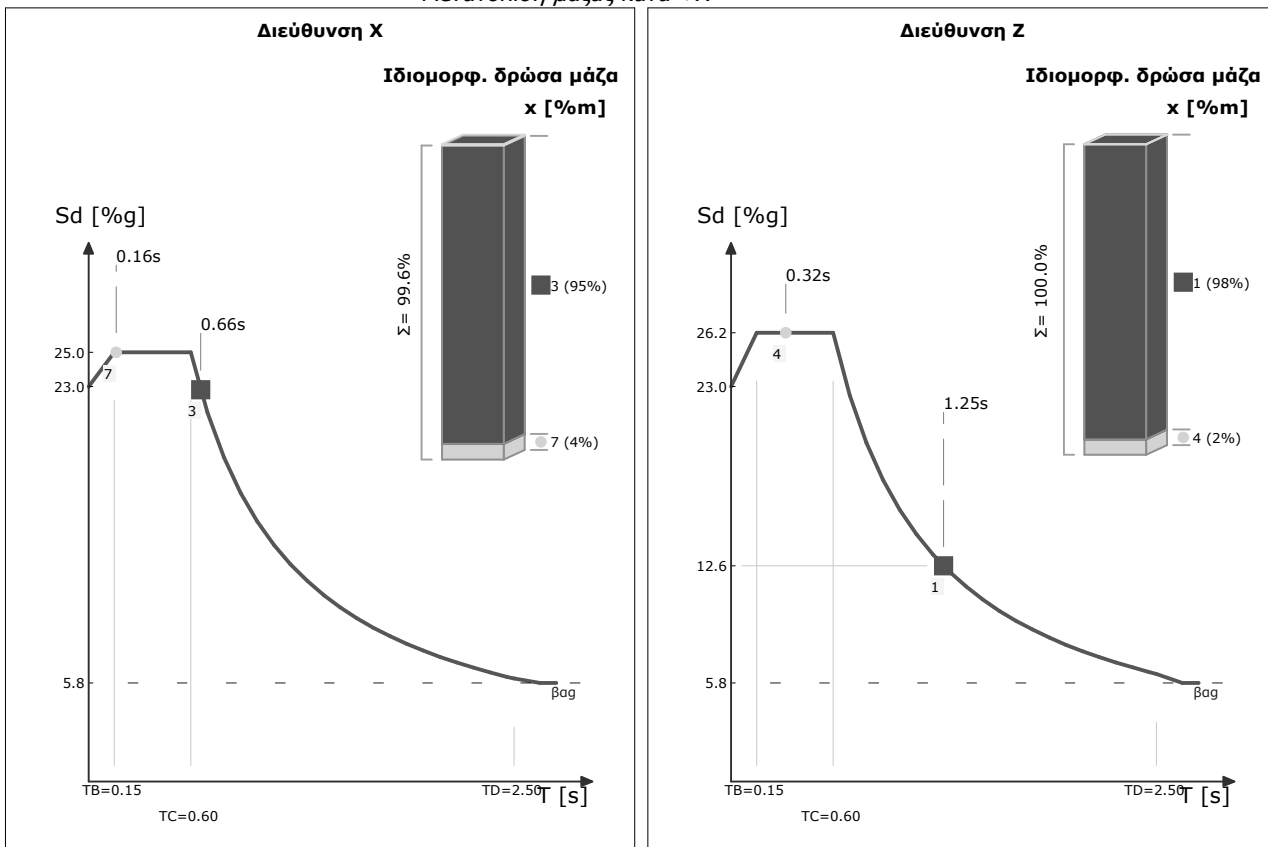
Συνοπτικά δεδομένα μελέτης

Ορόφος [/]	Υψόμετρο οροφής [m]	ΣΠΕΜ Δοκών nb	Συντ. Συνδυασμών ψ2	Συντ. μεταβλ. δράσεων Φ	Συντ. εκκ/τας X Lz	Συντ. εκκ/τας Z Lx
2	14,85	1,000	0,600	0,500	0,050	0,050
1	10,65	1,000	0,600	0,500	0,050	0,050
0	6,45	1,000	0,600	0,500	0,050	0,050
-1	0,00	1,000	0,600	0,500	0,050	0,050
-2	-3,00	1,000	0,250	0,500	0,050	0,050

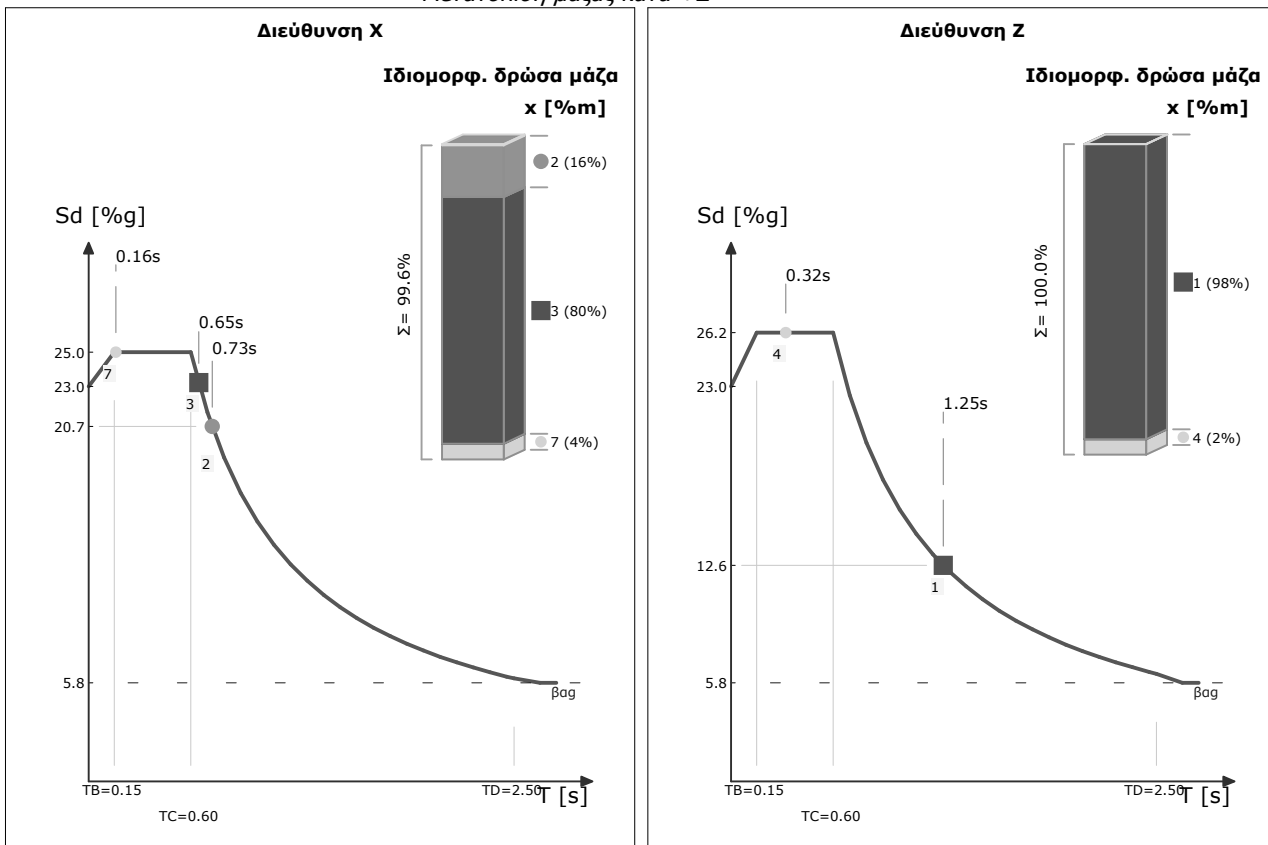
Σεισμική ανάλυση

Φάσμα σχεδιασμού [EC8-1 §3.2.2.5] - Ιδιοπερίοδοι

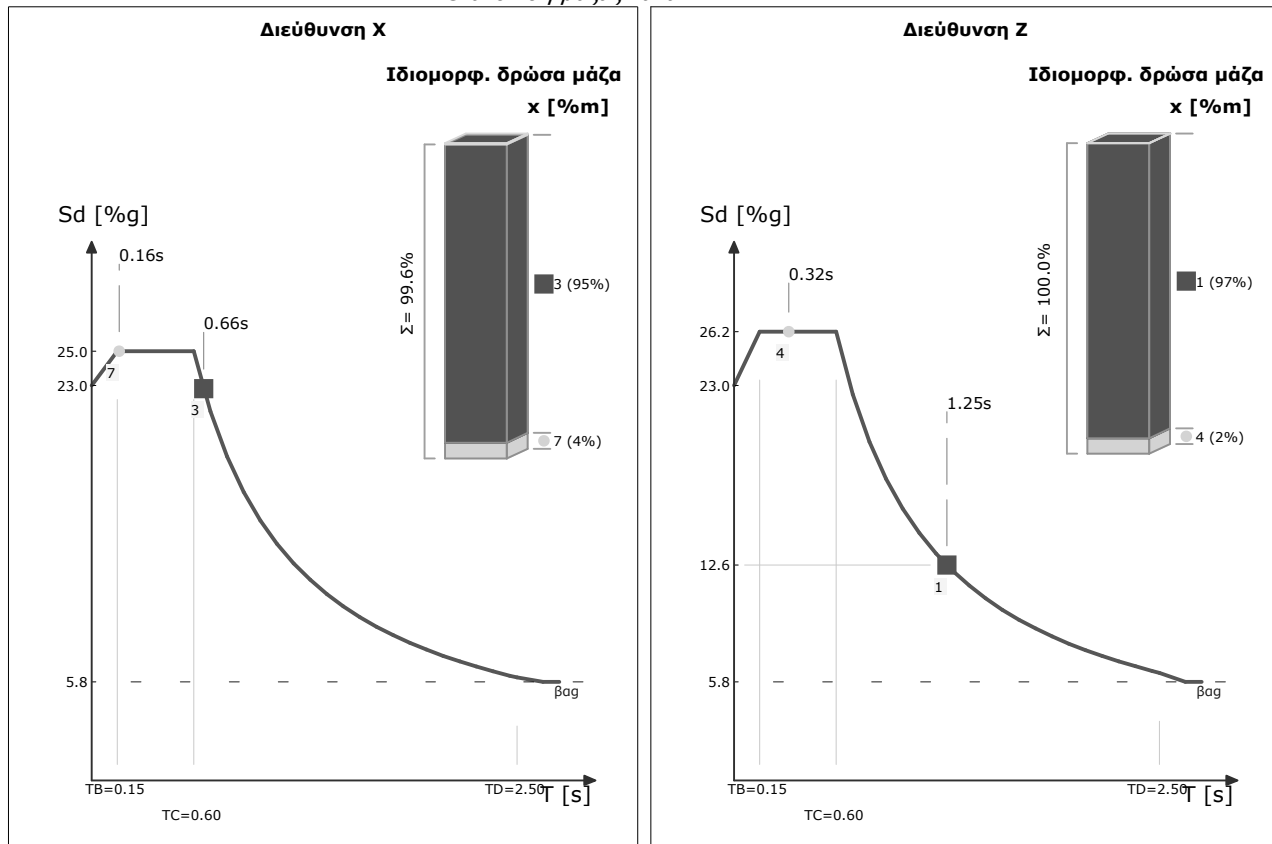
Μετατόπιση μάζας κατά +X



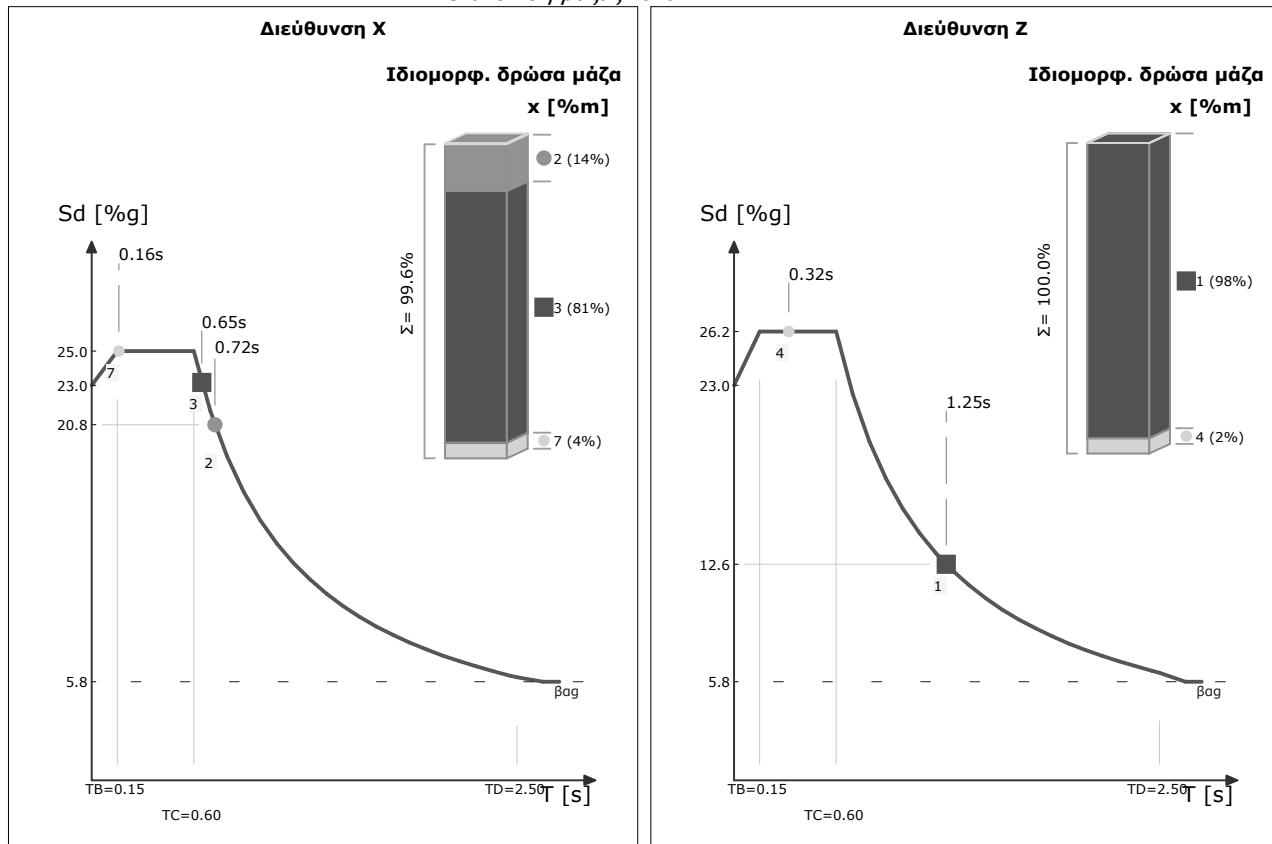
Μετατόπιση μάζας κατά +Z



Μετατόπιση μάζας κατά -X



Μετατόπιση μάζας κατά -Z



Τέμνουσα βάσης [EC8-1 §4.3.3.3.1(3), §4.3.3.3.2(3)P]

$$F_b = CQC(F_{bk}), \quad F_{bk} = Sd(T_k) \cdot m_k$$

Διεύθυνση σεισμού [μετατόπιση μάζας κατά]	Fb [kN]
X [+Z]	1876.47
X [-Z]	1895.66
Z [+X]	1144.51
Z [-X]	1139.92

Κριτήρια κανονικότητας καθ' ύψος [EC8-1 §4.2.3.3 (3)]

Επίπεδο i	Υψόμετρο οροφής	Υψος ορόφου	Δυσκαμψία Kxi	Μεταβολή καθ' ύψος	Δυσκαμψία Kzi	Μεταβολή καθ' ύψος	Μάζα mi	Μεταβολή καθ' ύψος
[/] 4	[m] 14.85	[m] 4.20	[kN/m] 0.18590E+06	[%] -14%	[kN/m] 0.75183E+05	[%] + 2%	[ton] 0.32581E+03	[%] + 6%
3	10.65	4.20	0.21675E+06	+ 56%	0.73554E+05	+ 125%	0.30731E+03	-2%
2	6.45	6.45	0.13891E+06	-83%	0.32547E+05	-92%	0.31678E+03	-3%
1:βάση	0.00	3.00	0.83662E+06		0.46257E+06		0.32756E+03	

Σημεώσεις:

Οι ποσοστιαίες διαφορές μεταξύ των ορόφων μετρώνται από τη βάση προς την κορυφή του κτιρίου.
Το κριτήριο κανονικότητας καθ' ύψος ορίζει πως η οριζόντια δυσκαμψία και η μάζα θα πρέπει να είναι σταθερές καθ' ύψος, ή να μειώνονται (αρνητική μεταβολή).

Πίνακας Κοντών Υποστυλωμάτων

Πίνακας Κοντών Υποστυλωμάτων

Υποστύλωμα	Οροφος	Διατομή	Msd/Vsd	h[m]	as	Κοντό	Εξασφάλιση
K 7	-1	100/50	1,76	1,00	1,76	Οχι	
K 7	0	100/50	3,57	1,00	3,57	Οχι	
K 7	1	100/50	2,10	1,00	2,10	Οχι	
K 7	2	100/50	2,34	1,00	2,34	Οχι	
K 8	-1	130/50	1,73	1,30	1,33	Οχι	
K 8	0	130/50	3,63	1,30	2,79	Οχι	
K 8	1	130/50	2,44	1,30	1,87	Οχι	
K 8	2	130/50	2,64	1,30	2,03	Οχι	
K 9	-1	100/50	1,72	1,00	1,72	Οχι	
K 9	0	100/50	3,60	1,00	3,60	Οχι	
K 9	1	100/50	2,36	1,00	2,36	Οχι	
K 9	2	100/50	2,23	1,00	2,23	Οχι	
K 10	-1	100/50	1,76	1,00	1,76	Οχι	
K 10	0	100/50	3,55	1,00	3,55	Οχι	
K 10	1	100/50	2,10	1,00	2,10	Οχι	
K 10	2	100/50	2,33	1,00	2,33	Οχι	
K 11	-1	130/50	1,73	1,30	1,33	Οχι	
K 11	0	130/50	3,61	1,30	2,78	Οχι	
K 11	1	130/50	2,44	1,30	1,88	Οχι	
K 11	2	130/50	2,64	1,30	2,03	Οχι	
K 12	-1	100/50	1,72	1,00	1,72	Οχι	
K 12	0	100/50	3,60	1,00	3,60	Οχι	
K 12	1	100/50	2,36	1,00	2,36	Οχι	
K 12	2	100/50	2,22	1,00	2,22	Οχι	
K 13	-1	50/100	1,58	1,00	1,58	Οχι	
K 14	-1	50/100	1,52	1,00	1,52	Οχι	
K 15	-1	50/100	1,58	1,00	1,58	Οχι	

Ικανοτικός σχεδιασμός υποστυλωμάτων

Αποφυγή σχηματισμού μηχανισμού ορόφου [EC8-1 §4.4.2.3]

Διανομή Ροπών Αντοχής Δοκών στα Υποστυλώματα - $aCD=1,30*\Sigma(MRb)/\Sigma(MEc)$

Op.	Κόμβος	Στύλος	Διεύθ.	$\Sigma(MCDc)$	$1,30*\Sigma(MRb)$	$\Sigma(MEc)$	$aCD=MCDc/MEc$	MEc_a	MEc_b	MCDc_a	MCDc_b
0	7	K7	+Y	1310,17	1310,17	943,11	1,05	253,63	689,48	589,58	720,59
			-Y	-1309,02	-1309,02	-943,11	1,04	-253,63	-689,48	-589,06	-719,96
			+Z	1358,68	1306,64	1092,52	1,00	321,83	770,69	587,99	770,69
			-Z	-1387,35	-1370,34	-1092,52	1,00	-321,83	-770,69	-616,65	-770,69
0	8	K8	+Y	2045,52	2045,52	1188,61	1,29	319,53	869,08	920,48	1125,03
			-Y	-1553,40	-1520,71	-1188,61	1,00	-319,53	-869,08	-684,32	-869,08
			+Z	4611,45	4611,45	2356,95	1,56	726,78	1630,17	2075,15	2536,30
			-Z	-4614,52	-4614,52	-2356,95	1,56	-726,78	-1630,17	-2076,54	-2537,99
0	9	K9	+Y	1226,64	1226,64	903,84	1,01	234,47	669,37	551,99	674,65
			-Y	-1208,30	-1197,63	-903,84	1,00	-234,47	-669,37	-538,93	-669,37
			+Z	1378,71	1332,79	1166,07	1,00	387,11	778,96	599,75	778,96
			-Z	-1363,85	-1299,76	-1166,07	1,00	-387,11	-778,96	-584,89	-778,96
0	10	K10	+Y	1309,02	1309,02	941,15	1,05	254,95	686,20	589,06	719,96
			-Y	-1310,17	-1310,17	-941,15	1,05	-254,95	-686,20	-589,58	-720,59
			+Z	1353,92	1306,64	1085,20	1,00	319,27	765,93	587,99	765,93
			-Z	-1382,58	-1370,34	-1085,20	1,00	-319,27	-765,93	-616,65	-765,93
0	11	K11	+Y	1551,73	1520,71	1187,75	1,00	320,34	867,41	684,32	867,41
			-Y	-2045,52	-2045,52	-1187,75	1,30	-320,34	-867,41	-920,48	-1125,03
			+Z	4611,45	4611,45	2339,96	1,57	720,46	1619,50	2075,15	2536,30
			-Z	-4614,52	-4614,52	-2339,96	1,57	-720,46	-1619,49	-2076,54	-2537,99
0	12	K12	+Y	1205,10	1197,63	901,93	1,00	235,76	666,17	538,93	666,17
			-Y	-1226,64	-1226,64	-901,93	1,01	-235,76	-666,17	-551,99	-674,65
			+Z	1373,05	1332,79	1156,55	1,00	383,26	773,29	599,75	773,29
			-Z	-1358,19	-1299,76	-1156,55	1,00	-383,26	-773,29	-584,89	-773,29
1	7	K7	+Y	812,81	812,81	465,05	1,37	139,03	326,02	365,76	447,05
			-Y	-579,29	-562,83	-465,05	1,00	-139,03	-326,02	-253,27	-326,02
			+Z	885,41	880,30	682,96	1,00	193,68	489,28	396,13	489,28
			-Z	-849,16	-799,74	-682,96	1,00	-193,68	-489,28	-359,88	-489,28
1	8	K8	+Y	1481,22	1481,22	580,96	2,00	173,07	407,89	666,55	814,67
			-Y	-898,98	-898,98	-580,96	1,21	-173,07	-407,89	-404,54	-494,44
			+Z	3340,46	3340,46	1415,06	1,74	360,50	1054,56	1503,21	1837,25
			-Z	-3347,06	-3347,06	-1415,06	1,75	-360,50	-1054,57	-1506,18	-1840,88
1	9	K9	+Y	812,81	812,81	438,12	1,45	129,01	309,12	365,76	447,05
			-Y	-561,60	-561,09	-438,12	1,00	-129,00	-309,12	-252,49	-309,12
			+Z	901,83	858,46	682,08	1,00	166,56	515,52	386,31	515,52
			-Z	-909,23	-874,91	-682,08	1,00	-166,56	-515,52	-393,71	-515,52
1	10	K10	+Y	579,71	562,83	465,20	1,00	138,76	326,44	253,27	326,44
			-Y	-812,81	-812,81	-465,20	1,37	-138,76	-326,44	-365,76	-447,05
			+Z	881,88	880,30	678,36	1,00	192,61	485,75	396,13	485,75
			-Z	-845,63	-799,74	-678,36	1,00	-192,61	-485,75	-359,88	-485,75
1	11	K11	+Y	898,98	898,98	581,14	1,21	172,97	408,17	404,54	494,44
			-Y	-1481,22	-1481,22	-581,14	2,00	-172,97	-408,17	-666,55	-814,67
			+Z	3340,46	3340,46	1404,12	1,76	357,82	1046,31	1503,21	1837,25
			-Z	-3347,06	-3347,06	-1404,12	1,76	-357,82	-1046,31	-1506,18	-1840,88
1	12	K12	+Y	562,00	561,09	438,25	1,00	128,73	309,52	252,49	309,52
			-Y	-812,81	-812,81	-438,25	1,44	-128,73	-309,52	-365,76	-447,05
			+Z	897,28	858,46	675,73	1,00	164,76	510,97	386,31	510,97
			-Z	-904,68	-874,91	-675,73	1,00	-164,76	-510,97	-393,71	-510,97

Διανομή ροπών ανακατανομής δοκών στα υποστυλώματα

Διανομή ροπών ανακατανομής δοκών στα υποστυλώματα [EC2-1-1 §5.3.2.2(3)]

Op.	Κόμβος	Στύλος	Διεύθ.	$\Sigma(Mc_{avk})$	$\Sigma(\Delta Mc_{avk})$	$\Sigma(MEc)$	$aANK=Mc_{avk}/Mc$	MEc_a	MEc_b	Mc_avk_a	Mc_avk_b
-1	7	K7	+Y	834,35	-88,29	890,85	1,00	708,33	182,52	755,26	79,09
-1	8	K8	-Y	-947,35	121,38	-890,85	1,00	-708,33	-182,52	-661,40	-285,95

Διανομή ροπών ανακατανομής δοκών στα υποστυλώματα [ΕC2-1-1 §5.3.2.2(3)]

Op.	Kόμβος	Στύλος	Διεύθ.	$\Sigma(Mc_{avk})$	$\Sigma(\Delta_Mb_{avk})$	$\Sigma(MEc)$	$aANK=Mc_{avk}/Mc$	MEc_a	MEc_b	Mc_{avk_a}	Mc_{avk_b}
-1	9	K9	+Y -Y	843,50 -923,64	-101,31 89,53	883,57 -883,57	1,00 1,00	692,57 -692,57	191,00 -191,00	738,19 -646,95	105,31 -276,69
-1	10	K10	+Y -Y	921,50 -856,21	-46,58 25,01	888,86 -888,86	1,00 1,00	699,94 -699,94	188,92 -188,92	649,34 -750,54	272,16 -105,68
-1	11	K11	+Y -Y	977,12 -1153,84	-57,71 182,50	1065,48 -1065,48	1,00 1,00	886,08 -886,08	179,40 -179,40	745,22 -1026,94	231,90 -126,90
-1	12	K12	+Y -Y	899,60 -860,34	-35,22 38,55	879,97 -879,97	1,00 1,00	684,33 -684,33	195,64 -195,64	636,62 -732,03	262,97 -128,31
-1	13	K13	+Z -Z	768,96 -796,22	135,89 -131,69	648,80 -648,80	1,21 1,20	0,00 0,00	648,80 -648,80	0,00 0,00	768,96 -796,22
-1	15	K15	+Z -Z	735,01 -774,59	121,87 -130,32	628,70 -628,70	1,20 1,20	0,00 0,00	628,70 -628,70	0,00 0,00	735,01 -774,59
2	7	K7	+Y -Y +Z -Z	504,97 113,44 177,03 -497,03	7,39 0,00 -14,67 66,41	192,07 -192,07 337,03 -337,03	1,01 1,00 1,00 1,00	0,00 0,00 0,00 0,00	192,07 -192,07 337,03 -337,03	0,00 0,00 0,00 0,00	504,97 113,44 177,03 -497,03
2	8	K8	+Y -Y +Z -Z	1060,63 484,69 705,71 -677,68	101,53 0,00 0,00 -119,62	237,20 -237,20 631,88 -631,88	1,11 1,00 1,00 1,21	0,00 0,00 0,00 0,00	237,20 -237,20 631,88 -631,88	0,00 0,00 0,00 0,00	1060,63 484,69 705,71 -677,68
2	9	K9	+Y -Y	466,85 102,87	0,65 0,00	181,66 -181,66	1,00 1,00	0,00 0,00	181,66 -181,66	0,00 0,00	466,85 102,87
2	10	K10	+Y -Y +Z -Z	-113,30 -504,63 175,22 -494,87	0,00 -7,40 -14,95 64,68	191,97 -191,97 335,04 -335,04	1,00 1,01 1,00 1,00	0,00 0,00 0,00 0,00	191,97 -191,97 335,04 -335,04	0,00 0,00 0,00 0,00	-113,30 -504,63 175,22 -494,87
2	11	K11	+Y -Y +Z -Z	-484,70 -1061,73 701,19 -672,12	0,00 -102,63 0,00 -119,05	237,20 -237,20 627,13 -627,13	1,00 1,11 1,00 1,22	0,00 0,00 0,00 0,00	237,20 -237,20 627,13 -627,13	0,00 0,00 0,00 0,00	-484,70 -1061,73 701,19 -672,12
2	12	K12	+Y -Y	-103,08 -466,85	0,00 -0,64	181,56 -181,56	1,00 1,00	0,00 0,00	181,56 -181,56	0,00 0,00	-103,08 -466,85

Επίλυση πλακών -2ου ορόφου

Στατικό σύστημα πλακών : Πλάκες επί ελαστικού εδάφους.

Υπολογισμοί οπλισμών και έλεγχοι λειτουργικότητας κατά τον EC2-1-1.

Υπολογισμός κοινού οικοδομικού έργου - Χωρίς ανάγκη Δυσμενών Φορτίσεων

Εντατικά μεγέθη - Οπλισμοί πλακών

Πλάκα [/]	Τύπος [/]	Διε x-z	dx [m]	mfz [kNm]		As1x_rq [cm ²]	As2x_rq [cm ²]	dz [m]	mfz [kNm]		As1z_rq [cm ²]	As2z_rq [cm ²]	
1	4	x-z	0,425	311,07		17,93	4,48	0,415	173,09		10,00	2,50	
2	4	x-z	0,425	240,40		13,69	3,42	0,415	113,28		6,48	1,62	

Στις πλάκες zoellner ή sandwich, τα εντατικά μεγέθη και οι οπλισμοί έχουν αναχθεί ανά διαδοκίδα

Ράβδοι σιδηρού οπλισμού πλακών

Πλάκα [/]	Διεύθυνση Κάτω	x Άνω	Διεύθυνση Κάτω	z Άνω	Ελεύθερη Κάτω	παρεία Άνω	Οπλισ Κάτω	συστροφής Άνω
1	Φ8/11	Φ16/11	Φ8/20	Φ12/11				
2	Φ8/14	Φ14/11	Φ8/25	Φ10/12				

Ροπές και οπλισμοί στηρίξεων

Πλάκα [/]	Πλάκα [/]	d [m]	MEd1 [kNm]	MEd2 [kNm]	MEd [kNm]	As1_rq [cm ²]		As2_rq [cm ²]		Άνω	Κάτω	
1 (Δε)	2 (Αρ)	0,425	504,45	324,41	504,45	30,19		0,00		+ Φ16/6		

Επίλυση πλακών -1ου ορόφου

Στατικό σύστημα πλακών : Επιφανειακός φορέας.

Υπολογισμοί οπλισμών και έλεγχοι λειτουργικότητας κατά τον EC2-1-1.

Ο υπολογισμός των εντατικών μεγεθών των πλακών γίνεται με την μέθοδο Pierer-Martins

Υπολογισμός κοινού οικοδομικού έργου - Χωρίς ανάγκη Δυσμενών Φορτίσεων

Εντατικά μεγέθη - Οπλισμοί πλακών

Πλάκα [/]	Τύπος [/]	Διε [m]	dx [m]	mfx [kNm]		As1x_rq [cm ²]	As2x_rq [cm ²]	dz [m]	mfz [kNm]		As1z_rq [cm ²]	As2z_rq [cm ²]	
1	4	x-z	0,475	129,34		6,42	0,00	0,465	46,41		2,32	0,00	
2	4	x-z	0,475	89,41		4,41	0,00	0,465	23,40		1,16	0,00	

Στις πλάκες zoellner ή sandwich, τα εντατικά μεγέθη και οι οπλισμοί έχουν αναχθεί ανά διαδοκίδα

Ράβδοι σιδηρού οπλισμού πλακών

Πλάκα [Λ]	Διεύθυνση Κάτω	x Άνω	Διεύθυνση Κάτω	z Άνω	Ελεύθερη Κάτω	παρειά Άνω	Οπλισ Κάτω	συστροφής Άνω
1	4Φ16/δοκ		4Φ10/δοκ					
2	4Φ12/δοκ		4Φ10/δοκ					

Ροπές και οπλισμοί στηρίξεων

Πλάκα [/]	Πλάκα [/]	d [m]	MEd1 [kNm]	MEd2 [kNm]	MEd [kNm]	As1_rq [cm ²]		As2_rq [cm ²]		Anω	Kάτω	
1 (Δε)	2 (Αρ)	0,475	154,12	104,35	129,24	6,45		0,00		+ Φ8/50		

Ο. Κ. Λειτουργικότητας: Συνθήκη απαλλαγής αναλυτικού υπολογισμού βέλους. [EC2-1-1 §7.4.2]

Πλάκα [/]	I [m]	d [m]	K [/]	p0 [o/oo]	As1_pr [cm ²]	As1_ca [cm ²]	As2_ca [cm ²]	[I/d] [/]		[I/d]lim [/]
1	8,40	0,475	1,30	5,48	8,04	6,42	0,00	14,74	<	224,69
2	6,50	0,475	1,30	5,48	4,52	4,41	0,00	13,68	<	199,00

Ο. Κ. Λειτουργικότητας: Αναλυτικός έλεγχος βέλους.

Πλάκα [/]	MEd [kNm]	Συντ. ζ	Κάμψη + Στ.Ι	Ερπυσμός Στ.ΙΙ	Συστολή Στ.Ι	Ξήρανσης Στ.ΙΙ	Ολικό βέλος	Επιπρ βέλος	Υψωση ξυλοτ	Βέλος διαχ.	Επιπρ. διαχ.	
1	79,42	0,00	5,52	0,00	0,97	0,00	6,50	33,60	0,00	1,78	20,00	O.K.
2	55,14	0,00	2,09	0,00	0,30	0,00	2,39	26,00	0,00	0,66	18,57	O.K.

Τα βέλη σε [mm] - Ο έλεγχος των παραμορφώσεων γίνεται με την φόρτιση [G+ψ2*Q]. (EC2 - §7.4)

Συντελεστής ερπυσμού $\phi = 2,50$, Συστολή ξήρανσης $ecs = 0,0004$

Ο. Κ. Λειτουργικότητας: Περιορισμός Ρηγμάτωσης (άνοιγμα)- Wk<0,3 [EC2-1-1 §7.3.4]

Πλάκα [/]	d [m]	MEd [kNm]		Mcr [kNm]	Asmin [cm ²]	σs [MPa]	SrMax [m]	esm-ecm [*E-3]	Wk [mm]	
1	0,475	79,42	<	133,87	6,87					
2	0,475	55,14	<	128,18	6,01					

Ο έλεγχος ρηγμάτωσης στο άνοιγμα γίνεται με την φόρτιση [G+ψ2*Q]. [EC2-1-1 §7.3.4]

Ο. Κ. Λειτουργικότητας: Περιορισμός Ρηγμάτωσης (στήριξη)- Wk<0,3 [EC2-1-1 §7.3.4]

Στήριξη [/]	d [m]	MEd [kNm]		Mcr [kNm]	Asmin [cm ²]	σs [MPa]	SrMax [m]	esm-ecm [o/oo]	Wk [mm]	
Π1 - Π2	0,475	79,49	<	132,65	5,14					

Ο έλεγχος ρηγμάτωσης στην στήριξη γίνεται με την φόρτιση [G+ψ2*Q]. [EC2-1-1 §7.3.4]

Ο. Κ. Λειτουργικότητας: Περιορισμός τάσεων (άνοιγμα). [EC2-1-1 §7.2]

Πλάκα [/]	d [m]	MEd [G+Q] [kNm]	[-]	Mcr [kNm]	σc [MPa]	[-]	σεπ (k1*fck) [MPa]		σs [MPa]	[-]	σεπ (k3*fyk) [MPa]	Πρόσθ - [cm ²]
1	0,475	92,25	<	133,87								
2	0,475	63,82	<	128,18								

Ο. Κ. Λειτουργικότητας: Περιορισμός τάσεων (στήριξη). [EC2-1-1 §7.2]

Στήριξη [/]	d [m]	MEd [G+Q] [kNm]	[-]	Mcr [kNm]	σc [MPa]	[-]	σεπ (k1*fck) [MPa]		σs [MPa]	[-]	σεπ (k3*fyk) [MPa]	Πρόσθ - [cm ²]
Π1 - Π2	0,475	92,20	<	132,65								

Ο έλεγχος τάσεων χάλυβα και σκυροδέματος γίνεται με την φόρτιση [G+Q]. (EC2-1-1 §7.2)

Επίλυση πλακών Οου ορόφου

Στατικό σύστημα πλακών : Επιφανειακός φορέας.

Υπολογισμοί οπλισμών και έλεγχοι λειτουργικότητας κατά τον EC2-1-1.

Ο υπολογισμός των εντατικών μεγεθών των πλακών γίνεται με την μέθοδο Pierer-Martins

Υπολογισμός κοινού οικοδομικού έργου - Χωρίς ανάγκη Δυσμενών Φορτίσεων

Εντατικά μεγέθη - Οπλισμοί πλακών

Πλάκα [/]	Τύπος [/]	Διε [m]	dx [m]	mfx [kNm]		As1x_rq [cm ²]	As2x_rq [cm ²]	dz [m]	mfz [kNm]		As1z_rq [cm ²]	As2z_rq [cm ²]	
1	4	x-z	0,475	129,34		6,42	0,00	0,465	46,41		2,32	0,00	
2	4	x-z	0,475	89,41		4,41	0,00	0,465	23,40		1,16	0,00	

Στις πλάκες zoellner ή sandwich, τα εντατικά μεγέθη και οι οπλισμοί έχουν αναχθεί ανά διαδοκίδα

Ράβδοι σιδηρού οπλισμού πλακών

Πλάκα [Λ]	Διεύθυνση Κάτω	x Άνω	Διεύθυνση Κάτω	z Άνω	Ελεύθερη Κάτω	παρειά Άνω	Οπλισ Κάτω	συστροφής Άνω
1	4Φ16/δοκ		4Φ10/δοκ					
2	4Φ12/δοκ		4Φ10/δοκ					

Ροπές και οπλισμοί στηρίξεων

Πλάκα [/]	Πλάκα [/]	d [m]	MEd1 [kNm]	MEd2 [kNm]	MEd [kNm]	As1_rq [cm ²]		As2_rq [cm ²]		Anω	Kάτω	
1 (Δε)	2 (Αρ)	0,475	154,12	104,35	129,24	6,45		0,00		+ Φ8/50		

Ο. Κ. Λειτουργικότητας: Συνθήκη απαλλαγής αναλυτικού υπολογισμού βέλους. [EC2-1-1 §7.4.2]

Πλάκα [/]	I [m]	d [m]	K [/]	p0 [o/oo]	As1_pr [cm ²]	As1_ca [cm ²]	As2_ca [cm ²]	[I/d] [/]		[I/d]lim [/]
1	8,40	0,475	1,30	5,48	8,04	6,42	0,00	14,74	<	224,69
2	6,50	0,475	1,30	5,48	4,52	4,41	0,00	13,68	<	199,00

Ο. Κ. Λειτουργικότητας: Αναλυτικός έλεγχος βέλους.

Πλάκα [/]	MEd [kNm]	Συντ. ζ	Κάμψη + Στ.Ι	Ερπυσμός Στ.ΙΙ	Συστολή Στ.Ι	Ξήρανσης Στ.ΙΙ	Ολικό βέλος	Επιπρ βέλος	Υψωση ξυλοτ	Βέλος διαχ.	Επιπρ. διαχ.	
1	79,42	0,00	5,52	0,00	0,97	0,00	6,50	33,60	0,00	1,78	20,00	O.K.
2	55,14	0,00	2,09	0,00	0,30	0,00	2,39	26,00	0,00	0,66	18,57	O.K.

Τα βέλη σε [mm] - Ο έλεγχος των παραμορφώσεων γίνεται με την φόρτιση [G+ψ2*Q]. (EC2 - §7.4)

Συντελεστής ερπυσμού $\phi = 2,50$, Συστολή ξήρανσης $ecs = 0,0004$

Ο. Κ. Λειτουργικότητας: Περιορισμός Ρηγμάτωσης (άνοιγμα)- Wk<0,3 [EC2-1-1 §7.3.4]

Πλάκα [/]	d [m]	MEd [kNm]		Mcr [kNm]	Asmin [cm ²]	σs [MPa]	SrMax [m]	esm-ecm [*E-3]	Wk [mm]	
1	0,475	79,42	<	133,87	6,87					
2	0,475	55,14	<	128,18	6,01					

Ο έλεγχος ρηγμάτωσης στο άνοιγμα γίνεται με την φόρτιση [G+ψ2*Q]. [EC2-1-1 §7.3.4]

Ο. Κ. Λειτουργικότητας: Περιορισμός Ρηγμάτωσης (στήριξη)- Wk<0,3 [EC2-1-1 §7.3.4]

Στήριξη [/]	d [m]	MEd [kNm]		Mcr [kNm]	Asmin [cm ²]	σs [MPa]	SrMax [m]	esm-ecm [o/oo]	Wk [mm]	
Π1 - Π2	0,475	79,49	<	132,65	5,14					

Ο έλεγχος ρηγμάτωσης στην στήριξη γίνεται με την φόρτιση [G+ψ2*Q]. [EC2-1-1 §7.3.4]

Ο. Κ. Λειτουργικότητας: Περιορισμός τάσεων (άνοιγμα). [EC2-1-1 §7.2]

Πλάκα [/]	d [m]	MEd [G+Q] [kNm]	[-]	Mcr [kNm]	σc [MPa]	[-]	σεπ (k1*fck) [MPa]		σs [MPa]	[-]	σεπ (k3*fyk) [MPa]	Πρόσθ - [cm ²]
1	0,475	92,25	<	133,87								
2	0,475	63,82	<	128,18								

Ο. Κ. Λειτουργικότητας: Περιορισμός τάσεων (στήριξη). [EC2-1-1 §7.2]

Στήριξη [/]	d [m]	MEd [G+Q] [kNm]	[-]	Mcr [kNm]	σc [MPa]	[-]	σεπ (k1*fck) [MPa]		σs [MPa]	[-]	σεπ (k3*fyk) [MPa]	Πρόσθ - [cm ²]
Π1 - Π2	0,475	92,20	<	132,65								

Ο έλεγχος τάσεων χάλυβα και σκυροδέματος γίνεται με την φόρτιση [G+Q]. (EC2-1-1 §7.2)

Επίλυση πλακών 1ου ορόφου

Στατικό σύστημα πλακών : Επιφανειακός φορέας.

Υπολογισμοί οπλισμών και έλεγχοι λειτουργικότητας κατά τον EC2-1-1.

Ο υπολογισμός των εντατικών μεγεθών των πλακών γίνεται με την μέθοδο Pierer-Martins

Υπολογισμός κοινού οικοδομικού έργου - Χωρίς ανάγκη Δυσμενών Φορτίσεων

Εντατικά μεγέθη - Οπλισμοί πλακών

Πλάκα [/]	Τύπος [/]	Διε [m]	dx [m]	mfx [kNm]		As1x_rq [cm ²]	As2x_rq [cm ²]	dz [m]	mfz [kNm]		As1z_rq [cm ²]	As2z_rq [cm ²]	
1	4	x-z	0,475	129,34		6,42	0,00	0,465	46,41		2,32	0,00	
2	4	x-z	0,475	89,41		4,41	0,00	0,465	23,40		1,16	0,00	

Στις πλάκες zoellner ή sandwich, τα εντατικά μεγέθη και οι οπλισμοί έχουν αναχθεί ανά διαδοκίδα

Ράβδοι σιδηρού οπλισμού πλακών

Πλάκα [Λ]	Διεύθυνση Κάτω	x Άνω	Διεύθυνση Κάτω	z Άνω	Ελεύθερη Κάτω	παρειά Άνω	Οπλισ Κάτω	συστροφής Άνω
1	4Φ16/δοκ		4Φ10/δοκ					
2	4Φ12/δοκ		4Φ10/δοκ					

Ροπές και οπλισμοί στηρίξεων

Πλάκα [/]	Πλάκα [/]	d [m]	MEd1 [kNm]	MEd2 [kNm]	MEd [kNm]	As1_rq [cm ²]		As2_rq [cm ²]		Anω	Kάτω	
1 (Δε)	2 (Αρ)	0,475	154,12	104,35	129,24	6,45		0,00		+ Φ8/50		

Ο. Κ. Λειτουργικότητας: Συνθήκη απαλλαγής αναλυτικού υπολογισμού βέλους. [EC2-1-1 §7.4.2]

Πλάκα [/]	I [m]	d [m]	K [/]	p0 [o/oo]	As1_pr [cm ²]	As1_ca [cm ²]	As2_ca [cm ²]	[I/d] [/]		[I/d]lim [/]
1	8,40	0,475	1,30	5,48	8,04	6,42	0,00	14,74	<	224,69
2	6,50	0,475	1,30	5,48	4,52	4,41	0,00	13,68	<	199,00

Ο. Κ. Λειτουργικότητας: Αναλυτικός έλεγχος βέλους.

Πλάκα [/]	MEd [kNm]	Συντ. ζ	Κάμψη + Στ.Ι	Ερπυσμός Στ.ΙΙ	Συστολή Στ.Ι	Ξήρανσης Στ.ΙΙ	Ολικό βέλος	Επιπρ βέλος	Υψωση ξυλοτ	Βέλος διαχ.	Επιπρ. διαχ.	
1	79,42	0,00	5,52	0,00	0,97	0,00	6,50	33,60	0,00	1,78	20,00	O.K.
2	55,14	0,00	2,09	0,00	0,30	0,00	2,39	26,00	0,00	0,66	18,57	O.K.

Τα βέλη σε [mm] - Ο έλεγχος των παραμορφώσεων γίνεται με την φόρτιση [G+ψ2*Q]. (EC2 - §7.4)

Συντελεστής ερπυσμού $\phi = 2,50$, Συστολή ξήρανσης $ecs = 0,0004$

Ο. Κ. Λειτουργικότητας: Περιορισμός Ρηγμάτωσης (άνοιγμα)- Wk<0,3 [EC2-1-1 §7.3.4]

Πλάκα [/]	d [m]	MEd [kNm]		Mcr [kNm]	Asmin [cm ²]	σs [MPa]	SrMax [m]	esm-ecm [*E-3]	Wk [mm]	
1	0,475	79,42	<	133,87	6,87					
2	0,475	55,14	<	128,18	6,01					

Ο έλεγχος ρηγμάτωσης στο άνοιγμα γίνεται με την φόρτιση [G+ψ2*Q]. [EC2-1-1 §7.3.4]

Ο. Κ. Λειτουργικότητας: Περιορισμός Ρηγμάτωσης (στήριξη)- Wk<0,3 [EC2-1-1 §7.3.4]

Στήριξη [/]	d [m]	MEd [kNm]		Mcr [kNm]	Asmin [cm ²]	σs [MPa]	SrMax [m]	esm-ecm [o/oo]	Wk [mm]	
Π1 - Π2	0,475	79,49	<	132,65	5,14					

Ο έλεγχος ρηγμάτωσης στην στήριξη γίνεται με την φόρτιση [G+ψ2*Q]. [EC2-1-1 §7.3.4]

Ο. Κ. Λειτουργικότητας: Περιορισμός τάσεων (άνοιγμα). [EC2-1-1 §7.2]

Πλάκα [/]	d [m]	MEd [G+Q] [kNm]	[-]	Mcr [kNm]	σc [MPa]	[-]	σεπ (k1*fck) [MPa]		σs [MPa]	[-]	σεπ (k3*fyk) [MPa]	Πρόσθ - [cm ²]
1	0,475	92,25	<	133,87								
2	0,475	63,82	<	128,18								

Ο. Κ. Λειτουργικότητας: Περιορισμός τάσεων (στήριξη). [EC2-1-1 §7.2]

Στήριξη [/]	d [m]	MEd [G+Q] [kNm]	[-]	Mcr [kNm]	σc [MPa]	[-]	σεπ (k1*fck) [MPa]		σs [MPa]	[-]	σεπ (k3*fyk) [MPa]	Πρόσθ - [cm ²]
Π1 - Π2	0,475	92,20	<	132,65								

Ο έλεγχος τάσεων χάλυβα και σκυροδέματος γίνεται με την φόρτιση [G+Q]. (EC2-1-1 §7.2)

Επίλυση πλακών 2ου ορόφου

Στατικό σύστημα πλακών : Επιφανειακός φορέας.

Υπολογισμοί οπλισμών και έλεγχοι λειτουργικότητας κατά τον EC2-1-1.

Ο υπολογισμός των εντατικών μεγεθών των πλακών γίνεται με την μέθοδο Pierer-Martins

Υπολογισμός κοινού οικοδομικού έργου - Χωρίς ανάγκη Δυσμενών Φορτίσεων

Εντατικά μεγέθη - Οπλισμοί πλακών

Πλάκα [/]	Τύπος [/]	Διε [m]	dx [m]	mfx [kNm]		As1x_rq [cm ²]	As2x_rq [cm ²]	dz [m]	mfz [kNm]		As1z_rq [cm ²]	As2z_rq [cm ²]	
1	4	x-z	0,475	126,46		6,27	0,00	0,465	45,38		2,27	0,00	
2	4	x-z	0,475	87,46		4,31	0,00	0,465	22,88		1,14	0,00	

Στις πλάκες zoellner ή sandwich, τα εντατικά μεγέθη και οι οπλισμοί έχουν αναχθεί ανά διαδοκίδα

Ράβδοι σιδηρού οπλισμού πλακών

Πλάκα [Λ]	Διεύθυνση Κάτω	x Άνω	Διεύθυνση Κάτω	z Άνω	Ελεύθερη Κάτω	παρειά Άνω	Οπλισ Κάτω	συστροφής Άνω
1	4Φ16/δοκ		4Φ10/δοκ					
2	4Φ12/δοκ		4Φ10/δοκ					

Ροπές και οπλισμοί στηρίξεων

Πλάκα [Λ]	Πλάκα [Λ]	d [m]	MEd1 [kNm]	MEd2 [kNm]	MEd [kNm]	As1_rq [cm ²]		As2_rq [cm ²]		Anω	Kάτω	
1 (Δε)	2 (Αρ)	0,475	150,68	102,07	126,38	6,30		0,00		+ Φ8/50		

Ο. Κ. Λειτουργικότητας: Συνθήκη απαλλαγής αναλυτικού υπολογισμού βέλους. [EC2-1-1 §7.4.2]

Πλάκα [Λ]	I [m]	d [m]	K [Λ]	p0 [o/oo]	As1_pr [cm ²]	As1_ca [cm ²]	As2_ca [cm ²]	[I/d] [Λ]		[I/d]lim [Λ]
1	8,40	0,475	1,30	5,48	8,04	6,27	0,00	14,74	<	238,46
2	6,50	0,475	1,30	5,48	4,52	4,31	0,00	13,68	<	199,00

Ο. Κ. Λειτουργικότητας: Αναλυτικός έλεγχος βέλους.

Πλάκα [Λ]	MEd [kNm]	Συντ. ζ	Κάμψη + Στ.Ι	Ερπυσμός Στ.ΙΙ	Συστολή Στ.Ι	Ξήρανσης Στ.ΙΙ	Ολικό βέλος	Επιπρ βέλος	Υψωση ξυλοτ	Βέλος διαχ.	Επιπρ. διαχ.	
1	87,11	0,00	6,06	0,00	0,97	0,00	7,03	33,60	0,00	2,32	20,00	O.K.
2	60,35	0,00	2,29	0,00	0,30	0,00	2,59	26,00	0,00	0,86	18,57	O.K.

Τα βέλη σε [mm] - Ο έλεγχος των παραμορφώσεων γίνεται με την φόρτιση [G+ψ2*Q]. (EC2 - §7.4)

Συντελεστής ερπυσμού $\phi = 2,50$, Συστολή ξήρανσης $ecs = 0,0004$

Ο. Κ. Λειτουργικότητας: Περιορισμός Ρηγμάτωσης (άνοιγμα)- Wk<0,3 [EC2-1-1 §7.3.4]

Πλάκα [Λ]	d [m]	MEd [kNm]		Mcr [kNm]	Asmin [cm ²]	σs [MPa]	SrMax [m]	esm-ecm [*E-3]	Wk [mm]	
1	0,475	87,11	<	133,87	6,87					
2	0,475	60,35	<	128,18	6,01					

Ο έλεγχος ρηγμάτωσης στο άνοιγμα γίνεται με την φόρτιση [G+ψ2*Q]. [EC2-1-1 §7.3.4]

Ο. Κ. Λειτουργικότητας: Περιορισμός Ρηγμάτωσης (στήριξη)- Wk<0,3 [EC2-1-1 §7.3.4]

Στήριξη [Λ]	d [m]	MEd [kNm]		Mcr [kNm]	Asmin [cm ²]	σs [MPa]	SrMax [m]	esm-ecm [o/oo]	Wk [mm]	
Π1 - Π2	0,475	87,12	<	132,65	5,14					

Ο έλεγχος ρηγμάτωσης στην στήριξη γίνεται με την φόρτιση [G+ψ2*Q]. [EC2-1-1 §7.3.4]

Ο. Κ. Λειτουργικότητας: Περιορισμός τάσεων (άνοιγμα). [EC2-1-1 §7.2]

Πλάκα [Λ]	d [m]	MEd [G+Q] [kNm]	[-]	Mcr [kNm]	σc [MPa]	[-]	σεπ (k1*fck) [MPa]		σs [MPa]	[-]	σεπ (k3*fyk) [MPa]	Πρόσθ - [cm ²]
1	0,475	92,25	<	133,87								
2	0,475	63,82	<	128,18								

Ο. Κ. Λειτουργικότητας: Περιορισμός τάσεων (στήριξη). [EC2-1-1 §7.2]

Στήριξη [Λ]	d [m]	MEd [G+Q] [kNm]	[-]	Mcr [kNm]	σc [MPa]	[-]	σεπ (k1*fck) [MPa]		σs [MPa]	[-]	σεπ (k3*fyk) [MPa]	Πρόσθ - [cm ²]
Π1 - Π2	0,475	92,20	<	132,65								

Ο έλεγχος τάσεων χάλυβα και σκυροδέματος γίνεται με την φόρτιση [G+Q]. (EC2-1-1 §7.2)

ΔΕΔΟΜΕΝΑ ΧΩΡΙΚΟΥ ΠΛΑΙΣΙΟΥ

Στοιχεία ορόφων

Όροφος	Υψόμετρο οροφής [m]	ΣΠΕΜ δοκώνης	ΣΠΕΜ υποστ.-τοιχης	ΣΠΕΜ υποστ.-τοιχης	Συντ. συνδυασμών ψ0	Συντ. συνδυασμών ψ1	Συντ. συνδυασμών ψ2	Συντ. μεταβλητών δράσεων φ	Συντ. τυχημ. εκκεντρότητας X [Lz]	Συντ. τυχημ. εκκεντρότητας Z [Lx]
Όροφος -2	-3.00	1.000	1.000	1.000	0.700	0.500	0.250	0.500	0.050	0.050
Όροφος -1	0.00	1.000	1.000	1.000	0.700	0.700	0.600	0.500	0.050	0.050
Όροφος 0	6.45	1.000	1.000	1.000	0.700	0.700	0.600	0.500	0.050	0.050
Όροφος 1	10.65	1.000	1.000	1.000	0.700	0.700	0.600	0.500	0.050	0.050
Όροφος 2	14.85	1.000	1.000	1.000	0.700	0.700	0.600	0.500	0.050	0.050

Δεδομένα: Όροφος -2

Συντεταγμένες λοιπών κόμβων (Πίνακας 301)

Όνομα	X [m]	Y [m]	Z [m]	Ομάδα δ	Όροφος προορι...
7	38.700	-3.000	-38.300	0	0
8	46.600	-3.000	-38.300	0	0
9	52.600	-3.000	-38.300	0	0
10	38.700	-3.000	-26.900	0	0
11	46.600	-3.000	-26.900	0	0
12	52.600	-3.000	-26.900	0	0
13	38.450	-3.000	-33.000	0	0
14	46.600	-3.000	-33.000	0	0
15	52.850	-3.000	-33.000	0	0

Διαστάσεις διατομών δοκών (Πίνακας 401.1)

Όνομα	Θέση από Κάνναβο	Αυτό... θέση από Κάνα...	Είδος μέλους	Κατηγορία διατομής	Γωνία τοποθέτησης φ [°]	bw [m]	h [m]	beff [m]	hf1 [m]	beff1 [m]	hf2 [m]	Επικ... συνδ... σημ [m]	Συντελεστής μονολιθικότητας ακαμψίας
1.1 - 1.2		Nai	Πεδιλοδοκός	An. Πλακοδοκός	0.00	0.700	1.200	3.000	0.500	0.100	0.000	0.040	1.000
2.1 - 2.2		Nai	Πεδιλοδοκός	An. Πλακοδοκός	0.00	0.800	1.200	3.000	0.500	1.100	0.000	0.040	1.000
3.1 - 3.2		Nai	Πεδιλοδοκός	An. Πλακοδοκός	0.00	0.800	1.200	3.000	0.500	2.100	0.000	0.040	1.000
4.1 - 4.2		Nai	Πεδιλοδοκός	An. Πλακοδοκός	0.00	0.800	1.200	4.000	0.500	1.300	0.000	0.040	1.000
5.1 - 5.2		Nai	Πεδιλοδοκός	An. Πλακοδοκός	0.00	0.800	1.200	4.000	0.500	2.000	0.000	0.040	1.000

Αδρανειακά στοιχεία διατομών δοκών (Πίνακας 402.1)

Όνομα	Θέση από Κάνναβο	Ax(1) [m ²]	Ay(2) [m ²]	Az(3) [m ²]	Ix(1) [m ⁴]	Iy(2) [m ⁴]	Iz(3) [m ⁴]	Γωνία β [°]	Γωνία τοποθέτησης φ [°]	Επιφά... ιδίου βάρους [m ²]	Αυτόματος υπολογισμός
1.1 - 1.2		1.99	1.68	1.68	2.296E-2	1.145E+4	9.211E-2	0.00	0.00	0.49	Nai
2.1 - 3.2		2.06	1.74	1.74	2.424E-2	1.155E+4	1.005E-1	0.00	0.00	0.56	Nai
4.1 - 5.2		2.56	2.16	2.16	2.891E-2	2.697E+4	1.110E-1	0.00	0.00	0.56	Nai

Σταθερές υλικών δοκών (Πίνακας 403.1)

Όνομα	Θέση από Κάνναβο	E [kN/m ²]	G [kN/m ²]	α [/°]	ε [kN/m ³]	ρ [tn/m ³]	*Τύπος Υλικού	*Ποιότητα σκυροδέματος
Τυπικ.*		3.3e+007	1.38e+007	0.000E+0	25.00	0.00	Σκυρόδεμα	C30/37

*Τυπικ.: 1.1 - 5.2

Στοιχεία εδάφους δοκών (Πίνακας 404)

Όνομα	Θέση από Κάνναβο	Επί ελαστικού εδάφους	Ks [kN/m ² /m]	Kg [kN/m ²]	σεπ [kN/m ²]	δ [°]	Συντελεστής υπολογισμού Παθητικής ώθησης	Βάθος θεμελιών D [m]	Ενιαίος συντ. ασφαλείας εδάφους FS (στατικές φορτίσεις)
Τυπικ.*		Nai	40000.00	120000.00	150.00	30.00	0.300	3.00	2.000
4.1 - 5.2		Nai	40000.00	160000.00	150.00	30.00	0.300	3.00	2.000

*Τυπικ.: 1.1 - 3.2

Στατικά-γενικά δοκών (Πίνακας 405)

Όνομα	Θέση από Κάνναβο	ΣΠΕΜ (ηβ)	Εκπύωση αποτελε...	Διαστασιολόγησα... αποτίμηση	Εκπύωση αποτελεσμάτων εν χρόνω ολοκλήρωσης	*Δεσμική σκυροδέ...	*Δεσμική χάλυβα	Πρόβολος	Συντ. αξονικής δυσκαμψίας	Παραλαβή φορτίων σύνεμου (πέγη)	Παραλαβή φορτίων χιονιού (στέγη)	Συντελεστής σχήματος μ
Τυπικ.*		1.000	Nai	Nai	'Oxi	'Oxi	'Oxi	Αυτόματο	1.000	'Oxi	'Oxi	0.000

*Τυπικ.: 1.1 - 5.2

Άκαμπτες απολήξεις δοκών (Πίνακας 406)

Όνομα	Θέση από Κάνναβο	δX αρχής [m]	δY αρχής [m]	δZ αρχής [m]	Συντελεστής zi	δX τέλους [m]	δY τέλους [m]	δZ τέλους [m]	Συντελεστής zj	Αυτόματος υπολογισμός
1.1		-0.150	0.000	-0.250	1.000	0.100	0.000	0.500	1.000	Ναι
1.2		0.100	0.000	-0.500	1.000	-0.150	0.000	0.250	1.000	Ναι
2.1		0.000	0.000	-0.250	1.000	0.000	0.000	0.500	1.000	Ναι
2.2		0.000	0.000	-0.500	1.000	0.000	0.000	0.250	1.000	Ναι
3.1		0.100	0.000	-0.250	1.000	-0.150	0.000	0.500	1.000	Ναι
3.2		-0.150	0.000	-0.500	1.000	0.100	0.000	0.250	1.000	Ναι
4.1		0.500	0.000	0.150	1.000	-0.650	0.000	0.150	1.000	Ναι
4.2		0.650	0.000	0.150	1.000	-0.500	0.000	0.150	1.000	Ναι
5.1		0.500	0.000	-0.150	1.000	-0.650	0.000	-0.150	1.000	Ναι
5.2		0.650	0.000	-0.150	1.000	-0.500	0.000	-0.150	1.000	Ναι

Σκυρόδεμα (Πίνακας 408)

Όνομα	Όση από Κάνναβο	Ενεργειακή ζώνη	Διάστημα αλέων	Αποτελεσματικός πλαστικός πάτωμα	Σύρραγος πλαστικόν	Σύρραγος πλαστικόν στην επιφάνεια	Μέγιστος αντανακλαστικός πλαστικός πάτωμα	Απ. πρ.+Ακ. διείδ. πλαστικόν Αγρι.	Απ. πρ.+Ακ. διείδ. πλαστικόν Τάλας	Αληθινή δύναμη στη διασταύρωση	Ρυπαντικός αντανακλαστικός πλαστικός πάτωμα στην επιφάνεια	Ρυπαντικός αντανακλαστικός πλαστικός πάτωμα στην επιφάνεια με 25% της προστασίας της συρράγου	Τλεγχος θέλων	Τλεγχος θέλων	Τλεγχος πρόσθιας	Ανακατανομή πονών	Συντ. συστατικών διανομή	Συντ. συστατικών διανομή	Μοντελο...		
Τυπικ.	'Όχι	'Όχι	'Όχι	Ναι (Κύριο)	Ναι	Ναι	25.0	0.00	0.00	Μόνο δυσμ	'Όχι	'Όχι	'Όχι	Ναι	Ναι	Ναι	Αυτόματα	Ναι	0.700	0.700	'Όχι

*Τυπικ.: 1.1 - 5.2

Διάτμηση - Αγκυρώσεις (Πίνακας 408.1)

Όνομα	Θέση από Κάνναβο	Έλεγχος διάτμησης & στρέψης	Ικανοτικός διάτμησης	Συντελεστής υπεραντ... γρd. Αρχή	Συντελεστής υπεραντ... γρd. Τέλος	Θλιπτήρας σκυρ/τος cotθ <= λ. λ=...	Δισιαγώνιος οπιλιμός	Εφαρμογή κανόνων αγκυρώσεις EC2	Αυτόματος υπολογισμός hc, bj	hc αρχής [m]	hc τέλους [m]	bj αρχής [m]	bj τέλους [m]
1.1		Nai	Αυτόματο	1.000	1.000	2.500	45 μοίρες	Nai	Nai	0.50	1.00	0.95	0.70
1.2		Nai	Αυτόματο	1.000	1.000	2.500	45 μοίρες	Nai	Nai	1.00	0.50	0.70	0.95
2.1		Nai	Αυτόματο	1.000	1.000	2.500	45 μοίρες	Nai	Nai	0.50	1.00	1.05	0.80
2.2		Nai	Αυτόματο	1.000	1.000	2.500	45 μοίρες	Nai	Nai	1.00	0.50	0.80	1.05
3.1		Nai	Αυτόματο	1.000	1.000	2.500	45 μοίρες	Nai	Nai	0.50	1.00	1.00	0.80
3.2		Nai	Αυτόματο	1.000	1.000	2.500	45 μοίρες	Nai	Nai	1.00	0.50	0.80	1.00
4.1		Nai	Αυτόματο	1.000	1.000	2.500	45 μοίρες	Nai	Nai	1.00	1.30	0.80	0.80
4.2		Nai	Αυτόματο	1.000	1.000	2.500	45 μοίρες	Nai	Nai	1.30	1.00	0.80	0.80
5.1		Nai	Αυτόματο	1.000	1.000	2.500	45 μοίρες	Nai	Nai	1.00	1.30	0.80	0.80
5.2		Nai	Αυτόματο	1.000	1.000	2.500	45 μοίρες	Nai	Nai	1.30	1.00	0.80	0.80

Δυνατότητες μετατόπισης στηρίξεων (Πίνακας 501)

Κόμβος	Τύπος	Dx	Dy	Dz	Φx	Φy	Φz
Τυπικ.*	Οριζόντια στήριξη	Σταθερή	Ελεύθερη	Σταθερή	Ελεύθερη	Ελεύθερη	Ελεύθερη

*Τυπικ.: 7 - 15

Συνδεσμολογία δοκών (Πίνακας 703)

Όνομα	Κόμβος αρχής	Κόμβος τέλους	Κόμβος αρχής για διαστασιολ... - Y	Κόμβος τέλους για διαστασιολ... - Y	Κόμβος αρχής για διαστασιολ... - Z	Κόμβος τέλους για διαστασιολ... - Z	Πλάκα δεξιά (όνομα - πλευρά)	Πλάκα αριστερά (όνομα - πλευρά)	*v[X] αρχής [m]	*v[Z] αρχής [m]	*v[X] τέλους [m]	*v[Z] τέλους [m]	
1.1	10 (-2)	13	10 (-2)	13 (-2)	10 (-2)	13 (-2)	1-1		38.55	-27.15	38.55	-32.50	
1.2	13 (-2)	7	13 (-2)	7 (-2)	13 (-2)	7 (-2)	1-1		38.55	-33.50	38.55	-38.05	
2.1	11 (-2)	14	11 (-2)	14 (-2)	11 (-2)	14 (-2)	2-1		1-2	46.60	-27.15	46.60	-32.50
2.2	14 (-2)	8	14 (-2)	8 (-2)	14 (-2)	8 (-2)	2-1		1-2	46.60	-33.50	46.60	-38.05
3.1	12 (-2)	15	12 (-2)	15 (-2)	12 (-2)	15 (-2)	2-2		2-2	52.70	-27.15	52.70	-32.50
3.2	15 (-2)	9	15 (-2)	9 (-2)	15 (-2)	9 (-2)	2-2		2-2	52.70	-33.50	52.70	-38.05
4.1	7 (-2)	8	7 (-2)	8 (-2)	7 (-2)	8 (-2)	1-3			39.20	-38.15	45.95	-38.15
4.2	8 (-2)	9	8 (-2)	9 (-2)	8 (-2)	9 (-2)	2-3			47.25	-38.15	52.10	-38.15
5.1	10 (-2)	11	10 (-2)	11 (-2)	10 (-2)	11 (-2)	1-4			39.20	-27.05	45.95	-27.05
5.2	11 (-2)	12	11 (-2)	12 (-2)	11 (-2)	12 (-2)	2-4			47.25	-27.05	52.10	-27.05

Στοιχεία δοκών (Πίνακας 705)

Όνομα	Είδος μέλους	Διατομή	Κόμβος αρχής	Κόμβος τέλους	Γωνία τοποθέτησης φ [°]	Υλικό[/]	Αρθρ. Αρχ.	Αρθρ. Τέλ
1.1 70/120/300/50	Πεδιλοδοκός	Av. Πλακοδοκός	10 (-2)	13	0.00	Ω.Σ.	'Όχι	'Όχι
1.2 70/120/300/50	Πεδιλοδοκός	Av. Πλακοδοκός	13 (-2)	7	0.00	Ω.Σ.	'Όχι	'Όχι
2.1 80/120/300/50	Πεδιλοδοκός	Av. Πλακοδοκός	11 (-2)	14	0.00	Ω.Σ.	'Όχι	'Όχι
2.2 80/120/300/50	Πεδιλοδοκός	Av. Πλακοδοκός	14 (-2)	8	0.00	Ω.Σ.	'Όχι	'Όχι
3.1 80/120/300/50	Πεδιλοδοκός	Av. Πλακοδοκός	12 (-2)	15	0.00	Ω.Σ.	'Όχι	'Όχι
3.2 80/120/300/50	Πεδιλοδοκός	Av. Πλακοδοκός	15 (-2)	9	0.00	Ω.Σ.	'Όχι	'Όχι
4.1 80/120/400/50	Πεδιλοδοκός	Av. Πλακοδοκός	7 (-2)	8	0.00	Ω.Σ.	'Όχι	'Όχι
4.2 80/120/400/50	Πεδιλοδοκός	Av. Πλακοδοκός	8 (-2)	9	0.00	Ω.Σ.	'Όχι	'Όχι
5.1 80/120/400/50	Πεδιλοδοκός	Av. Πλακοδοκός	10 (-2)	11	0.00	Ω.Σ.	'Όχι	'Όχι
5.2 80/120/400/50	Πεδιλοδοκός	Av. Πλακοδοκός	11 (-2)	12	0.00	Ω.Σ.	'Όχι	'Όχι

Δράσεις μονίμων φορτίων δοκών (Πίνακας 802)

Όνομα δοκού	Gx [kN/m]	Gy [kN/m]	Gz [kN/m]	Gmx [kNm/m]	Gy πλακών [kN/m]	Gmx πλακών [kNm/m]
Τυπικ.*	0.000	-14.000	0.000	0.00	0.000	0.00

Δράσεις κινητών φορτίων δοκών (Πίνακας 803)

Όνομα δοκού	Qx [kN/m]	Qy [kN/m]	Qz [kN/m]	Qmx [kNm/m]	Qy πλακών [kN/m]	ψ2*Qy πλακών [kN/m]	Qmx πλακών [kNm/m]	Δυσμεν... φορτίσ... Α συντ. λΑ	Qy Κινητά A	Δυσμεν... φορτίσ... Β συντ. λΒ	Qy Κινητά B	Δυσμεν... φορτίσ... Ζ συντ. λΖ	Qy Κινητά C	Δυσμεν... φορτίσ... Δ συντ. λΔ	Qy Κινητά D	Δυσμεν... φορτίσ... Ε συντ. λΕ	Qy Κινητά E
1.1	0.000	-2.000	0.000	0.00	0.000	0.00	0.00	0	0.000	1	-2.000	1	-2.000	0	0.000	1	-2.000
1.2	0.000	-2.000	0.000	0.00	0.000	0.00	0.00	1	-2.000	0	0.000	1	-2.000	1	-2.000	0	0.000
2.1	0.000	-2.000	0.000	0.00	0.000	0.00	0.00	0	0.000	1	-2.000	1	-2.000	0	0.000	1	-2.000
2.2	0.000	-2.000	0.000	0.00	0.000	0.00	0.00	1	-2.000	0	0.000	1	-2.000	1	-2.000	0	0.000
3.1	0.000	-2.000	0.000	0.00	0.000	0.00	0.00	0	0.000	1	-2.000	1	-2.000	0	0.000	1	-2.000
3.2	0.000	-2.000	0.000	0.00	0.000	0.00	0.00	1	-2.000	0	0.000	1	-2.000	1	-2.000	0	0.000
4.1	0.000	-2.000	0.000	0.00	0.000	0.00	0.00	0	0.000	1	-2.000	1	-2.000	0	0.000	1	-2.000
4.2	0.000	-2.000	0.000	0.00	0.000	0.00	0.00	1	-2.000	0	0.000	1	-2.000	1	-2.000	0	0.000
5.1	0.000	-2.000	0.000	0.00	0.000	0.00	0.00	0	0.000	1	-2.000	1	-2.000	0	0.000	1	-2.000
5.2	0.000	-2.000	0.000	0.00	0.000	0.00	0.00	1	-2.000	0	0.000	1	-2.000	1	-2.000	0	0.000

Δεδομένα: Όροφος -1

Διαστάσεις διατομών υποστυλωμάτων (Πίνακας 201.1)

Όνομα	Θέση από Κάνναβο	Αυτό... Θέση από Κάνα...	Κατηγορία διατομής	Γωνία τοποθέτησης φ [°]	b [m]	d [m]	b1 [m]	b3 [m]	d1 [m]	d3 [m]	Επικ... συνδ... cnpom [m]	Συντελεστής μονολιθικότητας ακαμψίας
7		Nai	Ορθογωνική	0.00	1.000	0.500	0.000	0.000	0.000	0.000	0.035	1.000
8		Nai	Ορθογωνική	0.00	1.300	0.500	0.000	0.000	0.000	0.000	0.035	1.000
9 - 10		Nai	Ορθογωνική	0.00	1.000	0.500	0.000	0.000	0.000	0.000	0.035	1.000
11		Nai	Ορθογωνική	0.00	1.300	0.500	0.000	0.000	0.000	0.000	0.035	1.000
12		Nai	Ορθογωνική	0.00	1.000	0.500	0.000	0.000	0.000	0.000	0.035	1.000
13 - 15		Nai	Ορθογωνική	0.00	0.500	1.000	0.000	0.000	0.000	0.000	0.035	1.000

Αδρανειακά στοιχεία υποστυλωμάτων (Πίνακας 202.1)

Όνομα	Θέση από Κάνναβο	Ax(1) [m ²]	Ay(2) [m ²]	Az(3) [m ²]	Ix(1) [m ⁴]	Iy(2) [m ⁴]	Iz(3) [m ⁴]	Γωνία β [°]	Γωνία τοποθέτησης φ [°]	Επιφά... ιδίου βάρους [m ²]	Αυτόματος υπολογισμός
7		0.50	0.42	0.42	2.861E-3	2.083E-2	5.208E-3	90.00		0.00	0.50
8		0.65	0.55	0.55	4.107E-3	4.577E-2	6.771E-3	90.00		0.00	0.65
9 - 10		0.50	0.42	0.42	2.861E-3	2.083E-2	5.208E-3	90.00		0.00	0.50
11		0.65	0.55	0.55	4.107E-3	4.577E-2	6.771E-3	90.00		0.00	0.65
12		0.50	0.42	0.42	2.861E-3	2.083E-2	5.208E-3	90.00		0.00	0.50
13 - 15		0.50	0.42	0.42	2.861E-3	2.083E-2	5.208E-3	0.00		0.00	0.50

Σταθερές υλικών υποστυλωμάτων (Πίνακας 203.1)

Όνομα	Θέση από Κάνναβο	E [kN/m ²]	G [kN/m ²]	α [°/]	ε [kN/m ³]	ρ [tn/m ³]	*Τύπος Υλικού	*Ποιότητα σκυροδέματος
Τυπικ.*		3.3e+007	1.38e+007	1.000E-5	25.00	2.55	Σκυρόδεμα	C30/37

*Τυπικ.: 7 - 15

Θέση - χαρακτηριστικά (Πίνακας 205.2)

Όνομα	Θέση από Κάνναβο	X [m]	Y [m]	Z [m]	Ομάδα δ
7		38.700	0.000	-38.300	2
8		46.600	0.000	-38.300	2
9		52.600	0.000	-38.300	2
10		38.700	0.000	-26.900	2
11		46.600	0.000	-26.900	2
12		52.600	0.000	-26.900	2
13		38.450	0.000	-33.000	2
14		46.600	0.000	-33.000	2
15		52.850	0.000	-33.000	2

Άκαμπτες απολήξεις υποστυλωμάτων (Πίνακας 206)

Όνομα	Θέση από Κάνναβο	δX κάτω [m]	δY κάτω [m]	δZ κάτω [m]	Συντελεστής zj	δX άνω [m]	δY άνω [m]	δZ άνω [m]	Συντελεστής zi	Αυτόματος υπολογισμός
Τυπικ.*		0.000	0.000	0.000	1.000	0.000	0.000	0.000	1.000	Nai

*Τυπικ.: 7 - 15

Στατικά - γενικά υποστυλωμάτων (Πίνακας 205.1)

Όνομα	Θέση από Κάνναβο	Αποτίπεις πλαστιμότητ...	Ικανοτικός σε κάδμη	Σύντ. ικανοτικής μεγέθυνσης κόμβου	ΣΠΕΜ X (ηcx)	ΣΠΕΜ Z (ηcz)	Τρόπος οπλισμού	Ομάδα τοιχωμάτων	Εκτύπωση αποτελε...	Διαστασιολόγηση... αποτίμηση	Εκτύπωση αποτελεσμάτων εν χρόνω ολοκλήρωσης	Παραλαβή φορτίων σε ανέμου
Τυπικ.*	Nai (Κύριο ...)	Αυτόματο	1.300	1.000	1.000	Διαστασιολόγηση		0	Nai	Nai	Όχι	Όχι

Σκυρόδεμα (Πίνακας 208)

Όνομα	Θέση από Κάνναβο	Αποτίσεις πλαστιμότητ...	Τοίχωμα	Συμμετοχή στην διαμόρφωση του νη	Έλεγχος κοντού υποστυλώματος	Έλεγχος κοντού υποστ/τος, ασ<=κ. λ=<...	Εξασφάλιση κοντού υποστ/τος	Περισφρίγη	Κρίσιμο μήκος ἀνω lcr_t [m]	Κρίσιμο μήκος κάτω lcr_b [m]	Έλεγχος λυγισμού	Ενεργό μήκος ley [m]	Ενεργό μήκος lez [m]
Τυπικ.*		Nai (Κύριο ...)	Αυτόματο	Αυτόματο	Όχι	2.000	Με προσαύ...	Αυτόματο	0.00	0.00	Nai	0.00	0.00

*Τυπικ.: 7 - 15

Διάτμηση - συνάφεια (Πίνακας 208.1)

Όνομα	Θέση από Κάνναβο	Ικανοποίηση διάτμησης	Συντελε... υπεραντ... γρd Κάτω	Συντελε... υπεραντ... γρd Άνω	Θλιπτηρ... σκυρ/τος cotθ <= λ. λ=...	Διάτηση κόμβου	Συνάφεια κόμβου	Συντ. διάτμησης τοιχώματος ε <= μ. μ=...	Απομείωση διαστηματικής αντοχής VRdmx τοιχωμάτων	Κάτω άκαμπτο τυμά Ht [m]	Υψος Ιδ ή Ισ για Ικανοποίηση τέμνουσα [m]	Υψος hst για ικανοποίηση τέμνουσα [m]	Αντοχή ταιχοπλήρωσης [kN]
Τυπικ.*		Αυτόματο	1.100	1.100	2.500	Αυτόματο	Αυτόματο	10.000	Αυτόματο	0.00	0.00	0.00	0.00

*Τυπικ.: 7 - 15

Διαστάσεις διατομών δοκών (Πίνακας 401.1)

Όνομα	Θέση από Κάνναβο	Αυτό... Θέση από Κάννα...	Είδος μέλους	Κατηγορία διατομής	Γωνία τοποθέτησης φ [°]	bw [m]	h [m]	beff [m]	hf1 [m]	beff1 [m]	hf2 [m]	Επικ... συνδ... cnom [m]	Συντελεστής μονολιθικότητας ακαμψίας
1.1	Nai	Γενικό μέλος (μπετόν)	Πλακοδοκός	0.00	0.400	0.600	1.150	0.500	0.000	0.000	0.035	1.000	
1.2	Nai	Γενικό μέλος (μπετόν)	Πλακοδοκός	0.00	0.400	0.600	1.050	0.500	0.000	0.000	0.035	1.000	
2.1	Nai	Γενικό μέλος (μπετόν)	Πλακοδοκός	0.00	0.400	0.600	1.950	0.500	0.750	0.000	0.035	1.000	
2.2	Nai	Γενικό μέλος (μπετόν)	Πλακοδοκός	0.00	0.400	0.600	1.700	0.500	0.650	0.000	0.035	1.000	
3.1	Nai	Γενικό μέλος (μπετόν)	Πλακοδοκός	0.00	0.400	0.600	1.150	0.500	0.750	0.000	0.035	1.000	
3.2	Nai	Γενικό μέλος (μπετόν)	Πλακοδοκός	0.00	0.400	0.600	1.050	0.500	0.650	0.000	0.035	1.000	
4.1	Nai	Τοίχωμα υπογείου	Πλακοδοκός	0.00	0.300	2.000	1.200	0.500	0.000	0.000	0.035	1.000	
4.2	Nai	Τοίχωμα υπογείου	Πλακοδοκός	0.00	0.300	2.000	0.950	0.500	0.000	0.000	0.035	1.000	
5.1	Nai	Τοίχωμα υπογείου	Πλακοδοκός	0.00	0.300	2.000	1.200	0.500	0.900	0.000	0.035	1.000	
5.2	Nai	Τοίχωμα υπογείου	Πλακοδοκός	0.00	0.300	2.000	0.950	0.500	0.650	0.000	0.035	1.000	

Αδρανειακά στοιχεία διατομών δοκών (Πίνακας 402.1)

Όνομα	Θέση από Κάνναβο	Ax(1) [m ²]	Ay(2) [m ²]	Az(3) [m ²]	Ix(1) [m^4]	Iy(2) [m^4]	Iz(3) [m^4]	Γωνία β [°]	Γωνία τοποθέτησης φ [°]	Επιφά... ιδίου βάρους [m ²]	Αυτόματος υπολογισμός
1.1		0.61	0.52	0.52	5.382E-3	6.390E+2	7.689E-3	0.00		0.00	0.04
1.2		0.56	0.48	0.48	4.915E-3	4.877E+2	7.158E-3	0.00		0.00	0.04
2.1		1.01	0.86	0.86	9.115E-3	3.095E+3	1.190E-2	0.00		0.00	0.04
2.2		0.89	0.75	0.75	7.948E-3	2.052E+3	1.059E-2	0.00		0.00	0.04
3.1		0.61	0.52	0.52	5.382E-3	6.390E+2	7.689E-3	0.00		0.00	0.04
3.2		0.56	0.48	0.48	4.915E-3	4.877E+2	7.158E-3	0.00		0.00	0.04
4.1		1.05	0.89	0.89	7.112E-3	7.538E+2	1.770E-1	0.00		0.00	0.45
4.2		0.93	0.78	0.78	5.945E-3	3.910E+2	1.627E-1	0.00		0.00	0.45
5.1		1.05	0.89	0.89	7.112E-3	7.538E+2	1.770E-1	0.00		0.00	0.45
5.2		0.93	0.78	0.78	5.945E-3	3.910E+2	1.627E-1	0.00		0.00	0.45

Σταθερές υλικών δοκών (Πίνακας 403.1)

Όνομα	Θέση από Κάνναβο	E [kN/m ²]	G [kN/m ²]	α [/°]	ε [kN/m ³]	ρ [tn/m ³]	*Τύπος Υλικού	*Ποιότητα σκυροδέματος
Τυπικ.*		3.3e+007	1.38e+007	1.000E-5	25.00	2.55	Σκυρόδεμα	C30/37

*Τυπικ.: 1.1 - 5.2

Στατικά-γενικά δοκών (Πίνακας 405)

Όνομα	Θέση από Κάνναβο	ΣΠΕΜ (ηβ)	Εκτύπωση αποτελε...	Διαστασιολόγηση... αποτίμηση	Εκτύπωση αποτελεσμάτων εν χρόνω ολοκλήρωσης	*Δεσμική σκυροδε...	*Δεσμική χάλυβα	Πρόβολος	Συντ. αξονικής δυσκαμψίας	Παραλαβή φορτίων χιονιού (στέγη)	Παραλαβή φορτίων χιονιού (στέγη)	Συντελεστής σχήματος μ
Τυπικ.*		1.000	Nai	Nai	Όχι	Όχι	Όχι	Αυτόματο	1.000	Όχι	Όχι	0.000

*Τυπικ.: 1.1 - 5.2

Άκαμπτες απολήξεις δοκών (Πίνακας 406)

Όνομα	Θέση από Κάνναβο	δX αρχής [m]	δY αρχής [m]	δΖ αρχής [m]	Συντελεστής zi	δX τέλους [m]	δY τέλους [m]	δΖ τέλους [m]	Συντελεστής zj	Άυτόματος υπολογισμός
1.1		-0.300	0.000	-0.250	1.000	-0.050	0.000	0.500	1.000	Nai
1.2		-0.050	0.000	-0.500	1.000	-0.300	0.000	0.250	1.000	Nai
2.1		0.000	0.000	-0.250	1.000	0.000	0.000	0.500	1.000	Nai
2.2		0.000	0.000	-0.500	1.000	0.000	0.000	0.250	1.000	Nai
3.1		0.300	0.000	-0.250	1.000	0.050	0.000	0.500	1.000	Nai
3.2		0.050	0.000	-0.500	1.000	0.300	0.000	0.250	1.000	Nai
4.1		0.500	0.000	-0.100	1.000	-0.650	0.000	-0.100	1.000	Nai
4.2		0.650	0.000	-0.100	1.000	-0.500	0.000	-0.100	1.000	Nai
5.1		0.500	0.000	0.100	1.000	-0.650	0.000	0.100	1.000	Nai
5.2		0.650	0.000	0.100	1.000	-0.500	0.000	0.100	1.000	Nai

Σκυρόδεμα (Πίνακας 408)

Όνομα	Όπει από κάνεται	Ενεργητική ζώνη	Διεύθυνση ανάληψης	Αποτελεσματικός ελασματοποίησης	Σύμβαση πλούτου στην ποσού απλόγευση διαδικασία	Μάγνησης πλούτου στην ποσού απλόγευση διαδικασία	Απ. πρ.+Απ. δεξ. πλούτου Αρχή [cm/m]	Απ. πρ.+Απ. δεξ. πλούτου Τέλος [cm/m]	Αλοντή διανομή στη διασποροποίηση	Ρωτή αναγέννησης > ρωτής μετανομού	Ρωτή αναγέννησης > 65% της ρωτής προηγούμενης	Τλεγμος θέλων	Τλεγμος θέλων	Τλεγμος πρεμένων	Ανακτησημένη ροήν	Συντ. ανακτησημένη διαρροή	Συντ. ανακτησημένη διαρροή διάλων	Μηνύματα... πλάνα
Τυπικ.* 4.1 - 5.	'Όχι Αυτόματο (Κύριο) 'Όχι Όχι Όχι (ΧΑΑΠ)	Ναι Ναι	Ναι Ναι	25.0 25.0	0.00 0.00	0.00 Μόνο δυσμ 0.00 Μόνο δυσμ	'Όχι 'Όχι	'Όχι 'Όχι	Ναι Ναι	Ναι Αυτόματα Ναι Αυτόματα	Ναι Ναι	0.700 0.700	0.700 0.700	'Όχι 'Όχι				

*Τυπικ.: 1.1 - 3.2

Διάτμηση - Αγκυρώσεις (Πίνακας 408.1)

Όνομα	Θέση από Κάννωβο	Ελέγχος διάτμησης & στρέψης	Ικανοποίηση διάτμησης	Συντελε... υπεραντ... γρδ. Αρχή	Συντελε... υπεραντ... γρδ. Τέλος	Θλιπτήρας ακυρ/τος cotθ <= λ. λ=...	Δισιαγάντιος οπλισμός	Εφαρμογή ικανώνων αγκύρωσης EC2	Αυτόματος υπολογισμός hc, bj	hc αρχής [m]	hc τέλους [m]	bj αρχής [m]	bj τέλους [m]
1.1		Ναι	Αυτόματο	1.000	1.000	2.500	45 μοίρες	Ναι	Ναι	0.50	1.00	0.65	0.50
1.2		Ναι	Αυτόματο	1.000	1.000	2.500	45 μοίρες	Ναι	Ναι	1.00	0.50	0.50	0.65
2.1		Ναι	Αυτόματο	1.000	1.000	2.500	45 μοίρες	Ναι	Ναι	0.50	1.00	0.65	0.50
2.2		Ναι	Αυτόματο	1.000	1.000	2.500	45 μοίρες	Ναι	Ναι	1.00	0.50	0.50	0.65
3.1		Ναι	Αυτόματο	1.000	1.000	2.500	45 μοίρες	Ναι	Ναι	0.50	1.00	0.65	0.50
3.2		Ναι	Αυτόματο	1.000	1.000	2.500	45 μοίρες	Ναι	Ναι	1.00	0.50	0.50	0.65
4.1 - 5.2		'Όχι	Αυτόματο	1.000	1.000	2.500	45 μοίρες	Ναι	Ναι	0.00	0.00	0.00	0.00

Συνδεσμολογία υποστυλωμάτων (Πίνακας 702)

Όνομα	Κόμβος τέλους	Κόμβος αρχής	Κόμβος αρχής για διαστασιολ...	Κόμβος τέλους για διαστασιολ...	Κόμβος αρχής για διαστασιολ...	Κόμβος τέλους για διαστασιολ...
7	7	7 (-2)		7 (-2)		7 (-2)
8	8	8 (-2)		8 (-2)		8 (-2)
9	9	9 (-2)		9 (-2)		9 (-2)
10	10	10 (-2)		10 (-2)		10 (-2)
11	11	11 (-2)		11 (-2)		11 (-2)
12	12	12 (-2)		12 (-2)		12 (-2)
13	13	13 (-2)		13 (-2)		13 (-2)
14	14	14 (-2)		14 (-2)		14 (-2)
15	15	15 (-2)		15 (-2)		15 (-2)

Συνδεσμολογία δοκών (Πίνακας 703)

Όνομα	Κόμβος αρχής	Κόμβος τέλους	Κόμβος αρχής για διαστασιολ...	Κόμβος τέλους για διαστασιολ...	Κόμβος αρχής για διαστασιολ...	Κόμβος τέλους για διαστασιολ...	Πλάκα δεξιά (όνομα - πλευρά)	Πλάκα αριστερά (όνομα - πλευρά)	*v[X] αρχής [m]	*v[Z] αρχής [m]	*v[X] τέλους [m]	*v[Z] τέλους [m]
1.1	10 (-1)	13	10 (-1)	13 (-1)	10 (-1)	13 (-1)	1-1		38.40	-27.15	38.40	-32.50
1.2	13 (-1)	7	13 (-1)	7 (-1)	13 (-1)	7 (-1)	1-1		38.40	-33.50	38.40	-38.05
2.1	11 (-1)	14	11 (-1)	14 (-1)	11 (-1)	14 (-1)	2-1	1-2	46.60	-27.15	46.60	-32.50
2.2	14 (-1)	8	14 (-1)	8 (-1)	14 (-1)	8 (-1)	2-1	1-2	46.60	-33.50	46.60	-38.05
3.1	12 (-1)	15	12 (-1)	15 (-1)	12 (-1)	15 (-1)	2-2	2-2	52.90	-27.15	52.90	-32.50
3.2	15 (-1)	9	15 (-1)	9 (-1)	15 (-1)	9 (-1)	2-2	2-2	52.90	-33.50	52.90	-38.05
4.1	7 (-1)	8	7 (-1)	8 (-1)	7 (-1)	8 (-1)	1-3		39.20	-38.40	45.95	-38.40
4.2	8 (-1)	9	8 (-1)	9 (-1)	8 (-1)	9 (-1)	2-3		47.25	-38.40	52.10	-38.40
5.1	10 (-1)	11	10 (-1)	11 (-1)	10 (-1)	11 (-1)		1-4	39.20	-26.80	45.95	-26.80
5.2	11 (-1)	12	11 (-1)	12 (-1)	11 (-1)	12 (-1)		2-4	47.25	-26.80	52.10	-26.80

Στοιχεία υποστυλωμάτων (Πίνακας 704)

Όνομα	Διατομή X [m]	Y [m]	Z [m]	Κόμβος άνω	Κόμβος κάτω	Γωνία τοποθέτησης φ [°]	Υλικό [/]	Αρθρ. Αρχ.	Αρθρ. Τέλ	Ομάδα δ
7	100/50	38.700	0.000	-38.300	7	7 (-2)	0.00	Ω.Σ.	'Όχι	'Όχι
8	130/50	46.600	0.000	-38.300	8	8 (-2)	0.00	Ω.Σ.	'Όχι	'Όχι
9	100/50	52.600	0.000	-38.300	9	9 (-2)	0.00	Ω.Σ.	'Όχι	'Όχι
10	100/50	38.700	0.000	-26.900	10	10 (-2)	0.00	Ω.Σ.	'Όχι	'Όχι
11	130/50	46.600	0.000	-26.900	11	11 (-2)	0.00	Ω.Σ.	'Όχι	'Όχι
12	100/50	52.600	0.000	-26.900	12	12 (-2)	0.00	Ω.Σ.	'Όχι	'Όχι
13	50/100	38.450	0.000	-33.000	13	13 (-2)	0.00	Ω.Σ.	'Όχι	'Όχι
14	50/100	46.600	0.000	-33.000	14	14 (-2)	0.00	Ω.Σ.	'Όχι	'Όχι
15	50/100	52.850	0.000	-33.000	15	15 (-2)	0.00	Ω.Σ.	'Όχι	'Όχι

Στοιχεία δοκών (Πίνακας 705)

Όνομα	Είδος μέλους	Διατομή	Κόμβος αρχής	Κόμβος τέλους	Γωνία τοποθέτησης φ [°]	Υλικό [/]	Αρθρ. Αρχ.	Αρθρ. Τέλ
1.1 40/60/115/50	Γενικό μέλος (μπετόν)	Πλακοδόκος	10 (-1)	13	0.00	Ω.Σ.	'Όχι	'Όχι
1.2 40/60/105/50	Γενικό μέλος (μπετόν)	Πλακοδόκος	13 (-1)	7	0.00	Ω.Σ.	'Όχι	'Όχι
2.1 40/60/195/50	Γενικό μέλος (μπετόν)	Πλακοδόκος	11 (-1)	14	0.00	Ω.Σ.	'Όχι	'Όχι
2.2 40/60/170/50	Γενικό μέλος (μπετόν)	Πλακοδόκος	14 (-1)	8	0.00	Ω.Σ.	'Όχι	'Όχι
3.1 40/60/115/50	Γενικό μέλος (μπετόν)	Πλακοδόκος	12 (-1)	15	0.00	Ω.Σ.	'Όχι	'Όχι
3.2 40/60/105/50	Γενικό μέλος (μπετόν)	Πλακοδόκος	15 (-1)	9	0.00	Ω.Σ.	'Όχι	'Όχι
4.1 30/200/120/50	Τοίχωμα υπογείου	Πλακοδόκος	7 (-1)	8	0.00	Ω.Σ.	'Όχι	'Όχι
4.2 30/200/95/50	Τοίχωμα υπογείου	Πλακοδόκος	8 (-1)	9	0.00	Ω.Σ.	'Όχι	'Όχι
5.1 30/200/120/50	Τοίχωμα υπογείου	Πλακοδόκος	10 (-1)	11	0.00	Ω.Σ.	'Όχι	'Όχι
5.2 30/200/95/50	Τοίχωμα υπογείου	Πλακοδόκος	11 (-1)	12	0.00	Ω.Σ.	'Όχι	'Όχι

Δράσεις μονίμων φορτίων δοκών (Πίνακας 802)

'Όνομα δοκού'		Gx [kN/m]		Gy [kN/m]		Gz [kN/m]		Gmx [kNm/m]		Gy πλακών [kN/m]		Gmx πλακών [kNm/m]	
1.1 - 1.2		0.000		-9.000		0.000		0.00		-21.397		0.00	
2.1 - 2.2		0.000		-9.000		0.000		0.00		-69.042		0.00	
3.1 - 3.2		0.000		-9.000		0.000		0.00		-18.465		0.00	
4.1		0.000		-9.000		0.000		0.00		-14.426		0.00	
4.2		0.000		-9.000		0.000		0.00		-11.539		0.00	
5.1		0.000		-9.000		0.000		0.00		-14.426		0.00	
5.2		0.000		-9.000		0.000		0.00		-11.539		0.00	

Δράσεις κινητών φορτίων δοκών (Πίνακας 803)

'Όνομα δοκού'	Qx [kN/m]	Qy [kN/m]	Qz [kN/m]	Qmx [kNm/m]	Qy πλακών [kN/m]	ψ2*Qy πλακών [kN/m]	Qmx πλακών [kNm/m]	Δυσμεν... φορτίο... Α συντ. λΑ	Qy Κινητά Α [kN/m]	Δυσμεν... φορτίο... Β συντ. λΒ	Qy Κινητά Β [kN/m]	Δυσμεν... φορτίο... C συντ. λC	Qy Κινητά C [kN/m]	Δυσμεν... φορτίο... D συντ. λD	Qy Κινητά D [kN/m]	Δυσμεν... φορτίο... Ε συντ. λE	Qy Κινητά E [kN/m]
1.1	0.000	0.000	0.000	0.00	-11.401	-6.841	0.00	1	-11.401	0	0.000	1	-11.401	0	0.000	1	-11.401
1.2	0.000	0.000	0.000	0.00	-11.401	-6.841	0.00	0	0.000	1	-11.401	1	-11.401	0	0.000	0	0.000
2.1	0.000	0.000	0.000	0.00	-36.232	-21.739	0.00	1	-36.232	0	0.000	1	-36.232	0	0.000	1	-36.232
2.2	0.000	0.000	0.000	0.00	-36.232	-21.739	0.00	0	0.000	1	-36.232	1	-36.232	1	-36.232	0	0.000
3.1	0.000	0.000	0.000	0.00	-9.517	-5.710	0.00	1	-9.517	0	0.000	1	-9.517	0	0.000	1	-9.517
3.2	0.000	0.000	0.000	0.00	-9.517	-5.710	0.00	0	0.000	1	-9.517	1	-9.517	1	-9.517	0	0.000
4.1	0.000	0.000	0.000	0.00	-7.687	-4.612	0.00	1	-7.687	0	0.000	1	-7.687	0	0.000	1	-7.687
4.2	0.000	0.000	0.000	0.00	-5.948	-3.569	0.00	0	0.000	1	-5.948	1	-5.948	1	-5.948	0	0.000
5.1	0.000	0.000	0.000	0.00	-7.687	-4.612	0.00	1	-7.687	0	0.000	1	-7.687	0	0.000	1	-7.687
5.2	0.000	0.000	0.000	0.00	-5.948	-3.569	0.00	0	0.000	1	-5.948	1	-5.948	1	-5.948	0	0.000

Δεδομένα: Όροφος 0**Διαστάσεις διατομών υποστυλωμάτων (Πίνακας 201.1)**

'Όνομα	Θέση από Κάνναβο	Αυτό... Θέση από Κάννα...	Κατηγορία διατομής	Γωνία τοποθέτησης φ [°]	b [m]	d [m]	b1 [m]	b3 [m]	d1 [m]	d3 [m]	Επικ... συνδ... cnom [m]	Συντελεστής μονολιθικότητας ακαμψίας	
7		Nai	Ορθογωνική		0.00	1.000	0.500	0.000	0.000	0.000	0.035		1.000
8		Nai	Ορθογωνική		0.00	1.300	0.500	0.000	0.000	0.000	0.035		1.000
9 - 10		Nai	Ορθογωνική		0.00	1.000	0.500	0.000	0.000	0.000	0.035		1.000
11		Nai	Ορθογωνική		0.00	1.300	0.500	0.000	0.000	0.000	0.035		1.000
12		Nai	Ορθογωνική		0.00	1.000	0.500	0.000	0.000	0.000	0.035		1.000

Αδρανειακά στοιχεία υποστυλωμάτων (Πίνακας 202.1)

'Όνομα	Θέση από Κάνναβο	Ax(1) [m ²]	Ay(2) [m ²]	Az(3) [m ²]	Ix(1) [m ⁴]	Iy(2) [m ⁴]	Iz(3) [m ⁴]	Γωνία β [°]	Γωνία τοποθέτησης φ [°]	Επιφά... ιδίου βάρους [m ²]	Αυτόματος υπολογισμός	
7		0.50	0.42	0.42	2.861E-3	2.083E-2	5.208E-3	90.00		0.00	0.50	Nai
8		0.65	0.55	0.55	4.107E-3	4.577E-2	6.771E-3	90.00		0.00	0.65	Nai
9 - 10		0.50	0.42	0.42	2.861E-3	2.083E-2	5.208E-3	90.00		0.00	0.50	Nai
11		0.65	0.55	0.55	4.107E-3	4.577E-2	6.771E-3	90.00		0.00	0.65	Nai
12		0.50	0.42	0.42	2.861E-3	2.083E-2	5.208E-3	90.00		0.00	0.50	Nai

Σταθερές υλικών υποστυλωμάτων (Πίνακας 203.1)

'Όνομα	Θέση από Κάνναβο	E [kN/m ²]	G [kN/m ²]	α [/ ^o]	ε [kN/m ³]	ρ [tn/m ³]	*Τύπος Υλικού	*Ποιότητα σκυροδέματος
Τυπικ.*		3.3e+007	1.38e+007	1.000E-5	25.00	2.55	Σκυρόδεμα	C30/37

*Τυπικ.: 7 - 12

Θέση - χαρακτηριστικά (Πίνακας 205.2)

'Όνομα	Θέση από Κάνναβο	X [m]	Y [m]	Z [m]	Ομάδα δ
7			38.700	6.450	-38.300
8			46.600	6.450	-38.300
9			52.600	6.450	-38.300
10			38.700	6.450	-26.900
11			46.600	6.450	-26.900
12			52.600	6.450	-26.900

Άκαμπτες απολήξεις υποστυλωμάτων (Πίνακας 206)

'Όνομα	Θέση από Κάνναβο	δX κάτω [m]	δY κάτω [m]	δZ κάτω [m]	Συντελεστής zj	δX άνω [m]	δY άνω [m]	δZ άνω [m]	Συντελεστής zi	Αυτόματος υπολογισμός
Τυπικ.*		0.000	0.000	0.000	1.000	0.000	0.000	0.000	1.000	Nai

*Τυπικ.: 7 - 12

Στατικά - γενικά υποστυλωμάτων (Πίνακας 205.1)

Όνομα	Θέση από Κάνναβο	Αποτήσεις πλαστιμότητ...	Ικανοτικός σε κάμψη	Συντ. ικανοτικής μεγέθυνσης κόμβου	ΣΠΕΜ X (ηcx)	ΣΠΕΜ Z (ηcz)	Τρόπος οπλισμού	Ομάδα τοιχωμάτων	Εκπύπωση αποτελε...	Διαστασιολόγησ...	Εκτύπωση αποτελεσμάτων εν χρόνω ολοκλήρωσης	Παραλαβή φορτίων σανέμου	
Τυπικ.*	Nai (Κύριο ...	Αυτόματο	1.300	1.000	1.000	Διαστασιολόγηση		0	Nai	Nai	Nai	Όχι	Όχι

*Τυπικ.: 7 - 12

Σκυρόδεμα (Πίνακας 208)

Όνομα	Θέση από Κάνναβο	Αποτήσεις πλαστιμότητ...	Τοίχωμα	Συμμετοχή στην διαμόρφωση του ην	Έλεγχος κοντού υποστυλώματος	Έλεγχος κοντού υποστ/τος, ασ<=κ. k=>	Εξαφάλιση κοντού υποστ/τος	Περισφρίγη	Κρίσιμο μήκος άνω lcr_t [m]	Κρίσιμο μήκος κάτω lcr_b [m]	Έλεγχος λινισμού	Ενεργό μήκος ley [m]	Ενεργό μήκος lez [m]
Τυπικ.*	Nai (Κύριο ...	Αυτόματο	Αυτόματο		Όχι	2.000	Με προσαύ...	Αυτόματο	0.00	0.00	Nai	0.00	0.00

*Τυπικ.: 7 - 12

Διάτμηση - συνάφεια (Πίνακας 208.1)

Όνομα	Θέση από Κάνναβο	Ικανοτικός διάτμησης	Συντελε... υπεροντ... γΥδ Κάτω	Συντελε... υπεροντ... γΥδ Άνω	θλιπτήρ... σκυρ/τος cotθ <= λ. λ=...	Διάτμηση κόμβου	Συνάφεια κόμβου	Συντ. διάτμησης τοιχώματος ε <= μ. μ=...	Απομείωση διατμητικής αντοχής VRdmax τοιχώματον	Κάτω άκματο τυήμα Ht [m]	Υψος idl ή ic για Ικανοτική τέμνουσα [m]	Υψος hst για ικανοτική τέμνουσα [m]	Αντοχή ταιχοπλήρωσης [kN]
Τυπικ.*	Αυτόματο	1.100	1.100	2.500	Αυτόματο Αυτόματο	10.000	Αυτόματο	0.00	0.00	0.00	0.00	0.00	0.00

*Τυπικ.: 7 - 12

Διαστάσεις διατομών δοκών (Πίνακας 401.1)

Όνομα	Θέση από Κάνναβο	Αυτό... θέση από Κάνα...	Είδος μέλους	Κατηγορία διατομής	Γωνία τοποθέτησης φ [°]	bw [m]	h [m]	beff [m]	hf1 [m]	beff1 [m]	hf2 [m]	Επικ... συνδ... cnom [m]	Συντελεστής μονολιθικότητας ακαμψίας
1.1	Nai	Γενικό μέλος (μπετόν)	Πλακοδοκός		0.00	0.800	0.700	2.250	0.500	0.000	0.000	0.035	1.000
2.1	Nai	Γενικό μέλος (μπετόν)	Πλακοδοκός		0.00	0.800	0.700	3.600	0.500	1.550	0.000	0.035	1.000
3.1	Nai	Γενικό μέλος (μπετόν)	Πλακοδοκός		0.00	0.800	0.700	2.050	0.500	1.250	0.000	0.035	1.000
4.1	Nai	Γενικό μέλος (μπετόν)	Πλακοδοκός		0.00	0.400	0.900	1.300	0.500	0.000	0.000	0.035	1.000
4.2	Nai	Γενικό μέλος (μπετόν)	Πλακοδοκός		0.00	0.400	0.900	1.050	0.500	0.000	0.000	0.035	1.000
5.1	Nai	Γενικό μέλος (μπετόν)	Πλακοδοκός		0.00	0.400	0.900	1.300	0.500	0.900	0.000	0.035	1.000
5.2	Nai	Γενικό μέλος (μπετόν)	Πλακοδοκός		0.00	0.400	0.900	1.050	0.500	0.650	0.000	0.035	1.000

Άδρανειακά στοιχεία διατομών δοκών (Πίνακας 402.1)

Όνομα	Θέση από Κάνναβο	Ax(1) [m ²]	Ay(2) [m ²]	Az(3) [m ²]	Ix(1) [m^4]	Iy(2) [m^4]	Iz(3) [m^4]	Γωνία β [°]	Γωνία τοποθέτησης φ [°]	Επιφά... ιδίου βάρους [m ²]	Αυτόματος υπολογισμός
1.1		1.28	1.09	1.09	1.074E-2	4.831E+3	2.057E-2	0.00	0.00	0.16	Nai
2.1		1.96	1.66	1.66	1.704E-2	1.953E+4	2.802E-2	0.00	0.00	0.16	Nai
3.1		1.19	1.00	1.00	9.806E-3	3.675E+3	1.942E-2	0.00	0.00	0.16	Nai
4.1		0.81	0.68	0.68	7.022E-3	9.368E+2	2.084E-2	0.00	0.00	0.16	Nai
4.2		0.69	0.58	0.58	5.856E-3	5.037E+2	1.895E-2	0.00	0.00	0.16	Nai
5.1		0.81	0.68	0.68	7.022E-3	9.368E+2	2.084E-2	0.00	0.00	0.16	Nai
5.2		0.69	0.58	0.58	5.856E-3	5.037E+2	1.895E-2	0.00	0.00	0.16	Nai

Σταθερές υλικών δοκών (Πίνακας 403.1)

Όνομα	Θέση από Κάνναβο	E [kN/m ²]	G [kN/m ²]	σ [/°]	ε [kN/m ³]	ρ [tn/m ³]	*Τύπος Υλικού	*Ποιότητα σκυροδέματος
Τυπικ.*		3.3e+007	1.38e+007	1.000E-5	25.00	2.55	Σκυρόδεμα	C30/37

*Τυπικ.: 1.1 - 5.2

Στατικά-γενικά δοκών (Πίνακας 405)

Όνομα	Θέση από Κάνναβο	ΣΠΕΜ (ηb)	Εκπύπωση αποτελε...	Διαστασιολόγησ... αποτίμηση	Εκπύπωση αποτελεσμάτων εν χρόνω ολοκλήρωσης	*Δεσμική σκυροδέ...	*Δεσμική χάλυβα	Πρόβολος	Συντ. αδενικής δισκαρπίας	Παραλαβή φορτίων σανέμου (στέγη)	Παραλαβή φορτίων χιονιού (στέγη)	Παραλαβή φορτίων πάγου δ αργής	Συντελεστής σχήματος μ
Τυπικ.*		1.000	Nai	Nai	Όχι	Όχι	Όχι	Αυτόματο	1.000	Όχι	Όχι	0.000	

*Τυπικ.: 1.1 - 5.2

Άκαμπτες απολήξεις δοκών (Πίνακας 406)

Όνομα	Θέση από Κάνναβο	δΧ αρχής [m]	δΥ αρχής [m]	δΖ αρχής [m]	Συντελεστής zi	δΧ τέλους [m]	δΥ τέλους [m]	δΖ τέλους [m]	Συντελεστής zj	Αυτόματος υπολογισμός
1.1		-0.100	0.000	-0.250	1.000	-0.100	0.000	0.250	1.000	Nai
2.1		0.000	0.000	-0.250	1.000	0.000	0.000	0.250	1.000	Nai
3.1		0.100	0.000	-0.250	1.000	0.100	0.000	0.250	1.000	Nai
4.1		0.500	0.000	-0.050	1.000	-0.650	0.000	-0.050	1.000	Nai
4.2		0.650	0.000	-0.050	1.000	-0.500	0.000	-0.050	1.000	Nai
5.1		0.500	0.000	0.050	1.000	-0.650	0.000	0.050	1.000	Nai
5.2		0.650	0.000	0.050	1.000	-0.500	0.000	0.050	1.000	Nai

Σκυρόδεμα (Πίνακας 408)

Όνομα	Κάνναβο	Ενσωματ. ζάνε	Δανίδες	Αποτήσεις πλαστηρίσματος	Σύδεροι πλακών στους οπικούς δακτυλίους	Σύδεροι πλακών στους ελεγκτικούς δακτυλίους	Μέγεντος συνεργεύ... αποτήσεις	Αε. προ+Αε. δεξ. ινσερβερ. Αργή [cm³/m]	Αε. προ+Αε. δεξ. ινσερβερ. Αργή [cm³/m]	Αλγερινή δινομητ... σημαντικότητας	Ρετική απόβλεψης >= 55% της μεντονάτου >= ρετικής σημαντικότητας	Τλεγκες Βάλων	Τλεγκες Τάλων	Τλεγκες πτυχώματος	Ανεπανανική πατών	Συντ. ανεπανανική πατών δ αργής	Συντ. ανεπανανική πατών δ τάλων	Μοντεπ.
1.1 - 3.		Όχι	Αυτόματο	Nai	Nai	25.0	0.00	0.00	Μόνο δυσμ	Όχι	Όχι	Nai	Nai	Αυτόματο	Nai	0.700	0.700	Όχι

Σκυρόδεμα (Πίνακας 408)

Όνομα	Θέση από Κάνναβο	Ενεργητική ζώνη	Διαδικασία οικδύσης	Αποτελεσματικός σταθερότητας	Σύμφωνα με την πλούσιαν στάση του αιχμαλώτου	Μάγνησης συνεργείας απολεπτής πλάσματος (%)	Απ. πρ.+Απ. δεξ. πλάσματος Αρχή [cm³/m]	Απ. πρ.+Απ. δεξ. πλάσματος Τέλος [cm³/m]	Αλονετή διανομή σημαντικού διαποντούλου	Ροτίζ. συνεργείας > ροτίζ. περιοχής μερικού	Ροτίζ. συνεργείας > 65% της περιοχής	Τλευτ. θάλασσας	Τλευτ. γήλων	Τλευτ. περιοχής πρεμέλων	Αναπτυσσόμενη ποινή	Συντ. συνεργ. ροτίζ. ποινή διαρρήσης	Συντ. συνεργ. ροτίζ. ποινή διάλογος	Μητρητικό... πόλεμος
4.1	Όχι Αυτόματη (Κύριο)	Nai	Nai	25.0	0.00	7.29	Mόνο δυσμ	Όχι	Όχι	Nai	Nai Αυτόματη	Nai	0.700	0.700	Όχι			
4.2	Όχι Αυτόματη (Κύριο)	Nai	Nai	25.0	7.29	0.00	Mόνο δυσμ	Όχι	Όχι	Nai	Nai Αυτόματη	Nai	0.700	0.700	Όχι			
5.1	Όχι Αυτόματη (Κύριο)	Nai	Nai	25.0	0.00	7.29	Mόνο δυσμ	Όχι	Όχι	Nai	Nai Αυτόματη	Nai	0.700	0.700	Όχι			
5.2	Όχι Αυτόματη (Κύριο)	Nai	Nai	25.0	7.29	0.00	Mόνο δυσμ	Όχι	Όχι	Nai	Nai Αυτόματη	Nai	0.700	0.700	Όχι			

Διάτημηση - Αγκυρώσεις (Πίνακας 408.1)

Όνομα	Θέση από Κάνναβο	Ένεγχος διάτημησης & στρέψης	Ικανοτικός διάτημησης	Συντελε... υπερφον... γρd. Αρχή	Συντελε... υπερφον... γρd. Τέλος	Θλιπτήρας σκυρ/τος σαθ < = λ. λ=...	Διαδιαγώνιος οπλισμός	Εφαρμογή κανόνων αγκύρωσης EC2	Αυτόματος υπολογισμός hc, bj	hc αρχής [m]	hc τέλους [m]	bj αρχής [m]	bj τέλους [m]
1.1		Nai	Αυτόματο	1.000	1.000	2.500	45 μοίρες	Nai	Nai	0.50	0.50	1.00	1.00
2.1		Nai	Αυτόματο	1.000	1.000	2.500	45 μοίρες	Nai	Nai	0.50	0.50	1.05	1.05
3.1		Nai	Αυτόματο	1.000	1.000	2.500	45 μοίρες	Nai	Nai	0.50	0.50	1.00	1.00
4.1		Nai	Αυτόματο	1.000	1.000	2.500	45 μοίρες	Nai	Nai	1.00	1.30	0.50	0.50
4.2		Nai	Αυτόματο	1.000	1.000	2.500	45 μοίρες	Nai	Nai	1.30	1.00	0.50	0.50
5.1		Nai	Αυτόματο	1.000	1.000	2.500	45 μοίρες	Nai	Nai	1.00	1.30	0.50	0.50
5.2		Nai	Αυτόματο	1.000	1.000	2.500	45 μοίρες	Nai	Nai	1.30	1.00	0.50	0.50

Συνδεσμολογία υποστυλωμάτων (Πίνακας 702)

Όνομα	Κόμβος τέλους	Κόμβος αρχής	Κόμβος αρχής για διαστασιολ... Y	Κόμβος τέλους για διαστασιολ... Y	Κόμβος αρχής για διαστασιολ... Z	Κόμβος τέλους για διαστασιολ... Z
7	7	7	7 (-1)	7 (-1)	7 (0)	7 (-1)
8	8	8	8 (-1)	8 (-1)	8 (0)	8 (-1)
9	9	9	9 (-1)	9 (-1)	9 (0)	9 (-1)
10	10	10	10 (-1)	10 (-1)	10 (0)	10 (-1)
11	11	11	11 (-1)	11 (-1)	11 (0)	11 (-1)
12	12	12	12 (-1)	12 (-1)	12 (0)	12 (-1)

Συνδεσμολογία δοκών (Πίνακας 703)

Όνομα	Κόμβος αρχής	Κόμβος τέλους	Κόμβος αρχής για διαστασιολ... - Y	Κόμβος αρχής για διαστασιολ... - Y	Κόμβος αρχής για διαστασιολ... - Z	Κόμβος τέλους για διαστασιολ... - Z	Πλάκα δεξιά (όνομα - πλευρά)	Πλάκα αριστερά (όνομα - πλευρά)	*v[X] αρχής [m]	*v[Z] αρχής [m]	*v[X] τέλους [m]	*v[Z] τέλους [m]
1.1	10 (0)	7	10 (0)	7 (0)	10 (0)	7 (0)	1-1	38.60	-27.15	38.60	-38.05	
2.1	11 (0)	8	11 (0)	8 (0)	11 (0)	8 (0)	2-1	46.60	-27.15	46.60	-38.05	
3.1	12 (0)	9	12 (0)	9 (0)	12 (0)	9 (0)	2-2	52.70	-27.15	52.70	-38.05	
4.1	7 (0)	8	7 (0)	8 (0)	7 (0)	8 (0)	1-3	39.20	-38.35	45.95	-38.35	
4.2	8 (0)	9	8 (0)	9 (0)	8 (0)	9 (0)	2-3	47.25	-38.35	52.10	-38.35	
5.1	10 (0)	11	10 (0)	11 (0)	10 (0)	11 (0)	1-4	39.20	-26.85	45.95	-26.85	
5.2	11 (0)	12	11 (0)	12 (0)	11 (0)	12 (0)	2-4	47.25	-26.85	52.10	-26.85	

Στοιχεία υποστυλωμάτων (Πίνακας 704)

Όνομα	Διατομή	X [m]	Y [m]	Z [m]	Κόμβος άνω	Κόμβος κάτω	Γωνία τοποθέτησης φ [°]	Υλικό[]	Αρθρ. Αρχ.	Αρθρ. Τέλ.	Ομάδα δ
7	100/50	38.700	6.450	-38.300	7	7 (-1)	0.00	Ω.Σ.	Όχι	Όχι	6
8	130/50	46.600	6.450	-38.300	8	8 (-1)	0.00	Ω.Σ.	Όχι	Όχι	6
9	100/50	52.600	6.450	-38.300	9	9 (-1)	0.00	Ω.Σ.	Όχι	Όχι	6
10	100/50	38.700	6.450	-26.900	10	10 (-1)	0.00	Ω.Σ.	Όχι	Όχι	6
11	130/50	46.600	6.450	-26.900	11	11 (-1)	0.00	Ω.Σ.	Όχι	Όχι	6
12	100/50	52.600	6.450	-26.900	12	12 (-1)	0.00	Ω.Σ.	Όχι	Όχι	6

Στοιχεία δοκών (Πίνακας 705)

Όνομα	Είδος μέλους	Διατομή	Κόμβος αρχής	Κόμβος τέλους	Γωνία τοποθέτησης φ [°]	Υλικό[]	Αρθρ. Αρχ.	Αρθρ. Τέλ.
1.1 80/70/225/50	Γενικό μέλος (μπετόν)	Πλακοδόκος	10 (0)	7	0.00	Ω.Σ.	Όχι	Όχι
2.1 80/70/360/50	Γενικό μέλος (μπετόν)	Πλακοδόκος	11 (0)	8	0.00	Ω.Σ.	Όχι	Όχι
3.1 80/70/205/50	Γενικό μέλος (μπετόν)	Πλακοδόκος	12 (0)	9	0.00	Ω.Σ.	Όχι	Όχι
4.1 40/90/130/50	Γενικό μέλος (μπετόν)	Πλακοδόκος	7 (0)	8	0.00	Ω.Σ.	Όχι	Όχι
4.2 40/90/105/50	Γενικό μέλος (μπετόν)	Πλακοδόκος	8 (0)	9	0.00	Ω.Σ.	Όχι	Όχι
5.1 40/90/130/50	Γενικό μέλος (μπετόν)	Πλακοδόκος	10 (0)	11	0.00	Ω.Σ.	Όχι	Όχι
5.2 40/90/105/50	Γενικό μέλος (μπετόν)	Πλακοδόκος	11 (0)	12	0.00	Ω.Σ.	Όχι	Όχι

Δράσεις μονίμων φορτίων δοκών (Πίνακας 802)

Όνομα δοκού	Gx [kN/m]	Gy [kN/m]	Gz [kN/m]	Gmx [kNm/m]	Gy πλακών [kN/m]	Gmx πλακών [kNm/m]
1.1	0.000	-9.000	0.000	0.00	-21.397	0.00
2.1	0.000	-9.000	0.000	0.00	-69.042	0.00
3.1	0.000	-9.000	0.000	0.00	-18.465	0.00
4.1	0.000	-9.000	0.000	0.00	-14.426	0.00
4.2	0.000	-9.000	0.000	0.00	-11.539	0.00
5.1	0.000	-9.000	0.000	0.00	-14.426	0.00

Δράσεις μονίμων φορτίων δοκών (Πίνακας 802)

Όνομα δοκού	Gx [kN/m]	Gy [kN/m]	Gz [kN/m]	Gmx [kNm/m]	Gy πλακών [kNm/m]	Gmx πλακών [kNm/m]
5.2	0.000	-9.000	0.000	0.00	-11.539	0.00

Δράσεις κινητών φορτίων δοκών (Πίνακας 803)

Όνομα δοκού	Qx [kN/m]	Qy [kN/m]	Qz [kN/m]	Qmx [kNm/m]	Qy πλακών [kNm/m]	ψ2*Qy πλακών [kNm/m]	Qmx πλακών [kNm/m]	Δυσμεν... φορτίσ... Α συντ. λΑ	Qy Κινητά Α [kN/m]	Δυσμεν... φορτίσ... Β συντ. λΒ	Qy Κινητά Β [kN/m]	Δυσμεν... φορτίσ... C συντ. λC	Qy Κινητά C [kN/m]	Δυσμεν... φορτίσ... D συντ. λD	Qy Κινητά D [kN/m]	Δυσμεν... φορτίσ... Ε συντ. λE	Qy Κινητά E [kN/m]
1.1	0.000	0.000	0.000	0.00	-11.401	-6.841	0.00	0	0.000	1	-11.401	1	-11.401	0	0.000	1	-11.401
2.1	0.000	0.000	0.000	0.00	-36.232	-21.739	0.00	0	0.000	1	-36.232	1	-36.232	0	0.000	1	-36.232
3.1	0.000	0.000	0.000	0.00	-9.517	-5.710	0.00	0	0.000	1	-9.517	1	-9.517	0	0.000	1	-9.517
4.1	0.000	0.000	0.000	0.00	-7.687	-4.612	0.00	0	0.000	1	-7.687	1	-7.687	0	0.000	1	-7.687
4.2	0.000	0.000	0.000	0.00	-5.948	-3.569	0.00	1	-5.948	0	0.000	1	-5.948	1	-5.948	0	0.000
5.1	0.000	0.000	0.000	0.00	-7.687	-4.612	0.00	0	0.000	1	-7.687	1	-7.687	0	0.000	1	-7.687
5.2	0.000	0.000	0.000	0.00	-5.948	-3.569	0.00	1	-5.948	0	0.000	1	-5.948	1	-5.948	0	0.000

Δεδομένα: Όροφος 1**Διαστάσεις διατομών υποστυλωμάτων (Πίνακας 201.1)**

Όνομα	Θέση από Κάνναβο	Αυτό... Θέση από Κάννα...	Κατηγορία διατομής	Γωνία τοποθέτησης φ [°]	b [m]	d [m]	b1 [m]	b3 [m]	d1 [m]	d3 [m]	Επικ... συνδ... cπομ [m]	Συντελεστής μονολιθικότητας ακαμψίας
7		Nai	Ορθογωνική		0.00	1.000	0.500	0.000	0.000	0.000	0.035	1.000
8		Nai	Ορθογωνική		0.00	1.300	0.500	0.000	0.000	0.000	0.035	1.000
9 - 10		Nai	Ορθογωνική		0.00	1.000	0.500	0.000	0.000	0.000	0.035	1.000
11		Nai	Ορθογωνική		0.00	1.300	0.500	0.000	0.000	0.000	0.035	1.000
12		Nai	Ορθογωνική		0.00	1.000	0.500	0.000	0.000	0.000	0.035	1.000

Αδρανειακά στοιχεία υποστυλωμάτων (Πίνακας 202.1)

Όνομα	Θέση από Κάνναβο	Ax(1) [m ²]	Ay(2) [m ²]	Az(3) [m ²]	Ix(1) [m ⁴]	Iy(2) [m ⁴]	Iz(3) [m ⁴]	Γωνία β [°]	Γωνία τοποθέτησης φ [°]	Επιφά... ιδίου βάρους [m ²]	Αυτόματος υπολογισμός
7		0.50	0.42	0.42	2.861E-3	2.083E-2	5.208E-3	90.00		0.00	0.50
8		0.65	0.55	0.55	4.107E-3	4.577E-2	6.771E-3	90.00		0.00	0.65
9 - 10		0.50	0.42	0.42	2.861E-3	2.083E-2	5.208E-3	90.00		0.00	0.50
11		0.65	0.55	0.55	4.107E-3	4.577E-2	6.771E-3	90.00		0.00	0.65
12		0.50	0.42	0.42	2.861E-3	2.083E-2	5.208E-3	90.00		0.00	0.50

Σταθερές υλικών υποστυλωμάτων (Πίνακας 203.1)

Όνομα	Θέση από Κάνναβο	E [kN/m ²]	G [kN/m ²]	σ [°/°]	ε [kN/m ³]	ρ [tn/m ³]	*Τύπος Υλικού	*Ποιότητα σκυροδέματος
Τυπικ.*		3.3e+007	1.38e+007	1.000E-5	25.00	2.55	Σκυρόδεμα	C30/37

*Τυπικ.: 7 - 12

Θέση - χαρακτηριστικά (Πίνακας 205.2)

Όνομα	Θέση από Κάνναβο	X [m]	Y [m]	Z [m]	Ομάδα δ
7		38.700		10.650	-38.300
8		46.600		10.650	-38.300
9		52.600		10.650	-38.300
10		38.700		10.650	-26.900
11		46.600		10.650	-26.900
12		52.600		10.650	-26.900

Άκαμπτες απολήξεις υποστυλωμάτων (Πίνακας 206)

Όνομα	Θέση από Κάνναβο	δX κάτω [m]	δY κάτω [m]	δZ κάτω [m]	Συντελεστής zj	δX άνω [m]	δY άνω [m]	δZ άνω [m]	Συντελεστής zi	Αυτόματος υπολογισμός
Τυπικ.*		0.000	0.000	0.000	1.000	0.000	0.000	0.000	1.000	Nai

*Τυπικ.: 7 - 12

Στατικά - γενικά υποστυλωμάτων (Πίνακας 205.1)

Όνομα	Θέση από Κάνναβο	Αποιτήσεις πλαστιμόπτ...	Ικανοτής σε κόμψη	Συντ. ικανοτής μεγέθυνσης κόμψου	ΣΠΕΜ X (ηcx)	ΣΠΕΜ Z (ηcz)	Τρόπος οπλισμού	Ομάδα τοιχωμάτων	Εκτύπωση αποτελε...	Διαστασιολόγησα... αποτίμηση	Εκτύπωση αποτελεσμάτων en χρόνω ολοκλήρωσης	Παραλοβή φορτίων σανέμου
Τυπικ.*	Nai (Κύριο ...)	Αυτόματο	1.300	1.000	1.000	Διαστασιολόγηση		0	Nai	Nai	Όχι	Όχι

*Τυπικ.: 7 - 12

Σκυρόδεμα (Πίνακας 208)

Όνομα	Θέση από Κάνναβο	Αποτίσεις πλαστιμότητ...	Τοίχωμα	Συμμετοχή στην διαμόρφωση του ην	Έλεγχος Κοντού υποσταλώματος	Έλεγχος κοντού υποστ/τος, ασ<=κ. λ=...	Εξασφάλιση κοντού υποστ/τος	Περισφρίγη	Κρίσιμο μήκος ὀντω lcr_t [m]	Κρίσιμο μήκος κάτω lcr_b [m]	Έλεγχος λυγισμού	Ενεργό μήκος ley [m]	Ενεργό μήκος lez [m]
Τυπικ.*		Nai (Κύριο ...)	Αυτόματο	Αυτόματο	Όχι	2.000	Με προσαύ...	Αυτόματο	0.00	0.00	Nai	0.00	0.00

*Τυπικ.: 7 - 12

Διάτμηση - συνάφεια (Πίνακας 208.1)

Όνομα	Θέση από Κάνναβο	Ικανοποίηση διάτμησης	Συντελε... υπεραντ... γρd Κάτω	Συντελε... υπεραντ... γρd Άνω	θλιπτηρ... ασκη/τος cotθ <= λ. λ=...	Διάτημηση κόμβου	Συνάφεια κόμβου	Συντ. διάτημησης τοιχόματος ε <= μ. μ=...	Απομείωση διατημητικής αντοχής VRdmx τοιχωμάτων	Κάτω άκαμπτο τυμά Ht [m]	Υψος ίδι ή ίc για Ικανοποίηση τέμνουσα [m]	Υψος hst για ικανοποίηση τέμνουσα [m]	Αντοχή τοιχοπλήρωσης [kN]	
Τυπικ.*		Αυτόματο	1.100	1.100	2.500	Αυτόματο	Αυτόματο	10.000	Αυτόματο	0.00	0.00	0.00	0.00	0.00

*Τυπικ.: 7 - 12

Διαστάσεις διατομών δοκών (Πίνακας 401.1)

Όνομα	Θέση από Κάνναβο	Αυτό... θέση από Κάνα...	Είδος μέλους	Κατηγορία διατομής	Γωνία τοποθέτησης φ [°]	bw [m]	h [m]	beff [m]	hf1 [m]	beff1 [m]	hf2 [m]	Επικ... συνδ... cnom [m]	Συντελεστής μονολιθικότητας ακαμψίας
1.1		Nai	Γενικό μέλος (μπετόν)	Πλακοδοκός	0.00	0.800	0.700	2.250	0.500	0.000	0.000	0.035	1.000
2.1		Nai	Γενικό μέλος (μπετόν)	Πλακοδοκός	0.00	0.800	0.700	3.600	0.500	1.550	0.000	0.035	1.000
3.1		Nai	Γενικό μέλος (μπετόν)	Πλακοδοκός	0.00	0.800	0.700	2.050	0.500	1.250	0.000	0.035	1.000
4.1		Nai	Γενικό μέλος (μπετόν)	Πλακοδοκός	0.00	0.400	0.900	1.300	0.500	0.000	0.000	0.035	1.000
4.2		Nai	Γενικό μέλος (μπετόν)	Πλακοδοκός	0.00	0.400	0.900	1.050	0.500	0.000	0.000	0.035	1.000
5.1		Nai	Γενικό μέλος (μπετόν)	Πλακοδοκός	0.00	0.400	0.900	1.300	0.500	0.900	0.000	0.035	1.000
5.2		Nai	Γενικό μέλος (μπετόν)	Πλακοδοκός	0.00	0.400	0.900	1.050	0.500	0.650	0.000	0.035	1.000

Αδρανειακά στοιχεία διατομών δοκών (Πίνακας 402.1)

Όνομα	Θέση από Κάνναβο	Ax(1) [m ²]	Ay(2) [m ²]	Az(3) [m ²]	Ix(1) [m ⁴]	Iy(2) [m ⁴]	Iz(3) [m ⁴]	Γωνία β [°]	Γωνία τοποθέτησης φ [°]	Επικά... ιδίου βάρους [m ²]	Αυτόματος υπολογισμός
1.1		1.28	1.09	1.09	1.074E-2	4.831E+3	2.057E-2	0.00	0.00	0.16	Nai
2.1		1.96	1.66	1.66	1.704E-2	1.953E+4	2.802E-2	0.00	0.00	0.16	Nai
3.1		1.19	1.00	1.00	9.806E-3	3.675E+3	1.942E-2	0.00	0.00	0.16	Nai
4.1		0.81	0.68	0.68	7.022E-3	9.368E+2	2.084E-2	0.00	0.00	0.16	Nai
4.2		0.69	0.58	0.58	5.856E-3	5.037E+2	1.895E-2	0.00	0.00	0.16	Nai
5.1		0.81	0.68	0.68	7.022E-3	9.368E+2	2.084E-2	0.00	0.00	0.16	Nai
5.2		0.69	0.58	0.58	5.856E-3	5.037E+2	1.895E-2	0.00	0.00	0.16	Nai

Σταθερές υλικών δοκών (Πίνακας 403.1)

Όνομα	Θέση από Κάνναβο	E [kN/m ²]	G [kN/m ²]	α [°]	ε [kN/m ³]	ρ [tn/m ³]	*Τύπος Υλικού	*Ποιότητα σκυροδέματος
Τυπικ.*		3.3e+007	1.38e+007	1.000E-5	25.00	2.55	Σκυρόδεμα	C30/37

*Τυπικ.: 1.1 - 5.2

Στατικά-γενικά δοκών (Πίνακας 405)

Όνομα	Θέση από Κάνναβο	ΣΠΕΜ (ηβ)	Εκτύπωση αποτελε...	Διαστασιολόγηση... αποτίμηση	Εκτύπωση αποτελεσμάτων εν χρόνω ολοκλήρωσης	*Δεσμική σκυροδέ...	*Δεσμική χάλυβα	Πρόβολος	Συντ. αδονικής δυσκαμψίας ανέμου (στέγη)	Παραλαβή φορτίων χιονιού (στέγη)	Παραλαβή φορτίων χιονιού (στέγη)	Συντελεστής σχήματος μ
Τυπικ.*		1.000	Nai	Nai	Όχι	Όχι	Όχι	Αυτόματο	1.000	Όχι	Όχι	0.000

*Τυπικ.: 1.1 - 5.2

Άκαμπτες απολήξεις δοκών (Πίνακας 406)

Όνομα	Θέση από Κάνναβο	δΧ αρχής [m]	δΥ αρχής [m]	δΖ αρχής [m]	Συντελεστής zi	δΧ τέλους [m]	δΥ τέλους [m]	δΖ τέλους [m]	Συντελεστής zj	Αυτόματος υπολογισμός
1.1		-0.100	0.000	-0.250	1.000	-0.100	0.000	0.250	1.000	Nai
2.1		0.000	0.000	-0.250	1.000	0.000	0.000	0.250	1.000	Nai
3.1		0.100	0.000	-0.250	1.000	0.100	0.000	0.250	1.000	Nai
4.1		0.500	0.000	-0.050	1.000	-0.650	0.000	-0.050	1.000	Nai
4.2		0.650	0.000	-0.050	1.000	-0.500	0.000	-0.050	1.000	Nai
5.1		0.500	0.000	0.050	1.000	-0.650	0.000	0.050	1.000	Nai
5.2		0.650	0.000	0.050	1.000	-0.500	0.000	0.050	1.000	Nai

Σκυρόδεμα (Πίνακας 408)

Όνομα	Κάννεδο	Επιφανειακή αύξησης	Αποτίμησης ηλεκτρικού πολαικού	Σύλληψης πολαικού στοιχείου	Μάγνησος συντριβής αποτελεσμάτων πλάτες [% αποτίμηση]	Αε. αρχ-λε. διε.	Αε. αρχ-λε. διε. ηλεκτρικού πολαικού [cm ² /m]	Αλησμένη διανομή σημαντικής μετατροπής	Ραντί απήρριψης > 65% της μετατροπής σημαντικής μετατροπής	Τλεπογες θλέπονταν	Τλεπογες πτυχισμένης	Ανεκτομανηρή ποτάν	Συντ. ανεκτομανηρής ποτάν διαρρήσης	Συντ. ανεκτομανηρής ποτάν διάλειξ				
1.1 - 3.	'Όχι	Αυτόματο	Nai (Κύριο)	Nai	Nai	25.0	0.00	0.00	Μόνο δυσμ	'Όχι	'Όχι	Nai	Ναι	Αυτόματο	Nai	0.700	0.700	'Όχι
4.1	'Όχι	Αυτόματο	Nai (Κύριο)	Nai	Nai	25.0	0.00	7.29	Μόνο δυσμ	'Όχι	'Όχι	Nai	Ναι	Αυτόματο	Nai	0.700	0.700	'Όχι
4.2	'Όχι	Αυτόματο	Nai (Κύριο)	Nai	Nai	25.0	7.29	0.00	Μόνο δυσμ	'Όχι	'Όχι	Nai	Ναι	Αυτόματο	Nai	0.700	0.700	'Όχι
5.1	'Όχι	Αυτόματο	Nai (Κύριο)	Nai	Nai	25.0	0.00	7.29	Μόνο δυσμ	'Όχι	'Όχι	Nai	Ναι	Αυτόματο	Nai	0.700	0.700	'Όχι
5.2	'Όχι	Αυτόματο	Nai (Κύριο)	Nai	Nai	25.0	7.29	0.00	Μόνο δυσμ	'Όχι	'Όχι	Nai	Ναι	Αυτόματο	Nai	0.700	0.700	'Όχι

Διάτημηση - Αγκυρώσεις (Πίνακας 408.1)

Όνομα	Θέση από Κάνναβο	Ένεχος διάτημησης & στρέψης	Ικανοτικός διάτημησης	Συντελε... υπεραντ... γRd.	Συντελε... υπεραντ... γRd.	Θλιπτήρας σκυρ/τος σαθ < = λ. λ=...	Δισδιαγώνιος οπλισμός	Εφαρμογή κανόνων αγκύρωσης EC2	Αυτόματος υπολογισμός hc, bj	hc αρχής [m]	hc τέλους [m]	bj αρχής [m]	bj τέλους [m]	
1.1	Nai	Αυτόματο	1.000	1.000	2.500	45 μοίρες	Nai	Nai	0.50	0.50	1.00	1.00		
2.1	Nai	Αυτόματο	1.000	1.000	2.500	45 μοίρες	Nai	Nai	0.50	0.50	1.05	1.05		
3.1	Nai	Αυτόματο	1.000	1.000	2.500	45 μοίρες	Nai	Nai	0.50	0.50	1.00	1.00		
4.1	Nai	Αυτόματο	1.000	1.000	2.500	45 μοίρες	Nai	Nai	1.00	1.30	0.50	0.50		
4.2	Nai	Αυτόματο	1.000	1.000	2.500	45 μοίρες	Nai	Nai	1.30	1.00	0.50	0.50		
5.1	Nai	Αυτόματο	1.000	1.000	2.500	45 μοίρες	Nai	Nai	1.00	1.30	0.50	0.50		
5.2	Nai	Αυτόματο	1.000	1.000	2.500	45 μοίρες	Nai	Nai	1.30	1.00	0.50	0.50		

Συνδεσμολογία υποστυλωμάτων (Πίνακας 702)

Όνομα	Κόμβος τέλους	Κόμβος αρχής	Κόμβος αρχής για διαστασιολ... Y	Κόμβος τέλους για διαστασιολ... Y	Κόμβος αρχής για διαστασιολ... Z	Κόμβος τέλους για διαστασιολ... Z
7	7	7 (0)		7 (0)	7 (1)	7 (0)
8	8	8 (0)		8 (0)	8 (1)	8 (0)
9	9	9 (0)		9 (0)	9 (1)	9 (0)
10	10	10 (0)		10 (0)	10 (1)	10 (0)
11	11	11 (0)		11 (0)	11 (1)	11 (0)
12	12	12 (0)		12 (0)	12 (1)	12 (0)

Συνδεσμολογία δοκών (Πίνακας 703)

Όνομα	Κόμβος αρχής	Κόμβος τέλους	Κόμβος αρχής για διαστασιολ... - Y	Κόμβος τέλους για διαστασιολ... - Y	Κόμβος αρχής για διαστασιολ... - Z	Κόμβος τέλους για διαστασιολ... - Z	Πλάκα δεξιά (όνομα - πλευρά)	Πλάκα αριστερά (όνομα - πλευρά)	*v[X] αρχής [m]	*v[Z] αρχής [m]	*v[X] τέλους [m]	*v[Z] τέλους [m]	
1.1	10 (1)	7	10 (1)	7 (1)	10 (1)	7 (1)	1-1	38.60	-27.15	38.60	-38.05		
2.1	11 (1)	8	11 (1)	8 (1)	11 (1)	8 (1)	2-1	46.60	-27.15	46.60	-38.05		
3.1	12 (1)	9	12 (1)	9 (1)	12 (1)	9 (1)	2-2	52.70	-27.15	52.70	-38.05		
4.1	7 (1)	8	7 (1)	8 (1)	7 (1)	8 (1)	1-3	39.20	-38.35	45.95	-38.35		
4.2	8 (1)	9	8 (1)	9 (1)	8 (1)	9 (1)	2-3	47.25	-38.35	52.10	-38.35		
5.1	10 (1)	11	10 (1)	11 (1)	10 (1)	11 (1)	1-4	39.20	-26.85	45.95	-26.85		
5.2	11 (1)	12	11 (1)	12 (1)	11 (1)	12 (1)	2-4	47.25	-26.85	52.10	-26.85		

Στοιχεία υποστυλωμάτων (Πίνακας 704)

Όνομα	Διατομή	X [m]	Y [m]	Z [m]	Κόμβος άνω	Κόμβος κάτω	Γωνία τοποθέτησης φ [°]	Υλικό[/]	Αρθρ. Αρχ.	Αρθρ. Τέλ	Ομάδα δ
7	100/50	38.700	10.650	-38.300	7	7 (0)	0.00	Ω.Σ.	'Οχι	'Οχι	7
8	130/50	46.600	10.650	-38.300	8	8 (0)	0.00	Ω.Σ.	'Οχι	'Οχι	7
9	100/50	52.600	10.650	-38.300	9	9 (0)	0.00	Ω.Σ.	'Οχι	'Οχι	7
10	100/50	38.700	10.650	-26.900	10	10 (0)	0.00	Ω.Σ.	'Οχι	'Οχι	7
11	130/50	46.600	10.650	-26.900	11	11 (0)	0.00	Ω.Σ.	'Οχι	'Οχι	7
12	100/50	52.600	10.650	-26.900	12	12 (0)	0.00	Ω.Σ.	'Οχι	'Οχι	7

Στοιχεία δοκών (Πίνακας 705)

Όνομα	Είδος μέλους	Διατομή	Κόμβος αρχής	Κόμβος τέλους	Γωνία τοποθέτησης φ [°]	Υλικό[/]	Αρθρ. Αρχ.	Αρθρ. Τέλ
1.1 80/70/225/50	Γενικό μέλος (μπετόν)	Πλακοδόκος	10 (1)	7	0.00	Ω.Σ.	'Οχι	'Οχι
2.1 80/70/360/50	Γενικό μέλος (μπετόν)	Πλακοδόκος	11 (1)	8	0.00	Ω.Σ.	'Οχι	'Οχι
3.1 80/70/205/50	Γενικό μέλος (μπετόν)	Πλακοδόκος	12 (1)	9	0.00	Ω.Σ.	'Οχι	'Οχι
4.1 40/90/130/50	Γενικό μέλος (μπετόν)	Πλακοδόκος	7 (1)	8	0.00	Ω.Σ.	'Οχι	'Οχι
4.2 40/90/105/50	Γενικό μέλος (μπετόν)	Πλακοδόκος	8 (1)	9	0.00	Ω.Σ.	'Οχι	'Οχι
5.1 40/90/130/50	Γενικό μέλος (μπετόν)	Πλακοδόκος	10 (1)	11	0.00	Ω.Σ.	'Οχι	'Οχι
5.2 40/90/105/50	Γενικό μέλος (μπετόν)	Πλακοδόκος	11 (1)	12	0.00	Ω.Σ.	'Οχι	'Οχι

Δράσεις μονίμων φορτίων δοκών (Πίνακας 802)

Όνομα δοκού	Gx [kN/m]	Gy [kN/m]	Gz [kN/m]	Gmx [kNm/m]	Gy πλακών [kNm/m]	Gmx πλακών [kNm/m]
1.1	0.000		-9.000	0.000	0.00	-21.397
2.1	0.000		-9.000	0.000	0.00	-69.042
3.1	0.000		-9.000	0.000	0.00	-18.465
4.1	0.000		-9.000	0.000	0.00	-14.426
4.2	0.000		-9.000	0.000	0.00	-11.539
5.1	0.000		-9.000	0.000	0.00	-14.426
5.2	0.000		-9.000	0.000	0.00	-11.539

Δράσεις κινητών φορτίων δοκών (Πίνακας 803)

Όνομα δοκού	Qx [kN/m]	Qy [kN/m]	Qz [kN/m]	Qmx [kNm/m]	Qy πλακών [kN/m]	ψ2*Qy πλακών [kN/m]	Qmt πλακών [kNm/m]	Διαμεν... φορτίο...	Qy Κνητρά A [kN/m]	Διαμεν... φορτίο...	Qy Κνητρά B [kN/m]	Διαμεν... φορτίο...	Qy Κνητρά C [kN/m]	Διαμεν... φορτίο...	Qy Κνητρά D [kN/m]	Διαμεν... φορτίο...	Qy Κνητρά E [kN/m]
1.1	0.000	0.000	0.000	0.00	-11.401	-6.841	0.00	1	-11.401	0	0.000	1	-11.401	0	0.000	1	-11.401
2.1	0.000	0.000	0.000	0.00	-36.232	-21.739	0.00	1	-36.232	0	0.000	1	-36.232	0	0.000	1	-36.232
3.1	0.000	0.000	0.000	0.00	-9.517	-5.710	0.00	1	-9.517	0	0.000	1	-9.517	0	0.000	1	-9.517

Δράσεις κινητών φορτίων δοκών (Πίνακας 803)

Όνομα δοκού	Q_x [kN/m]	Q_y [kN/m]	Q_z [kN/m]	Q_{mx} [kNm/m]	Q_y πλακών [kN/m]	Q_{mx} πλακών [kNm/m]	ψ²* Q_y πλακών [kN/m]	Δυσμεν... φορτίσ... Α συντ. λΑ	Q_y Κινητά Α [kN/m]	Δυσμεν... φορτίσ... Β συντ. λΒ	Q_y Κινητά Β [kN/m]	Δυσμεν... φορτίσ... C συντ. λC	Q_y Κινητά C [kN/m]	Δυσμεν... φορτίσ... D συντ. λD	Q_y Κινητά D [kN/m]	Δυσμεν... φορτίσ... Ε συντ. λE	Q_y Κινητά Ε [kN/m]
4.1	0.000	0.000	0.000	0.00	-7.687	-4.612	0.00	1	-7.687	0	0.000	1	-7.687	0	0.000	1	-7.687
4.2	0.000	0.000	0.000	0.00	-5.948	-3.569	0.00	0	0.000	1	-5.948	1	-5.948	1	-5.948	0	0.000
5.1	0.000	0.000	0.000	0.00	-7.687	-4.612	0.00	1	-7.687	0	0.000	1	-7.687	0	0.000	1	-7.687
5.2	0.000	0.000	0.000	0.00	-5.948	-3.569	0.00	0	0.000	1	-5.948	1	-5.948	1	-5.948	0	0.000

Δεδομένα: Όροφος 2**Διαστάσεις διατομών υποστυλωμάτων (Πίνακας 201.1)**

Όνομα	Θέση από Κάνναβο	Αυτό... Θέση από Κάνα...	Κατηγορία διατομής	Γωνία τοποθέτησης ϕ [°]	b [m]	d [m]	b1 [m]	b3 [m]	d1 [m]	d3 [m]	Επικ... συνδ... cnopm [m]	Συντελεστής μονολιθικότητας ακαμψίας
7		Nai	Ορθογωνική		0.00	1.000	0.500	0.000	0.000	0.000	0.035	1.000
8		Nai	Ορθογωνική		0.00	1.300	0.500	0.000	0.000	0.000	0.035	1.000
9 - 10		Nai	Ορθογωνική		0.00	1.000	0.500	0.000	0.000	0.000	0.035	1.000
11		Nai	Ορθογωνική		0.00	1.300	0.500	0.000	0.000	0.000	0.035	1.000
12		Nai	Ορθογωνική		0.00	1.000	0.500	0.000	0.000	0.000	0.035	1.000

Άδρανειακά στοιχεία υποστυλωμάτων (Πίνακας 202.1)

Όνομα	Θέση από Κάνναβο	$Ax(1)$ [m ²]	$Ay(2)$ [m ²]	$Az(3)$ [m ²]	$Ix(1)$ [m ⁴]	$Iy(2)$ [m ⁴]	$Iz(3)$ [m ⁴]	Γωνία β [°]	Γωνία τοποθέτησης ϕ [°]	Επιφά... ιδίου βάρους [m ²]	Αυτόματος υπολογισμός
7		0.50	0.42	0.42	2.861E-3	2.083E-2	5.208E-3	90.00		0.00	0.50
8		0.65	0.55	0.55	4.107E-3	4.577E-2	6.771E-3	90.00		0.00	0.65
9 - 10		0.50	0.42	0.42	2.861E-3	2.083E-2	5.208E-3	90.00		0.00	0.50
11		0.65	0.55	0.55	4.107E-3	4.577E-2	6.771E-3	90.00		0.00	0.65
12		0.50	0.42	0.42	2.861E-3	2.083E-2	5.208E-3	90.00		0.00	0.50

Σταθερές υλικών υποστυλωμάτων (Πίνακας 203.1)

Όνομα	Θέση από Κάνναβο	E [kN/m ²]	G [kN/m ²]	σ [°]	ε [kN/m ³]	ρ [tn/m ³]	*Τύπος Υλικού	*Ποιότητα σκυρόδεματος
Τυπικ.*		3.3e+007	1.38e+007	1.000E-5	25.00	2.55	Σκυρόδεμα	C30/37

*Τυπικ.: 7 - 12

Θέση - χαρακτηριστικά (Πίνακας 205.2)

Όνομα	Θέση από Κάνναβο	X [m]	Y [m]	Z [m]	Ομάδα δ
7			38.700	14.850	-38.300
8			46.600	14.850	-38.300
9			52.600	14.850	-38.300
10			38.700	14.850	-26.900
11			46.600	14.850	-26.900
12			52.600	14.850	-26.900

Άκαμπτες απολήξεις υποστυλωμάτων (Πίνακας 206)

Όνομα	Θέση από Κάνναβο	δX κάτω [m]	δY κάτω [m]	δZ κάτω [m]	Συντελεστής zj	δX άνω [m]	δY άνω [m]	δZ άνω [m]	Συντελεστής zi	Αυτόματος υπολογισμός
Τυπικ.*		0.000	0.000	0.000	1.000	0.000	0.000	0.000	1.000	Nai

*Τυπικ.: 7 - 12

Στατικά - γενικά υποστυλωμάτων (Πίνακας 205.1)

Όνομα	Θέση από Κάνναβο	Απαιτήσεις πλαστιμότητ...	Ικανοτικός σε κόμμη	Συντ. ικανοτικής μεγέθυνσης κόμμου	ΣΠΕΜ X (ηcx)	ΣΠΕΜ Z (ηcz)	Τρόπος οπλισμού	Ομάδα τοιχωμάτων	Εκτύπωση οποτελε...	Διαστασιολόγησα... οποτίμηση	Εκτύπωση οποτελεσμάτων en χρόνω ολοκλήρωσης	Παραλοβή φορτίων ανέμου
Τυπικ.*		Nai (Κύριο ...	Αυτόματο	1.300	1.000	1.000	Διαστασιολόγηση		0	Nai	Nai	'Όχι

*Τυπικ.: 7 - 12

Σκυρόδεμα (Πίνακας 208)

Όνομα	Θέση από Κάνναβο	Απαιτήσεις πλαστιμότη...	Τοίχωμα	Συμμετοχή στην διάμρωφωση του πν	Έλεγχος Κοντού υποστ/τος,	Έλεγχος κοντού υποστ/τας, ασ<=k. k=...	Εξαφόλιση κοντού υποστ/τας	Περισφήγη	k_{cris} μήκος κάτω lcr_t [m]	k_{cris} μήκος κάτω lcr_b [m]	Έλεγχος λυγισμού	Ενεργό μήκος ley [m]	Ενεργό μήκος lez [m]	
Τυπικ.*		Nai (Κύριο ...	Αυτόματο	1.100	1.100	2.500	Αυτόματο	Αυτόματο	10.000	Αυτόματο	0.00	0.00	0.00	0.00

*Τυπικ.: 7 - 12

Διάτμηση - συνάφεια (Πίνακας 208.1)

Όνομα	Θέση από Κάνναβο	Ικανοτικός διάτμησης	Συντελε... υπερντ... γρd Κάτω	Συντελε... υπερντ... γρd Ανω	θλιπτήρ... σκυρ/τος cotθ <= λ. λ. λ=...	Διάτμηση κόμβου	Συνάφεια κόμβου	Συντ. διάτμησης τοιχώματος ε <= μ. μ=...	Απομέιωση διατμητικής αντοχής VRdmxα τοιχώματων	Κάτω άκουμπο τημή Ht [m]	Υψος Icl για ικανοτική τέμνουσα [m]	Υψος hst για ικανοτική τέμνουσα [m]	Αντοχή τοιχοπλήρωσης [kN]	
Τυπικ.*		Αυτόματο	1.100	1.100	2.500	Αυτόματο	Αυτόματο	10.000	Αυτόματο	0.00	0.00	0.00	0.00	0.00

Διαστάσεις διατομών δοκών (Πίνακας 401.1)

Όνομα	Θέση από Κάνναβο	Αυτό... θέση από Κάννα...	Είδος μέλους		Κατηγορία διατομής	Γωνία τοποθέτησης φ [°]	bw [m]	h [m]	beff [m]	hf1 [m]	beff1 [m]	hf2 [m]	Επικ... συνδ... cnom [m]	Συντελεστής μονολιθικότητας ακαμψίας
1.1	Nai	Γενικό μέλος (μπετόν)	Πλακοδοκός	0.00	0.800	0.700	2.250	0.500	0.000	0.000	0.035			1.000
2.1	Nai	Γενικό μέλος (μπετόν)	Πλακοδοκός	0.00	0.800	0.700	3.600	0.500	1.550	0.000	0.035			1.000
3.1	Nai	Γενικό μέλος (μπετόν)	Πλακοδοκός	0.00	0.800	0.700	2.050	0.500	1.250	0.000	0.035			1.000
4.1	Nai	Γενικό μέλος (μπετόν)	Πλακοδοκός	0.00	0.400	0.900	1.300	0.500	0.000	0.000	0.035			1.000
4.2	Nai	Γενικό μέλος (μπετόν)	Πλακοδοκός	0.00	0.400	0.900	1.050	0.500	0.000	0.000	0.035			1.000
5.1	Nai	Γενικό μέλος (μπετόν)	Πλακοδοκός	0.00	0.400	0.900	1.300	0.500	0.900	0.000	0.035			1.000
5.2	Nai	Γενικό μέλος (μπετόν)	Πλακοδοκός	0.00	0.400	0.900	1.050	0.500	0.650	0.000	0.035			1.000

Άδρανειακά στοιχεία διατομών δοκών (Πίνακας 402.1)

Όνομα	Θέση από Κάνναβο	Ax(1) [m ²]	Ay(2) [m ²]	Az(3) [m ²]	Ix(1) [m^4]	Iy(2) [m^4]	Iz(3) [m^4]	Γωνία β [°]	Γωνία τοποθέτησης φ [°]	Επικά... ιδίου βάρους [m ²]	Αυτόματος υπολογισμός
1.1		1.28	1.09	1.09	1.074E-2	4.831E+3	2.057E-2	0.00	0.00	0.16	Nai
2.1		1.96	1.66	1.66	1.704E-2	1.953E+4	2.802E-2	0.00	0.00	0.16	Nai
3.1		1.19	1.00	1.00	9.806E-3	3.675E+3	1.942E-2	0.00	0.00	0.16	Nai
4.1		0.81	0.68	0.68	7.022E-3	9.368E+2	2.084E-2	0.00	0.00	0.16	Nai
4.2		0.69	0.58	0.58	5.856E-3	5.037E+2	1.895E-2	0.00	0.00	0.16	Nai
5.1		0.81	0.68	0.68	7.022E-3	9.368E+2	2.084E-2	0.00	0.00	0.16	Nai
5.2		0.69	0.58	0.58	5.856E-3	5.037E+2	1.895E-2	0.00	0.00	0.16	Nai

Σταθερές υλικών δοκών (Πίνακας 403.1)

Όνομα	Θέση από Κάνναβο	E [kN/m ²]	G [kN/m ²]	α [°]	ε [kN/m ³]	ρ [tn/m ³]	*Τύπος Υλικού	*Ποιότητα σκυρόδεματος
Τυπικ.*		3.3e+007	1.38e+007	1.000E-5	25.00	2.55	Σκυρόδεμα	C30/37

*Τυπικ.: 1.1 - 5.2

Στατικά-γενικά δοκών (Πίνακας 405)

Όνομα	Θέση από Κάνναβο	ΣΠΕΜ (ηρ)	Εκπύωση αποτελε...	Διαστασολόγηση αποτίμηση	Εκτύπωση αποτελεσμάτων εν χρόνω ολοκλήρωσης	*Δεσμική ακυροδέ...	*Δεσμική χάλυβα	Πρόβολος	Συντ. αξονικής δυσκαμψίας	Παραλαβή φορτίων χιονιού (στέγη)	Παραλαβή φορτίων χιονιού	Συντελεστής σχήματος μ
Τυπικ.*		1.000	Nai	Nai	Όχι	Όχι	Όχι	Αυτόματο	1.000	Όχι	Όχι	0.000

*Τυπικ.: 1.1 - 5.2

Άκαμπτες απολήξεις δοκών (Πίνακας 406)

Όνομα	Θέση από Κάνναβο	δΧ αρχής [m]	δΥ αρχής [m]	δΖ αρχής [m]	Συντελεστής zi	δΧ τέλους [m]	δΥ τέλους [m]	δΖ τέλους [m]	Συντελεστής zj	Αυτόματος υπολογισμός
1.1		-0.100	0.000	-0.250	1.000	-0.100	0.000	0.250	1.000	Nai
2.1		0.000	0.000	-0.250	1.000	0.000	0.000	0.250	1.000	Nai
3.1		0.100	0.000	-0.250	1.000	0.100	0.000	0.250	1.000	Nai
4.1		0.500	0.000	-0.050	1.000	-0.650	0.000	-0.050	1.000	Nai
4.2		0.650	0.000	-0.050	1.000	-0.500	0.000	-0.050	1.000	Nai
5.1		0.500	0.000	0.050	1.000	-0.650	0.000	0.050	1.000	Nai
5.2		0.650	0.000	0.050	1.000	-0.500	0.000	0.050	1.000	Nai

Σκυρόδεμα (Πίνακας 408)

Όνομα	Κάνναβο	Ενσφραγίαζες αλυσίδες	Αποστρέψιμης πλάκας	Σύδερος πλάκας	Μέγιστος συνεργείος απολήξης πλάκας [%]	Αε. αρχ.+αε. δεξ. πλάκας Αργή [cm ² /m]	Αε. αρχ.+αε. δεξ. πλάκας Τέλες [cm ² /m]	Αλογική δυνατότητα διασποράς λάσπης	Ραντί παραγόμενος απόβλητος >= 65% της ραντί παραγόμενου συμφέρουσου	Τλεγκής θάλασσας	Τλεγκής παραγόμενης ραντί	Αναστροφής παραγόμενης ραντί	Συντ. αναστροφής παραγόμενης ραντί	Συντ. αναστροφής παραγόμενης ραντί	Ημερομηνία		
1.1 - 3.	'Όχι	Αυτόματο	(Κύριο)	Nai	Nai	25.0	0.00	0.00	Μόνο δυσμ	Όχι	Όχι	Nai	Αυτόματο	Nai	0.700	0.700	'Όχι
4.1	'Όχι	Αυτόματο	(Κύριο)	Nai	Nai	25.0	0.00	7.29	Μόνο δυσμ	Όχι	Όχι	Nai	Αυτόματο	Nai	0.700	0.700	'Όχι
4.2	'Όχι	Αυτόματο	(Κύριο)	Nai	Nai	25.0	7.29	0.00	Μόνο δυσμ	Όχι	Όχι	Nai	Αυτόματο	Nai	0.700	0.700	'Όχι
5.1	'Όχι	Αυτόματο	(Κύριο)	Nai	Nai	25.0	0.00	7.29	Μόνο δυσμ	Όχι	Όχι	Nai	Αυτόματο	Nai	0.700	0.700	'Όχι
5.2	'Όχι	Αυτόματο	(Κύριο)	Nai	Nai	25.0	7.29	0.00	Μόνο δυσμ	Όχι	Όχι	Nai	Αυτόματο	Nai	0.700	0.700	'Όχι

Διάτμηση - Αγκυρώσεις (Πίνακας 408.1)

Όνομα	Θέση από Κάνναβο	Έλεγχος διάτμησης & στρέψης	Ικανοτικός διάτμησης	Συντελε... υπεραντ... γρδ. Αρχή	Συντελε... υπεραντ... γρδ. Ηλ. Λέλος	Θλιπτήρας σκυρ/τος cotθ < λ. λ=...	Δισδιαγώνιος οπιλασμός	Εφαρμογή καινόνων αγκύρωσης EC2	Αυτόματος υπολογισμός hc, bj	hc αρχής [m]	hc τέλους [m]	bj αρχής [m]	bj τέλους [m]
1.1		Nai	Αυτόματο	1.000	1.000	2.500	45 μοιρές	Nai	Nai	0.50	0.50	1.00	1.00
2.1		Nai	Αυτόματο	1.000	1.000	2.500	45 μοιρές	Nai	Nai	0.50	0.50	1.05	1.05
3.1		Nai	Αυτόματο	1.000	1.000	2.500	45 μοιρές	Nai	Nai	0.50	0.50	1.00	1.00
4.1		Nai	Αυτόματο	1.000	1.000	2.500	45 μοιρές	Nai	Nai	1.00	1.30	0.50	0.50
4.2		Nai	Αυτόματο	1.000	1.000	2.500	45 μοιρές	Nai	Nai	1.30	1.00	0.50	0.50
5.1		Nai	Αυτόματο	1.000	1.000	2.500	45 μοιρές	Nai	Nai	1.00	1.30	0.50	0.50
5.2		Nai	Αυτόματο	1.000	1.000	2.500	45 μοιρές	Nai	Nai	1.30	1.00	0.50	0.50

Συνδεσμολογία υποστυλωμάτων (Πίνακας 702)

Όνομα	Κόμβος τέλους	Κόμβος αρχής	Κόμβος αρχής για διαστασιολ... Y	Κόμβος τέλους για διαστασιολ... Y	Κόμβος αρχής για διαστασιολ... Z	Κόμβος τέλους για διαστασιολ... Z
7	7	7 (1)		7 (1)	7 (2)	7 (1)
8	8	8 (1)		8 (1)	8 (2)	8 (1)
9	9	9 (1)		9 (1)	9 (2)	9 (1)
10	10	10 (1)		10 (1)	10 (2)	10 (1)
11	11	11 (1)		11 (1)	11 (1)	11 (1)
12	12	12 (1)		12 (1)	12 (1)	12 (1)

Συνδεσμολογία δοκών (Πίνακας 703)

Όνομα	Κόμβος αρχής	Κόμβος τέλους	Κόμβος αρχής για διαστασιολ... - Y	Κόμβος τέλους για διαστασιολ... - Y	Κόμβος αρχής για διαστασιολ... - Z	Κόμβος τέλους για διαστασιολ... - Z	Πλάκα δεξιά (όνομα - πλευρά)	Πλάκα αριστερά (όνομα - πλευρά)	*v[X] αρχής [m]	*v[Z] αρχής [m]	*v[X] τέλους [m]	*v[Z] τέλους [m]
1.1	10 (2)	7	10 (2)	7 (2)	10 (2)	7 (2)	1-1		38.60	-27.15	38.60	-38.05
2.1	11 (2)	8	11 (2)	8 (2)	11 (2)	8 (2)	2-1		46.60	-27.15	46.60	-38.05
3.1	12 (2)	9	12 (2)	9 (2)	12 (2)	9 (2)	2-2		52.70	-27.15	52.70	-38.05
4.1	7 (2)	8	7 (2)	8 (2)	7 (2)	8 (2)	1-3		39.20	-38.35	45.95	-38.35
4.2	8 (2)	9	8 (2)	9 (2)	8 (2)	9 (2)	2-3		47.25	-38.35	52.10	-38.35
5.1	10 (2)	11	10 (2)	11 (2)	10 (2)	11 (2)	1-4		39.20	-26.85	45.95	-26.85
5.2	11 (2)	12	11 (2)	12 (2)	11 (2)	12 (2)	2-4		47.25	-26.85	52.10	-26.85

Στοιχεία υποστυλωμάτων (Πίνακας 704)

Όνομα	Διατομή	X [m]	Y [m]	Z [m]	Κόμβος άνω	Κόμβος κάτω	Γωνία τοποθέτησης φ [°]	Υλικό [/]	Αρθρ. Αρχ.	Αρθρ. Τέλ	Ομάδα δ
7	100/50	38.700	14.850	-38.300	7	7 (1)	0.00	Ω.Σ.	Όχι	Όχι	8
8	130/50	46.600	14.850	-38.300	8	8 (1)	0.00	Ω.Σ.	Όχι	Όχι	8
9	100/50	52.600	14.850	-38.300	9	9 (1)	0.00	Ω.Σ.	Όχι	Όχι	8
10	100/50	38.700	14.850	-26.900	10	10 (1)	0.00	Ω.Σ.	Όχι	Όχι	8
11	130/50	46.600	14.850	-26.900	11	11 (1)	0.00	Ω.Σ.	Όχι	Όχι	8
12	100/50	52.600	14.850	-26.900	12	12 (1)	0.00	Ω.Σ.	Όχι	Όχι	8

Στοιχεία δοκών (Πίνακας 705)

Όνομα	Είδος μέλους	Διατομή	Κόμβος αρχής	Κόμβος τέλους	Γωνία τοποθέτησης φ [°]	Υλικό [/]	Αρθρ. Αρχ.	Αρθρ. Τέλ
1.1 80/70/225/50	Γενικό μέλος (μπετόν)	Πλακοδόκος	10 (2)	7	0.00	Ω.Σ.	Όχι	Όχι
2.1 80/70/360/50	Γενικό μέλος (μπετόν)	Πλακοδόκος	11 (2)	8	0.00	Ω.Σ.	Όχι	Όχι
3.1 80/70/205/50	Γενικό μέλος (μπετόν)	Πλακοδόκος	12 (2)	9	0.00	Ω.Σ.	Όχι	Όχι
4.1 40/90/130/50	Γενικό μέλος (μπετόν)	Πλακοδόκος	7 (2)	8	0.00	Ω.Σ.	Όχι	Όχι
4.2 40/90/105/50	Γενικό μέλος (μπετόν)	Πλακοδόκος	8 (2)	9	0.00	Ω.Σ.	Όχι	Όχι
5.1 40/90/130/50	Γενικό μέλος (μπετόν)	Πλακοδόκος	10 (2)	11	0.00	Ω.Σ.	Όχι	Όχι
5.2 40/90/105/50	Γενικό μέλος (μπετόν)	Πλακοδόκος	11 (2)	12	0.00	Ω.Σ.	Όχι	Όχι

Δράσεις μονίμων φορτίων δοκών (Πίνακας 802)

Όνομα δοκού	Gx [kN/m]	Gy [kN/m]	Gz [kN/m]	Gmx [kNm/m]	Gy πλακών [kN/m]	Gmx πλακών [kNm/m]
1.1	0.000	-9.000	0.000	0.00	-28.238	0.00
2.1	0.000	-9.000	0.000	0.00	-90.781	0.00
3.1	0.000	-9.000	0.000	0.00	-24.175	0.00
4.1	0.000	-9.000	0.000	0.00	-19.037	0.00
4.2	0.000	-9.000	0.000	0.00	-15.108	0.00
5.1	0.000	-9.000	0.000	0.00	-19.037	0.00
5.2	0.000	-9.000	0.000	0.00	-15.108	0.00

Δράσεις κινητών φορτίων δοκών (Πίνακας 803)

Όνομα δοκού	Qx [kN/m]	Qy [kN/m]	Qz [kN/m]	Qmx [kNm/m]	Qy πλακών [kN/m]	ψ2*Qy πλακών [kN/m]	Qmx πλακών [kNm/m]	Διασμεν... φορτία... Α συντ. λΑ	Qy Κινητό Α [kN/m]	Διασμεν... φορτία... Β συντ. λΒ	Qy Κινητό Β [kN/m]	Διασμεν... φορτία... Β συντ. λΒ	Qy Κινητά C [kN/m]	Διασμεν... φορτία... Δ συντ. λΔ	Qy Κινητά D [kN/m]	Διασμεν... φορτία... Ε συντ. λΕ	Qy Κινητά E [kN/m]
1.1	0.000	0.000	0.000	0.00	-4.560	-2.736	0.00	0	0.000	1	-4.560	1	-4.560	0	0.000	1	-4.560
2.1	0.000	0.000	0.000	0.00	-14.493	-8.696	0.00	0	0.000	1	-14.493	1	-14.493	0	0.000	1	-14.493
3.1	0.000	0.000	0.000	0.00	-3.807	-2.284	0.00	0	0.000	1	-3.807	1	-3.807	0	0.000	1	-3.807
4.1	0.000	0.000	0.000	0.00	-3.075	-1.845	0.00	0	0.000	1	-3.075	1	-3.075	0	0.000	1	-3.075
4.2	0.000	0.000	0.000	0.00	-2.379	-1.427	0.00	1	-2.379	0	0.000	1	-2.379	1	-2.379	0	0.000
5.1	0.000	0.000	0.000	0.00	-3.075	-1.845	0.00	0	0.000	1	-3.075	1	-3.075	0	0.000	1	-3.075
5.2	0.000	0.000	0.000	0.00	-2.379	-1.427	0.00	1	-2.379	0	0.000	1	-2.379	1	-2.379	0	0.000

Αποτελέσματα χωρικού πλαισίου

Δεδομένα φορέα ($M=0$)

Συνολικός αριθμός κόμβων φορέα	=	36
Μέγιστος αρ. βαθμ. ελευθ. ανά κόμβο	=	6
Διαστάσεις του προβλήματος	=	3
Χώρος εργασίας σε πραγματικούς αριθμούς	=	80000000

Στοιχεία επιπέδων

Αριθμός επιπέδων	=	4
------------------	---	---

Δεδομένα μελών ($M=0$)

Αριθμός μελών	=	68
Αριθμός ειδών μελών	=	17

Βάρος και μάζα κτιρίου

Επίπεδο	Υψόμετρο [m]	Συνολικό βάρος υπερκείμενων επιπέδων [kN]	Μάζα επιπέδου [ton]
4	14.85	0.330E+04	0.326E+03
3	10.65	0.656E+04	0.307E+03
2	6.45	0.992E+04	0.317E+03
1:βάση	0.00	0.134E+05	0.328E+03

EC8-1 §3.2.4:

Το βάρος προκύπτει από την φόρτιση $G+\psi^2*Q$
Η μάζα προκύπτει από την φόρτιση $G+\varphi*\psi^2*Q$

Ανάλυση φασματικής αποκρίσεως ($M=0$)

Δεδομένα φάσματος τύπου 1		
Φάσμα Σχεδιασμού Ευροκώδικα Sd(T) (EN1998-1)		
Σεισμική ζώνη	=	Z2
Μέγιστη εδαφική επιτάχυνση agR	=	0.240g
Κατακόρυφη εδαφική επιτάχυνση avg	=	0.216g
Σπουδαιότητα κτιρίου	=	III
Συντελεστής σπουδαιότητας γΙ	=	1.20
Συντελεστής τοπογραφικής ενίσχυσης St	=	1.00
Εδαφικός τύπος	=	B
Παράμετροι της οριζ. συνιστώσας φάσματος		
Συντελεστής εδάφους S	=	1.20
Χαρακτηριστική περίοδος - οριζόντια TB [sec]	=	0.15
Χαρακτηριστική περίοδος - οριζόντια TC [sec]	=	0.60
Χαρακτηριστική περίοδος - οριζόντια TD [sec]	=	2.50
Παράμετροι της κατακ. συνιστώσας φάσματος		
Χαρακτηριστική περίοδος - κατακόρυφα TvB [sec]	=	0.05
Χαρακτηριστική περίοδος - κατακόρυφα TvC [sec]	=	0.15
Χαρακτηριστική περίοδος - κατακόρυφα TvD [sec]	=	1.00
Συντελεστής ελαχίστου ορίου φάσματος β	=	0.20
Συντελεστής απόδειξης ξ[%]	=	5.00
Συντελεστές σεισμ. συμπεριφοράς οριζ. αχ	=	3.45
Συντελεστές σεισμ. συμπεριφοράς οριζ. qz	=	3.30
Συντελεστής σεισμ. συμπεριφοράς κατακ. qv	=	1.50

Δυναμική Ανάλυση (EC8) ($M=0$)

Εύρεση ιδιοτιμών φορέα: (Subspace iteration)

Αριθμός ζητουμένων ιδιοτιμών	=	9
Ακρίβεια συγκλίσεως ιδιοτιμών	=	0.10000E-03
Αναζήτηση ιδιομορφών ώστε $\Sigma M_i > 90\%$ της μάζας	:	Nai
Πολλαπλασιασμός μεγεθών με $M/\Sigma M_i$:	Nai
Υπολογισμός πόλων ιδιομορφών	:	Nai
Υψόμετρο βάσης(Εφαρμογή σεισμικών δυνάμεων) [m]	=	0.000

Μετάθεση κέντρου μάζας.

Επίπεδο	Υψόμετρο [m]	Αρχικό X [m]	Αρχικό Z [m]	Μετάθεση μάζας κατά	Νέο X [m]	Νέο Z [m]
4	14.85	0.459E+02	-0.326E+02	+X +Z -X -Z	0.466E+02 0.459E+02 0.452E+02 0.459E+02	-0.326E+02 -0.320E+02 -0.326E+02 -0.332E+02
3	10.65	0.459E+02	-0.326E+02	+X +Z -X -Z	0.466E+02 0.459E+02 0.452E+02 0.459E+02	-0.326E+02 -0.320E+02 -0.326E+02 -0.332E+02
2	6.45	0.459E+02	-0.326E+02	+X +Z -X	0.466E+02 0.459E+02 0.452E+02	-0.326E+02 -0.320E+02 -0.326E+02

Μετάθεση κέντρου μάζας.

Επίπεδο	Υψόμετρο [m]	Αρχικό X [m]	Αρχικό Z [m]	Μετάθεση μάζας κατά -Z	Νέο X [m]	Νέο Z [m]
				-Z	0.459E+02	-0.332E+02

Πίνακας μαζών ανά ιδιομορφή και αθροίσματα.

Φορέας 1: (Μετάθεση μάζας κατά +X)

Ιδιομορφή	Χ-διεύθ. [%]	Υ-διεύθ. [%]	Ζ-διεύθ. [%]	Χ-ολική [%]	Υ-ολική [%]	Ζ-ολική [%]
1	0.000	0.000	97.507	0.000	0.000	97.507
2	0.109	0.000	0.113	0.109	0.000	97.620
3	95.229	0.002	0.000	95.338	0.002	97.620
4	0.000	0.000	2.216	95.338	0.002	99.836
5	0.000	0.000	0.004	95.338	0.002	99.840
6	0.000	0.000	0.148	95.338	0.003	99.987
7	4.225	0.042	0.000	99.563	0.044	99.987
8	0.000	26.364	0.008	99.563	26.408	99.995
9	0.000	70.588	0.004	99.563	96.996	99.999

Φορέας 2: (Μετάθεση μάζας κατά +Z)

Ιδιομορφή	Χ-διεύθ. [%]	Υ-διεύθ. [%]	Ζ-διεύθ. [%]	Χ-ολική [%]	Υ-ολική [%]	Ζ-ολική [%]
1	0.000	0.000	97.610	0.000	0.000	97.610
2	15.695	0.000	0.009	15.695	0.000	97.619
3	79.643	0.002	0.001	95.338	0.002	97.620
4	0.000	0.000	2.219	95.338	0.002	99.839
5	0.303	0.001	0.000	95.641	0.003	99.839
6	0.000	0.000	0.148	95.641	0.004	99.987
7	3.922	0.042	0.000	99.563	0.046	99.987
8	0.000	27.537	0.007	99.563	27.582	99.995
9	0.000	69.412	0.004	99.563	96.994	99.999

Φορέας 3: (Μετάθεση μάζας κατά -X)

Ιδιομορφή	Χ-διεύθ. [%]	Υ-διεύθ. [%]	Ζ-διεύθ. [%]	Χ-ολική [%]	Υ-ολική [%]	Ζ-ολική [%]
1	0.000	0.000	97.291	0.000	0.000	97.291
2	0.030	0.000	0.331	0.030	0.000	97.621
3	95.307	0.002	0.000	95.337	0.002	97.621
4	0.000	0.000	2.210	95.337	0.002	99.831
5	0.000	0.000	0.009	95.337	0.002	99.840
6	0.000	0.000	0.147	95.337	0.003	99.987
7	4.225	0.041	0.000	99.562	0.044	99.987
8	0.000	27.202	0.007	99.562	27.245	99.994
9	0.000	69.750	0.004	99.562	96.995	99.998

Φορέας 4: (Μετάθεση μάζας κατά -Z)

Ιδιομορφή	Χ-διεύθ. [%]	Υ-διεύθ. [%]	Ζ-διεύθ. [%]	Χ-ολική [%]	Υ-ολική [%]	Ζ-ολική [%]
1	0.000	0.000	97.610	0.000	0.000	97.610
2	14.066	0.000	0.009	14.066	0.000	97.619
3	81.269	0.002	0.001	95.335	0.002	97.620
4	0.000	0.000	2.219	95.335	0.002	99.839
5	0.316	0.001	0.000	95.651	0.003	99.839
6	0.000	0.000	0.148	95.651	0.004	99.987
7	3.912	0.042	0.000	99.563	0.046	99.987
8	0.000	26.371	0.008	99.563	26.416	99.995
9	0.000	70.578	0.004	99.563	96.994	99.999

Ιδιοπερίοδοι - Φασματικές επιταχύνσεις (M= 0)

Φορέας 1: (Μετάθεση μάζας κατά +X)

Ιδιομορφή	Ιδιοπερίοδος	Κατακόρυφη Συνιστώσα [m/sec2]	- [Ποσοστό g]	Οριζόντια Συνιστώσα 0 [m/sec2]	- [Ποσοστό g]	Οριζόντια Συνιστώσα 90 [m/sec2]	- [Ποσοστό g]
1	1.2484	0.50855	0.052	1.18079	0.120	1.23446	0.126
2	0.6934	0.91673	0.093	2.12576	0.217	2.22239	0.227
3	0.6573	0.96719	0.099	2.24276	0.229	2.34470	0.239
4	0.3208	1.98159	0.202	2.45677	0.250	2.56844	0.262
5	0.1807	3.51825	0.359	2.45677	0.250	2.56844	0.262
6	0.1653	3.84663	0.392	2.45677	0.250	2.56844	0.262
7	0.1612	3.94363	0.402	2.45677	0.250	2.56844	0.262
8	0.1097	4.23792	0.432	2.40396	0.245	2.48562	0.253
9	0.1095	4.23792	0.432	2.40375	0.245	2.48530	0.253

Φορέας 2: (Μετάθεση μάζας κατά +Z)

Ιδιομορφή - -	Ιδιοπερίοδος - [sec]	Κατακόρυφη Συνιστώσα [m/sec2]	- [Ποσοστό g]	Οριζόντια Συνιστώσα 0 [m/sec2]	- [Ποσοστό g]	Οριζόντια Συνιστώσα 90 [m/sec2]	- [Ποσοστό g]
1	1.2469	0.50855	0.052	1.18217	0.121	1.23591	0.126
2	0.7259	0.87573	0.089	2.03067	0.207	2.12298	0.216
3	0.6460	0.98410	0.100	2.28196	0.233	2.38569	0.243
4	0.3203	1.98486	0.202	2.45677	0.250	2.56844	0.262
5	0.1880	3.38091	0.345	2.45677	0.250	2.56844	0.262
6	0.1649	3.85436	0.393	2.45677	0.250	2.56844	0.262
7	0.1595	3.98480	0.406	2.45677	0.250	2.56844	0.262
8	0.1097	4.23792	0.432	2.40396	0.245	2.48562	0.253
9	0.1095	4.23792	0.432	2.40375	0.245	2.48529	0.253

Φορέας 3: (Μετάθεση μάζας κατά -X)

Ιδιομορφή - -	Ιδιοπερίοδος - [sec]	Κατακόρυφη Συνιστώσα [m/sec2]	- [Ποσοστό g]	Οριζόντια Συνιστώσα 0 [m/sec2]	- [Ποσοστό g]	Οριζόντια Συνιστώσα 90 [m/sec2]	- [Ποσοστό g]
1	1.2508	0.50855	0.052	1.17850	0.120	1.23206	0.126
2	0.7278	0.87341	0.089	2.02529	0.206	2.11735	0.216
3	0.6573	0.96715	0.099	2.24268	0.229	2.34462	0.239
4	0.3212	1.97890	0.202	2.45677	0.250	2.56844	0.262
5	0.1899	3.34707	0.341	2.45677	0.250	2.56844	0.262
6	0.1654	3.84252	0.392	2.45677	0.250	2.56844	0.262
7	0.1612	3.94255	0.402	2.45677	0.250	2.56844	0.262
8	0.1097	4.23792	0.432	2.40395	0.245	2.48562	0.253
9	0.1095	4.23792	0.432	2.40375	0.245	2.48530	0.253

Φορέας 4: (Μετάθεση μάζας κατά -Z)

Ιδιομορφή - -	Ιδιοπερίοδος - [sec]	Κατακόρυφη Συνιστώσα [m/sec2]	- [Ποσοστό g]	Οριζόντια Συνιστώσα 0 [m/sec2]	- [Ποσοστό g]	Οριζόντια Συνιστώσα 90 [m/sec2]	- [Ποσοστό g]
1	1.2469	0.50855	0.052	1.18217	0.121	1.23591	0.126
2	0.7241	0.87785	0.089	2.03560	0.208	2.12813	0.217
3	0.6475	0.98170	0.100	2.27640	0.232	2.37987	0.243
4	0.3203	1.98486	0.202	2.45677	0.250	2.56844	0.262
5	0.1880	3.38048	0.345	2.45677	0.250	2.56844	0.262
6	0.1649	3.85436	0.393	2.45677	0.250	2.56844	0.262
7	0.1595	3.98540	0.406	2.45677	0.250	2.56844	0.262
8	0.1097	4.23792	0.432	2.40395	0.245	2.48561	0.253
9	0.1095	4.23792	0.432	2.40375	0.245	2.48530	0.253

Συντεταγμένες πόλου στροφής σημαντικών ιδιομορφών**Φορέας 1: (Μετάθεση μάζας κατά +X)**

Επίπεδο -	Υψόμετρο [m]	Ιδιομορφή -	Συντεταγμένη X [m]	Συντεταγμένη Y [m]	Συντεταγμένη Z [m]
1	0.00	3	0.493E+02	0.000E+00	0.912E+03
2	6.45	3	0.469E+02	0.645E+01	0.179E+03
3	10.65	3	0.468E+02	0.107E+02	0.178E+03
4	14.85	3	0.467E+02	0.148E+02	0.182E+03
1	0.00	1	-0.119E+03	0.000E+00	-0.327E+02
2	6.45	1	-0.183E+03	0.645E+01	-0.327E+02
3	10.65	1	-0.169E+03	0.107E+02	-0.327E+02
4	14.85	1	-0.163E+03	0.148E+02	-0.327E+02

Φορέας 2: (Μετάθεση μάζας κατά +Z)

Επίπεδο -	Υψόμετρο [m]	Ιδιομορφή -	Συντεταγμένη X [m]	Συντεταγμένη Y [m]	Συντεταγμένη Z [m]
1	0.00	3	0.460E+02	0.000E+00	-0.613E+01
2	6.45	3	0.458E+02	0.645E+01	-0.158E+02
3	10.65	3	0.458E+02	0.107E+02	-0.155E+02
4	14.85	3	0.458E+02	0.148E+02	-0.150E+02
1	0.00	1	0.515E+03	0.000E+00	-0.328E+02
2	6.45	1	0.822E+03	0.645E+01	-0.328E+02
3	10.65	1	0.795E+03	0.107E+02	-0.328E+02
4	14.85	1	0.768E+03	0.148E+02	-0.328E+02

Φορέας 3: (Μετάθεση μάζας κατά -X)

Επίπεδο -	Υψόμετρο [m]	Ιδιομορφή -	Συντεταγμένη X [m]	Συντεταγμένη Y [m]	Συντεταγμένη Z [m]
1	0.00	3	0.187E+04	0.000E+00	0.187E+04
2	6.45	3	0.447E+02	0.645E+01	0.402E+03

Φορέας 3: (Μετάθεση μάζας κατά -X)

Επίπεδο -	Υψόμετρο [m]	Ιδιομορφή -	Συντεταγμένη X [m]	Συντεταγμένη Y [m]	Συντεταγμένη Z [m]
3	10.65	3	0.448E+02	0.107E+02	0.388E+03
4	14.85	3	0.448E+02	0.148E+02	0.393E+03
1	0.00	1	0.140E+03	0.000E+00	-0.327E+02
2	6.45	1	0.185E+03	0.645E+01	-0.326E+02
3	10.65	1	0.178E+03	0.107E+02	-0.326E+02
4	14.85	1	0.174E+03	0.148E+02	-0.326E+02

Φορέας 4: (Μετάθεση μάζας κατά -Z)

Επίπεδο -	Υψόμετρο [m]	Ιδιομορφή -	Συντεταγμένη X [m]	Συντεταγμένη Y [m]	Συντεταγμένη Z [m]
1	0.00	3	0.460E+02	0.000E+00	-0.579E+02
2	6.45	3	0.458E+02	0.645E+01	-0.504E+02
3	10.65	3	0.458E+02	0.107E+02	-0.509E+02
4	14.85	3	0.458E+02	0.148E+02	-0.513E+02
1	0.00	1	0.516E+03	0.000E+00	-0.323E+02
2	6.45	1	0.822E+03	0.645E+01	-0.323E+02
3	10.65	1	0.795E+03	0.107E+02	-0.323E+02
4	14.85	1	0.767E+03	0.148E+02	-0.323E+02

Φαινόμενα 2ας τάξης (EC8-1 §4.4.2.2(2))

Φορέας 1: (Μετάθεση μάζας κατά +X)

Διεύθυνση σεισμού: 0.0

Φαινόμενα 2ας τάξης - EC8-1 §4.4.2.2(2)

Επίπεδο	Υψόμετρο [m]	Ύψος Ορόφου [m]	Θ	1/(1-Θ) [/]
1	0.00	3.00	0.019	1.00
2	6.45	6.45	0.039	1.00
3	10.65	4.20	0.026	1.00
4	14.85	4.20	0.015	1.00

Διεύθυνση σεισμού: 90.0

Φαινόμενα 2ας τάξης - EC8-1 §4.4.2.2(2)

Επίπεδο	Υψόμετρο [m]	Ύψος Ορόφου [m]	Θ	1/(1-Θ) [/]
1	0.00	3.00	0.032	1.00
2	6.45	6.45	0.160	0.01
3	10.65	4.20	0.072	1.00
4	14.85	4.20	0.036	1.00

Φορέας 2: (Μετάθεση μάζας κατά +Z)

Διεύθυνση σεισμού: 0.0

Φαινόμενα 2ας τάξης - EC8-1 §4.4.2.2(2)

Επίπεδο	Υψόμετρο [m]	Ύψος Ορόφου [m]	Θ	1/(1-Θ) [/]
1	0.00	3.00	0.019	1.00
2	6.45	6.45	0.039	1.00
3	10.65	4.20	0.026	1.00
4	14.85	4.20	0.015	1.00

Διεύθυνση σεισμού: 90.0

Φαινόμενα 2ας τάξης - EC8-1 §4.4.2.2(2)

Επίπεδο	Υψόμετρο [m]	Ύψος Ορόφου [m]	Θ	1/(1-Θ) [/]
1	0.00	3.00	0.032	1.00
2	6.45	6.45	0.160	0.01
3	10.65	4.20	0.072	1.00
4	14.85	4.20	0.036	1.00

Φορέας 3: (Μετάθεση μάζας κατά -X)

Διεύθυνση σεισμού: 0.0

Φαινόμενα 2ας τάξης - EC8-1 §4.4.2.2(2)

Επίπεδο	Υψόμετρο [m]	Ύψος Ορόφου [m]	Θ [/]	1/(1-Θ) [/]
1	0.00	3.00	0.019	1.00
2	6.45	6.45	0.039	1.00
3	10.65	4.20	0.026	1.00
4	14.85	4.20	0.015	1.00

Διεύθυνση σεισμού: 90.0

Φαινόμενα 2ας τάξης - EC8-1 §4.4.2.2(2)

Επίπεδο	Υψόμετρο [m]	Ύψος Ορόφου [m]	Θ [/]	1/(1-Θ) [/]
1	0.00	3.00	0.032	1.00
2	6.45	6.45	0.160	0.01
3	10.65	4.20	0.072	1.00
4	14.85	4.20	0.036	1.00

Φορέας 4: (Μετάθεση μάζας κατά -Z)

Διεύθυνση σεισμού: 0.0

Φαινόμενα 2ας τάξης - EC8-1 §4.4.2.2(2)

Επίπεδο	Υψόμετρο [m]	Ύψος Ορόφου [m]	Θ [/]	1/(1-Θ) [/]
1	0.00	3.00	0.019	1.00
2	6.45	6.45	0.039	1.00
3	10.65	4.20	0.026	1.00
4	14.85	4.20	0.015	1.00

Διεύθυνση σεισμού: 90.0

Φαινόμενα 2ας τάξης - EC8-1 §4.4.2.2(2)

Επίπεδο	Υψόμετρο [m]	Ύψος Ορόφου [m]	Θ [/]	1/(1-Θ) [/]
1	0.00	3.00	0.032	1.00
2	6.45	6.45	0.160	0.01
3	10.65	4.20	0.072	1.00
4	14.85	4.20	0.036	1.00

Εγίνε πολλαπλασιασμός των αποτελεσμάτων της σεισμικής δράσης με το συντελεστή $1/(1-\Theta)$.
{EC8-1 § 4.4.2.2(3)}**Υπολογισμός ελαστικού πλασματικού άξονα ($M=0$)**Αριθμός διαφραγμάτων = 4
Διάφραγμα που καθορίζει τον πλασματικό άξονα = Στο 80% του ύψους.

Ακτίνες δυστρεψίας ως προς κέντρο μάζας

Συντεταγμένες πόλου στροφής

Συντεταγμένη X [m]	Συντεταγμένη Y [m]	Συντεταγμένη Z [m]
0.460E+02	10.65	-0.326E+02

Γωνία μεταξύ κύριου συστήματος (I,II) και καθολικού συστήματος (X,Z) $\alpha = 0.007$ μοίρες**Ακτίνες δυστρεψίας και αδράνειας και στατικές εκκεντρότητες.**

Ομάδα [/]	rI [m]	rII [m]	ls [m]	eoI [m]	eoII [m]
1	0.130E+02	0.681E+01	0.598E+01	-0.158E+00	0.111E-01
2	0.130E+02	0.681E+01	0.593E+01	-0.139E+00	0.229E-01
3	0.130E+02	0.681E+01	0.593E+01	-0.143E+00	0.229E-01
4	0.130E+02	0.681E+01	0.586E+01	-0.155E+00	0.229E-01

Σεισμικοί συνδυασμοί ($M=0$)

Μέθοδος εύρεσης μεγεθών διαστάσιολόγησης = Ταυτόχρονες τιμές

Πιθανοτικός προσδιορισμός συνδυασμού εντατικών μεγεθών**Μέθοδος: Ταυτόχρονων τιμών των μεγεθών. (A.Gupta)**Εντατικά μεγέθη φορέα +X.
Συνδυασμός κατακόρυφης συνιστώσας και δύο οριζόντιων διευθύνσεων σεισμούΕντατικά μεγέθη φορέα +Z.
Συνδυασμός κατακόρυφης συνιστώσας και δύο οριζόντιων διευθύνσεων σεισμού

Εντατικά μεγέθη φορέα -X.

Συνδυασμός κατακόρυφης συνιστώσας και δύο οριζόντιων διευθύνσεων σεισμού

Εντατικά μεγέθη φορέα -Z.

Συνδυασμός κατακόρυφης συνιστώσας και δύο οριζόντιων διευθύνσεων σεισμού

**Φαινόμενα 2ας τάξης (EC8-1 §4.4.2.2(2)) - Σεισμικός αρμός (EC8-1 §4.4.2.7) -
Σχετική παραμόρφωση ορόφου (EC8-1 §4.4.3.2)**

Χωρικές επαλληλίες των σεισμικών διευθύνσεων.

Επίπεδο [V]	Υψόμετρο [m]	θ [/]	1/(1-θ) [/]	dsX [cm]	dsZ [cm]	Μέσο(drX)*v/h [/]	Μέσο(drZ)*v/h [/]
1	0.00	0.053	1.0000	0.87	0.88	0.00112	0.00109
2	6.45	0.160	1.1909	6.34	13.02	0.00313	0.00721
3	10.65	0.072	1.0000	8.94	17.03	0.00233	0.00363
4	14.85	0.036	1.0000	10.63	19.21	0.00155	0.00200

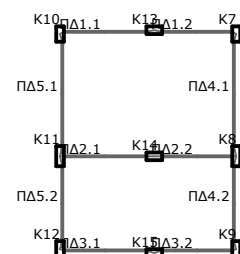
Τα Θ, dr, ds έχουν υπολογιστεί με $d = q * de$ ($qx = 3.45$, $qz = 3.30$). Συντελεστής μείωσης $v = 0.40$
(ds: Απόλυτες μετακινήσεις, dr: Σχετικές μετακινήσεις)

Εγιναν οι πολλαπλασιασμοί των αποτελεσμάτων κάθε σεισμικής δράσης με τους αντίστοιχους προσαυξητικούς συντελεστές $1/(1-\theta)$, ο μέγιστος των οποίων είναι 1.19.
{EC8 § 4.4.2.2(3)}2

Κάτοψη ορόφου: -2

Ονόματα μελών - κόμβων

1
X



Διαστασιολόγηση δοκών ορόφου: -2

Δοκός: Δ1.1, Όροφος -2

Γενικά δεδομένα δοκού

Κόμβοι	Αρχή: 10	Τέλος: 13	Μέλος: 28	ΣΠΕΜ = 1,00	
Διατομή	Ανεστ. πλακοδοκός		Πεδίλιοδοκός	Ακαμπτες απολήξεις	
Διαστάσεις	70/120/300/50/5,7 [cm]		Μήκος lcl=5,35m	Bl=0,25m	Br=0,50m
Υλικά	Σκυρόδεμα: C30/37		Χάλυβας: B500C	Συνδετήρες: B500C	
Κανονισμός	ΚΠΜ		Κύρια δοκός	Ανακατανομή ροπών=Οχι	
Έδαφος	σper=150,00kPa	.	.	D= 3,00m	δ= 30,00° (λ*κρ) λ= 0,30

Μέγιστα Φέρουσας ικανότητας RVd - Αντίστασης σε ολισθηση RHd+Rpd [EC7-1 §6.5.2-3]

Φόρτ [/]	γRd*Ω [/]	eL [m]	eB [m]	Vd [kN]		RVd [kN]	Hd [kN]		RHd+Rpd [kN]
1.35G+1.05QE	1,00	0,91	0,00	1312,95	<	2756,73	0,00	<	1190,03
ΣΣ:-z	1,40	1,03	0,00	1709,01	<	2787,72	297,22	<	1537,69
ΣΣ:-z	1,40	0,69	0,00	1709,01	<	3259,23	297,22	<	1537,69

Μέγιστα οπλισμών ροπών κάμψης

Φορτ [/]	Κόμβ [/]	Θέση [m]	MEd	NEd	As1_ca	As2_ca	As_sl	x	As1_rq	As2_rq	ρ1_rq	E
ΣΣ:-z	10	0,25	-230,98	0,00	4,66	0,00	0,00	0,02	32,00	32,00	3,999	2
ΣΣ:-z	10	0,25	311,89	0,00	6,38	0,00	0,00	0,05	32,00	32,00	3,999	2
ΣΣ:-z	0	3,05	-1168,09	0,00	23,86	0,00	0,00	0,05	32,00	32,00	3,999	2
ΣΣ:-z	0	0,61	-270,88	0,00	5,47	0,00	0,00	0,02	32,00	32,00	3,999	2
ΣΣ:-z	13	0,50	-1034,09	0,00	21,09	0,00	0,00	0,05	32,00	32,00	3,999	2

Μέγιστα οπλισμών διάτμησης και στρέψης

Φορτ [/]	Κόμβ [/]	Θέση [m]	VEdmax	ζ	TEd	Θέση [kNm]	VEd	V'Rdc	VRdc	cotθ	Συνδετήρες τμ.[mm/cm/cm]	As45	Asl
ΣΣ:-z	10	0,25	1123,04	-0,08	39,60	1,39	522,71	537,00	319,84	2,50	3τμ.ΣΦ10/15/15		
ΣΣ:-x	13	0,50	392,11	-0,14	34,30	1,64	294,16	537,00	402,97	2,50	3τμ.ΣΦ10/15/15		

* Αντίσταση σε ροπή στρέψης σχεδιασμού TRdmax = 1094,48kNm - Ροπή στρέψης κατά την ρηγμάτωση TRdc = 280,53kNm - VRdmax = 3802,08kN

Μέγιστα απαιτούμενου διαμήκη οπλισμού και συνδετήρων

Θέση [/]	Κόμβ [cm²]	Κάτω [cm²]	Φορτ [/]	Ανω [cm²]	Φορτ [/]	Συνδετήρες τμ Φ/s	Φορτ [/]	Διαγ. [cm²]	Φορτ [/]	Διαγ. [cm²]	Φορτ [/]	Φορτ [/]	Κορμός [cm²]	Φορτ [/]
Άνοιγμα		32,00	ΣΣ:-z	32,00	ΣΣ:-z	3τμ.ΣΦ10/15	ΣΣ:-z							
Κόμβος	10	32,00	ΣΣ:-z	32,00	ΣΣ:-z	3τμ.ΣΦ10/15	ΣΣ:-z							
Κόμβος	13	32,00	ΣΣ:-z	32,00	ΣΣ:-z	3τμ.ΣΦ10/15	ΣΣ:-x							

Δοκός: Δ1.2, Όροφος -2

Γενικά δεδομένα δοκού

Κόμβοι	Αρχή: 13	Τέλος: 7	Μέλος: 29	ΣΠΕΜ = 1,00	
Διατομή	Ανεστ. πλακοδοκός		Πεδίλιοδοκός	Ακαμπτες απολήξεις	
Διαστάσεις	70/120/300/50/5,7 [cm]		Μήκος lcl=4,55m	Bl=0,50m	Br=0,25m
Υλικά	Σκυρόδεμα: C30/37		Χάλυβας: B500C	Συνδετήρες: B500C	
Κανονισμός	ΚΠΜ		Κύρια δοκός	Ανακατανομή ροπών=Οχι	
Έδαφος	σper=150,00kPa	.	.	D= 3,00m	δ= 30,00° (λ*κρ) λ= 0,30

Μέγιστα Φέρουσας ικανότητας RVd - Αντίστασης σε ολισθηση RHd+Rpd [EC7-1 §6.5.2-3]

Φόρτ [/]	γRd*Ω [/]	eL [m]	eB [m]	Vd [kN]		RVd [kN]	Hd [kN]		RHd+Rpd [kN]
1.35G+1.05QE	1,00	0,68	0,00	1270,36	<	2531,51	0,00	<	1115,60
ΣΣ:+z	1,40	0,89	0,00	1646,49	<	2430,80	286,35	<	1444,32
ΣΣ:+z	1,40	0,54	0,00	1646,49	<	2909,03	286,35	<	1444,32

Μέγιστα οπλισμών ροπών κάμψης

Φορτ [/]	Κόμβ [/]	Θέση [m]	MEd	NEd	As1_ca	As2_ca	As_sl	x	As1_rq	As2_rq	ρ1_rq	E
ΣΣ:+z	13	0,50	-1026,85	0,00	20,94	0,00	0,00	0,05	32,00	32,00	3,999	2
ΣΣ:+z	13	0,50	353,36	0,00	7,24	0,00	0,00	0,06	32,00	32,00	3,999	2
ΣΣ:+z	0	2,12	-1125,98	0,00	22,99	0,00	0,00	0,05	32,00	32,00	3,999	2
ΣΣ:+x	0	4,78	-202,63	0,00	4,09	0,00	0,00	0,02	32,00	32,00	3,999	2
ΣΣ:+z	7	0,25	-195,80	0,00	3,95	0,00	0,00	0,02	32,00	32,00	3,999	2

Μέγιστα οπλισμών διάτμησης και στρέψης

Φορτ [/]	Κόμβ [/]	Θέση [m]	VEdmax	ζ	TEd	Θέση [kNm]	VEd	V'Rdc	VRdc	cotθ	Συνδετήρες τμ.[mm/cm/cm]	As45	Asl
ΣΣ:-x	13	0,50	355,69	-0,06	39,37	1,64	257,60	537,00	402,97	2,50	3τμ.ΣΦ10/15/15		

Μέγιστα οπλισμών διάτμησης και στρέψης

Φορτ [/]	Κόμβ [/]	Θέση [m]	VEdmax [kN]	ζ [/]	TEd [kNm]	Θέση [kN]	VEd [m]	V'Rdc [kN]	VRdc [kN]	cotθ [/]	Συνδετήρες τμ.[mm/cm/cm]	As45 [cm ²]	Asl [cm ²]
ΣΣ:+z	7	0,25	1099,04	-0,14	44,61	1,39	508,71	537,00	319,84	2,50	3τμ.ΣΦ10/15/15		

* Αντίσταση σε ροπή στρέψης σχεδιασμού $TR_{dmax} = 1094,48 \text{ kNm}$ - Ροπή στρέψης κατά την ρηγμάτωση $TR_{dc} = 280,53 \text{ kNm}$ - $VR_{dmax} = 3802,08 \text{ kN}$

Μέγιστα απαιτούμενου διαμήκη οπλισμού και συνδετήρων

Θέση [/]	Κόμβ [/]	Κάτω [cm ²]	Φορτ [/]	Ανω [cm ²]	Φορτ [/]	Συνδετήρες [τμ Φ/s]	Φορτ [/]	Διαγ. [cm ²]	Φορτ [/]	Διαγ. [cm ²]	Φορτ [/]	Κορμός [cm ²]	Φορτ [/]	
Άνοιγμα		32,00	ΣΣ:+x	32,00	ΣΣ:+z	3τμ.ΣΦ10/15	ΣΣ:-x							
Κόμβος	13	32,00	ΣΣ:+z	32,00	ΣΣ:+z	3τμ.ΣΦ10/15	ΣΣ:-x							
Κόμβος	7	32,00	ΣΣ:+z	32,00	ΣΣ:+z	3τμ.ΣΦ10/15	ΣΣ:+z							

Απαιτούμενος και τοποθετούμενος διαμήκης οπλισμός

Av. [\]	Θέση [\]	Αρχή[r] [cm ²]	Ανοιγμα[r] [cm ²]	Τέλος[r] [cm ²]		Αρχή[p] [cm ²]	Ανοιγμα[p] [cm ²]	Τέλος[p] [cm ²]	
1	Πάνω	32,00		32,00		32,00		34,56	
1	Κάτω	32,00		32,00		32,00		34,56	
2	Πάνω	32,00		32,00		32,00		69,12	
2	Κάτω	32,00		32,00		32,00		69,12	

Δοκός: Δ2.1, Όροφος -2**Γενικά δεδομένα δοκού**

Κόμβοι	Αρχή: 11	Τέλος: 14	Μέλος: 30	ΣΠΕΜ = 1,00
Διατομή	Ανεστ. πλακοδοκός		Πεδιλοδοκός	Ακαμπτες απολήξεις
Διαστάσεις	80/120/300/50/5,7 [cm]		Μήκος lcl=5,35m	Bl=0,25m Br=0,50m
Υλικά	Σκυρόδεμα: C30/37		Χάλυβας: B500C	Συνδετήρες: B500C
Κανονισμός	ΚΠΜ		Κύρια δοκός	Ανακατανομή ροπών=Οχι
Έδαφος	$\sigma_{per}=150,00 \text{ kPa}$.	D = 3,00m	$\delta = 30,00^\circ$ $(\lambda * kp) \lambda = 0,30$

Μέγιστα Φέρουσας ικανότητας RVd - Αντίστασης σε ολίσθηση RHd+Rpd [EC7-1 §6.5.2-3]

Φόρτ [/]	$\gamma R_d * \Omega [/]$	eL [m]	eB [m]	Vd [kN]		RVd [kN]	Hd [kN]		RHd+Rpd [kN]
1.35G+1.05Q	1,00	0,47	0,00	1620,13	<	3318,62	0,00	<	1350,92
ΣΣ:-z	1,40	0,17	0,00	1488,34	<	3963,54	258,84	<	1409,91
ΣΣ:+x	1,40	0,05	0,00	1488,94	<	4133,97	258,95	<	1410,26

Μέγιστα οπλισμών ροπών κάμψης

Φορτ [/]	Κόμβ [/]	Θέση [m]	MEd [kNm]	NEd [kN]	As1_ca [cm ²]	As2_ca [cm ²]	As_si [cm ²]	x [m]	As1_rq [cm ²]	As2_rq [cm ²]	p1_rq [o/oo]	E [/]
ΣΣ:-x	11	0,25	-140,40	0,00	2,83	0,00	0,00	0,02	36,57	36,57	3,999	2
ΣΣ:-x	11	0,25	157,62	0,00	3,19	0,00	0,00	0,03	36,57	36,57	3,999	2
ΣΣ:-z	0	3,05	-810,85	0,00	16,50	0,00	0,00	0,04	36,57	36,57	3,999	2
ΣΣ:-x	0	1,83	-719,69	0,00	14,63	0,00	0,00	0,04	36,57	36,57	3,999	2
ΣΣ:+z	14	0,50	-594,02	0,00	12,05	0,00	0,00	0,03	36,57	36,57	3,999	2

Μέγιστα οπλισμών διάτμησης και στρέψης

Φορτ [/]	Κόμβ [/]	Θέση [m]	VEdmax [kN]	ζ [/]	TEd [kNm]	Θέση [kN]	VEd [m]	V'Rdc [kN]	VRdc [kN]	cotθ [/]	Συνδετήρες τμ.[mm/cm/cm]	As45 [cm ²]	Asl [cm ²]
ΣΣ:-x	11	0,25	756,61	0,39	29,78	1,39	358,52	613,71	359,91	2,50	3τμ.ΣΦ10/15/15		
ΣΣ:+x	14	0,50	556,36	0,29	29,60	1,64	392,21	613,71	453,46	2,50	3τμ.ΣΦ10/15/15		

* Αντίσταση σε ροπή στρέψης σχεδιασμού $TR_{dmax} = 1362,49 \text{ kNm}$ - Ροπή στρέψης κατά την ρηγμάτωση $TR_{dc} = 349,23 \text{ kNm}$ - $VR_{dmax} = 4345,23 \text{ kN}$

Μέγιστα απαιτούμενου διαμήκη οπλισμού και συνδετήρων

Θέση [/]	Κόμβ [/]	Κάτω [cm ²]	Φορτ [/]	Ανω [cm ²]	Φορτ [/]	Συνδετήρες [τμ Φ/s]	Φορτ [/]	Διαγ. [cm ²]	Φορτ [/]	Διαγ. [cm ²]	Φορτ [/]	Κορμός [cm ²]	Φορτ [/]	
Άνοιγμα		36,57	ΣΣ:-x	36,57	ΣΣ:-z	3τμ.ΣΦ10/15	ΣΣ:-x							
Κόμβος	11	36,57	ΣΣ:-x	36,57	ΣΣ:-x	3τμ.ΣΦ10/15	ΣΣ:-x							
Κόμβος	14	36,57	ΣΣ:+z	36,57	ΣΣ:+z	3τμ.ΣΦ10/15	ΣΣ:+x							

Δοκός: Δ2.2, Όροφος -2**Γενικά δεδομένα δοκού**

Κόμβοι	Αρχή: 14	Τέλος: 8	Μέλος: 31	ΣΠΕΜ = 1,00
Διατομή	Ανεστ. πλακοδοκός		Πεδιλοδοκός	Ακαμπτες απολήξεις
Διαστάσεις	80/120/300/50/5,7 [cm]		Μήκος lcl=4,55m	Bl=0,50m Br=0,25m
Υλικά	Σκυρόδεμα: C30/37		Χάλυβας: B500C	Συνδετήρες: B500C
Κανονισμός	ΚΠΜ		Κύρια δοκός	Ανακατανομή ροπών=Οχι
Έδαφος	$\sigma_{per}=150,00 \text{ kPa}$.	D = 3,00m	$\delta = 30,00^\circ$ $(\lambda * kp) \lambda = 0,30$

Μέγιστα Φέρουσας Ικανότητας RVd - Αντίστασης σε ολισθηση RHd+Rpd [EC7-1 §6.5.2-3]

Φόρτ [/]	$\gamma R_d * \Omega$ [/]	eL [m]	eB [m]	Vd [kN]		RVd [kN]	Hd [kN]		RHd+Rpd [kN]
1.35G+1.05Q	1,00	0,37	0,00	1531,80	<	2928,71	0,00	<	1252,44
$\Sigma: +z$	1,40	0,19	0,00	1406,47	<	3387,82	244,60	<	1305,33
$\Sigma: +x$	1,40	0,03	0,00	1407,00	<	3603,45	244,70	<	1305,64

Μέγιστα οπλισμών ροπών κάμψης

Φορτ [/]	Κόμβ [/]	Θέση [m]	MEd	NEd	As1_ca	As2_ca	As_sl	x	As1_rq	As2_rq	ρ_1_rq [o/oo]	E	
$\Sigma: -z$	14	0,50	-514,76	0,00	10,43	0,00	0,00	0,03	36,57	36,57	3,999	2	
$\Sigma: -z$	14	0,50	356,78	0,00	7,30	0,00	0,00	0,05	36,57	36,57	3,999	2	
$\Sigma: +z$	0	2,65	-713,38	0,00	14,50	0,00	0,00	0,04	36,57	36,57	3,999	2	
$\Sigma: -x$	0	3,71	-606,35	0,00	12,30	0,00	0,00	0,03	36,57	36,57	3,999	2	
$\Sigma: -x$	8	0,25	-131,29	0,00	2,64	0,00	0,00	0,02	36,57	36,57	3,999	2	

Μέγιστα οπλισμών διάτμησης και στρέψης

Φορτ [/]	Κόμβ [/]	Θέση [m]	VEdmax	ζ	TEd	Θέση [kNm]	VEd	V'Rdc	VRdc	cotθ	Συνδετήρες τμ.[mm/cm/cm]	As45 [cm ²]	Asl [cm ²]	
$\Sigma: +x$	14	0,50	517,09	0,37	34,35	1,64	344,57	613,71	453,46	2,50	3τμ.ΣΦ10/15/15			
$\Sigma: -x$	8	0,25	718,67	0,23	34,47	1,39	327,70	613,71	359,91	2,50	3τμ.ΣΦ10/15/15			

* Αντίσταση σε ροπή στρέψης σχεδιασμού $T_{Rdmax} = 1362,49\text{kNm}$ - Ροπή στρέψης κατά την ρηγμάτωση $T_{Rdc} = 349,23\text{kNm}$ - $V_{Rdmax} = 4345,23\text{kN}$

Μέγιστα απαιτούμενου διαμήκη οπλισμού και συνδετήρων

Θέση [/]	Κόμβ [/]	Κάτω [cm ²]	Φορτ [/]	Ανω [cm ²]	Φορτ [/]	Συνδετήρες [τμ Φ/s]	Φορτ [/]	Διαγ. [cm ²]	Φορτ [/]	Διαγ. [cm ²]	Φορτ [/]	Κορμός [cm ²]	Φορτ [/]	
Άνοιγμα		36,57	$\Sigma: -x$	36,57	$\Sigma: +z$	3τμ.ΣΦ10/15	$\Sigma: +x$							
Κόμβος	14	36,57	$\Sigma: -z$	36,57	$\Sigma: -z$	3τμ.ΣΦ10/15	$\Sigma: +x$							
Κόμβος	8	36,57	$\Sigma: -x$	36,57	$\Sigma: -x$	3τμ.ΣΦ10/15	$\Sigma: -x$							

Απαιτούμενος και τοποθετούμενος διαμήκης οπλισμός

Av. [v]	Θέση [v]	Αρχή[r] [cm ²]	Ανοιγμα[r] [cm ²]	Τέλος[r] [cm ²]		Αρχή[p] [cm ²]	Ανοιγμα[p] [cm ²]	Τέλος[p] [cm ²]	
1	Πάνω	36,57		36,57		36,57		37,70	
1	Κάτω	36,57		36,57		36,57		37,70	
2	Πάνω	36,57		36,57		36,57		75,40	
2	Κάτω	36,57		36,57		36,57		75,40	

Δοκός: Δ3.1, Όροφος -2**Γενικά δεδομένα δοκού**

Κόμβοι	Αρχή: 12	Τέλος: 15	Μέλος: 32	ΣΠΕΜ = 1,00
Διατομή	Ανεστ. πλακοδοκός		Πεδίλιοδοκός	Ακαμπτες απολήξεις
Διαστάσεις	80/120/300/50/5,7 [cm]		Μήκος lcl=5,35m	Bl=0,25m Br=0,50m
Υλικά	Σκυρόδεμα: C30/37		Χάλυβας: B500C	Συνδετήρες: B500C
Κανονισμός	KPM		Κύρια δοκός	Ανακατανομή ροπών=Οχι
Έδαφος	$\sigma_{per}=150,00\text{kPa}$.	.	$\delta=30,00^\circ$ $(\lambda*kp) \lambda=0,30$

Μέγιστα Φέρουσας Ικανότητας RVd - Αντίστασης σε ολισθηση RHd+Rpd [EC7-1 §6.5.2-3]

Φόρτ [/]	$\gamma R_d * \Omega$ [/]	eL [m]	eB [m]	Vd [kN]		RVd [kN]	Hd [kN]		RHd+Rpd [kN]
1.35G+1.05Q	1,00	0,82	0,00	1204,11	<	2872,68	0,00	<	1132,90
$\Sigma: -z$	1,40	1,13	0,00	1730,80	<	2645,56	301,01	<	1550,27
$\Sigma: -z$	1,40	0,74	0,00	1730,80	<	3184,20	301,01	<	1550,27

Μέγιστα οπλισμών ροπών κάμψης

Φορτ [/]	Κόμβ [/]	Θέση [m]	MEd	NEd	As1_ca	As2_ca	As_sl	x	As1_rq	As2_rq	ρ_1_rq [o/oo]	E	
$\Sigma: -z$	12	0,25	-280,52	0,00	5,66	0,00	0,00	0,02	36,57	36,57	3,999	2	
$\Sigma: -z$	12	0,25	326,80	0,00	6,67	0,00	0,00	0,05	36,57	36,57	3,999	2	
$\Sigma: -z$	0	3,66	-1245,41	0,00	25,46	0,00	0,00	0,05	36,57	36,57	3,999	2	
$\Sigma: -x$	0	0,00	-163,04	0,00	3,28	0,00	0,00	0,02	36,57	36,57	3,999	2	
$\Sigma: +x$	15	0,50	-1104,84	0,00	22,55	0,00	0,00	0,05	36,57	36,57	3,999	2	

Μέγιστα οπλισμών διάτμησης και στρέψης

Φορτ [/]	Κόμβ [/]	Θέση [m]	VEdmax	ζ	TEd	Θέση [kNm]	VEd	V'Rdc	VRdc	cotθ	Συνδετήρες τμ.[mm/cm/cm]	As45 [cm ²]	Asl [cm ²]	
$\Sigma: -z$	12	0,25	1161,75	-0,23	33,77	1,39	552,14	613,71	359,91	2,50	3τμ.ΣΦ10/15/15			
$\Sigma: -z$	15	0,50	371,99	-0,19	33,77	1,64	279,76	613,71	453,46	2,50	3τμ.ΣΦ10/15/15			

* Αντίσταση σε ροπή στρέψης σχεδιασμού $T_{Rdmax} = 1362,49\text{kNm}$ - Ροπή στρέψης κατά την ρηγμάτωση $T_{Rdc} = 349,23\text{kNm}$ - $V_{Rdmax} = 4345,23\text{kN}$

Μέγιστα απαιτούμενου διαμήκη οπλισμού και συνδετήρων

Θέση [/]	Κόμβ [/]	Κάτω [cm ²]	Φορτ [/]	Ανω [cm ²]	Φορτ [/]	Συνδετήρες [τμ Φ/σ]	Φορτ [/]	Διαγ. [cm ²]	Φορτ [/]	Διαγ. [cm ²]	Φορτ [/]	Κορμός [cm ²]	Φορτ [/]	
Άνοιγμα		36,57	ΣΣ:-x	36,57	ΣΣ:-z	3τμ.ΣΦ10/15	ΣΣ:-z							
Κόμβος	12	36,57	ΣΣ:-z	36,57	ΣΣ:-z	3τμ.ΣΦ10/15	ΣΣ:-z							
Κόμβος	15	36,57	ΣΣ:+x	36,57	ΣΣ:+x	3τμ.ΣΦ10/15	ΣΣ:-z							

Δοκός: Δ3.2, Όροφος -2**Γενικά δεδομένα δοκού**

Κόμβοι	Αρχή: 15	Τέλος: 9	Μέλος: 33	ΣΠΕΜ = 1,00
Διατομή	Ανεστ. πλακοδοκός		Πεδίλοδοκός	Ακαμπτες απολήξεις
Διαστάσεις	80/120/300/50/5,7 [cm]		Μήκος lcl=4,55m	Bl=0,50m Br=0,25m
Υλικά	Σκυρόδεμα: C30/37		Χάλυβας: B500C	Συνδετήρες: B500C
Κανονισμός	ΚΠΜ		Κύρια δοκός	Ανακατανομή ροπών=Οχι
Έδαφος	$\sigma_{per}=150,00 \text{ kPa}$.	.	$\delta=30,00^\circ$ $(\lambda * kp) \lambda=0,30$

Μέγιστα Φέρουσας Ικανότητας RVd - Αντίστασης σε ολίσθηση RHd+Rpd [EC7-1 §6.5.2-3]

Φόρτ [/]	$\gamma Rd^*\Omega$ [/]	eL [m]	eB [m]	Vd [kN]		RVd [kN]	Hd [kN]		RHd+Rpd [kN]
1.35G+1.05Q	1,00	0,64	0,00	1145,63	<	2582,86	0,00	<	1050,13
ΣΣ:-z	1,40	0,88	0,00	1567,82	<	2436,98	272,66	<	1398,90
ΣΣ:+z	1,40	0,58	0,00	1669,89	<	2855,07	290,41	<	1457,83

Μέγιστα οπλισμών ροπών κάμψης

Φορτ [/]	Κόμβ [/]	Θέση [m]	MEd	NEd	As1_ca	As2_ca	As_s1	x [m]	As1_rq	As2_rq	ρ1_rq	E [/]	
ΣΣ:+z	15	0,50	-1104,81	0,00	22,55	0,00	0,00	0,05	36,57	36,57	3,999	2	
ΣΣ:+z	15	0,50	490,77	0,00	10,08	0,00	0,00	0,06	36,57	36,57	3,999	2	
ΣΣ:+z	0	2,12	-1201,87	0,00	24,56	0,00	0,00	0,05	36,57	36,57	3,999	2	
ΣΣ:-x	0	5,31	-162,32	0,00	3,27	0,00	0,00	0,02	36,57	36,57	3,999	2	
ΣΣ:+z	9	0,25	-236,40	0,00	4,77	0,00	0,00	0,02	36,57	36,57	3,999	2	

Μέγιστα οπλισμών διάτμησης και στρέψης

Φορτ [/]	Κόμβ [/]	Θέση [m]	VEdmax	ζ	TEd	Θέση [kNm]	VED	V'Rdc	VRdc	cotθ [/]	Συνδετήρες τμ.[mm/cm/cm]	As45 [cm ²]	Asl [cm ²]
ΣΣ:-z	15	0,50	335,00	-0,11	34,03	1,64	242,46	613,71	453,46	2,50	3τμ.ΣΦ10/15/15		
ΣΣ:+z	9	0,25	1139,72	-0,28	37,75	1,39	538,49	613,71	359,91	2,50	3τμ.ΣΦ10/15/15		

* Αντίσταση σε ροπή στρέψης σχεδιασμού $TRdmax = 1362,49 \text{ kNm}$ - Ροπή στρέψης κατά την ρηγμάτωση $TRdc = 349,23 \text{ kNm}$ - $VRdmax = 4345,23 \text{ kN}$

Μέγιστα απαιτούμενου διαμήκη οπλισμού και συνδετήρων

Θέση [/]	Κόμβ [/]	Κάτω [cm ²]	Φορτ [/]	Ανω [cm ²]	Φορτ [/]	Συνδετήρες [τμ Φ/σ]	Φορτ [/]	Διαγ. [cm ²]	Φορτ [/]	Διαγ. [cm ²]	Φορτ [/]	Κορμός [cm ²]	Φορτ [/]	
Άνοιγμα		36,57	ΣΣ:-x	36,57	ΣΣ:+z	3τμ.ΣΦ10/15	ΣΣ:-z							
Κόμβος	15	36,57	ΣΣ:+z	36,57	ΣΣ:+z	3τμ.ΣΦ10/15	ΣΣ:-z							
Κόμβος	9	36,57	ΣΣ:+z	36,57	ΣΣ:+z	3τμ.ΣΦ10/15	ΣΣ:+z							

Απαιτούμενος και τοποθετούμενος διαμήκης οπλισμός

Av. []	Θέση []	Αρχή[r] [cm ²]	Ανοιγμα[r] [cm ²]	Τέλος[r] [cm ²]		Αρχή[p] [cm ²]	Ανοιγμα[p] [cm ²]	Τέλος[p] [cm ²]	
1	Πάνω	36,57		36,57		36,57		37,70	
1	Κάτω	36,57		36,57		36,57		37,70	
2	Πάνω	36,57		36,57		36,57		75,40	
2	Κάτω	36,57		36,57		36,57		75,40	

Δοκός: Δ4.1, Όροφος -2**Γενικά δεδομένα δοκού**

Κόμβοι	Αρχή: 7	Τέλος: 8	Μέλος: 34	ΣΠΕΜ = 1,00
Διατομή	Ανεστ. πλακοδοκός		Πεδίλοδοκός	Ακαμπτες απολήξεις
Διαστάσεις	80/120/400/50/5,7 [cm]		Μήκος lcl=6,75m	Bl=0,50m Br=0,65m
Υλικά	Σκυρόδεμα: C30/37		Χάλυβας: B500C	Συνδετήρες: B500C
Κανονισμός	ΚΠΜ		Κύρια δοκός	Ανακατανομή ροπών=Οχι
Έδαφος	$\sigma_{per}=150,00 \text{ kPa}$.	D= 3,00m	$\delta=30,00^\circ$ $(\lambda * kp) \lambda=0,30$

Μέγιστα Φέρουσας Ικανότητας RVd - Αντίστασης σε ολίσθηση RHd+Rpd [EC7-1 §6.5.2-3]

Φόρτ [/]	$\gamma Rd^*\Omega$ [/]	eL [m]	eB [m]	Vd [kN]		RVd [kN]	Hd [kN]		RHd+Rpd [kN]
1.35G+1.05Q	1,00	0,07	0,00	3547,97	<	6650,43	0,00	<	2514,25
ΣΣ:+z	1,40	0,66	0,00	3995,10	<	6040,88	694,80	<	3023,82
ΣΣ:+x	1,40	0,10	0,00	4006,76	<	7076,31	696,83	<	3030,56

Μέγιστα οπλισμών ροπών κάμψης

Φορτ [V]	Κόμβ [V]	Θέση [m]	MEd [kNm]	NEd [kN]	As1_ca [cm²]	As2_ca [cm²]	As_sl [cm²]	x [m]	As1_rq [cm²]	As2_rq [cm²]	ρ1_rq [o/oo]	E [V]	
ΣΣ:+z	7	0,50	-658,92	0,00	13,35	0,00	0,00	0,03	36,57	36,57	3,999	2	
ΣΣ:+z	7	0,50	604,50	0,00	12,46	0,00	0,00	0,07	36,57	36,57	3,999	2	
ΣΣ:+x	0	3,16	-1843,48	0,00	37,73	0,00	0,00	0,05	37,73	36,57	4,126	2	
ΣΣ:+x	0	6,32	-234,81	0,00	4,73	0,00	0,00	0,02	36,57	36,57	3,999	2	
ΣΣ:+z	8	0,65	1,64	0,00	0,03	0,00	0,00	0,00	36,57	36,57	3,999	2	
ΣΣ:+z	8	0,65	1918,37	0,00	41,02	0,00	0,00	0,17	41,02	36,57	4,486	2	

Μέγιστα οπλισμών διάτμησης και στρέψης

Φορτ [V]	Κόμβ [V]	Θέση [m]	VEdmax [kNm]	ζ [V]	TEd [kNm]	Θέση [kN]	VEd [m]	V'Rdc [kN]	VRdc [kN]	cotθ [V]	Συνδετήρες τμ.[mm/cm/cm]	As45 [cm²]	Asl [cm²]	
ΣΣ:+x	7	0,50	1327,60	0,10	48,45	1,64	613,18	613,71	369,64	2,50	3τμ.ΣΦ10/15/15			
ΣΣ:+x	8	0,65	1873,92	0,10	48,45	1,79	1266,88	613,71	459,67	2,33	3τμ.ΣΦ10/10.5/10.5			

* Αντίσταση σε ροπή στρέψης σχεδιασμού $TR_{dmax} = 1362,49 \text{ kNm}$ - Ροπή στρέψης κατά την ρηγμάτωση $TR_{dc} = 349,23 \text{ kNm}$ - $VR_{dmax} = 4345,23 \text{ kN}$

Μέγιστα απαιτούμενου διαμήκη οπλισμού και συνδετήρων

Θέση [V]	Κόμβ [V]	Κάτω [cm²]	Φορτ [V]	Ανω [cm²]	Φορτ [V]	Συνδετήρες [τμ.Φ/s]	Φορτ [V]	Διαγ. [cm²]	Φορτ [V]	Διαγ. [cm²]	Φορτ [V]	Κορμός [cm²]	Φορτ [V]
Άνοιγμα		36,57	ΣΣ:+x	37,73	ΣΣ:+x	3τμ.ΣΦ10/10.5	ΣΣ:+x						
Κόμβος	7	36,57	ΣΣ:+z	36,57	ΣΣ:+z	3τμ.ΣΦ10/10.5	ΣΣ:+x						
Κόμβος	8	41,02	ΣΣ:+z	36,57	ΣΣ:+z	3τμ.ΣΦ10/10.5	ΣΣ:+x						

Δοκός: Δ4.2, Όροφος -2**Γενικά δεδομένα δοκού**

Κόμβοι	Αρχή: 8	Τέλος: 9	Μέλος: 35	ΣΠΙΕΜ = 1,00
Διατομή	Ανεστ. πλακοδοκός		Πεδίλιοδοκός	Ακαμπτες απολήξεις
Διαστάσεις	80/120/400/50/5,7 [cm]		Μήκος $I_{cl}=4,85 \text{ m}$	$Bl=0,65 \text{ m}$ $Br=0,50 \text{ m}$
Υλικά	Σκυρόδεμα: C30/37		Χάλυβας: B500C	Συνδετήρες: B500C
Κανονισμός	KPM		Κύρια δοκός	Ανακατανομή ροπών=Οχι
Έδαφος	$\sigma_{per}=150,00 \text{ kPa}$.	D = 3,00m	$\delta = 30,00^\circ$ $(\lambda^*kp) \lambda = 0,30$

Μέγιστα Φέρουσας ικανότητας RVd - Αντίστασης σε ολισθηση RHd+Rpd [EC7-1 §6.5.2-3]

Φόρτ [V]	$\gamma R_{d} * \Omega$ [V]	eL [m]	eB [m]	Vd [kN]		RVd [kN]	Hd [kN]		RHd+Rpd [kN]
1.35G+1.05Q	1,00	0,09	0,00	3147,03	<	4983,87	0,00	<	2182,76
ΣΣ:-x	1,40	0,37	0,00	3722,07	<	4830,53	647,32	<	2733,04
ΣΣ:-x	1,40	0,14	0,00	3722,07	<	5244,22	647,32	<	2733,04

Μέγιστα οπλισμών ροπών κάμψης

Φορτ [V]	Κόμβ [V]	Θέση [m]	MEd [kNm]	NEd [kN]	As1_ca [cm²]	As2_ca [cm²]	As_sl [cm²]	x [m]	As1_rq [cm²]	As2_rq [cm²]	ρ1_rq [o/oo]	E [V]	
ΣΣ:-x	8	0,65	345,72	0,00	7,07	0,00	0,00	0,05	36,57	36,57	3,999	2	
ΣΣ:-x	8	0,65	1311,46	0,00	27,53	0,00	0,00	0,12	36,57	36,57	3,999	2	
ΣΣ:-x	0	3,60	-1483,33	0,00	30,28	0,00	0,00	0,05	36,57	36,57	3,999	2	
ΣΣ:-z	0	6,00	-32,30	0,00	0,65	0,00	0,00	0,00	36,57	36,57	3,999	2	
ΣΣ:-x	9	0,50	-573,05	0,00	11,60	0,00	0,00	0,03	36,57	36,57	3,999	2	

Μέγιστα οπλισμών διάτμησης και στρέψης

Φορτ [V]	Κόμβ [V]	Θέση [m]	VEdmax [kNm]	ζ [V]	TEd [kNm]	Θέση [kN]	VEd [m]	V'Rdc [kN]	VRdc [kN]	cotθ [V]	Συνδετήρες τμ.[mm/cm/cm]	As45 [cm²]	Asl [cm²]	
ΣΣ:-x	8	0,65	1735,64	0,25	67,96	1,79	1094,88	613,71	459,67	2,50	3τμ.ΣΦ10/12/12			
ΣΣ:-x	9	0,50	1173,58	-0,10	67,96	1,64	366,23	613,71	359,91	2,50	3τμ.ΣΦ10/15/15			

* Αντίσταση σε ροπή στρέψης σχεδιασμού $TR_{dmax} = 1362,49 \text{ kNm}$ - Ροπή στρέψης κατά την ρηγμάτωση $TR_{dc} = 349,23 \text{ kNm}$ - $VR_{dmax} = 4345,23 \text{ kN}$

Μέγιστα απαιτούμενου διαμήκη οπλισμού και συνδετήρων

Θέση [V]	Κόμβ [V]	Κάτω [cm²]	Φορτ [V]	Ανω [cm²]	Φορτ [V]	Συνδετήρες [τμ.Φ/s]	Φορτ [V]	Διαγ. [cm²]	Φορτ [V]	Διαγ. [cm²]	Φορτ [V]	Κορμός [cm²]	Φορτ [V]
Άνοιγμα		36,57	ΣΣ:-z	36,57	ΣΣ:-x	3τμ.ΣΦ10/12	ΣΣ:-x						
Κόμβος	8	36,57	ΣΣ:-x	36,57	ΣΣ:-x	3τμ.ΣΦ10/12	ΣΣ:-x						
Κόμβος	9	36,57	ΣΣ:-x	36,57	ΣΣ:-x	3τμ.ΣΦ10/12	ΣΣ:-x						

Απαιτούμενος και τοποθετούμενος διαμήκης οπλισμός

Av. [V]	Θέση [m]	Αρχή[ρ] [cm²]	Ανοιγμα[ρ] [cm²]	Τέλος[ρ] [cm²]		Αρχή[ρ] [cm²]	Ανοιγμα[ρ] [cm²]	Τέλος[ρ] [cm²]
1	Πάνω	36,57	37,73	36,57		40,84	40,84	78,54
1	Κάτω	36,57	36,57	41,02		37,70	37,70	75,40
2	Πάνω	36,57	36,57	36,57		78,54	37,70	37,70
2	Κάτω	36,57	36,57	36,57		75,40	37,70	37,70

Δοκός: Δ5.1, Όροφος -2

Γενικά δεδομένα δοκού

Κόμβοι	Αρχή: 10	Τέλος: 11	Μέλος: 36	ΣΠΕΜ = 1,00	
Διατομή	Ανεστ. πλακοδοκός		Πειδιλοδοκός	Ακαμπτες απολήξεις	
Διαστάσεις	80/120/400/50/5,7 [cm]		Μήκος lcl=6,75m	Bl=0,50m	Br=0,65m
Υλικά	Συκρόδεμα: C30/37		Χάλυβας: B500C	Συνδετήρες: B500C	
Κανονισμός	ΚΠΜ		Κύρια δοκός	Ανακατανομή ροπών=Οχι	
Έδαφος	$\sigma_{per}=150,00 \text{ kPa}$.	D= 3,00m	$\delta= 30,00^\circ$ (λ^*k_p) $\lambda= 0,30$

Μέγιστα Φέρουσας Ικανότητας RVd - Αντίστασης σε ολίσθηση RHd+Rpd [EC7-1 §6.5.2-3]

Φόρτ [/]	$\gamma R_d * \Omega$ [/]	eL [m]	eB [m]	Vd [kN]		RVd [kN]	Hd [kN]		RHd+Rpd [kN]
1.35G+1.05Q	1,00	0,07	0,00	3573,56	<	6654,57	0,00	<	2527,68
ΣΣ:-z	1,40	0,66	0,00	4003,76	<	6044,60	696,31	<	3028,82
ΣΣ:-z	1,40	0,09	0,00	4003,76	<	7085,69	696,31	<	3028,82

Μέγιστα οπλισμών ροπών κάμψης

Φορτ [/]	Κόμβ [/]	Θέση [m]	MEd	NEd	As1_ca [cm ²]	As2_ca [cm ²]	As_s1 [cm ²]	x [m]	As1_rq [cm ²]	As2_rq [cm ²]	ρ1_rq [o/oo]	E [/]
ΣΣ:-z	10	0,50	-676,59	0,00	13,71	0,00	0,00	0,03	36,57	36,57	3,999	2
ΣΣ:-z	10	0,50	616,92	0,00	12,72	0,00	0,00	0,07	36,57	36,57	3,999	2
ΣΣ:-z	0	3,16	-1853,01	0,00	37,93	0,00	0,00	0,05	37,93	36,57	4,148	2
ΣΣ:+x	0	6,32	-238,68	0,00	4,81	0,00	0,00	0,02	36,57	36,57	3,999	2
ΣΣ:-z	11	0,65	-2,01	0,00	0,04	0,00	0,00	0,00	36,57	36,57	3,999	2
ΣΣ:-z	11	0,65	1936,50	0,00	41,43	0,00	0,00	0,17	41,43	36,57	4,531	2

Μέγιστα οπλισμών διάτμησης και στρέψης

Φορτ [/]	Κόμβ [/]	Θέση [m]	VEdmax [kN]	ζ [/]	TEd [kNm]	Θέση [kN]	VED [m]	V'Rdc [kN]	VRdc [kN]	cotθ [/]	Συνδετήρες τμ.[mm/cm/cm]	As45 [cm ²]	Asl [cm ²]
ΣΣ:+x	10	0,50	1322,58	0,11	47,04	1,64	608,01	613,71	369,64	2,50	3τμ.ΣΦ10/15/15		
ΣΣ:-z	11	0,65	1878,88	0,10	47,24	1,79	1274,88	613,71	459,67	2,31	3τμ.ΣΦ10/10.5/10.5		

* Αντίσταση σε ροπή στρέψης σχεδιασμού $Trdmax = 1362,49 \text{ kNm}$ - Ροπή στρέψης κατά την ρηγμάτωση $Trdc = 349,23 \text{ kNm}$ - $Vrdmax = 4345,23 \text{ kN}$

Μέγιστα απαιτούμενου διαμήκη οπλισμού και συνδετήρων

Θέση [/]	Κόμβ [/]	Κάτω [cm ²]	Φορτ [/]	Ανω [cm ²]	Φορτ [/]	Συνδετήρες τμ.Φ/s]	Φορτ [/]	Διαγ. [cm ²]	Φορτ [/]	Διαγ. [cm ²]	Φορτ [/]	Κορμός [cm ²]	Φορτ [/]
Άνοιγμα			36,57	ΣΣ:+x	37,93	ΣΣ:-z	3τμ.ΣΦ10/10.5	ΣΣ:+x					
Κόμβος	10	36,57	ΣΣ:-z	36,57	ΣΣ:-z	3τμ.ΣΦ10/10.5	ΣΣ:+x						
Κόμβος	11	41,43	ΣΣ:-z	36,57	ΣΣ:-z	3τμ.ΣΦ10/10.5	ΣΣ:-z						

Δοκός: Δ5.2, Όροφος -2**Γενικά δεδομένα δοκού**

Κόμβοι	Αρχή: 11	Τέλος: 12	Μέλος: 37	ΣΠΕΜ = 1,00	
Διατομή	Ανεστ. πλακοδοκός		Πειδιλοδοκός	Ακαμπτες απολήξεις	
Διαστάσεις	80/120/400/50/5,7 [cm]		Μήκος lcl=4,85m	Bl=0,65m	Br=0,50m
Υλικά	Συκρόδεμα: C30/37		Χάλυβας: B500C	Συνδετήρες: B500C	
Κανονισμός	ΚΠΜ		Κύρια δοκός	Ανακατανομή ροπών=Οχι	
Έδαφος	$\sigma_{per}=150,00 \text{ kPa}$.	D= 3,00m	$\delta= 30,00^\circ$ (λ^*k_p) $\lambda= 0,30$

Μέγιστα Φέρουσας Ικανότητας RVd - Αντίστασης σε ολίσθηση RHd+Rpd [EC7-1 §6.5.2-3]

Φόρτ [/]	$\gamma R_d * \Omega$ [/]	eL [m]	eB [m]	Vd [kN]		RVd [kN]	Hd [kN]		RHd+Rpd [kN]
1.35G+1.05Q	1,00	0,09	0,00	3167,36	<	4984,54	0,00	<	2193,43
ΣΣ:+x	1,40	0,37	0,00	3712,87	<	4827,90	645,72	<	2727,73
ΣΣ:-z	1,40	0,15	0,00	3714,73	<	5236,77	646,04	<	2728,80

Μέγιστα οπλισμών ροπών κάμψης

Φορτ [/]	Κόμβ [/]	Θέση [m]	MEd	NEd	As1_ca [cm ²]	As2_ca [cm ²]	As_s1 [cm ²]	x [m]	As1_rq [cm ²]	As2_rq [cm ²]	ρ1_rq [o/oo]	E [/]
ΣΣ:-x	11	0,65	352,14	0,00	7,20	0,00	0,00	0,05	36,57	36,57	3,999	2
ΣΣ:-x	11	0,65	1313,82	0,00	27,58	0,00	0,00	0,12	36,57	36,57	3,999	2
ΣΣ:-z	0	3,60	-1494,10	0,00	30,50	0,00	0,00	0,05	36,57	36,57	3,999	2
ΣΣ:+z	0	6,00	-31,27	0,00	0,62	0,00	0,00	0,00	36,57	36,57	3,999	2
ΣΣ:-z	12	0,50	-589,32	0,00	11,93	0,00	0,00	0,03	36,57	36,57	3,999	2

Μέγιστα οπλισμών διάτμησης και στρέψης

Φορτ [/]	Κόμβ [/]	Θέση [m]	VEdmax	ζ [/]	TEd [kNm]	Θέση [kN]	VED	V'Rdc [kN]	VRdc [kN]	cotθ [/]	Συνδετήρες τμ.[mm/cm/cm]	As45 [cm ²]	Asl [cm ²]
ΣΣ:-x	11	0,65	1735,17	0,26	65,67	1,79	1097,42	613,71	459,67	2,50	3τμ.ΣΦ10/12/12		
ΣΣ:-x	12	0,50	1166,60	-0,09	65,67	1,64	360,98	613,71	359,91	2,50	3τμ.ΣΦ10/15/15		

* Αντίσταση σε ροπή στρέψης σχεδιασμού $Trdmax = 1362,49 \text{ kNm}$ - Ροπή στρέψης κατά την ρηγμάτωση $Trdc = 349,23 \text{ kNm}$ - $Vrdmax = 4345,23 \text{ kN}$

Μέγιστα απαιτούμενου διαμήκη οπλισμού και συνδετήρων

Θέση [/]	Κόμβος [cm ²]	Κάτω [cm ²]	Φορτ [/]	Άνω [cm ²]	Φορτ [/]	Συνδετήρες [τμ Φ/s]	Φορτ [/]	Διαγ. [cm ²]	Φορτ [/]	Διαγ. [cm ²]	Φορτ [/]	Κορμός [cm ²]	Φορτ [/]
Άνοιγμα		36,57	ΣΣ:+z	36,57	ΣΣ:-z	3τμ.ΣΦ10/12	ΣΣ:-x						
Κόμβος	11	36,57	ΣΣ:-x	36,57	ΣΣ:-x	3τμ.ΣΦ10/12	ΣΣ:-x						
Κόμβος	12	36,57	ΣΣ:-z	36,57	ΣΣ:-z	3τμ.ΣΦ10/12	ΣΣ:-x						

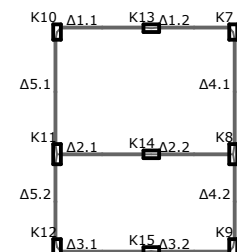
Απαιτούμενος και τοποθετούμενος διαμήκης οπλισμός

Av. []	Θέση []	Αρχή[r] [cm ²]	Ανοιγμα[r] [cm ²]	Τέλος[r] [cm ²]		Αρχή[p] [cm ²]	Ανοιγμα[p] [cm ²]	Τέλος[p] [cm ²]	
1	Πάνω	36,57		37,93	36,57		40,84	40,84	78,54
1	Κάτω	36,57		36,57	41,43		37,70	37,70	75,40
2	Πάνω	36,57		36,57	36,57		78,54	37,70	37,70
2	Κάτω	36,57		36,57	36,57		75,40	37,70	37,70

Κάτοψη ορόφου: -1

Ονόματα μελών - κόμβων

1
X



Διαστασιολόγηση δοκών ορόφου: -1

Δοκός: Δ1.1, Όροφος -1

Γενικά δεδομένα δοκού

Κόμβοι	Αρχή: 10	Τέλος: 13	Μέλος: 38	ΣΠΕΜ = 1,00	
Διατομή	Πλακοδοκός		Ανωδομής	Ακαμπτες απολήξεις	
Διαστάσεις	40/60/115/50/5,2 [cm]		Μήκος lcl=5,35m	Bl=0,25m	Br=0,50m
Υλικά	Σκυρόδεμα: C30/37		Χάλυβας: B500C	Συνδετήρες: B500C	
Κανονισμός	ΚΠΜ		Κύρια δοκός	Ανακατανομή ροπών=Nαι	

Μέγιστα οπλισμών ροπών κάμψης

Φορτ [/]	Κόμβος [/]	Θέση [m]	MEd [kNm]	NEd [kN]	As1_ca [cm ²]	As2_ca [cm ²]	As_sl [cm ²]	x [m]	As1_rq [cm ²]	As2_rq [cm ²]	ρ1_rq [o/oo]	E [/]
ΣΣ:+z	10	0,00	-348,85	342,66	19,80	0,00	0,00	0,09	19,80	9,90	9,033	2
ΣΣ:+z	10	0,00	399,70	342,66	21,53	0,00	0,00	0,05	21,53	10,76	9,822	2
1.15G+1.50QD	0	1,07	72,23	108,32	4,41	0,00	0,00	0,02	4,41	2,26	2,012	2
ΣΣ:+z	0	0,00	399,70	342,66	21,53	0,00	0,00	0,05	21,53	2,26	9,822	2
ΣΣ:+z	13	0,00	-348,85	342,66	19,80	0,00	0,00	0,09	19,80	9,90	9,033	2
ΣΣ:-x	13	0,00	341,89	342,12	18,97	0,00	0,00	0,04	18,97	9,48	8,654	2

Ο. Κ. Λειτουργικότητας: Μέγιστα ελέγχου ρηγμάτωσης - wk < 0,30/0,30 [EC2-1-1 §7.3]

Φορτ [/]	Κόμβος [/]	MEd [kNm]	NEd [kN]	As1_pr [cm ²]	As2_pr [cm ²]	Φερ [mm]	As1min [cm ²]	sm [mm]	σς [MPa]	σς_max [MPa]	wk [mm]	Προσθ.1 [/]	Προσθ.2 [/]
1.00[G+ψ2xQ]	0	75,18	104,85	22,90	4,62	18,0	4,44	38	85,0	369,6	0,05		
1.00[G+ψ2xQ]	10	60,14	104,85	20,33	21,90	18,2	4,59	42	81,0	366,4	0,05		
1.00[G+ψ2xQ]	13	-216,96	104,85	23,47	24,98	18,4	3,44	38	239,3	368,0	0,19		

Ο. Κ. Λειτουργικότητας: Συνθήκη απαλλαγής αναλυτικού υπολογισμού βέλους [EC2-1-1 §7.4]

I [m]	d [m]	K [/]	Θέση [/]	ρ0 [o/oo]	ρ1_ca [o/oo]	ρ2_ca [o/oo]	I/d [/]	<	(I/d)lim [/]
5,90	0,55	1,30	0	5,477	1,008	0,000	10,8	<	200,0

Μέγιστα οπλισμών διάτμησης και στρέψης

Φορτ [/]	Κόμβος [/]	Θέση [m]	VEdmax [kN]	ζ	TEd [kNm]	Θέση [kN]	VED [m]	V'Rdc [kN]	VRdc [kN]	cotθ	Συνδετήρες τμ.[mm/cm/cm]	As45 [cm ²]	Asl [cm ²]
ΣΣ:+z	10	0,00	276,08	-0,40	8,10	0,55	255,12	147,12	127,85	2,50	2τμ.ΣΦ8/11/20		
ΣΣ:+z	13	0,00	315,43	-0,23	8,10	0,55	294,48	147,12	134,13	2,40	2τμ.ΣΦ8/11/17.5		

* Αντίσταση σε ροπή στρέψης σχεδιασμού TRdmax = 170,31kNm - Ροπή στρέψης κατά την ρηγμάτωση TRdc = 43,65kNm - VRdmax = 1041,64kN

Μέγιστα απαιτούμενου διαμήκη οπλισμού και συνδετήρων

Θέση [/]	Κόμβος [/]	Κάτω [cm ²]	Φορτ [/]	Ανω [cm ²]	Φορτ [/]	Συνδετήρες [τμ Φ/s]	Φορτ [/]	Διαγ. [cm ²]	Φορτ [/]	Διαγ. [cm ²]	Φορτ [/]	Κορμός [cm ²]	Φορτ [/]	
Άνοιγμα	21,53	ΣΣ:+z	2,26	1.15G+1.50QD	2τμ.ΣΦ8/17.5	ΣΣ:+z								
Κόμβος	10	21,53	ΣΣ:+z	19,80	ΣΣ:+z	2τμ.ΣΦ8/11	ΣΣ:+z							
Κόμβος	13	19,57	ΣΣ:-x	19,80	ΣΣ:+z	2τμ.ΣΦ8/11	ΣΣ:+z							

Δοκός: Δ1.2, Όροφος -1

Γενικά δεδομένα δοκού

Κόμβοι	Αρχή: 13	Τέλος: 7	Μέλος: 39	ΣΠΕΜ = 1,00	
Διατομή	Πλακοδοκός		Ανωδομής	Ακαμπτες απολήξεις	
Διαστάσεις	40/60/105/50/5,2 [cm]		Μήκος lcl=4,55m	Bl=0,50m	Br=0,25m
Υλικά	Σκυρόδεμα: C30/37		Χάλυβας: B500C	Συνδετήρες: B500C	
Κανονισμός	ΚΠΜ		Κύρια δοκός	Ανακατανομή ροπών=Nαι	

Μέγιστα οπλισμών ροπών κάμψης

Φορτ [/]	Κόμβος [/]	Θέση [m]	MEd [kNm]	NEd [kN]	As1_ca [cm ²]	As2_ca [cm ²]	As_sl [cm ²]	x [m]	As1_rq [cm ²]	As2_rq [cm ²]	ρ1_rq [o/oo]	E [/]
ΣΣ:-x	13	0,00	-348,85	339,34	19,77	0,00	0,00	0,09	19,77	9,88	9,019	2
ΣΣ:-x	13	0,00	355,81	339,34	19,57	0,00	0,00	0,05	19,57	9,78	8,928	2
1.15G+1.50QD	0	3,18	75,44	94,21	4,37	0,00	0,00	0,02	4,37	2,26	1,994	2
ΣΣ:-x	0	0,00	355,81	339,34	19,57	0,00	0,00	0,05	19,57	2,26	8,928	2
ΣΣ:-x	7	0,00	-282,45	339,34	16,59	0,00	0,00	0,07	16,59	8,29	7,568	2
ΣΣ:-x	7	0,00	355,81	339,34	19,57	0,00	0,00	0,05	19,57	9,78	8,928	2

Ο. Κ. Λειτουργικότητας: Μέγιστα ελέγχου ρηγμάτωσης - wk < 0,30/0,30 [EC2-1-1 §7.3]

Φορτ [/]	Κόμβος [/]	MEd [kNm]	NEd [kN]	As1_pr [cm ²]	As2_pr [cm ²]	Φερ [mm]	As1min [cm ²]	sm [mm]	σς [MPa]	σς_max [MPa]	wk [mm]	Προσθ.1 [/]	Προσθ.2 [/]
1.00[G+ψ2xQ]	0	65,06	104,88	20,36	18,85	18,0	4,54	42	86,0	366,2	0,05		
1.00[G+ψ2xQ]	13	-204,24	104,88	23,47	40,72	18,4	3,47	38	227,8	368,0	0,18		
1.00[G+ψ2xQ]	7	63,10	104,88	18,85	20,36	20,0	4,72	59	90,7	353,0	0,06		

Ο. Κ. Λειτουργικότητας: Συνθήκη απαλλαγής αναλυτικού υπολογισμού βέλους [EC2-1-1 §7.4]

I [m]	d [m]	K [V]	Θέση [V]	ρ_0 [o/oo]	ρ_{1_ca} [o/oo]	ρ_{2_ca} [o/oo]	I/d [V]	<	(I/d)lim [V]
5,10	0,55	1,30	0	5,477	0,996	0,000	9,3	<	200,0

Μέγιστα οπλισμών διάτμησης και στρέψης

Φορτ [V]	Κόμβη [V]	Θέση [m]	VEdmax [kN]	ζ [V]	TEd [kNm]	Θέση [kN]	VED [m]	V'Rdc [kN]	VRdc [kN]	cotθ [V]	Συνδετήρες τμ.[mm/cm/cm]	As45 [cm ²]	Asl [cm ²]	
ΣΣ:-z	13	0,00	327,56	-0,32	8,63	0,55	306,60	147,12	134,13	2,31	2τμ.ΣΦ8/14/16			
ΣΣ:-z	7	0,00	278,36	-0,55	8,63	0,55	257,41	147,12	124,68	2,50	2τμ.ΣΦ8/14/20			

* Αντίσταση σε ροπή στρέψης σχεδιασμού $TRdmax = 170,31kNm$ - Ροπή στρέψης κατά την ρηγμάτωση $TRdc = 43,65kNm$ - $V'Rdmax = 1041,64kN$

Μέγιστα απαιτούμενου διαμήκη οπλισμού και συνδετήρων

Θέση [V]	Κόμβη [cm ²]	Κάτω [cm ²]	Φορτ [V]	Ανω [cm ²]	Φορτ [V]	Συνδετήρες [τμ Φ/s]	Φορτ [V]	Διαγ. [cm ²]	Φορτ [V]	Διαγ. [cm ²]	Φορτ [V]	Κορμός [cm ²]	Φορτ [V]	
Άνοιγμα Κόμβος	13	19,57	ΣΣ:-x	2,26	1.15G+1.50QD	2τμ.ΣΦ8/16	ΣΣ:-z		ΣΣ:-z		ΣΣ:-z			
Κόμβος	7	19,57	ΣΣ:-x	19,80	ΣΣ:-x	2τμ.ΣΦ8/14	ΣΣ:-z		ΣΣ:-z		ΣΣ:-z			
				16,59	ΣΣ:-x	2τμ.ΣΦ8/14								

Ελεγχος Συνάφειας Κόμβων [EC8-1 §5.6.2.2]

Κόμβη [V]	Στύλος [V]	hc [m]	>	hc_min [m]	vd	ρ_{bot} [o/oo]	ρ_{max} [o/oo]	dbL [mm]	<	dbL_max [mm]
10	K10	0,50	>	0,38	0,05	9,99	16,79	Φ20	<	Φ26,3
13	K13	1,00	>	0,53	0,02	18,57	25,38	Φ20	<	Φ37,7
7	K7	0,50	>	0,38	0,05	9,29	16,09	Φ20	<	Φ26,3

Απαιτούμενος και τοποθετούμενος διαμήκης οπλισμός [Μέθοδος simplex]

Av. [V]	Θέση [V]	Αρχή[r] [cm ²]	Ανοιγμα[r] [cm ²]	Τέλος[r] [cm ²]	Αρχή[p] [cm ²]	Ανοιγμα[p] [cm ²]	Τέλος[p] [cm ²]
1	Πάνω	19,80	2,26	19,80	20,33	4,62	23,47
1	Κάτω	21,53	21,53	19,57	21,90	22,90	40,72
2	Πάνω	19,80	2,26	16,59	23,47	18,85	18,85
2	Κάτω	19,57	19,57	19,57	40,72	20,36	

Ελεγχοι διαμόρφωσης λεπτομερειών για τοπική πλαστιμότητα [EC8-1 §5.4.3.1.2]

Av. []	Κομ [V]	Κατ. [V]	As1_pr [cm ²]	As1_sl [cm ²]	As2_pr [cm ²]	As2_ca [cm ²]	As2_pr-As2_ca [cm ²]	(As1_pr+As1_sl)/2 [cm ²]	$\rho_{1_pr+\rho_{sl}}$ [o/oo]	ρ_{max} [o/oo]	ρ_{2_pr} [o/oo]	
1	10	M-	20,33	0,00	21,90	0,00	21,90	>	10,16	9,27	<	16,79
1	10	M+	21,90	0,00	20,33	0,00	20,33	>	10,95	3,47	<	10,03
1	13	M-	23,47	0,00	40,72	1,06	39,66	>	11,73	10,71	<	25,38
1	13	M+	40,72	0,00	23,47	0,00	23,47	>	20,36	6,46	<	10,53
2	13	M-	23,47	0,00	40,72	0,90	39,82	>	11,73	10,71	<	25,38
2	13	M+	40,72	0,00	23,47	0,00	23,47	>	20,36	7,08	<	10,88
2	7	M-	18,85	0,00	20,36	0,00	20,36	>	9,42	8,60	<	16,09
2	7	M+	20,36	0,00	18,85	0,00	18,85	>	10,18	3,54	<	10,08

$$\rho_{max} = \rho' + \Delta_{\rho}; \Delta_{\rho} = 0,0018 \cdot \frac{f_{cd}}{\mu_{\phi} \cdot \varepsilon_{syd} \cdot f_{yd}} = 6,80 \% : \mu_{\phi} = 5,60$$

Δοκός: Δ2.1, Όροφος -1**Γενικά δεδομένα δοκού**

Κόμβοι	Αρχή: 11	Τέλος: 14	Μέλος: 40	ΣΠΕΜ = 1,00
Διατομή	Πλακοδόκος		Ανωδομής	Ακαμπτες απολήξεις
Διαστάσεις	40/60/195/50/5,2 [cm]		Μήκος lcl=5,35m	Bl=0,25m Br=0,50m
Υλικά	Συκρόδεμα: C30/37		Χάλυβας: B500C	Συνδετήρες: B500C
Κανονισμός	ΚΠΜ		Κύρια δοκός	Ανακατανομή ροπών=Ναι

Μέγιστα οπλισμών ροπών κάμψης

Φορτ [V]	Κόμβη [V]	Θέση [m]	MEd [kNm]	NEd [kN]	As1_ca [cm ²]	As2_ca [cm ²]	As_sl [cm ²]	x [m]	As1_rq [cm ²]	As2_rq [cm ²]	ρ_{1_rq} [o/oo]	E [V]
ΣΣ:+x	11	0,00	-425,82	395,79	24,18	0,52	0,00	0,11	24,18	12,61	11,031	2
ΣΣ:+z	11	0,00	432,43	395,91	23,47	0,00	0,00	0,03	23,47	11,73	10,707	2
1.15G+1.50QB	0	2,14	117,75	211,97	7,62	0,00	0,00	0,01	7,62	2,26	3,476	2
ΣΣ:+x	0	1,07	477,78	395,79	25,46	0,00	0,00	0,04	25,46	2,26	11,615	2
ΣΣ:+x	14	0,00	-497,16	395,79	27,55	3,51	0,00	0,12	27,55	17,28	12,568	2
ΣΣ:+z	14	0,00	-497,16	0,00	22,99	8,54	0,00	0,12	22,99	20,04	10,488	2

Ο. Κ. Λειτουργικότητας: Μέγιστα ελέγχου ρηγμάτωσης - wk < 0,30/0,30 [EC2-1-1 §7.3]

Φορτ [V]	Κόμβη [V]	MEd [kNm]	NEd [kN]	As1_pr [cm ²]	As2_pr [cm ²]	Φερ [mm]	As1min [mm]	sm [mm]	σs [MPa]	σs_max [MPa]	wk [mm]	Προσθ.1 [V]	Προσθ.2 [V]
1.00[G+ψ2xQ]	0	151,25	136,41	28,27	6,28	20,0	4,63	40	125,8	368,0	0,09		
1.00[G+ψ2xQ]	11	-65,27	136,41	25,13	25,13	20,0	4,02	42	107,9	366,4	0,07		
1.00[G+ψ2xQ]	14	-389,36	136,41	31,42	28,27	20,0	3,48	40	309,7	368,0	0,24		

Ο. Κ. Λειτουργικότητας: Συνθήκη απαλλαγής αναλυτικού υπολογισμού βέλους [EC2-1-1 §7.4]

I [m]	d [m]	K [/]	Θέση [/]	ρ_0 [o/oo]	ρ_{1_ca} [o/oo]	ρ_{2_ca} [o/oo]	I/d [/]	<	(I/d)lim [/]
5,90	0,55	1,30	0	5,477	1,176	0,000	10,8	<	200,0

Μέγιστα οπλισμών διάτμησης και στρέψης

Φορτ [/]	Κόμβη [/]	Θέση [m]	VEdmax [kN]	ζ [/]	TEd [kNm]	Θέση [kN]	VEd [m]	V'Rdc [kN]	VRdc [kN]	cotθ [/]	Συνδετήρες τμ.[mm/cm/cm]	As45 [cm ²]	Asl [cm ²]	
$\Sigma:+z$	11	0,00	472,81	0,00	8,14	0,55	417,58	147,12	137,22	1,85	2τμ.ΣΦ10/14.5/15			
$\Sigma:+z$	14	0,00	537,69	0,12	8,14	0,55	482,46	147,12	147,82	1,73	2τμ.ΣΦ10/12/12			

* Αντίσταση σε ροπή στρέψης σχεδιασμού $TRdmax = 170,31kNm$ - Ροπή στρέψης κατά την ρηγμάτωση $TRdc = 43,65kNm$ - $VRdmax = 1041,64kN$

Μέγιστα απαιτούμενου διαμήκη οπλισμού και συνδετήρων

Θέση [/]	Κόμβη [cm ²]	Κάτω [cm ²]	Φορτ [/]	Ανω [cm ²]	Φορτ [/]	Συνδετήρες τμ.Φ/s]	Φορτ [/]	Διαγ. [cm ²]	Φορτ [/]	Διαγ. [cm ²]	Φορτ [/]	Κορμός [cm ²]	Φορτ [/]	
Άνοιγμα	25,46	$\Sigma:+x$	2,26	1.15G+1.50QB	2τμ.ΣΦ10/12	$\Sigma:+z$								
Κόμβος	11	23,47	$\Sigma:+z$	24,18	$\Sigma:+x$	2τμ.ΣΦ10/12	$\Sigma:+z$							
Κόμβος	14	21,07	$\Sigma:+z$	27,99	$\Sigma:+x$	2τμ.ΣΦ10/12	$\Sigma:+z$							

Δοκός: Δ2.2, Όροφος -1**Γενικά δεδομένα δοκού**

Κόμβοι	Αρχή: 14	Τέλος: 8	Μέλος: 41	ΣΠΕΜ = 1,00
Διατομή	Πλακοδόκος		Ανωδομής	Ακαμπτες απολήξεις
Διαστάσεις	40/60/170/50/5,2 [cm]		Μήκος lcl=4,55m	Bl=0,50m Br=0,25m
Υλικά	Σκυρόδεμα: C30/37		Χάλυβας: B500C	Συνδετήρες: B500C
Κανονισμός	ΚΠΜ		Κύρια δοκός	Ανακατανομή ροπών=Ναι

Μέγιστα οπλισμών ροπών κάμψης

Φορτ [/]	Κόμβη [/]	Θέση [m]	MEd [kNm]	NEd [kN]	As1_ca [cm ²]	As2_ca [cm ²]	As_sl [cm ²]	x [m]	As1_rq [cm ²]	As2_rq [cm ²]	ρ_1_rq [o/oo]	E [/]
$\Sigma:+x$	14	0,00	-497,16	408,13	27,99	0,68	0,00	0,14	27,99	14,68	12,769	2
$\Sigma:-z$	14	0,00	373,40	408,26	21,07	0,00	0,00	0,03	21,07	10,53	9,612	2
1.15G+1.50QE	0	3,18	80,17	235,10	6,32	0,00	0,00	0,01	6,32	2,26	2,883	2
$\Sigma:-z$	0	4,55	518,98	408,26	27,47	0,00	0,00	0,04	27,47	2,26	12,532	2
$\Sigma:+x$	8	0,00	-398,84	408,13	22,98	0,00	0,00	0,11	22,98	11,49	10,484	2
$\Sigma:-z$	8	0,00	518,98	408,26	27,47	0,00	0,00	0,04	27,47	13,73	12,532	2

Ο. Κ. Λειτουργικότητας: Μέγιστα ελέγχου ρηγμάτωσης - wk < 0,30/0,30 [EC2-1-1 §7.3]

Φορτ [/]	Κόμβη [/]	MEd [kNm]	NEd [kN]	As1_pr [cm ²]	As2_pr [cm ²]	Φερ [mm]	As1min [mm]	sm [mm]	σs [MPa]	σs_max [MPa]	wk [mm]	Προσθ.1 [/]	Προσθ.2 [/]
1.00[G+ψ2xQ]	0	96,52	155,56	28,27	25,13	20,0	4,99	40	90,8	368,0	0,06		
1.00[G+ψ2xQ]	14	-349,24	155,56	31,42	47,12	20,0	3,65	40	287,9	368,0	0,22		
1.00[G+ψ2xQ]	8	-36,10	155,56	25,13	28,27	20,0	4,89	42	91,1	366,4	0,06		

Ο. Κ. Λειτουργικότητας: Συνθήκη απαλλαγής αναλυτικού υπολογισμού βέλους [EC2-1-1 §7.4]

I [m]	d [m]	K [/]	Θέση [/]	ρ_0 [o/oo]	ρ_{1_ca} [o/oo]	ρ_{2_ca} [o/oo]	I/d [/]	<	(I/d)lim [/]
5,10	0,55	1,30	0	5,477	0,924	0,000	9,3	<	200,0

Μέγιστα οπλισμών διάτμησης και στρέψης

Φορτ [/]	Κόμβη [/]	Θέση [m]	VEdmax [kN]	ζ [/]	TEd [kNm]	Θέση [kN]	VEd [m]	V'Rdc [kN]	VRdc [kN]	cotθ [/]	Συνδετήρες τμ.[mm/cm/cm]	As45 [cm ²]	Asl [cm ²]	
$\Sigma:-z$	14	0,00	551,79	0,00	8,03	0,55	496,56	147,12	147,82	1,71	2τμ.ΣΦ10/11.5/11.5			
$\Sigma:-z$	8	0,00	461,15	-0,20	8,03	0,55	405,92	147,12	137,22	1,88	2τμ.ΣΦ8/10/10			

* Αντίσταση σε ροπή στρέψης σχεδιασμού $TRdmax = 170,31kNm$ - Ροπή στρέψης κατά την ρηγμάτωση $TRdc = 43,65kNm$ - $VRdmax = 1041,64kN$

Μέγιστα απαιτούμενου διαμήκη οπλισμού και συνδετήρων

Θέση [/]	Κόμβη [cm ²]	Κάτω [cm ²]	Φορτ [/]	Ανω [cm ²]	Φορτ [/]	Συνδετήρες τμ.Φ/s]	Φορτ [/]	Διαγ. [cm ²]	Φορτ [/]	Διαγ. [cm ²]	Φορτ [/]	Κορμός [cm ²]	Φορτ [/]	
Άνοιγμα	27,47	$\Sigma:-z$	2,26	1.15G+1.50QE	2τμ.ΣΦ10/11.5	$\Sigma:-z$								
Κόμβος	14	21,07	$\Sigma:-z$	27,99	$\Sigma:+x$	2τμ.ΣΦ10/11.5	$\Sigma:-z$							
Κόμβος	8	27,47	$\Sigma:-z$	22,98	$\Sigma:+x$	2τμ.ΣΦ10/11.5	$\Sigma:-z$							

Ελεγχος Συνάφειας Κόμβων [EC8-1 §5.6.2.2]

Κόμβη [/]	Στύλος [/]	hc [m]	>	hc_min [m]	vd [/]	ρ_{bot} [o/oo]	ρ_{max} [o/oo]	dbL [mm]	<	dbL_max [mm]
11	K11	0,50	>	0,35	0,15	11,47	18,27	Φ20	<	Φ28,6
14	K14	1,00	>	0,52	0,07	21,50	28,30	Φ20	<	Φ38,5
8	K8	0,50	>	0,35	0,15	12,90	19,70	Φ20	<	Φ28,6

Απαιτούμενος και τοποθετούμενος διαμήκης οπλισμός [Μέθοδος simplex]

Av. []	Θέση []	Αρχή[r] [cm ²]	Ανοιγμα[r] [cm ²]	Τέλος[r] [cm ²]		Αρχή[p] [cm ²]	Ανοιγμα[p] [cm ²]	Τέλος[p] [cm ²]	
1	Πάνω	24,18	2,26	27,99		25,13	6,28	31,42	
1	Κάτω	23,47	25,46	21,07		25,13	28,27	47,12	
2	Πάνω	27,99	2,26	22,98		31,42	25,13	25,13	
2	Κάτω	21,07	27,47	27,47		47,12	28,27	28,27	

Ελεγχοί διαμόρφωσης λεπτομερειών για τοπική πλαστιμότητα [EC8-1 §5.4.3.1.2]

Av.	Kou	Kat.	As1_pr [cm ²]	As_s1 [cm ²]	As2_pr [cm ²]	As2_ca [cm ²]	As2_pr-As2_ca [cm ²]	(As1_pr+As_s1)/2 [cm ²]	ρ1_pr+ρ_s1 [o/oo]	ρmax [o/oo]	ρ2_pr [o/oo]		
1	11	M-	25,13	0,00	25,13	5,73	19,40	>	12,57	11,47	<	18,27	11,47
1	11	M+	25,13	0,00	25,13	0,00	25,13	>	12,57	2,35	<	9,15	2,35
1	14	M-	31,42	0,00	47,12	8,54	38,58	>	15,71	14,33	<	28,30	21,50
1	14	M+	47,12	0,00	31,42	0,00	31,42	>	23,56	4,41	<	9,74	2,94
2	14	M-	31,42	0,00	47,12	5,39	41,73	>	15,71	14,33	<	28,30	21,50
2	14	M+	47,12	0,00	31,42	0,00	31,42	>	23,56	5,06	<	10,17	3,37
2	8	M-	25,13	0,00	28,27	4,30	23,97	>	12,57	11,47	<	19,70	12,90
2	8	M+	28,27	0,00	25,13	0,00	25,13	>	14,14	3,04	<	9,50	2,70

$$\rho_{\max} = \rho' + \Delta_{\rho} : \Delta_{\rho} = 0,0018 \cdot \frac{f_{cd}}{\mu_{\phi} \cdot \varepsilon_{syd} \cdot f_{yd}} = 6,80 \% : \mu_{\phi} = 5,60$$

Δοκός: Δ3.1, Όροφος -1**Γενικά δεδομένα δοκού**

Κόμβοι	Αρχή: 12	Τέλος: 15	Μέλος: 42	ΣΠΕΜ = 1,00
Διατομή	Πλακοδοκός		Ανωδομής	Ακαμπτες απολήξεις
Διαστάσεις	40/60/115/50/5,2 [cm]		Μήκος lcl=5,35m	Bl=0,25m Br=0,50m
Υλικά	Σκυρόδεμα: C30/37		Χάλυβας: B500C	Συνδετήρες: B500C
Κανονισμός	ΚΠΜ		Κύρια δοκός	Ανακατανομή ροπών=Ναι

Μέγιστα οπλισμών ροπών κάμψης

Φορτ [/]	Κόμβος [/]	Θέση [m]	MEd [kNm]	NEd [kN]	As1_ca [cm ²]	As2_ca [cm ²]	As_s1 [cm ²]	x [m]	As1_rq [cm ²]	As2_rq [cm ²]	ρ1_rq [o/oo]	E [/]
ΣΣ:+z	12	0,00	-335,67	326,03	18,98	0,00	0,00	0,09	18,98	9,49	8,659	2
ΣΣ:+z	12	0,00	395,07	326,03	21,13	0,00	0,00	0,05	21,13	10,56	9,640	2
1.15G+1.50QB	0	1,07	64,25	127,18	4,30	0,00	0,00	0,01	4,30	2,26	1,962	2
ΣΣ:+z	0	0,00	395,07	326,03	21,13	0,00	0,00	0,05	21,13	2,26	9,640	2
ΣΣ:+z	15	0,00	-335,67	326,03	18,98	0,00	0,00	0,09	18,98	9,49	8,659	2
ΣΣ:+x	15	0,00	335,67	324,40	18,48	0,00	0,00	0,04	18,48	9,24	8,431	2

Ο. Κ. Λειτουργικότητας: Μέγιστα ελέγχου ρηγμάτωσης - wk < 0,30/0,30 [EC2-1-1 §7.3]

Φορτ [/]	Κόμβος [/]	MEd [kNm]	NEd [kN]	As1_pr [cm ²]	As2_pr [cm ²]	Φερ [mm]	As1min [cm ²]	sm [mm]	σ [MPa]	σ_max [MPa]	wk [mm]	Προσθ.1 [/]	Προσθ.2 [/]
1.00[G+ψ2xQ]	0	65,75	92,55	22,90	6,28	18,0	4,35	38	74,5	369,6	0,04		
1.00[G+ψ2xQ]	12	50,39	92,55	19,01	21,49	18,6	4,59	49	73,7	360,8	0,05		
1.00[G+ψ2xQ]	15	-188,60	92,55	22,37	26,64	17,0	3,37	37	218,4	368,0	0,17		

Ο. Κ. Λειτουργικότητας: Συνθήκη απαλλαγής αναλυτικού υπολογισμού βέλους [EC2-1-1 §7.4]

I [m]	d [m]	K [/]	Θέση [/]	ρ0 [o/oo]	ρ1_ca [o/oo]	ρ2_ca [o/oo]	I/d [/]	<	(I/d)lim [/]
5,90	0,55	1,30	0	5,477	0,876	0,000	10,8	<	200,0

Μέγιστα οπλισμών διάτμησης και στρέψης

Φορτ [/]	Κόμβος [/]	Θέση [m]	VEdmax [kN]	ζ [/]	TEd [kNm]	Θέση [kN]	VEd [m]	VRdc [kN]	VRdc [kN]	cotθ [/]	Συνδετήρες τμ.[mm/cm/cm]	As45 [cm ²]	Asl [cm ²]
ΣΣ:+z	12	0,00	267,32	-0,41	6,28	0,55	248,60	147,12	125,02	2,50	2τμ.ΣΦ8/14/20		
ΣΣ:+z	15	0,00	292,60	-0,29	6,28	0,55	273,88	147,12	132,00	2,50	2τμ.ΣΦ8/14/19.5		

* Αντίσταση σε ροπή στρέψης σχεδιασμού TRdmax = 170,31kNm - Ροπή στρέψης κατά την ρηγμάτωση TRdc = 43,65kNm - VRdmax = 1041,64kN

Μέγιστα απαιτούμενου διαμήκη οπλισμού και συνδετήρων

Θέση [/]	Κόμβος [/]	Κάτω [cm ²]	Φορτ [/]	Ανω [cm ²]	Φορτ [/]	Συνδετήρες [τμ Φ/σ]	Φορτ [/]	Διαγ. [cm ²]	Φορτ [/]	Διαγ. [cm ²]	Φορτ [/]	Κορμός [cm ²]	Φορτ [/]
Άνοιγμα	12	21,13	ΣΣ:+z	2,26	1.15G+1.50QB	2τμ.ΣΦ8/19.5	ΣΣ:+z						
Κόμβος	15	21,13	ΣΣ:+z	18,98	ΣΣ:+z	2τμ.ΣΦ8/14	ΣΣ:+z						
Κόμβος	15	19,95	ΣΣ:+x	18,98	ΣΣ:+z	2τμ.ΣΦ8/14	ΣΣ:+z						

Δοκός: Δ3.2, Όροφος -1**Γενικά δεδομένα δοκού**

Κόμβοι	Αρχή: 15	Τέλος: 9	Μέλος: 43	ΣΠΕΜ = 1,00
Διατομή	Πλακοδοκός		Ανωδομής	Ακαμπτες απολήξεις

Διαστάσεις	40/60/105/50/5,2 [cm]	Μήκος lcl= 4,55m	Bl= 0,50m	Br= 0,25m
Υλικά	Συκρόδεμα: C30/37	Χάλυβας: B500C	Συνδετήρες: B500C	
Κανονισμός	KPM	Κύρια δοκός	Ανακατανομή ροπών=Ναι	

Μέγιστα οπλισμών ροπών κάμψης

Φορτ [/]	Κόμβ [/]	Θέση [m]	MEd [kNm]	NEd [kN]	As1_ca [cm²]	As2_ca [cm²]	As_sl [cm²]	x [m]	As1_rq [cm²]	As2_rq [cm²]	ρ1_rq [o/oo]	E [/]
1.15G+1.50QE	ΣΣ:+x	15	0,00	-335,67	322,21	18,94	0,00	0,09	18,94	9,47	8,641	2
	ΣΣ:+x	15	0,00	369,03	322,21	19,95	0,00	0,05	19,95	9,97	9,101	2
	ΣΣ:+x	0	4,09	61,32	128,20	4,19	0,00	0,01	4,19	2,26	1,911	2
	ΣΣ:+x	0	0,00	369,03	322,21	19,95	0,00	0,05	19,95	2,26	9,101	2
	ΣΣ:+x	9	0,00	-273,35	322,21	15,97	0,00	0,07	15,97	7,98	7,286	2
	ΣΣ:+x	9	0,00	369,03	322,21	19,95	0,00	0,05	19,95	9,97	9,101	2

Ο. Κ. Λειτουργικότητας: Μέγιστα ελέγχου ρηγμάτωσης - wk < 0,30/0,30 [EC2-1-1 §7.3]

Φορτ [/]	Κόμβ [/]	MEd [kNm]	NEd [kN]	As1_pr [cm²]	As2_pr [cm²]	Φερ [mm]	As1min [cm²]	sm [mm]	σs [MPa]	σs_max [MPa]	wk [mm]	Προσθ.1 [/]	Προσθ.2 [/]
1.00[G+ψ2xQ]	0	54,93	93,87	20,36	16,08	18,0	4,48	42	73,7	366,2	0,04		
1.00[G+ψ2xQ]	15	-176,15	93,87	22,37	40,72	17,0	3,41	37	207,1	368,0	0,16		
1.00[G+ψ2xQ]	9	51,98	93,87	16,08	20,36	16,0	4,51	43	89,5	365,9	0,06		

Ο. Κ. Λειτουργικότητας: Συνθήκη απαλλαγής αναλυτικού υπολογισμού βέλους [EC2-1-1 §7.4]

I [m]	d [m]	K [/]	Θέση [/]	p0 [o/oo]	ρ1_ca [o/oo]	ρ2_ca [o/oo]	I/d [/]	<	(I/d)lim [/]
5,10	0,55	1,30	0	5,477	0,846	0,000	9,3	<	200,0

Μέγιστα οπλισμών διάτμησης και στρέψης

Φορτ [/]	Κόμβ [/]	Θέση [m]	VEdmax [kN]	ζ [/]	TEd [kNm]	Θέση [kNm]	VEd [m]	V'Rdc [kN]	VRdc [kN]	cotθ [/]	Συνδετήρες τμ.[mm/cm/cm]	As45 [cm²]	Asl [cm²]
ΣΣ:-z	15	0,00	305,56	-0,36	6,52	0,55	286,83	147,12	132,00	2,46	2τμ.ΣΦ8/12.5/18.5		
ΣΣ:-z	9	0,00	266,35	-0,56	6,52	0,55	247,63	147,12	118,26	2,50	2τμ.ΣΦ8/12.5/20		

* Αντίσταση σε ροπή στρέψης σχεδιασμού TRdmax = 170,31kNm - Ροπή στρέψης κατά την ρηγμάτωση TRdc = 43,65kNm - VRdmax = 1041,64kN

Μέγιστα απαιτούμενου διαμήκη οπλισμού και συνδετήρων

Θέση [/]	Κόμβ [/]	Κάτω [cm²]	Φορτ [/]	Ανω [cm²]	Φορτ [/]	Συνδετήρες τμ Φ/σ	Φορτ [/]	Διαγ. [cm²]	Φορτ [/]	Διαγ. [cm²]	Φορτ [/]	Κορμός [cm²]	Φορτ [/]
Άνοιγμα Κόμβος	15	19,95	ΣΣ:+x	2,26	1.15G+1.50QE	2τμ.ΣΦ8/18.5	ΣΣ:-z						
Κόμβος	9	19,95	ΣΣ:+x	18,98		2τμ.ΣΦ8/12.5	ΣΣ:-z						
Κόμβος	9	19,95	ΣΣ:+x	15,97		2τμ.ΣΦ8/12.5	ΣΣ:-z						

Ελεγχος Συνάφειας Κόμβων [EC8-1 §5.6.2.2]

Κόμβ [/]	Στύλος [/]	hc [m]	>	hc_min [m]	vd [/]	ρ_bot [o/oo]	ρ_max [o/oo]	dbL [mm]	<	dbL_max [mm]
12	K12	0,50	>	0,39	0,01	9,80	16,60	Φ20	<	Φ25,6
15	K15	1,00	>	0,53	0,02	18,57	25,38	Φ20	<	Φ37,7
9	K9	0,50	>	0,35	0,01	9,29	16,09	Φ18	<	Φ25,7

Απαιτούμενος και τοποθετούμενος διαμήκης οπλισμός [Μέθοδος simplex]

Av. []	Θέση []	Αρχή[r] [cm²]	Ανοιγμα[r] [cm²]	Τέλος[r] [cm²]		Αρχή[p] [cm²]	Ανοιγμα[p] [cm²]	Τέλος[p] [cm²]
1	Πάνω	18,98	2,26	18,98		19,01	6,28	22,37
1	Κάτω	21,13	21,13	19,95		21,49	22,90	40,72
2	Πάνω	18,98	2,26	15,97		22,37	16,08	16,08
2	Κάτω	19,95	19,95	19,95		40,72	20,36	20,36

Ελεγχοι διαμόρφωσης λεπτομερειών για τοπική πλαστιμότητα [EC8-1 §5.4.3.1.2]

Av.	Kομ.	Κατ.	As1_pr [cm²]	As_sl [cm²]	As2_pr [cm²]	As2_ca [cm²]	As2_pr-As2_ca [cm²]	(As1_pr+As_sl)/2 [cm²]	ρ1_pr+ρ_sl [o/oo]	ρmax [o/oo]	ρ2_pr [o/oo]	
1	12	M-	19,01	0,00	21,49	0,37	21,12	>	9,50	8,67	<	16,60
1	12	M+	21,49	0,00	19,01	0,00	19,01	>	10,74	3,41	<	9,82
1	15	M-	22,37	0,00	40,72	0,00	40,72	>	11,18	10,20	<	25,38
1	15	M+	40,72	0,00	22,37	0,00	22,37	>	20,36	6,46	<	18,57
2	15	M-	22,37	0,00	40,72	0,00	40,72	>	11,18	10,20	<	25,38
2	15	M+	40,72	0,00	22,37	0,00	22,37	>	20,36	7,08	<	10,69
2	9	M-	16,08	0,00	20,36	0,00	20,36	>	8,04	7,34	<	16,09
2	9	M+	20,36	0,00	16,08	0,00	16,08	>	10,18	3,54	<	9,29

$$\rho_{\text{max}} = \rho' + \Delta_{\rho} : \Delta_{\rho} = 0,0018 \cdot \frac{f_{cd}}{\mu_{\phi} \cdot \varepsilon_{syd} \cdot f_{yd}} = 6,80 \% : \mu_{\phi} = 5,60$$

Δοκός: Δ4.1, Όροφος -1**Γενικά δεδομένα δοκού**

Κόμβοι	Αρχή: 7	Τέλος: 8	Μέλος: 44	ΣΠΕΜ = 1,00
Διατομή	Πλακοδοκός			

Διαστάσεις	30/200/120/50/5,2 [cm]	Μήκος lcl= 6,75m	Bl= 0,50m	Br= 0,65m
Υλικά	Σκυρόδεμα: C30/37	Χάλυβας: B500C	Συνδετήρες: B500C	
Κανονισμός	KPM	Χωρίς Α.Α.Π.	Ανακατανομή ροπών=Οχι	

Οπλισμοί τοιχώματος υπογείου

Θέση [/]	MEd [kNm]	Κάτω [cm ²]	Άνω [cm ²]	Κατακόρυφα [cm ²]	Οριζόντια [cm ²]
Άνοιγμα	1238,98	10,24	10,24	6,00	6,22

Δοκός: Δ4.2, Όροφος -1**Γενικά δεδομένα δοκού**

Κόμβοι	Αρχή: 8	Τέλος: 9	Μέλος: 45	ΣΠΕΜ = 1,00
Διατομή	Πλακοδοκός		Τοίχωμα Υπογείου	Ακαμπτες απολήξεις
Διαστάσεις	30/200/95/50/5,2 [cm]		Μήκος lcl=4,85m	Bl=0,65m Br=0,50m
Υλικά	Σκυρόδεμα: C30/37		Χάλυβας: B500C	Συνδετήρες: B500C
Κανονισμός	KPM		Χωρίς Α.Α.Π.	Ανακατανομή ροπών=Οχι

Οπλισμοί τοιχώματος υπογείου

Θέση [/]	MEd [kNm]	Κάτω [cm ²]	Άνω [cm ²]	Κατακόρυφα [cm ²]	Οριζόντια [cm ²]
Άνοιγμα	847,83	5,24	5,24	6,00	6,22

Δοκός: Δ5.1, Όροφος -1**Γενικά δεδομένα δοκού**

Κόμβοι	Αρχή: 10	Τέλος: 11	Μέλος: 46	ΣΠΕΜ = 1,00
Διατομή	Πλακοδοκός		Τοίχωμα Υπογείου	Ακαμπτες απολήξεις
Διαστάσεις	30/200/120/50/5,2 [cm]		Μήκος lcl=6,75m	Bl=0,50m Br=0,65m
Υλικά	Σκυρόδεμα: C30/37		Χάλυβας: B500C	Συνδετήρες: B500C
Κανονισμός	KPM		Χωρίς Α.Α.Π.	Ανακατανομή ροπών=Οχι

Οπλισμοί τοιχώματος υπογείου

Θέση [/]	MEd [kNm]	Κάτω [cm ²]	Άνω [cm ²]	Κατακόρυφα [cm ²]	Οριζόντια [cm ²]
Άνοιγμα	1244,32	10,31	10,31	6,00	6,22

Δοκός: Δ5.2, Όροφος -1**Γενικά δεδομένα δοκού**

Κόμβοι	Αρχή: 11	Τέλος: 12	Μέλος: 47	ΣΠΕΜ = 1,00
Διατομή	Πλακοδοκός		Τοίχωμα Υπογείου	Ακαμπτες απολήξεις
Διαστάσεις	30/200/95/50/5,2 [cm]		Μήκος lcl=4,85m	Bl=0,65m Br=0,50m
Υλικά	Σκυρόδεμα: C30/37		Χάλυβας: B500C	Συνδετήρες: B500C
Κανονισμός	KPM		Χωρίς Α.Α.Π.	Ανακατανομή ροπών=Οχι

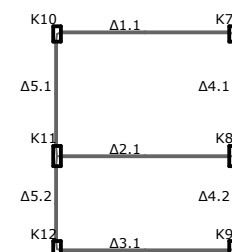
Οπλισμοί τοιχώματος υπογείου

Θέση [/]	MEd [kNm]	Κάτω [cm ²]	Άνω [cm ²]	Κατακόρυφα [cm ²]	Οριζόντια [cm ²]
Άνοιγμα	852,25	5,30	5,30	6,00	6,22

Κάτοψη ορόφου: 0

Ονόματα μελών - κόμβων

1
X



Διαστασιολόγηση δοκών ορόφου: 0

Δοκός: Δ1.1, Όροφος 0

Γενικά δεδομένα δοκού

Κόμβοι	Αρχή: 10	Τέλος: 7	Μέλος: 48	ΣΠΕΜ = 1,00	
Διατομή	Πλακοδοκός		Ανωδομής	Ακαμπτες απολήξεις	
Διαστάσεις	80/70/225/50/5,2 [cm]		Μήκος $l_{cl}=10,90m$	Bl=0,25m	Br=0,25m
Υλικά	Σκυρόδεμα: C30/37		Χάλυβας: B500C	Συνδετήρες: B500C	
Κανονισμός	ΚΠΜ		Κύρια δοκός	Ανακατανομή ροπών=Nαι	

Μέγιστα οπλισμών ροπών κάμψης

Φορτ [/]	Κόμβος [/]	Θέση [m]	MEd [kNm]	NEd [kN]	As1_ca [cm²]	As2_ca [cm²]	As_sl [cm²]	x [m]	As1_rq [cm²]	As2_rq [cm²]	ρ1_rq [o/oo]	E [/]
ΣΣ:+z	10	0,00	-947,28	83,04	37,95	0,00	0,00	0,14	37,95	18,97	7,321	2
ΣΣ:-x	10	0,00	924,67	78,77	34,91	0,00	0,00	0,06	34,91	17,45	6,734	2
1.15G+1.50QA	0	5,45	314,10	95,23	12,48	0,00	0,00	0,03	12,48	3,39	2,407	2
ΣΣ:-x	0	1,09	956,98	78,77	36,13	0,00	0,00	0,06	36,13	3,39	6,970	2
ΣΣ:+z	7	0,00	-956,98	83,04	38,37	0,00	0,00	0,14	38,37	19,18	7,402	2
ΣΣ:-x	7	0,00	923,59	78,77	34,87	0,00	0,00	0,06	34,87	17,43	6,726	2

Ο. Κ. Λειτουργικότητας: Μέγιστα ελέγχου ρηγμάτωσης - wk < 0,30/0,30 [EC2-1-1 §7.3]

Φορτ [/]	Κόμβος [/]	MEd [kNm]	NEd [kN]	As1_pr [cm²]	As2_pr [cm²]	Φερ [mm]	As1min [cm²]	sm [mm]	σς [MPa]	σς_max [MPa]	wk [mm]	Προσθ.1 [/]	Προσθ.2 [/]
1.00[G+ψ2xQ]	0	341,37	74,99	37,70	3,39	20,0	8,45	63	159,4	349,5	0,13		
1.00[G+ψ2xQ]	10	-268,37	74,99	39,02	37,70	17,3	5,92	44	138,0	365,2	0,10		
1.00[G+ψ2xQ]	7	-273,75	74,99	39,02	37,70	17,3	5,91	44	140,4	365,2	0,10		

Ο. Κ. Λειτουργικότητας: Συνθήκη απαλλαγής αναλυτικού υπολογισμού βέλους [EC2-1-1 §7.4]

I [m]	d [m]	K [/]	Θέση [/]	ρ0 [o/oo]	ρ1_ca [o/oo]	ρ2_ca [o/oo]	I/d [/]	<	(I/d)lim [/]
11,40	0,65	1,00	0	5,477	1,300	0,000	17,6	<	179,1

Μέγιστα οπλισμών διάτμησης και στρέψης

Φορτ [/]	Κόμβος [/]	Θέση [m]	VEdmax [kN]	ζ	TEd [kNm]	Θέση [kN]	VED [m]	V'Rdc [kN]	VRdc [kN]	cotθ [/]	Συνδετήρες τμ.[mm/cm/cm]	As45 [cm²]	Asl [cm²]
ΣΣ:+z	10	0,00	400,98	0,12	13,00	0,65	374,26	349,02	269,46	2,50	3τμ.ΣΦ8/9.5/20		
ΣΣ:+z	7	0,00	401,97	0,12	13,00	0,65	375,25	349,02	269,46	2,50	3τμ.ΣΦ8/9.5/20		

* Αντίσταση σε ροπή στρέψης σχεδιασμού $T_{Rdmax} = 620,62kNm$ - Ροπή στρέψης κατά την ρηγμάτωση $T_{Rdc} = 159,07kNm$ - $V_{Rdmax} = 2463,44kN$

Μέγιστα απαιτούμενου διαμήκη οπλισμού και συνδετήρων

Θέση [/]	Κόμβος [/]	Κάτω [cm²]	Φορτ [/]	Ανω [cm²]	Φορτ [/]	Συνδετήρες τμ [Φ/s]	Φορτ [/]	Διαγ. [cm²]	Φορτ [/]	Διαγ. [cm²]	Φορτ [/]	Κορμός [cm²]	Φορτ [/]
Άνοιγμα		36,13	ΣΣ:-x	3,39	1.15G+1.50QA	3τμ.ΣΦ8/20	ΣΣ:+z						
Κόμβος	10	34,91	ΣΣ:-x	37,95	ΣΣ:+z	3τμ.ΣΦ8/9.5	ΣΣ:+z						
Κόμβος	7	34,87	ΣΣ:-x	38,37	ΣΣ:+z	3τμ.ΣΦ8/9.5	ΣΣ:+z						

Ελεγχος Συνάφειας Κόμβων [EC8-1 §5.6.2.2]

Κόμβος [/]	Στύλος [/]	hc [m]	>	hc_min [m]	vd [/]	ρ_bot [o/oo]	ρ_max [o/oo]	dbL [mm]	<	dbL_max [mm]
10	K10	0,50	>	0,38	0,05	7,27	14,07	Φ20	<	Φ26,3
7	K7	0,50	>	0,38	0,05	7,27	14,07	Φ20	<	Φ26,3

Απαιτούμενος και τοποθετούμενος διαμήκης οπλισμός [Μέθοδος simplex]

Av. [/]	Θέση [/]	Αρχή[r] [cm²]	Ανοιγμα[r] [cm²]	Τέλος[r] [cm²]		Αρχή[p] [cm²]	Ανοιγμα[p] [cm²]	Τέλος[p] [cm²]
1	Πάνω	37,95	3,39	38,37		39,02	3,39	39,02
1	Κάτω	34,91	36,13	34,87		37,70	37,70	37,70

Ελεγχοι διαμόρφωσης λεπτομερειών για τοπική πλαστιμότητα [EC8-1 §5.4.3.1.2]

Av.	Κομ.	Κατ.	As1_pr	As_sl	As2_pr	As2_ca	As2_pr-As2_ca	(As1_pr+As_sl)/2	ρ1_pr+ρ_sl	ρmax	ρ2_pr
[/]	[/]	[/]	[cm²]	[cm²]	[cm²]	[cm²]	[cm²]	[cm²]	[o/oo]	[o/oo]	[o/oo]
1	10	M-	39,02	0,00	37,70	0,00	37,70	>	19,51	7,53	<
1	10	M+	37,70	0,00	39,02	0,00	39,02	>	18,85	2,59	<
1	7	M-	39,02	0,00	37,70	0,00	37,70	>	19,51	7,53	<
1	7	M+	37,70	0,00	39,02	0,00	39,02	>	18,85	2,59	<

$$\rho_{max} = \rho' + \Delta_{\rho} : \Delta_{\rho} = 0.0018 \cdot \frac{f_{cd}}{\mu_{\phi} \cdot \epsilon_{syd} \cdot f_{yd}} = 6,80 \% : \mu_{\phi} = 5,60$$

Δοκός: Δ2.1, Όροφος 0

Γενικά δεδομένα δοκού

Κόμβοι	Αρχή: 11	Τέλος: 8	Μέλος: 49	ΣΠΕΜ = 1,00
Διατομή	Πλακοδοκός		Ανωδομής	Ακαμπτες απολήξεις
Διαστάσεις	80/70/360/50/5,2 [cm]		Μήκος lcl=10,90m	Bl=0,25m Br=0,25m
Υλικά	Σκυρόδεμα: C30/37		Χάλυβας: B500C	Συνδετήρες: B500C
Κανονισμός	ΚΠΜ		Κύρια δοκός	Ανακατανομή ροπών=Nαι

Μέγιστα οπλισμών ροπών κάμψης

Φορτ [/]	Κόμβ [/]	Θέση [m]	MEd [kNm]	NEd [kN]	As1_ca [cm²]	As2_ca [cm²]	As_sl [cm²]	x [m]	As1_rq [cm²]	As2_rq [cm²]	ρ1_rq [o/oo]	E [%]
1.15G+1.50QA	ΣΣ:+z	11	0,00	-1477,11	166,18	60,65	11,35	0,00	0,18	60,65	41,68	11,699 2
	ΣΣ:+z	11	0,00	-1477,11	143,52	60,38	11,61	0,00	0,18	60,38	41,81	11,647 2
	0	5,45	735,23	199,30	29,06	0,00	0,00	0,04	29,06	3,39	5,606	2
	ΣΣ:+z	0	3,27	1483,69	166,18	56,49	0,00	0,00	0,06	56,49	3,39	10,897 2
	ΣΣ:+z	8	0,00	-1483,69	166,18	60,92	11,49	0,00	0,18	60,92	41,95	11,752 2
	ΣΣ:+z	8	0,00	-1483,69	143,52	60,66	11,75	0,00	0,18	60,66	42,08	11,701 2

Ο. Κ. Λειτουργικότητας: Μέγιστα ελέγχου ρηγμάτωσης - wk < 0,30/0,30 [EC2-1-1 §7.3]

Φορτ [/]	Κόμβ [/]	MEd [kNm]	NEd [kN]	As1_pr [cm²]	As2_pr [cm²]	Φερ [mm]	As1min [cm²]	sm [mm]	σs [MPa]	σs_max [MPa]	wk [mm]	Προσθ.1 [%]	Προσθ.2 [%]
1.00[G+ψ2xQ]	0	848,78	154,85	56,55	3,39	20,0	8,87	41	260,9	367,3	0,21		
1.00[G+ψ2xQ]	11	-690,15	154,85	61,92	43,98	17,5	5,89	38	223,4	369,6	0,17		
1.00[G+ψ2xQ]	8	-694,86	154,85	61,92	43,98	17,5	5,89	38	224,8	369,6	0,17		

Ο. Κ. Λειτουργικότητας: Συνθήκη απαλλαγής αναλυτικού υπολογισμού βέλους [EC2-1-1 §7.4]

I [m]	d [m]	K [%]	Θέση [/]	ρ0 [o/oo]	ρ1_ca [o/oo]	ρ2_ca [o/oo]	I/d [/]	<	(I/d)lim [/]
11,40	0,65	1,00	0	5,477	2,042	0,000	17,6	<	41,6

Μέγιστα οπλισμών διάτμησης και στρέψης

Φορτ [/]	Κόμβ [/]	Θέση [m]	VEdmax [kN]	ζ [/]	TEd [kNm]	Θέση [kN]	VED [m]	V'Rdc [kN]	VRdc [kN]	cotθ [/]	Συνδετήρες τμ.[mm/cm/cm]	As45 [cm²]	Asl [cm²]
ΣΣ:+z	11	0,00	805,81	0,40	20,07	0,65	738,56	349,46	313,33	2,27	3τμ.ΣΦ8/9,5/11,5		
ΣΣ:+z	8	0,00	806,68	0,40	20,07	0,65	739,43	349,46	313,33	2,27	3τμ.ΣΦ8/9,5/11,5		

* Αντίσταση σε ροπή στρέψης σχεδιασμού TRdmax = 620,62kNm - Ροπή στρέψης κατά την ρηγμάτωση TRdc = 159,07kNm - VRdmax = 2463,44kN

Μέγιστα απαιτούμενου διαμήκη οπλισμού και συνδετήρων

Θέση [/]	Κόμβ [/]	Κάτω [cm²]	Φορτ [/]	Ανω [cm²]	Φορτ [/]	Συνδετήρες τμ Φ/σ []	Φορτ [/]	Διαγ. [cm²]	Φορτ [/]	Διαγ. [cm²]	Φορτ [/]	Κορμός [cm²]	Φορτ [/]
Άνοιγμα		56,49	ΣΣ:+z	3,39	1.15G+1.50QA	3τμ.ΣΦ8/11,5	ΣΣ:+z						
Κόρβος	11	41,81	ΣΣ:+z	60,65		3τμ.ΣΦ8/9,5	ΣΣ:+z						
Κόμβος	8	42,08	ΣΣ:+z	60,92		3τμ.ΣΦ8/9,5	ΣΣ:+z						

Ελεγχος Συνάφειας Κόμβων [EC8-1 §5.6.2.2]

Κόμβ [/]	Στύλος [/]	hc [m]	>	hc_min [m]	vd [/]	ρ_bot [o/oo]	ρ_max [o/oo]	dbL [mm]	<	dbL_max [mm]
11	K11	0,50	>	0,36	0,10	8,48	15,29	Φ20	<	Φ27,8
8	K8	0,50	>	0,36	0,10	8,48	15,29	Φ20	<	Φ27,8

Απαιτούμενος και τοποθετούμενος διαμήκης οπλισμός [Μέθοδος simplex]

Av. []	Θέση []	Αρχή[r] [cm²]	Ανοιγμα[r] [cm²]	Τέλος[r] [cm²]		Αρχή[p] [cm²]	Ανοιγμα[p] [cm²]	Τέλος[p] [cm²]
1	Πάνω	60,65	3,39	60,92		61,92	3,39	61,92
1	Κάτω	41,81	56,49	42,08		43,98	56,55	43,98

Ελεγχοι διαμόρφωσης λεπτομερειών για τοπική πλαστιμότητα [EC8-1 §5.4.3.1.2]

Av. []	Κομ [/]	Κατ. [/]	As1_pr [cm²]	As_sl [cm²]	As2_pr [cm²]	As2_ca [cm²]	(As1_pr+As_sl)/2 [cm²]	ρ1_pr+ρ_sl [o/oo]	ρmax [o/oo]	ρ2_pr [o/oo]	
1	11	M-	61,92	0,00	43,98	11,61	32,37	>	30,96	11,94	<
1	11	M+	43,98	0,00	61,92	0,00	61,92	>	21,99	1,89	<
1	8	M-	61,92	0,00	43,98	11,75	32,23	>	30,96	11,94	<
1	8	M+	43,98	0,00	61,92	0,00	61,92	>	21,99	1,89	<

$$\rho_{\text{max}} = \rho' + \Delta_{\rho} : \Delta_{\rho} = 0.0018 \cdot \frac{f_{cd}}{\mu_{\phi} \cdot \varepsilon_{syd} \cdot f_{yd}} = 6,80 \% : \mu_{\phi} = 5,60$$

Δοκός: Δ3.1, Όροφος 0**Γενικά δεδομένα δοκού**

Κόμβοι	Αρχή: 12	Τέλος: 9	Μέλος: 50	ΣΠΕΜ = 1,00
Διατομή	Πλακοδοκός		Ανωδομής	Ακαμπτες απολήξεις
Διαστάσεις	80/70/205/50/5,2 [cm]		Μήκος lcl=10,90m	Bl=0,25m Br=0,25m
Υλικά	Σκυρόδεμα: C30/37		Χάλυβας: B500C	Συνδετήρες: B500C
Κανονισμός	ΚΠΜ		Κύρια δοκός	Ανακατανομή ροπών=Nαι

Μέγιστα οπλισμών ροπών κάμψης

Φορτ [/]	Κόμβος [/]	Θέση [m]	MEd [kNm]	NEd [kN]	As1_ca [cm²]	As2_ca [cm²]	As_sl [cm²]	x [m]	As1_rq [cm²]	As2_rq [cm²]	ρ1_rq [o/oo]	E [/]
ΣΣ:+z ΣΣ:+x 1.15G+1.50QA ΣΣ:+x ΣΣ:+z ΣΣ:+x	12	0,00	-899,15	76,85	35,81	0,00	0,00	0,13	35,81	17,90	6,908	2
	12	0,00	889,65	73,31	33,60	0,00	0,00	0,06	33,60	16,80	6,481	2
	0	5,45	284,19	88,20	11,32	0,00	0,00	0,03	11,32	3,39	2,184	2
	0	1,09	908,58	73,31	34,32	0,00	0,00	0,06	34,32	3,39	6,620	2
	9	0,00	-908,58	76,85	36,21	0,00	0,00	0,13	36,21	18,10	6,985	2
	9	0,00	888,60	73,31	33,56	0,00	0,00	0,06	33,56	16,78	6,474	2

Ο. Κ. Λειτουργικότητας: Μέγιστα ελέγχου ρηγμάτωσης - wk < 0,30/0,30 [EC2-1-1 §7.3]

Φορτ [/]	Κόμβος [/]	MEd [kNm]	NEd [kN]	As1_pr [cm²]	As2_pr [cm²]	Φερ [mm]	As1min [cm²]	sm [mm]	σ [MPa]	σ_max [MPa]	wk [mm]	Προσθ.1 [/]	Προσθ.2 [/]
1.00[G+ψ2xQ]	0	304,56	69,64	34,56	3,39	20,0	8,47	69	155,6	344,5	0,13		
1.00[G+ψ2xQ]	12	-244,91	69,64	36,47	34,56	17,2	6,01	46	134,6	362,9	0,10		
1.00[G+ψ2xQ]	9	-250,15	69,64	36,47	34,56	17,2	6,00	46	137,1	362,9	0,10		

Ο. Κ. Λειτουργικότητας: Συνθήκη απαλλαγής αναλυτικού υπολογισμού βέλους [EC2-1-1 §7.4]

I [m]	d [m]	K [/]	Θέση [/]	p0 [o/oo]	ρ1_ca [o/oo]	ρ2_ca [o/oo]	I/d [/]	<	(I/d)lim [/]
11,40	0,65	1,00	0	5,477	1,272	0,000	17,6	<	190,5

Μέγιστα οπλισμών διάτμησης και στρέψης

Φορτ [/]	Κόμβος [/]	Θέση [m]	VEdmax [kN]	ζ [/]	TEd [kNm]	Θέση [kN]	VEd [m]	V'Rdc [kN]	VRdc [kN]	cotθ [/]	Συνδετήρες τμ.[mm/cm/cm]	As45 [cm²]	Asl [cm²]
ΣΣ:+x	12	0,00	366,62	0,10	2,15	0,65	342,53	349,22	262,62	2,50	3τμ.ΣΦ8/9,5/20		
ΣΣ:+x	9	0,00	367,58	0,10	2,15	0,65	343,49	349,09	263,10	2,50	3τμ.ΣΦ8/9,5/20		

* Αντίσταση σε ροπή στρέψης σχεδίασμού TRdmax = 620,62kNm - Ροπή στρέψης κατά την ρηγμάτωση TRdc = 159,07kNm - VRdmax = 2463,44kN

Μέγιστα απαιτούμενου διαμήκη οπλισμού και συνδετήρων

Θέση [/]	Κόμβος [/]	Κάτω [cm²]	Φορτ [/]	Άνω [cm²]	Φορτ [/]	Συνδετήρες [τμ Φ/σ]	Φορτ [/]	Διαγ. [cm²]	Φορτ [/]	Διαγ. [cm²]	Φορτ [/]	Κορμός [cm²]	Φορτ [/]
Άνοιγμα		34,32	ΣΣ:+x	3,39	1.15G+1.50QA	3τμ.ΣΦ8/20	ΣΣ:+x						
Κόμβος	12	33,60	ΣΣ:+x	35,81	ΣΣ:+z	3τμ.ΣΦ8/9,5	ΣΣ:+x						
Κόμβος	9	33,56	ΣΣ:+x	36,21	ΣΣ:+z	3τμ.ΣΦ8/9,5	ΣΣ:+x						

Ελεγχος Συνάφειας Κόμβων [EC8-1 §5.6.2.2]

Κόμβος [/]	Στύλος [/]	hc [m]	>	hc_min [m]	vd [/]	ρ_bot [o/oo]	ρ_max [o/oo]	dbL [mm]	<	dbL_max [mm]
12	K12	0,50	>	0,39	0,02	6,67	13,47	Φ20	<	Φ25,6
9	K9	0,50	>	0,39	0,02	6,67	13,47	Φ20	<	Φ25,6

Απαιτούμενος και τοποθετούμενος διαμήκης οπλισμός [Μέθοδος simplex]

Av. []	Θέση []	Αρχή[r] [cm²]	Ανοιγμα[r] [cm²]	Τέλος[r] [cm²]	Αρχή[p] [cm²]	Ανοιγμα[p] [cm²]	Τέλος[p] [cm²]
1	Πάνω	35,81	3,39	36,21	36,47	3,39	36,47
1	Κάτω	33,60	34,32	33,56	34,56	34,56	34,56

Ελεγχοι διαμόρφωσης λεπτομερειών για τοπική πλαστιμότητα [EC8-1 §5.4.3.1.2]

Av. []	Κομ [/]	Κατ. [/]	As1_pr [cm²]	As1_sl [cm²]	As2_pr [cm²]	As2_ca [cm²]	As2_pr-As2_ca [cm²]	(As1_pr+As1_sl)/2 [cm²]	ρ1_pr+ρ1_sl [o/oo]	ρmax [o/oo]	ρ2_pr [o/oo]
1	12	M-	36,47	0,00	34,56	0,00	34,56	>	18,24	7,04	<
1	12	M+	34,56	0,00	36,47	0,00	36,47	>	17,28	2,60	<
1	9	M-	36,47	0,00	34,56	0,00	34,56	>	18,24	7,04	<
1	9	M+	34,56	0,00	36,47	0,00	36,47	>	17,28	2,60	<

$$\rho_{\text{max}} = \rho' + \Delta_{\rho} : \Delta_{\rho} = 0,0018 \cdot \frac{f_{cd}}{\mu_{\phi} \cdot \epsilon_{syd} \cdot f_{yd}} = 6,80 \% : \mu_{\phi} = 5,60$$

Δοκός: Δ4.1, Όροφος 0**Γενικά δεδομένα δοκού**

Κόμβοι	Αρχή: 7	Τέλος: 8	Μέλος: 51	ΣΠΕΜ = 1,00
Διατομή	Πλακοδόκος			
Διαστάσεις	40/90/130/50/5,2 [cm]			
Υλικά	Σκυρόδεμα: C30/37			
Κανονισμός	Χάλυβας: B500C			
	Συνδετήρες: B500C			
	Ανακατανομή ροπών=Ναι			

Μέγιστα οπλισμών ροπών κάμψης

Φορτ [/]	Κόμβος [/]	Θέση [m]	MEd [kNm]	NEd [kN]	As1_ca [cm²]	As2_ca [cm²]	As_sl [cm²]	x [m]	As1_rq [cm²]	As2_rq [cm²]	ρ1_rq [o/oo]	E [/]
ΣΣ:+x ΣΣ:+z 1.15G+1.50QA ΣΣ:+x ΣΣ:+z ΣΣ:+x	7	0,00	-950,49	50,25	29,51	0,00	0,00	0,22	29,51	14,75	8,700	2
	7	0,00	950,49	32,05	27,09	0,00	0,00	0,08	27,09	13,54	7,986	2
	0	3,38	71,33	27,32	2,27	0,00	0,00	0,02	5,11	2,26	1,506	2
	0	0,00	950,49	32,05	27,09	0,00	0,00	0,08	27,09	2,26	7,986	2
	8	0,00	-950,49	50,25	29,51	0,00	14,58	0,22	22,13	18,35	6,524	2
												Π

Μέγιστα οπλισμών ροπών κάμψης

Φορτ [/]	Κόμβ [/]	Θέση [m]	MEd [kNm]	NEd [kN]	As1_ca [cm²]	As2_ca [cm²]	As_sl [cm²]	x [m]	As1_rq [cm²]	As2_rq [cm²]	ρ1_rq [o/oo]	E [/]
ΣΣ:+z	8	0,00	950,49	32,05	27,09	0,00	0,00	0,08	27,09	13,54	7,986	2

Ο. Κ. Λειτουργικότητας: Μέγιστα ελέγχου ρηγμάτωσης - wk < 0,30/0,30 [EC2-1-1 §7.3]

Φορτ [/]	Κόμβ [/]	MEd [kNm]	NEd [kN]	As1_pr [cm²]	As2_pr [cm²]	Φερ [mm]	As1min [cm²]	sm [mm]	σ [MPa]	σ_max [MPa]	wk [mm]	Προσθ.1 [/]	Προσθ.2 [/]
1.00[G+ψ2xQ]	0	75,62	22,37	28,27	2,26	20,0	4,88	40	36,8	368,0	0,02		
1.00[G+ψ2xQ]	7	-136,02	22,37	30,25	28,27	17,4	2,93	37	66,7	369,6	0,03		
1.00[G+ψ2xQ]	8	-77,67	22,37	30,54	30,54	19,1	2,99	39	30,5	368,0	0,02		

Ο. Κ. Λειτουργικότητας: Συνθήκη απαλλαγής αναλυτικού υπολογισμού βέλους [EC2-1-1 §7.4]

I [m]	d [m]	K [/]	Θέση [/]	ρ0 [o/oo]	ρ1_ca [o/oo]	ρ2_ca [o/oo]	l/d [/]	<	(l/d)lim [/]
7,65	0,85	1,30	0	5,477	0,299	0,000	9,0	<	200,0

Μέγιστα οπλισμών διάτμησης και στρέψης

Φορτ [/]	Κόμβ [/]	Θέση [m]	VEdmax [kN]	ζ [/]	TEd [kNm]	Θέση [kN]	VEd [m]	V'Rdc [kN]	VRdc [kN]	cotθ [/]	Συνδετήρες τμ.[mm/cm/cm]	As45 [cm²]	Asl [cm²]
ΣΣ:+x	7	0,00	501,12	-0,42	13,27	0,85	473,95	227,66	180,87	2,31	2τμ.ΣΦ8/9.5/16		
ΣΣ:+x	8	0,00	425,55	-0,67	13,27	0,85	398,39	227,66	181,43	2,50	2τμ.ΣΦ8/9.5/20		

* Αντίσταση σε ροπή στρέψης σχεδιασμού TRdmax = 291,22kNm - Ροπή στρέψης κατά την ρηγμάτωση TRdc = 74,64kNm - VRdmax = 1611,88kN

Μέγιστα απαιτούμενου διαμήκη οπλισμού και συνδετήρων

Θέση [/]	Κόμβ [/]	Κάτω [cm²]	Φορτ [/]	Ανω [cm²]	Φορτ [/]	Συνδετήρες [τμ Φ/σ]	Φορτ [/]	Διαγ. [cm²]	Φορτ [/]	Διαγ. [cm²]	Φορτ [/]	Κορμός [cm²]	Φορτ [/]
Άνοιγμα		27,09	ΣΣ:+z	2,26	1.15G+1.50QA	2τμ.ΣΦ8/16	ΣΣ:+x						
Κόμβος	7	27,09	ΣΣ:+z	29,51	ΣΣ:+x	2τμ.ΣΦ8/9.5	ΣΣ:+x						
Κόμβος	8	27,19	ΣΣ:+z	22,13	ΣΣ:+x	2τμ.ΣΦ8/9.5	ΣΣ:+x						

Δοκός: Δ4.2, Όροφος 0**Γενικά δεδομένα δοκού**

Κόμβοι	Αρχή: 8	Τέλος: 9	Μέλος: 52	ΣΠΕΜ = 1,00
Διαστομή	Πλακοδόκος		Ανωδομής	Ακαμπτες απολήξεις
Διαστάσεις	40/90/105/50/5,2 [cm]		Μήκος Icl=4,85m	Bl=0,65m Br=0,50m
Υλικά	Σκυρόδεμα: C30/37		Χάλυβας: B500C	Συνδετήρες: B500C
Κανονισμός	ΚΠΜ		Κύρια δοκός	Ανακατανομή ροπών=Nai

Μέγιστα οπλισμών ροπών κάμψης

Φορτ [/]	Κόμβ [/]	Θέση [m]	MEd [kNm]	NEd [kN]	As1_ca [cm²]	As2_ca [cm²]	As_sl [cm²]	x [m]	As1_rq [cm²]	As2_rq [cm²]	ρ1_rq [o/oo]	E [/]
ΣΣ:+x	8	0,00	-950,49	28,88	29,31	0,00	14,58	0,23	21,98	18,28	6,480	2 η
ΣΣ:+z	8	0,00	950,49	25,97	27,19	0,00	0,00	0,09	27,19	13,59	8,016	2
1.15G+1.50QB	0	1,94	29,62	18,76	1,03	0,00	0,00	0,01	5,11	2,26	1,506	2
ΣΣ:+z	0	0,00	950,49	25,97	27,19	0,00	0,00	0,09	27,19	2,26	8,016	2
ΣΣ:+x	9	0,00	-933,79	28,88	28,73	0,00	0,00	0,22	28,73	14,36	8,470	2
ΣΣ:+z	9	0,00	950,49	25,97	27,19	0,00	0,00	0,09	27,19	13,59	8,016	2

Ο. Κ. Λειτουργικότητας: Μέγιστα ελέγχου ρηγμάτωσης - wk < 0,30/0,30 [EC2-1-1 §7.3]

Φορτ [/]	Κόμβ [/]	MEd [kNm]	NEd [kN]	As1_pr [cm²]	As2_pr [cm²]	Φερ [mm]	As1min [cm²]	sm [mm]	σ [MPa]	σ_max [MPa]	wk [mm]	Προσθ.1 [/]	Προσθ.2 [/]
1.00[G+ψ2xQ]	0	34,00	14,81	28,27	28,27	20,0	4,76	40	17,3	368,0	0,01		
1.00[G+ψ2xQ]	8	-25,35	14,81	30,54	56,55	19,1	3,24	39	11,3	368,0	0,01		
1.00[G+ψ2xQ]	9	-75,34	14,81	29,41	28,27	19,5	3,06	40	38,6	368,0	0,02		

Ο. Κ. Λειτουργικότητας: Συνθήκη απαλλαγής αναλυτικού υπολογισμού βέλους [EC2-1-1 §7.4]

I [m]	d [m]	K [/]	Θέση [/]	ρ0 [o/oo]	ρ1_ca [o/oo]	ρ2_ca [o/oo]	l/d [/]	<	(l/d)lim [/]
5,75	0,85	1,30	0	5,477	0,177	0,000	6,8	<	200,0

Μέγιστα οπλισμών διάτμησης και στρέψης

Φορτ [/]	Κόμβ [/]	Θέση [m]	VEdmax [kN]	ζ [/]	TEd [kNm]	Θέση [kN]	VEd [m]	V'Rdc [kN]	VRdc [kN]	cotθ [/]	Συνδετήρες τμ.[mm/cm/cm]	As45 [cm²]	Asl [cm²]
ΣΣ:+x	8	0,00	485,72	-0,91	19,18	0,85	466,26	227,67	181,38	2,34	2τμ.ΣΦ8/16/16.5		
ΣΣ:+x	9	0,00	578,74	-0,60	19,18	0,85	554,91	227,67	179,11	2,03	2τμ.ΣΦ8/12/12		

* Αντίσταση σε ροπή στρέψης σχεδιασμού TRdmax = 291,22kNm - Ροπή στρέψης κατά την ρηγμάτωση TRdc = 74,64kNm - VRdmax = 1611,88kN

Μέγιστα απαιτούμενου διαμήκη οπλισμού και συνδετήρων

Θέση [/]	Κόμβ [/]	Κάτω [cm²]	Φορτ [/]	Ανω [cm²]	Φορτ [/]	Συνδετήρες [τμ Φ/σ]	Φορτ [/]	Διαγ. [cm²]	Φορτ [/]	Διαγ. [cm²]	Φορτ [/]	Κορμός [cm²]	Φορτ [/]
Άνοιγμα		27,19	ΣΣ:+z	2,26	1.15G+1.50QB	2τμ.ΣΦ8/12	ΣΣ:+x						
Κόμβος	8	27,19	ΣΣ:+z	22,13	ΣΣ:+x	2τμ.ΣΦ8/12	ΣΣ:+x						
Κόμβος	9	27,19	ΣΣ:+z	28,73	ΣΣ:+x	2τμ.ΣΦ8/12	ΣΣ:+x						

Ελεγχος Συνάφειας Κόμβων [EC8-1 §5.6.2.2]

Κόμβ [/]	Στύλος [/]	hc [m]	>	hc_min [m]	vd [/]	ρ_bot [o/oo]	ρ_max [o/oo]	dbL [mm]	<	dbL_max [mm]
7	K7	1,00	>	0,38	0,05	8,34	14,79	Φ20	<	Φ52,6
8	K8	1,30	>	0,50	0,10	16,67	23,13	Φ20	<	Φ52,0
9	K9	1,00	>	0,39	0,02	8,34	14,79	Φ20	<	Φ51,3

Απαιτούμενος και τοποθετούμενος διαμήκης οπλισμός [Μέθοδος simplex]

Av. []	Θέση []	Αρχή[r] [cm²]	Ανοιγμα[r] [cm²]	Τέλος[r] [cm²]	Αρχή[p] [cm²]	Ανοιγμα[p] [cm²]	Τέλος[p] [cm²]	
1	Πάνω	29,51	2,26	22,13	30,25	2,26	30,54	
1	Κάτω	27,09	27,09	27,19	28,27	28,27	56,55	
2	Πάνω	22,13	2,26	28,73	30,54	28,27	29,41	
2	Κάτω	27,19	27,19	27,19	56,55	28,27	28,27	

Ελεγχοι διαμόρφωσης λεπτομερειών για τοπική πλαστιμότητα [EC8-1 §5.4.3.1.2]

Av.	Κομ [/]	Κατ. [/]	As1_pr [cm²]	As_sl [cm²]	As2_pr [cm²]	As2_ca [cm²]	As2_pr-As2_ca [cm²]	(As1_pr+As_sl)/2 [cm²]	ρ1_pr+p_sl [o/oo]	ρmax [o/oo]	ρ2_pr [o/oo]	
1	7	M-	30,25	0,00	28,27	0,00	28,27	>	15,13	8,92	<	14,79
1	7	M+	28,27	0,00	30,25	0,00	30,25	>	14,14	2,56	<	9,20
1	8	M-	30,54	14,58	56,55	0,00	56,55	>	22,56	13,30	<	23,13
1	8	M+	56,55	0,00	30,54	0,00	30,54	>	28,27	5,13	<	9,23
2	8	M-	30,54	14,58	56,55	0,00	56,55	>	22,56	13,30	<	23,13
2	8	M+	56,55	0,00	30,54	0,00	30,54	>	28,27	6,35	<	9,89
2	9	M-	29,41	0,00	28,27	0,00	28,27	>	14,70	8,67	<	14,79
2	9	M+	28,27	0,00	29,41	0,00	29,41	>	14,14	3,18	<	9,76

$$\rho_{\text{max}} = \rho' + \Delta_{\rho} : \Delta_{\rho} = 0,0018 \cdot \frac{f_{cd}}{\mu_{\phi} \cdot \varepsilon_{syd} \cdot f_{yd}} = 6,46 \% : \mu_{\phi} = 5,90$$

Δοκός: Δ5.1, Όροφος 0

Γενικά δεδομένα δοκού

Κόμβοι	Αρχή: 10	Τέλος: 11	Μέλος: 53	ΣΠΕΜ = 1,00
Διατομή	Πλακοδοκός		Ανωδομής	Ακαμπτες απολήξεις
Διαστάσεις	40/90/130/50/5,2 [cm]		Μήκος lcl=6,75m	Bl=0,50m Br=0,65m
Υλικά	Σκυρόδεμα: C30/37		Χάλυβας: B500C	Συνδετήρες: B500C
Κανονισμός	ΚΠΜ		Κύρια δοκός	Ανακατανομή ροπών=Ναι

Μέγιστα οπλισμών ροπών κάμψης

Φορτ [/]	Κόμβ [/]	Θέση [m]	MEd [kNm]	NEd [kN]	As1_ca [cm²]	As2_ca [cm²]	As_sl [cm²]	x [m]	As1_rq [cm²]	As2_rq [cm²]	ρ1_rq [o/oo]	E [/]
ΣΣ:+x	10	0,00	-944,01	50,09	29,28	0,00	0,00	0,22	29,28	14,64	8,632	2
ΣΣ:-z	10	0,00	944,01	32,14	26,90	0,00	0,00	0,08	26,90	13,45	7,930	2
1.15G+1.50QA	0	4,05	71,75	27,74	2,29	0,00	0,00	0,02	5,11	2,26	1,506	2
ΣΣ:-z	0	0,00	944,01	32,14	26,90	0,00	0,00	0,08	26,90	2,26	7,930	2
ΣΣ:+x	11	0,00	-944,01	50,09	29,28	0,00	14,58	0,22	21,96	18,27	6,474	2
ΣΣ:-z	11	0,00	944,01	32,14	26,90	0,00	0,00	0,08	26,90	13,45	7,930	2

Ο. Κ. Λειτουργικότητας: Μέγιστα ελέγχου ρηγμάτωσης - wk < 0,30/0,30 [EC2-1-1 §7.3]

Φορτ [/]	Κόμβ [/]	MEd [kNm]	NEd [kN]	As1_pr [cm²]	As2_pr [cm²]	Φερ [mm]	As1min [cm²]	sm [mm]	σs [MPa]	σs_max [MPa]	wk [mm]	Προσθ.1 [/]	Προσθ.2 [/]
1.00[G+ψ2xQ]	0	75,65	22,53	28,27	2,26	20,0	4,88	40	36,8	368,0	0,02		
1.00[G+ψ2xQ]	10	-135,76	22,53	30,25	28,27	17,4	2,93	37	66,6	369,6	0,03		
1.00[G+ψ2xQ]	11	-77,86	22,53	30,54	30,54	19,1	2,99	39	30,6	368,0	0,02		

Ο. Κ. Λειτουργικότητας: Συνθήκη απαλλαγής αναλυτικού υπολογισμού βέλους [EC2-1-1 §7.4]

I [m]	d [m]	K [/]	Θέση [/]	ρ0 [o/oo]	ρ1_ca [o/oo]	ρ2_ca [o/oo]	I/d [/]	<	(I/d)lim [/]
7,65	0,85	1,30	0	5,477	0,300	0,000	9,0	<	200,0

Μέγιστα οπλισμών διάτμησης και στρέψης

Φορτ [/]	Κόμβ [/]	Θέση [m]	VEdmax [kN]	ζ [/]	TEd [kNm]	Θέση [kNm]	VEd [m]	V'Rdc [kN]	VRdc [kN]	cotθ [/]	Συνδετήρες τμ.[mm/cm/cm]	As45 [cm²]	Asl [cm²]
ΣΣ:+x	10	0,00	501,06	-0,42	13,19	0,85	473,89	227,66	180,87	2,31	2τμ.ΣΦ8/9.5/16		
ΣΣ:+x	11	0,00	425,62	-0,67	13,19	0,85	398,45	227,66	181,43	2,50	2τμ.ΣΦ8/9.5/20		

* Αντίσταση σε ροπή στρέψης σχεδιασμού TRdmax = 291,22kNm - Ροπή στρέψης κατά την ρηγμάτωση TRdc = 74,64kNm - VRdmax = 1611,88kN

Μέγιστα απαιτούμενου διαμήκη οπλισμού και συνδετήρων

Θέση [/]	Κόμβ [/]	Κάτω [cm²]	Φορτ [/]	Ανω [cm²]	Φορτ [/]	Συνδετήρες τμ φ/σ]	Φορτ [/]	Διαγ. [cm²]	Φορτ [/]	Διαγ. [cm²]	Φορτ [/]	Κορμός [cm²]	Φορτ [/]	
Άνοιγμα		26,90	ΣΣ:-z	2,26	1.15G+1.50QA	2τμ.ΣΦ8/16	ΣΣ:+x							
Κόμβος	10	26,90	ΣΣ:-z	29,28	ΣΣ:+x	2τμ.ΣΦ8/9.5	ΣΣ:+x							
Κόμβος	11	27,00	ΣΣ:-z	21,96	ΣΣ:+x	2τμ.ΣΦ8/9.5	ΣΣ:+x							

Δοκός: Δ5.2, Όροφος 0

Γενικά δεδομένα δοκού

Κόμβοι	Αρχή: 11	Τέλος: 12	Μέλος: 54	ΣΠΕΜ = 1,00
Διατομή	Πλακοδοκός		Ανωδομής	Ακαμπτες απολήξεις
Διαστάσεις	40/90/105/50/5,2 [cm]		Μήκος lcl=4,85m	Bl=0,65m Br=0,50m
Υλικά	Σκυρόδεμα: C30/37		Χάλυβας: B500C	Συνδετήρες: B500C
Κανονισμός	KPM		Κύρια δοκός	Ανακατανομή ροπών=Ναι

Μέγιστα οπλισμών ροπών κάμψης

Φορτ [/]	Κόμβος [/]	Θέση [m]	MEd [kNm]	NEd [kN]	As1_ca [cm²]	As2_ca [cm²]	As_sl [cm²]	x [m]	As1_rq [cm²]	As2_rq [cm²]	ρ1_rq [o/oo]	E [/]
ΣΣ:+x ΣΣ:-z 1.15G+1.50QB ΣΣ:-z ΣΣ:+x ΣΣ:-z	11	0,00	-944,01	28,89	29,09	0,00	14,58	0,22	21,81	18,19	6,430	2 ή
	11	0,00	944,01	26,06	27,00	0,00	0,00	0,09	27,00	13,50	7,960	2
	0	1,94	28,65	18,64	1,00	0,00	0,00	0,01	5,11	2,26	1,506	2
	0	0,00	944,01	26,06	27,00	0,00	0,00	0,09	27,00	2,26	7,960	2
	12	0,00	-927,45	28,89	28,51	0,00	0,00	0,22	28,51	14,25	8,405	2
	12	0,00	944,01	26,06	27,00	0,00	0,00	0,09	27,00	13,50	7,960	2

Ο. Κ. Λειτουργικότητας: Μέγιστα ελέγχου ρηγμάτωσης - wk < 0,30/0,30 [EC2-1-1 §7.3]

Φορτ [/]	Κόμβος [/]	MEd [kNm]	NEd [kN]	As1_pr [cm²]	As2_pr [cm²]	Φεδ [mm]	As1min [cm²]	sm [mm]	σs [MPa]	σs_max [MPa]	wk [mm]	Προσθ.1 [/]	Προσθ.2 [/]
1.00[G+ψ2xQ]	0	34,00	14,94	28,27	28,27	20,0	4,77	40	17,3	368,0	0,01		
1.00[G+ψ2xQ]	11	-25,50	14,94	30,54	56,55	19,1	3,24	39	11,4	368,0	0,01		
1.00[G+ψ2xQ]	12	-75,11	14,94	29,41	28,27	19,5	3,06	40	38,5	368,0	0,02		

Ο. Κ. Λειτουργικότητας: Συνθήκη απαλλαγής αναλυτικού υπολογισμού βέλους [EC2-1-1 §7.4]

I [m]	d [m]	K [/]	Θέση [/]	p0 [o/oo]	ρ1_ca [o/oo]	ρ2_ca [o/oo]	I/d [/]	<	(I/d)lim [/]
5,75	0,85	1,30	0	5,477	0,180	0,000	6,8	<	200,0

Μέγιστα οπλισμών διάτμησης και στρέψης

Φορτ [/]	Κόμβος [/]	Θέση [m]	VEdmax [kN]	ζ [/]	TEd [kNm]	Θέση [kN]	VED [m]	V'Rdc [kN]	VRdc [kN]	cotθ [/]	Συνδετήρες τμ.[mm/cm/cm]	As45 [cm²]	Asl [cm²]
ΣΣ:+x	11	0,00	485,80	-0,91	19,01	0,85	466,18	227,68	181,36	2,35	2τμ.ΣΦ8/16/16.5		
ΣΣ:+x	12	0,00	578,66	-0,60	19,01	0,85	554,83	227,68	179,09	2,03	2τμ.ΣΦ8/12/12		

* Αντίσταση σε ροπή στρέψης σχεδιασμού TRdmax = 291,22kNm - Ροπή στρέψης κατά την ρηγμάτωση TRdc = 74,64kNm - VRdmax = 1611,88kN

Μέγιστα απαιτούμενου διαμήκη οπλισμού και συνδετήρων

Θέση [/]	Κόμβος [/]	Κάτω [cm²]	Φορτ [/]	Ανω [cm²]	Φορτ [/]	Συνδετήρες τμ.Φ/s]	Φορτ [/]	Διαγ. [cm²]	Φορτ [/]	Διαγ. [cm²]	Φορτ [/]	Κορμός [cm²]	Φορτ [/]
Άνοιγμα		27,00	ΣΣ:-z	2,26	1.15G+1.50QB	2τμ.ΣΦ8/12	ΣΣ:+x						
Κόμβος	11	27,00	ΣΣ:-z	21,96	ΣΣ:+x	2τμ.ΣΦ8/12	ΣΣ:+x						
Κόμβος	12	27,00	ΣΣ:-z	28,51	ΣΣ:+x	2τμ.ΣΦ8/12	ΣΣ:+x						

Ελεγχος Συνάφειας Κόμβων [EC8-1 §5.6.2.2]

Κόμβος [/]	Στύλος [/]	hc [m]	>	hc_min [m]	vd [/]	ρ_bot [o/oo]	ρ_max [o/oo]	dbL [mm]	<	dbL_max [mm]
10	K10	1,00	>	0,38	0,05	8,34	14,79	Φ20	<	Φ52,6
11	K11	1,30	>	0,50	0,10	16,67	23,13	Φ20	<	Φ52,0
12	K12	1,00	>	0,39	0,02	8,34	14,79	Φ20	<	Φ51,3

Απαιτούμενος και τοποθετούμενος διαμήκης οπλισμός [Μέθοδος simplex]

Av. []	Θέση []	Αρχή[γ] [cm²]	Ανοιγμα[γ] [cm²]	Τέλος[γ] [cm²]	Αρχή[ρ] [cm²]	Ανοιγμα[ρ] [cm²]	Τέλος[ρ] [cm²]
1	Πάνω	29,28	2,26	21,96	30,25	2,26	30,54
1	Κάτω	26,90	26,90	27,00	28,27	28,27	56,55
2	Πάνω	21,96	2,26	28,51	30,54	28,27	29,41
2	Κάτω	27,00	27,00	27,00	56,55	28,27	28,27

Ελεγχοι διαμόρφωσης λεπτομερειών για τοπική πλαστιμότητα [EC8-1 §5.4.3.1.2]

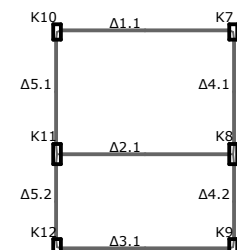
Av. []	Κορ. [/]	Κατ. [/]	As1_pr [cm²]	As_sl [cm²]	As2_pr [cm²]	As2_ca [cm²]	(As1_pr+As_sl)/2 [cm²]	(ρ1_pr+ρ_sl) [o/oo]	ρmax [o/oo]	ρ2_pr [o/oo]	
1	10	M-	30,25	0,00	28,27	0,00	28,27	>	15,13	8,92	<
1	10	M+	28,27	0,00	30,25	0,00	30,25	>	14,14	2,56	<
1	11	M-	30,54	14,58	56,55	0,00	56,55	>	22,56	13,30	<
1	11	M+	56,55	0,00	30,54	0,00	30,54	>	28,27	5,13	<
2	11	M-	30,54	14,58	56,55	0,00	56,55	>	22,56	13,30	<
2	11	M+	56,55	0,00	30,54	0,00	30,54	>	28,27	6,35	<
2	12	M-	29,41	0,00	28,27	0,00	28,27	>	14,70	8,67	<
2	12	M+	28,27	0,00	29,41	0,00	29,41	>	14,14	3,18	<

$$\rho_{\text{max}} = \rho' + \Delta_{\rho} : \Delta_{\rho} = 0,0018 \cdot \frac{f_{cd}}{\mu_{\phi} \cdot \epsilon_{syd} \cdot f_{yd}} = 6,46 \% : \mu_{\phi} = 5,90$$

Κάτοψη ορόφου: 1

Ονόματα μελών - κόμβων

1
X



Διαστασιολόγηση δοκών ορόφου: 1

Δοκός: Δ1.1, Όροφος 1

Γενικά δεδομένα δοκού

Κόμβοι	Αρχή: 10	Τέλος: 7	Μέλος: 55	ΣΠΕΜ = 1,00	
Διατομή	Πλακοδοκός		Ανωδομής	Ακαμπτες απολήξεις	
Διαστάσεις	80/70/225/50/5,2 [cm]		Μήκος $l_{cl}=10,90m$	Bl=0,25m	Br=0,25m
Υλικά	Σκυρόδεμα: C30/37		Χάλυβας: B500C	Συνδετήρες: B500C	
Κανονισμός	ΚΠΜ		Κύρια δοκός	Ανακατανομή ροπών=Nαι	

Μέγιστα οπλισμών ροπών κάμψης

Φορτ [/]	Κόμβος [/]	Θέση [m]	MEd [kNm]	NEd [kN]	As1_ca [cm ²]	As2_ca [cm ²]	As_sl [cm ²]	x [m]	As1_rq [cm ²]	As2_rq [cm ²]	ρ1_rq [o/oo]	E [/]
ΣΣ:+z	10	0,00	-565,18	37,15	21,62	0,00	0,00	0,09	21,62	10,81	4,171	2
ΣΣ:-x	10	0,00	314,69	32,15	11,74	0,00	0,00	0,03	15,03	7,51	2,899	2
1.15G+1.50QB	0	5,45	236,58	29,55	8,86	0,00	0,00	0,03	8,86	3,39	1,709	2
ΣΣ:-x	0	3,27	565,18	32,15	20,95	0,00	0,00	0,04	20,95	3,39	4,041	2
ΣΣ:+z	7	0,00	-565,18	37,15	21,62	0,00	0,00	0,09	21,62	10,81	4,171	2
ΣΣ:+x	7	0,00	205,33	32,14	7,76	0,00	0,00	0,02	15,03	7,51	2,899	2

Ο. Κ. Λειτουργικότητας: Μέγιστα ελέγχου ρηγμάτωσης - wk < 0,30/0,30 [EC2-1-1 §7.3]

Φορτ [/]	Κόμβος [/]	MEd [kNm]	NEd [kN]	As1_pr [cm ²]	As2_pr [cm ²]	Φερ [mm]	As1min [cm ²]	sm [mm]	σς [MPa]	σς_max [MPa]	wk [mm]	Προσθ.1 [/]	Προσθ.2 [/]
1.00[G+ψ2xQ]	0	274,00	31,55	21,99	3,39	20,0	9,17	116	210,9	307,5	0,21		
1.00[G+ψ2xQ]	10	-338,09	31,55	23,75	15,71	16,8	5,92	70	256,4	344,3	0,24		
1.00[G+ψ2xQ]	7	-338,77	31,55	23,75	15,71	16,8	5,92	70	256,9	344,3	0,24		

Ο. Κ. Λειτουργικότητας: Συνθήκη απαλλαγής αναλυτικού υπολογισμού βέλους [EC2-1-1 §7.4]

I [m]	d [m]	K [/]	Θέση [/]	ρ_0 [o/oo]	ρ_1_{ca} [o/oo]	ρ_2_{ca} [o/oo]	I/d [/]	<	(I/d)lim [/]
11,40	0,65	1,00	0	5,477	1,045	0,000	17,6	<	183,8

Μέγιστα οπλισμών διάτμησης και στρέψης

Φορτ [/]	Κόμβος [/]	Θέση [m]	VEdmax [kNm]	ζ	TEd [kNm]	Θέση [kN]	VED [m]	V'Rdc [kN]	VRdc [kN]	cotθ [/]	Συνδετήρες τμ.[mm/cm/cm]	As45 [cm ²]	Asl [cm ²]
ΣΣ:+z	10	0,00	317,51	0,42	7,93	0,65	290,78	348,35	230,23	2,50	3τμ.ΣΦ8/9.5/20		
ΣΣ:+z	7	0,00	317,63	0,42	7,93	0,65	290,91	348,35	230,23	2,50	3τμ.ΣΦ8/9.5/20		

* Αντίσταση σε ροπή στρέψης σχεδιασμού $TR_{Rmax} = 620,62kNm$ - Ροπή στρέψης κατά την ρηγμάτωση $TR_{Rdc} = 159,07kNm$ - $VR_{Rmax} = 2463,44kN$

Μέγιστα απαιτούμενου διαμήκη οπλισμού και συνδετήρων

Θέση [/]	Κόμβος [/]	Κάτω [cm ²]	Φορτ [/]	Ανω [cm ²]	Φορτ [/]	Συνδετήρες [τμ Φ/s]	Φορτ [/]	Διαγ. [cm ²]	Φορτ [/]	Διαγ. [cm ²]	Φορτ [/]	Κορμός [cm ²]	Φορτ [/]
Άνοιγμα		20,95	ΣΣ:-x	3,39	1.15G+1.50QB	3τμ.ΣΦ8/20	ΣΣ:+z						
Κόμβος	10	15,03	ΣΣ:-x	21,62	ΣΣ:+z	3τμ.ΣΦ8/9.5	ΣΣ:+z						
Κόμβος	7	15,03	ΣΣ:+x	21,62	ΣΣ:+z	3τμ.ΣΦ8/9.5	ΣΣ:+z						

Ελεγχος Συνάφειας Κόμβων [EC8-1 §5.6.2.2]

Κόμβος [/]	Στύλος [/]	hc [m]	>	hc_min [m]	vd [/]	ρ_{bot} [o/oo]	ρ_{max} [o/oo]	dbL [mm]	<	dbL_max [mm]
10	K10	0,50	>	0,38	0,04	3,03	9,83	Φ20	<	Φ26,3
7	K7	0,50	>	0,38	0,04	3,03	9,83	Φ20	<	Φ26,3

Απαιτούμενος και τοποθετούμενος διαμήκης οπλισμός [Μέθοδος simplex]

Av. [/]	Θέση [/]	Αρχή[r] [cm ²]	Ανοιγμα[r] [cm ²]	Τέλος[r] [cm ²]		Αρχή[p] [cm ²]	Ανοιγμα[p] [cm ²]	Τέλος[p] [cm ²]
1	Πάνω	21,62	3,39	21,62		23,75	3,39	23,75
1	Κάτω	15,03	20,95	15,03		15,71	21,99	15,71

Ελεγχοι διαμόρφωσης λεπτομερειών για τοπική πλαστιμότητα [EC8-1 §5.4.3.1.2]

Av.	Κορ.	Κατ.	As1_pr	As_sl	As2_pr	As2_ca	As2_pr-As2_ca	(As1_pr+As_sl)/2	$\rho_{1_pr+\rho_{sl}}$	ρ_{max}	ρ_{2_pr}	
[/]	[/]	[/]	[cm ²]	[o/oo]	[o/oo]	[o/oo]						
1	10	M-	23,75	0,00	15,71	0,00	15,71	>	11,88	4,58	<	9,83
1	10	M+	15,71	0,00	23,75	0,00	23,75	>	7,85	1,08	<	8,43
1	7	M-	23,75	0,00	15,71	0,00	15,71	>	11,88	4,58	<	9,83
1	7	M+	15,71	0,00	23,75	0,00	23,75	>	7,85	1,08	<	8,43

$$\rho_{max} = \rho' + \Delta_{\rho} : \Delta_{\rho} = 0.0018 \cdot \frac{f_{cd}}{\mu_{\phi} \cdot \varepsilon_{syd} \cdot f_{yd}} = 6,80 \% : \mu_{\phi} = 5,60$$

Δοκός: Δ2.1, Όροφος 1

Γενικά δεδομένα δοκού

Κόμβοι	Αρχή: 11	Τέλος: 8	Μέλος: 56	ΣΠΕΜ = 1,00
Διατομή	Πλακοδοκός		Ανωδομής	Ακαμπτες απολήξεις
Διαστάσεις	80/70/360/50/5,2 [cm]		Μήκος Icl=10,90m	Bl=0,25m Br=0,25m
Υλικά	Σκυρόδεμα: C30/37		Χάλυβας: B500C	Συνδετήρες: B500C
Κανονισμός	ΚΠΜ		Κύρια δοκός	Ανακατανομή ροπών=Ναι

Μέγιστα οπλισμών ροπών κάμψης

Φορτ [V]	Κόμβ [V]	Θέση [m]	MEd [kNm]	NEd [kN]	As1_ca [cm²]	As2_ca [cm²]	As_sl [cm²]	x [m]	As1_rq [cm²]	As2_rq [cm²]	ρ1_rq [o/oo]	E [V]	
1.35G+1.05QA	11	0,00	-1068,24	106,06	43,51	0,00	0,00	0,16	43,51	21,75	8,393	2	
1.15G+1.50QB	0	5,45	563,16	58,11	21,05	0,00	0,00	0,03	21,05	3,39	4,061	2	
1.35G+1.05QA	0	5,45	1141,63	106,06	42,98	0,00	0,00	0,05	42,98	3,39	8,291	2	
1.35G+1.05QA	8	0,00	-1068,24	106,06	43,51	0,00	0,00	0,16	43,51	21,75	8,393	2	

Ο. Κ. Λειτουργικότητας: Μέγιστα ελέγχου ρηγμάτωσης - wk < 0,30/0,30 [EC2-1-1 §7.3]

Φορτ [V]	Κόμβ [V]	MEd [kNm]	NEd [kN]	As1_pr [cm²]	As2_pr [cm²]	Φερ [mm]	As1min [cm²]	sm [mm]	σ [MPa]	σ_max [MPa]	wk [mm]	Προσθ.1 [V]	Προσθ.2 [V]
1.00[G+ψ2xQ]	0	698,79	65,26	43,98	3,39	20,0	8,41	53	269,0	357,3	0,23		
1.00[G+ψ2xQ]	11	-842,18	65,26	44,11	25,13	17,3	5,39	39	351,8	369,1	0,30		
1.00[G+ψ2xQ]	8	-842,80	65,26	44,11	25,13	17,3	5,39	39	352,1	369,1	0,30		

Ο. Κ. Λειτουργικότητας: Συνθήκη απαλλαγής αναλυτικού υπολογισμού βέλους [EC2-1-1 §7.4]

I [m]	d [m]	K [/]	Θέση [/]	p0 [o/oo]	ρ1_ca [o/oo]	ρ2_ca [o/oo]	l/d [/]	<	(l/d)lim [/]
11,40	0,65	1,00	0	5,477	1,842	0,000	17,6	<	42,2

Μέγιστα οπλισμών διάτμησης και στρέψης

Φορτ [V]	Κόμβ [V]	Θέση [m]	VEdmax [kN]	ζ [V]	TEd [kNm]	Θέση [kN]	VEd [m]	V'Rdc [kN]	VRdc [kN]	cotθ [V]	Συνδετήρες τμ.[mm/cm/cm]	As45 [cm²]	Asl [cm²]
1.35G+1.05Q	11	0,00	810,88	1,00	0,01	0,65	714,46	348,80	281,67	2,34	3τμ.ΣΦ8/9,5/12,5		
1.35G+1.05QA	8	0,00	811,15	1,00	0,03	0,65	714,73	349,06	280,71	2,34	3τμ.ΣΦ8/9,5/12,5		

* Αντίσταση σε ροπή στρέψης σχεδιασμού T Rdmax = 620,62kNm - Ροπή στρέψης κατά την ρηγμάτωση T Rdc = 159,07kNm - V Rdmax = 2463,44kN

Μέγιστα απαιτούμενου διαμήκη οπλισμού και συνδετήρων

Θέση [V]	Κόμβ [V]	Κάτω [cm²]	Φορτ [V]	Ανω [cm²]	Φορτ [V]	Συνδετήρες τμ φ/σ	Φορτ [V]	Διαγ. [cm²]	Φορτ [V]	Διαγ. [cm²]	Φορτ [V]	Κορμός [cm²]	Φορτ [V]
Άνοιγμα		42,98	1.35G+1.05QA	3,39	1.15G+1.50QB	3τμ.ΣΦ8/12,5	1.35G+1.05Q						
Κόμβος	11	21,75	1.35G+1.05QA	43,51	1.35G+1.05QA	3τμ.ΣΦ8/9,5	1.35G+1.05Q						
Κόμβος	8	21,75	1.35G+1.05QA	43,51	1.35G+1.05QA	3τμ.ΣΦ8/9,5	1.35G+1.05QA						

Ελεγχος Συνάφειας Κόμβων [EC8-1 §5.6.2.2]

Κόμβ [V]	Στύλος [V]	hc [m]	>	hc_min [m]	vd [V]	ρ_bot [o/oo]	ρ_max [o/oo]	dbL [mm]	<	dbL_max [mm]
11	K11	0,50	>	0,37	0,07	4,85	11,65	Φ20	<	Φ27,0
8	K8	0,50	>	0,37	0,07	4,85	11,65	Φ20	<	Φ27,0

Απαιτούμενος και τοποθετούμενος διαμήκης οπλισμός [Μέθοδος simplex]

Av. [V]	Θέση [V]	Αρχή[τ] [cm²]	Ανοιγμα[τ] [cm²]	Τέλος[τ] [cm²]	Αρχή[ρ] [cm²]	Ανοιγμα[ρ] [cm²]	Τέλος[ρ] [cm²]
1	Πάνω	43,51	3,39	43,51		44,11	3,39
1	Κάτω	21,75	42,98	21,75		25,13	43,98

Ελεγχοι διαμόρφωσης λεπτομερειών για τοπική πλαστιμότητα [EC8-1 §5.4.3.1.2]

Av.	Κομ [V]	Κατ. [V]	As1_pr [cm²]	As_sl [cm²]	As2_pr [cm²]	As2_ca [cm²]	As2_pr-As2_ca [cm²]	(As1_pr+As_sl)/2 [cm²]	ρ1_pr+ρ_sl [o/oo]	ρmax [o/oo]	ρ2_pr [o/oo]
1	11	M-	44,11	0,00	25,13	0,00	25,13	>	22,05	8,51	<
1	11	M+	25,13	0,00	44,11	0,00	44,11	>	12,57	1,08	<
1	8	M-	44,11	0,00	25,13	0,00	25,13	>	22,05	8,51	<
1	8	M+	25,13	0,00	44,11	0,00	44,11	>	12,57	1,08	<

$$\rho_{\text{max}} = \rho' + \Delta_{\rho} : \Delta_{\rho} = 0.0018 \cdot \frac{f_{cd}}{\mu_{\phi} \cdot \varepsilon_{syd} \cdot f_{yd}} = 6,80 \% : \mu_{\phi} = 5,60$$

Δοκός: Δ3.1, Όροφος 1**Γενικά δεδομένα δοκού**

Κόμβοι	Αρχή: 12	Τέλος: 9	Μέλος: 57	ΣΠΕΜ = 1,00
Διατομή	Πλακοδοκός		Ανωδομής	Ακαμπτες απολήξεις
Διαστάσεις	80/70/205/50/5,2 [cm]		Μήκος Icl=10,90m	Bl=0,25m Br=0,25m
Υλικά	Σκυρόδεμα: C30/37		Χάλυβας: B500C	Συνδετήρες: B500C
Κανονισμός	ΚΠΜ		Κύρια δοκός	Ανακατανομή ροπών=Ναι

Μέγιστα οπλισμών ροπών κάμψης

Φορτ [V]	Κόμβ [V]	Θέση [m]	MEd [kNm]	NEd [kN]	As1_ca [cm²]	As2_ca [cm²]	As_sl [cm²]	x [m]	As1_rq [cm²]	As2_rq [cm²]	ρ1_rq [o/oo]	E [V]	
ΣΣ:-z	12	0,00	-565,84	35,40	21,63	0,00	0,00	0,09	21,63	10,81	4,172	2	
ΣΣ:+x	12	0,00	261,89	30,73	9,81	0,00	0,00	0,03	15,03	7,51	2,899	2	

Μέγιστα οπλισμών ροπών κάμψης

Φορτ [/]	Κόμβη [/]	Θέση [m]	MEd [kNm]	NEd [kN]	As1_ca [cm²]	As2_ca [cm²]	As_sl [cm²]	x [m]	As1_rq [cm²]	As2_rq [cm²]	ρ1_rq [o/oo]	E [/]
1.15G+1.50QB	0	5,45	214,15	28,67	8,05	0,00	0,00	0,02	8,05	3,39	1,553	2
ΣΣ:+x	0	3,27	477,35	30,73	17,71	0,00	0,00	0,04	17,71	3,39	3,416	2
ΣΣ:-z	9	0,00	-565,84	35,40	21,63	0,00	0,00	0,09	21,63	10,81	4,172	2
ΣΣ:-x	9	0,00	156,08	30,72	5,97	0,00	0,00	0,02	15,03	7,51	2,899	2

Ο. Κ. Λειτουργικότητας: Μέγιστα ελέγχου ρηγμάτωσης - wk < 0,30/0,30 [EC2-1-1 §7.3]

Φορτ [/]	Κόμβη [/]	MEd [kNm]	NEd [kN]	As1_pr [cm²]	As2_pr [cm²]	Φερ [mm]	As1min [cm²]	sm [mm]	σs [MPa]	σs_max [MPa]	wk [mm]	Προσθ.1 [/]	Προσθ.2 [/]
1.00[G+ψ2xQ]	0	243,66	30,19	18,85	3,39	20,0	9,67	139	219,0	289,0	0,23		
1.00[G+ψ2xQ]	12	-308,43	30,19	23,75	15,71	16,8	5,99	70	234,5	344,3	0,22		
1.00[G+ψ2xQ]	9	-308,45	30,19	23,75	15,71	16,8	5,99	70	234,5	344,3	0,22		

Ο. Κ. Λειτουργικότητας: Συνθήκη απαλλαγής αναλυτικού υπολογισμού βέλους [EC2-1-1 §7.4]

I [m]	d [m]	K [/]	Θέση [/]	ρ0 [o/oo]	ρ1_ca [o/oo]	ρ2_ca [o/oo]	I/d [/]	<	(I/d)lim [/]
11,40	0,65	1,00	0	5,477	1,018	0,000	17,6	<	184,9

Μέγιστα οπλισμών διάτμησης και στρέψης

Φορτ [/]	Κόμβη [/]	Θέση [m]	VEdmax [kN]	ζ [/]	TEd [kNm]	Θέση [kN]	VED [m]	V'Rdc [kN]	VRdc [kN]	cotθ [/]	Συνδετήρες τμ. [mm/cm/cm]	As45 [cm²]	Asl [cm²]
ΣΣ:+z	12	0,00	295,31	0,37	7,34	0,65	271,22	348,38	230,13	2,50	3τμ.ΣΦ8/9.5/20		
ΣΣ:+z	9	0,00	295,31	0,37	7,34	0,65	271,22	348,38	230,13	2,50	3τμ.ΣΦ8/9.5/20		

* Αντίσταση σε ροπή στρέψης σχεδιασμού TRdmax = 620,62kNm - Ροπή στρέψης κατά την ρηγμάτωση TRdc = 159,07kNm - VRdmax = 2463,44kN

Μέγιστα απαιτούμενου διαμήκη οπλισμού και συνδετήρων

Θέση [/]	Κόμβη [/]	Κάτω [cm²]	Φορτ [/]	Ανω [cm²]	Φορτ [/]	Συνδετήρες τμ. Φ/s []	Φορτ [/]	Διαγ. [cm²]	Φορτ [/]	Διαγ. [cm²]	Φορτ [/]	Κορμός [cm²]	Φορτ [/]
Άνοιγμα		17,71	ΣΣ:+x	3,39	1.15G+1.50QB	3τμ.ΣΦ8/20	ΣΣ:+z						
Κόμβος	12	15,03	ΣΣ:+x	21,63	ΣΣ:-z	3τμ.ΣΦ8/9.5	ΣΣ:+z						
Κόμβος	9	15,03	ΣΣ:-x	21,63	ΣΣ:-z	3τμ.ΣΦ8/9.5	ΣΣ:+z						

Ελεγχος Συνάφειας Κόμβων [EC8-1 §5.6.2.2]

Κόμβη [/]	Στύλος [/]	hc [m]	>	hc_min [m]	vd [/]	ρ_bot [o/oo]	ρ_max [o/oo]	dblL [mm]	<	dblL_max [mm]
12	K12	0,50	>	0,39	0,03	3,03	9,83	Φ20	<	Φ25,6
9	K9	0,50	>	0,39	0,03	3,03	9,83	Φ20	<	Φ25,6

Απαιτούμενος και τοποθετούμενος διαμήκης οπλισμός [Μέθοδος simplex]

Av. []	Θέση [/]	Αρχή[r] [cm²]	Ανοιγμα[r] [cm²]	Τέλος[r] [cm²]	Αρχή[p] [cm²]	Ανοιγμα[p] [cm²]	Τέλος[p] [cm²]
1	Πάνω	21,63	3,39	21,63	23,75	3,39	23,75
1	Κάτω	15,03	17,71	15,03	15,71	18,85	15,71

Ελεγχοι διαμόρφωσης λεπτομερειών για τοπική πλαστιμότητα [EC8-1 §5.4.3.1.2]

Av.	Κομ.	Κατ.	As1_pr	As_sl	As2_pr	As2_ca	As2_pr-As2_ca	(As1_pr+As_sl)/2	ρ1_pr+ρ_sl [o/oo]	ρmax [o/oo]	ρ2_pr [o/oo]
1	12	M-	23,75	0,00	15,71	0,00	15,71	>	11,88	4,58	<
1	12	M+	15,71	0,00	23,75	0,00	23,75	>	7,85	1,18	<
1	9	M-	23,75	0,00	15,71	0,00	15,71	>	11,88	4,58	<
1	9	M+	15,71	0,00	23,75	0,00	23,75	>	7,85	1,18	<

$$\rho_{\text{max}} = \rho' + \Delta_{\rho} : \Delta_{\rho} = 0.0018 \cdot \frac{f_{cd}}{\mu_{\phi} \cdot \epsilon_{syd} \cdot f_{yd}} = 6,80 \% : \mu_{\phi} = 5,60$$

Δοκός: Δ4.1, Όροφος 1**Γενικά δεδομένα δοκού**

Κόμβοι	Αρχή: 7	Τέλος: 8	Μέλος: 58	ΣΠΕΜ = 1,00
Διατομή		Πλακοδόκος	Ανωδομής	Ακαμπτες απολήξεις
Διαστάσεις		40/90/130/50/5,2 [cm]	Μήκος lcl=6,75m	Bl=0,50m Br=0,65m
Υλικά		Συκρόδεμα: C30/37	Χάλυβας: B500C	Συνδετήρες: B500C
Κανονισμός		KPM	Κύρια δοκός	Ανακατανομή ροπών=Nαι

Μέγιστα οπλισμών ροπών κάμψης

Φορτ [/]	Κόμβη [/]	Θέση [m]	MEd [kNm]	NEd [kN]	As1_ca [cm²]	As2_ca [cm²]	As_sl [cm²]	x [m]	As1_rq [cm²]	As2_rq [cm²]	ρ1_rq [o/oo]	E [/]
ΣΣ:-x	7	0,00	-573,14	70,81	17,36	0,00	0,00	0,13	17,36	8,68	5,118	2
ΣΣ:+z	7	0,00	573,14	47,30	16,49	0,00	0,00	0,06	16,49	8,24	4,861	2
1.15G+1.50QD	0	4,05	71,46	23,42	2,23	0,00	0,00	0,02	5,11	2,26	1,506	2
ΣΣ:+z	0	0,00	573,14	47,30	16,49	0,00	0,00	0,06	16,49	2,26	4,861	2
ΣΣ:-x	8	0,00	-573,14	70,81	17,36	0,00	14,58	0,13	13,02	13,80	3,838	2
ΣΣ:+z	8	0,00	573,14	47,30	16,49	0,00	0,00	0,06	16,49	8,24	4,861	2

O. K. Λειτουργικότητας: Μέγιστα ελέγχου ρηγμάτωσης - wk < 0,30/0,30 [EC2-1-1 §7.3]

Φορτ [/]	Κόμβος [/]	MEd [kNm]	NEd [kN]	As1_pr [cm²]	As2_pr [cm²]	Φερ [mm]	As1min [cm²]	sm [mm]	σs [MPa]	σs_max [MPa]	wk [mm]	Προσθ.1 [/]	Προσθ.2 [/]
1.00[G+ψ2xQ]	0	75,00	20,53	18,85	2,26	20,0	5,06	59	53,9	353,0	0,03		
1.00[G+ψ2xQ]	7	-164,97	20,53	17,53	18,85	16,9	2,93	42	133,3	366,2	0,09		
1.00[G+ψ2xQ]	8	-56,97	20,53	21,11	21,11	18,7	3,03	42	32,9	366,4	0,02		

O. K. Λειτουργικότητας: Συνθήκη απαλλαγής αναλυτικού υπολογισμού βέλους [EC2-1-1 §7.4]

I [m]	d [m]	K [/]	Θέση [/]	p0 [o/oo]	ρ1_ca [o/oo]	ρ2_ca [o/oo]	I/d [/]	<	(I/d)lim [/]
7,65	0,85	1,30	0	5,477	0,294	0,000	9,0	<	200,0

Μέγιστα οπλισμών διάτμησης και στρέψης

Φορτ [/]	Κόμβος [/]	Θέση [m]	VEdmax [kN]	ζ [/]	TEd [kNm]	Θέση [kN]	VEd [m]	V'Rdc [kN]	VRdc [kN]	cotθ [/]	Συνδετήρες τμ.[mm/cm/cm]	As45 [cm²]	Asl [cm²]
ΣΣ:+z	7	0,00	370,69	-0,32	11,49	0,85	343,52	227,66	150,79	2,50	2τμ.ΣΦ8/9.5/20		
ΣΣ:+z	8	0,00	335,06	-0,46	11,49	0,85	307,89	227,66	160,43	2,50	2τμ.ΣΦ8/9.5/20		

* Αντίσταση σε ροπή στρέψης σχεδιασμού $TR_{dmax} = 291,22 \text{ kNm}$ - Ροπή στρέψης κατά την ρηγμάτωση $TR_{dc} = 74,64 \text{ kNm}$ - $VR_{dmax} = 1611,88 \text{ kN}$

Μέγιστα απαιτούμενου διαμήκη οπλισμού και συνδετήρων

Θέση [/]	Κόμβος [/]	Κάτω [cm²]	Φορτ [cm²]	Ανω [cm²]	Φορτ [/]	Συνδετήρες τμ.Φ/s]	Φορτ [/]	Διαγ. [cm²]	Φορτ [cm²]				
Άνοιγμα		16,49	ΣΣ:+z	2,26	1.15G+1.50QD	2τμ.ΣΦ8/20	ΣΣ:+z						
Κόμβος	7	16,49	ΣΣ:+z	17,36	ΣΣ:-x	2τμ.ΣΦ8/9.5	ΣΣ:+z						
Κόμβος	8	16,49	ΣΣ:+z	13,02	ΣΣ:-x	2τμ.ΣΦ8/9.5	ΣΣ:+z						

Δοκός: Δ4.2, Όροφος 1**Γενικά δεδομένα δοκού**

Κόμβοι	Αρχή: 8	Τέλος: 9	Μέλος: 59	ΣΠΕΜ = 1,00
Διατομή	Πλακοδοκός		Ανωδομής	Ακαμπτες απολήξεις
Διαστάσεις	40/90/105/50/5,2 [cm]		Μήκος lcl=4,85m	Bl=0,65m Br=0,50m
Υλικά	Σκυρόδεμα: C30/37		Χάλυβας: B500C	Συνδετήρες: B500C
Κανονισμός	ΚΠΜ		Κύρια δοκός	Ανακατανομή ροπών=Ναι

Μέγιστα οπλισμών ροπών κάμψης

Φορτ [/]	Κόμβος [/]	Θέση [m]	MEd [kNm]	NEd [kN]	As1_ca [cm²]	As2_ca [cm²]	As_sl [cm²]	x [m]	As1_rq [cm²]	As2_rq [cm²]	ρ1_rq [o/oo]	E [/]
ΣΣ:-x	8	0,00	-573,14	47,19	17,11	0,00	14,58	0,13	12,83	13,70	3,782	2 π
ΣΣ:-x	8	0,00	571,06	47,19	16,49	0,00	0,00	0,06	16,49	8,24	4,861	2
1.15G+1.50QA	0	1,46	35,99	0,00	0,97	0,00	0,00	0,01	5,11	2,26	1,506	2
ΣΣ:-x	0	0,00	571,06	47,19	16,49	0,00	0,00	0,06	16,49	2,26	4,861	2
ΣΣ:-x	9	0,00	-559,14	47,19	16,68	0,00	0,00	0,13	16,68	8,34	4,917	2
ΣΣ:+z	9	0,00	573,14	39,68	16,46	0,00	0,00	0,06	16,46	8,23	4,853	2

O. K. Λειτουργικότητας: Μέγιστα ελέγχου ρηγμάτωσης - wk < 0,30/0,30 [EC2-1-1 §7.3]

Φορτ [/]	Κόμβος [/]	MEd [kNm]	NEd [kN]	As1_pr [cm²]	As2_pr [cm²]	Φερ [mm]	As1min [cm²]	sm [mm]	σs [MPa]	σs_max [MPa]	wk [mm]	Προσθ.1 [/]	Προσθ.2 [/]
1.00[G+ψ2xQ]	0	40,29	9,89	18,85	18,85	20,0	4,84	59	29,0	353,0	0,02		
1.00[G+ψ2xQ]	8	20,82	9,89	21,11	37,70	18,7	4,77	42	10,7	366,4	0,01		
1.00[G+ψ2xQ]	9	-99,84	9,89	18,85	18,85	20,0	3,13	59	74,2	353,0	0,05		

O. K. Λειτουργικότητας: Συνθήκη απαλλαγής αναλυτικού υπολογισμού βέλους [EC2-1-1 §7.4]

I [m]	d [m]	K [/]	Θέση [/]	p0 [o/oo]	ρ1_ca [o/oo]	ρ2_ca [o/oo]	I/d [/]	<	(I/d)lim [/]
5,75	0,85	1,30	0	5,477	0,199	0,000	6,8	<	200,0

Μέγιστα οπλισμών διάτμησης και στρέψης

Φορτ [/]	Κόμβος [/]	Θέση [m]	VEdmax [kN]	ζ [/]	TEd [kNm]	Θέση [kN]	VEd [m]	V'Rdc [kN]	VRdc [kN]	cotθ [/]	Συνδετήρες τμ.[mm/cm/cm]	As45 [cm²]	Asl [cm²]
ΣΣ:-z	8	0,00	366,51	-0,77	12,74	0,85	342,67	227,66	160,43	2,50	2τμ.ΣΦ8/16/20		
ΣΣ:-z	9	0,00	420,30	-0,55	12,74	0,85	396,47	227,66	154,48	2,50	2τμ.ΣΦ8/16/20		

* Αντίσταση σε ροπή στρέψης σχεδιασμού $TR_{dmax} = 291,22 \text{ kNm}$ - Ροπή στρέψης κατά την ρηγμάτωση $TR_{dc} = 74,64 \text{ kNm}$ - $VR_{dmax} = 1611,88 \text{ kN}$

Μέγιστα απαιτούμενου διαμήκη οπλισμού και συνδετήρων

Θέση [/]	Κόμβος [/]	Κάτω [cm²]	Φορτ [cm²]	Ανω [cm²]	Φορτ [/]	Συνδετήρες τμ.Φ/s]	Φορτ [/]	Διαγ. [cm²]	Φορτ [cm²]	Διαγ. [cm²]	Φορτ [cm²]	Φορτ [cm²]	Φορτ [cm²]
Άνοιγμα		16,49	ΣΣ:-x	2,26	1.15G+1.50QA	2τμ.ΣΦ8/20	ΣΣ:-z						
Κόμβος	8	16,49	ΣΣ:-x	13,02	ΣΣ:-x	2τμ.ΣΦ8/16	ΣΣ:-z						
Κόμβος	9	16,46	ΣΣ:+z	16,68	ΣΣ:-x	2τμ.ΣΦ8/16	ΣΣ:-z						

Ελεγχος Συνάφειας Κόμβων [EC8-1 §5.6.2.2]

Κόμβος [/]	Στύλος [/]	hc [m]	>	hc_min [m]	vd [/]	ρ_bot [o/oo]	ρ_max [o/oo]	dB_L [mm]	<	dB_L_max [mm]
7	K7	1,00	>	0,38	0,04	5,56	12,01	Φ20	<	Φ52,6

Ελεγχος Συνάφειας Κόμβων [EC8-1 §5.6.2.2]

Κόμβ [/]	Στύλος [/]	hc [m]	>	hc_min [m]	vd [/]	ρ_bot [o/oo]	ρ_max [o/oo]	dbL [mm]	<	dbL_max [mm]
8	K8	1,30	>	0,49	0,07	11,11	17,57	Φ20	<	Φ53,1
9	K9	1,00	>	0,39	0,03	5,56	12,01	Φ20	<	Φ51,3

Απαιτούμενος και τοποθετούμενος διαμήκης οπλισμός [Μέθοδος simplex]

Av. []	Θέση []	Αρχή[r] [cm²]	Ανοιγμα[r] [cm²]	Τέλος[r] [cm²]	Αρχή[p] [cm²]	Ανοιγμα[p] [cm²]	Τέλος[p] [cm²]
1	Πάνω	17,36	2,26	13,02	17,53	2,26	21,11
1	Κάτω	16,49	16,49	16,49	18,85	18,85	37,70
2	Πάνω	13,02	2,26	16,68	21,11	18,85	18,85
2	Κάτω	16,49	16,49	16,46	37,70	18,85	18,85

Ελεγχοι διαμόρφωσης λεπτομερειών για τοπική πλαστιμότητα [EC8-1 §5.4.3.1.2]

Av.	Kou	Κατ.	As1_pr	As_sl	As2_pr	As2_ca	As2_pr-As2_ca	(As1_pr+As_sl)/2	ρ1_pr+ρ_sl	ρmax	ρ2_pr
[]	[/]	[/]	[cm²]	[cm²]	[o/oo]	[o/oo]	[o/oo]				
1	7	M-	17,53	0,00	18,85	0,00	18,85	>	8,77	5,17	<
1	7	M+	18,85	0,00	17,53	0,00	17,53	>	9,42	1,71	<
1	8	M-	21,11	14,58	37,70	0,00	37,70	>	17,84	10,52	<
1	8	M+	37,70	0,00	21,11	0,00	21,11	>	18,85	3,42	<
2	8	M-	21,11	14,58	37,70	0,11	37,59	>	17,84	10,52	<
2	8	M+	37,70	0,00	21,11	0,00	21,11	>	18,85	4,23	<
2	9	M-	18,85	0,00	18,85	0,00	18,85	>	9,42	5,56	<
2	9	M+	18,85	0,00	18,85	0,00	18,85	>	9,42	2,12	<

$$\rho_{\text{max}} = \rho' + \Delta_{\rho} : \Delta_{\rho} = 0,0018 \cdot \frac{f_{cd}}{\mu_{\phi} \cdot \epsilon_{syd} \cdot f_{yd}} = 6,46 \% : \mu_{\phi} = 5,90$$

Δοκός: Δ5.1, Όροφος 1

Γενικά δεδομένα δοκού

Κόμβοι	Αρχή: 10	Τέλος: 11	Μέλος: 60	ΣΠΕΜ = 1,00
Διατομή	Πλακοδοκός		Ανωδομής	Ακαμπτες απολήξεις
Διαστάσεις	40/90/130/50/5,2 [cm]		Μήκος lcl=6,75m	Bl=0,50m Br=0,65m
Υλικά	Συκυρόδεμα: C30/37		Χάλυβας: B500C	Συνδετήρες: B500C
Κανονισμός	ΚΠΜ		Κύρια δοκός	Ανακατανομή ροπών=Ναι

Μέγιστα οπλισμών ροπών κάμψης

Φορτ [/]	Κόμβ [/]	Θέση [m]	MEd [kNm]	NEd [kN]	As1_ca [cm²]	As2_ca [cm²]	As_sl [cm²]	x [m]	As1_rq [cm²]	As2_rq [cm²]	ρ1_rq [o/oo]	E [/]
ΣΣ:-x	10	0,00	-568,73	70,20	17,22	0,00	0,00	0,13	17,22	8,61	5,077	2
ΣΣ:-z	10	0,00	568,73	47,26	16,37	0,00	0,00	0,05	16,37	8,18	4,826	2
1.15G+1.50QD	0	4,05	70,79	23,29	2,21	0,00	0,00	0,02	5,11	2,26	1,506	2
ΣΣ:-z	0	0,00	568,73	47,26	16,37	0,00	0,00	0,05	16,37	2,26	4,826	2
ΣΣ:-x	11	0,00	-568,73	70,20	17,22	0,00	14,58	0,13	12,92	13,74	3,809	2
ΣΣ:-z	11	0,00	568,73	47,26	16,37	0,00	0,00	0,05	16,37	8,18	4,826	2

Ο. Κ. Λειτουργικότητας: Μέγιστα ελέγχου ρηγμάτωσης - wk < 0,30/0,30 [EC2-1-1 §7.3]

Φορτ [/]	Κόμβ [/]	MEd [kNm]	NEd [kN]	As1_pr [cm²]	As2_pr [cm²]	Φερ [mm]	As1min [cm²]	sm [mm]	σs [MPa]	σs_max [MPa]	wk [mm]	Προσθ.1 [/]	Προσθ.2 [/]
1.00[G+ψ2xQ]	0	74,94	20,48	18,85	2,26	20,0	5,06	59	53,8	353,0	0,03		
1.00[G+ψ2xQ]	10	-164,75	20,48	17,53	18,85	16,9	2,93	42	133,1	366,2	0,09		
1.00[G+ψ2xQ]	11	-57,20	20,48	21,11	21,11	18,7	3,03	42	33,0	366,4	0,02		

Ο. Κ. Λειτουργικότητας: Συνθήκη απαλλαγής αναλυτικού υπολογισμού βέλους [EC2-1-1 §7.4]

I [m]	d [m]	K [/]	Θέση [/]	ρ0 [o/oo]	ρ1_ca [o/oo]	ρ2_ca [o/oo]	I/d [/]	<	(I/d)lim [/]
7,65	0,85	1,30	0	5,477	0,295	0,000	9,0	<	200,0

Μέγιστα οπλισμών διάτμησης και στρέψης

Φορτ [/]	Κόμβ [/]	Θέση [m]	VEdmax [kN]	ζ	TEd [kNm]	Θέση [m]	VEd [m]	V'Rdc [kN]	VRdc [kN]	cotθ [/]	Συνδετήρες τμ. [mm/cm/cm]	As45 [cm²]	Asl [cm²]
ΣΣ:+z	10	0,00	370,62	-0,32	11,62	0,85	343,45	227,66	150,79	2,50	2τμ.ΣΦ8/9.5/20		
ΣΣ:+z	11	0,00	335,13	-0,46	11,62	0,85	307,96	227,66	160,43	2,50	2τμ.ΣΦ8/9.5/20		

* Αντίσταση σε ροπή στρέψης σχεδιασμού TRdmax = 291,22kNm - Ροπή στρέψης κατά την ρηγμάτωση TRdc = 74,64kNm - VRdmax = 1611,88kN

Μέγιστα απαιτούμενου διαμήκη οπλισμού και συνδετήρων

Θέση [/]	Κόμβ [/]	Κάτω [cm²]	Φορτ [/]	Ανω [cm²]	Φορτ [/]	Συνδετήρες τμ. [Φ/ς]	Φορτ [/]	Διαγ. [cm²]	Φορτ [/]	Διαγ. [cm²]	Φορτ [/]	Κορμός [cm²]	Φορτ [/]
Άνοιγμα Κόμβος	10	16,37	ΣΣ:-z	2,26	1.15G+1.50QD	2τμ.ΣΦ8/20	ΣΣ:+z	ΣΦ8/9.5	ΣΣ:+z				
Κόμβος	11	16,37	ΣΣ:-z	17,22	ΣΣ:-x	2τμ.ΣΦ8/9.5	ΣΣ:+z	ΣΦ8/9.5	ΣΣ:+z				

Δοκός: Δ5.2, Όροφος 1**Γενικά δεδομένα δοκού**

Κόμβοι	Αρχή: 11	Τέλος: 12	Μέλος: 61	ΣΠΕΜ = 1,00
Διατομή	Πλακοδόκος		Ανωδομής	Ακαμπτες αποληξεις
Διαστάσεις	40/90/105/50/5,2 [cm]		Μήκος lcl=4,85m	Bl=0,65m Br=0,50m
Υλικά	Συκρόδεμα: C30/37		Χάλυβας: B500C	Συνδετήρες: B500C
Κανονισμός	ΚΠΜ		Κύρια δοκός	Ανακατανομή ροπών=Nai

Μέγιστα οπλισμών ροπών κάμψης

Φορτ [/]	Κόμβος [/]	Θέση [m]	MEd [kNm]	NEd [kN]	As1_ca [cm²]	As2_ca [cm²]	As_sl [cm²]	x [m]	As1_rq [cm²]	As2_rq [cm²]	ρ1_rq [o/oo]	E [/]	
ΣΣ:-x	11	0,00	-568,73	46,83	16,97	0,00	14,58	0,13	12,73	13,65	3,753	2	π
ΣΣ:-z	11	0,00	568,73	39,71	16,34	0,00	0,00	0,06	16,34	8,17	4,817	2	
1.15G+1.50QA	0	1,46	37,56	0,00	1,02	0,00	0,00	0,01	5,11	2,26	1,506	2	
ΣΣ:-z	0	0,00	568,73	39,71	16,34	0,00	0,00	0,06	16,34	2,26	4,817	2	
ΣΣ:-x	12	0,00	-556,08	46,83	16,58	0,00	0,00	0,13	16,58	8,29	4,888	2	
ΣΣ:-z	12	0,00	568,73	39,71	16,34	0,00	0,00	0,06	16,34	8,17	4,817	2	

O. K. Λειτουργικότητας: Μέγιστα ελέγχου ρηγμάτωσης - wk < 0,30/0,30 [EC2-1-1 §7.3]

Φορτ [/]	Κόμβος [/]	MEd [kNm]	NEd [kN]	As1_pr [cm²]	As2_pr [cm²]	Φερ [mm]	As1min [cm²]	sm [mm]	os [MPa]	os_max [MPa]	wk [mm]	Προσθ.1 [/]	Προσθ.2 [/]
1.00[G+ψ2xQ]	0	40,32	9,85	18,85	18,85	20,0	4,84	59	29,0	353,0	0,02		
1.00[G+ψ2xQ]	11	20,89	9,85	21,11	37,70	18,7	4,77	42	10,8	366,4	0,01		
1.00[G+ψ2xQ]	12	-99,96	9,85	18,85	18,85	20,0	3,12	59	74,3	353,0	0,05		

O. K. Λειτουργικότητας: Συνθήκη απαλλαγής αναλυτικού υπολογισμού βέλους [EC2-1-1 §7.4]

I [m]	d [m]	K [/]	Θέση [/]	ρ0 [o/oo]	ρ1_ca [o/oo]	ρ2_ca [o/oo]	I/d [/]	<	(I/d)lim [/]
5,75	0,85	1,30	0	5,477	0,197	0,000	6,8	<	200,0

Μέγιστα οπλισμών διάτμησης και στρέψης

Φορτ [/]	Κόμβος [/]	Θέση [m]	VEdmax [kN]	ζ [/]	TEd [kNm]	Θέση [kN]	VED [m]	V'Rdc [kN]	VRdc [kN]	cotθ [/]	Συνδετήρες τμ.[mm/cm/cm]	As45 [cm²]	Asl [cm²]
ΣΣ:+z	11	0,00	366,46	-0,78	12,96	0,85	342,63	227,66	160,43	2,50	2τμ.ΣΦ8/16/20		
ΣΣ:+z	12	0,00	420,35	-0,55	12,96	0,85	396,51	227,66	154,48	2,50	2τμ.ΣΦ8/16/20		

* Αντίσταση σε ροπή στρέψης σχεδιασμού TRdmax = 291,22kNm - Ροπή στρέψης κατά την ρηγμάτωση TRdc = 74,64kNm - VRdmax = 1611,88kN

Μέγιστα απαιτούμενου διαμήκη οπλισμού και συνδετήρων

Θέση [/]	Κόμβος [/]	Κάτω [cm²]	Φορτ [/]	Ανω [cm²]	Φορτ [/]	Συνδετήρες τμ Φ/s]	Φορτ [/]	Διαγ. [cm²]	Φορτ [/]	Διαγ. [cm²]	Φορτ [/]	Κορμός [cm²]	Φορτ [/]
Άνοιγμα		16,34	ΣΣ:-z	2,26	1.15G+1.50QA	2τμ.ΣΦ8/20	ΣΣ:+z						
Κόμβος	11	16,37	ΣΣ:-z	12,92	ΣΣ:-x	2τμ.ΣΦ8/16	ΣΣ:+z						
Κόμβος	12	16,34	ΣΣ:-z	16,58	ΣΣ:-x	2τμ.ΣΦ8/16	ΣΣ:+z						

Ελεγχος Συνάφειας Κόμβων [EC8-1 §5.6.2.2]

Κόμβος [/]	Στύλος [/]	hc [m]	>	hc_min [m]	vd [/]	ρ_bot [o/oo]	ρ_max [o/oo]	dbL [mm]	<	dbL_max [mm]
10	K10	1,00	>	0,38	0,04	5,56	12,01	Φ20	<	Φ52,6
11	K11	1,30	>	0,49	0,07	11,11	17,57	Φ20	<	Φ53,1
12	K12	1,00	>	0,39	0,03	5,56	12,01	Φ20	<	Φ51,3

Απαιτούμενος και τοποθετούμενος διαμήκης οπλισμός [Μέθοδος simplex]

Av. [λ]	Θέση [λ]	Αρχή[r] [cm²]	Ανοιγμα[r] [cm²]	Τέλος[r] [cm²]		Αρχή[p] [cm²]	Ανοιγμα[p] [cm²]	Τέλος[p] [cm²]	
1	Πάνω	17,22		2,26		12,92		17,53	
1	Κάτω	16,37		16,37		16,37		18,85	
2	Πάνω	12,92		2,26		16,58		21,11	
2	Κάτω	16,37		16,34		16,34		37,70	

Ελεγχοι διαμόρφωσης λεπτομερειών για τοπική πλαστιμότητα [EC8-1 §5.4.3.1.2]

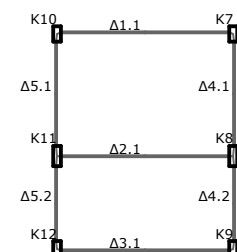
Av.	Κομ. [λ]	Κατ. [/]	As1_pr [cm²]	As1_sl [cm²]	As2_pr [cm²]	As2_ca [cm²]	As2_pr-As2_ca [cm²]	(As1_pr+As1_sl)/2 [cm²]	ρ1_pr+ρ_sl [o/oo]	ρmax [o/oo]	ρ2_pr [o/oo]	
1	10	M-	17,53	0,00	18,85	0,00	18,85	>	8,77	5,17	<	12,01
1	10	M+	18,85	0,00	17,53	0,00	17,53	>	9,42	1,71	<	8,05
1	11	M-	21,11	14,58	37,70	0,00	37,70	>	17,84	10,52	<	17,57
1	11	M+	37,70	0,00	21,11	0,00	21,11	>	18,85	3,42	<	11,11
2	11	M-	21,11	14,58	37,70	0,13	37,57	>	17,84	10,52	<	17,57
2	11	M+	37,70	0,00	21,11	0,00	21,11	>	18,85	4,23	<	8,83
2	12	M-	18,85	0,00	18,85	0,00	18,85	>	9,42	5,56	<	12,01
2	12	M+	18,85	0,00	18,85	0,00	18,85	>	9,42	2,12	<	5,56

$$\rho_{\text{max}} = \rho' + \Delta_{\rho} : \Delta_{\rho} = 0,0018 \cdot \frac{f_{cd}}{\mu_{\phi} \cdot \varepsilon_{syd} \cdot f_{yd}} = 6,46 \% : \mu_{\phi} = 5,90$$

Κάτοψη ορόφου: 2

Ονόματα μελών - κόμβων

1
X



Διαστασιολόγηση δοκών ορόφου: 2

Δοκός: Δ1.1, Όροφος 2

Γενικά δεδομένα δοκού

Κόμβοι	Αρχή: 10	Τέλος: 7	Μέλος: 62	ΣΠΕΜ = 1,00
Διατομή	Πλακοδοκός		Ανωδομής	Ακαμπτες απολήξεις
Διαστάσεις	80/70/225/50/5,2 [cm]		Μήκος $l_{cl}=10,90m$	$Bl=0,25m$ $Br=0,25m$
Υλικά	Σκυρόδεμα: C30/37		Χάλυβας: B500C	Συνδετήρες: B500C
Κανονισμός	KPM		Κύρια δοκός	Ανακατανομή ροπών=Nαι

Μέγιστα οπλισμών ροπών κάμψης

Φορτ [/]	Κόμβ [/]	Θέση [m]	MEd [kNm]	NEd [kN]	As1_ca [cm²]	As2_ca [cm²]	As_sl [cm²]	x [m]	As1_rq [cm²]	As2_rq [cm²]	ρ1_rq [o/oo]	E [/]
$\Sigma:+x$	10	0,00	-422,74	0,00	15,65	0,00	0,00	0,07	15,65	7,82	3,019	2
$\Sigma:+x$	0	4,36	423,01	0,00	15,32	0,00	0,00	0,04	15,32	3,39	2,955	2
1.35G+1.05QB	0	5,45	588,68	0,00	21,43	0,00	0,00	0,04	21,43	3,39	4,134	2
$\Sigma:+x$	7	0,00	-423,01	0,00	15,66	0,00	0,00	0,07	15,66	7,83	3,021	2

Ο. Κ. Λειτουργικότητας: Μέγιστα ελέγχου ρηγμάτωσης - wk < 0,30/0,30 [EC2-1-1 §7.3]

Φορτ [/]	Κόμβ [/]	MEd [kNm]	NEd [kN]	As1_pr [cm²]	As2_pr [cm²]	Φερ [mm]	As1min [cm²]	sm [mm]	σs [MPa]	σs_max [MPa]	wk [mm]	Προσθ.1 [/]	Προσθ.2 [/]
1.00[G+ψ2xQ]	0	420,02	0,00	21,99	3,39	20,0	8,47	99	276,6	320,7	0,29	+1Φ20	
1.00[G+ψ2xQ]	10	-232,93	0,00	16,12	12,57	16,3	6,12	100	244,4	320,5	0,24		
1.00[G+ψ2xQ]	7	-233,17	0,00	16,12	12,57	16,3	6,12	100	244,7	320,5	0,24		

Ο. Κ. Λειτουργικότητας: Συνθήκη απαλλαγής αναλυτικού υπολογισμού βέλους [EC2-1-1 §7.4]

I [m]	d [m]	K [/]	Θέση [/]	ρ0 [o/oo]	ρ1_ca [o/oo]	ρ2_ca [o/oo]	l/d [/]	<	(l/d)lim [/]
11,40	0,65	1,00	0	5,477	1,470	0,000	17,6	<	43,4

Μέγιστα οπλισμών διάτμησης και στρέψης

Φορτ [/]	Κόμβ [/]	Θέση [m]	VEdmax [kN]	ζ	TEd [kNm]	Θέση [kN]	VEd [m]	V'Rdc [kN]	VRdc [kN]	cotθ [/]	Συνδετήρες τμ [mm/cm/cm]	As45 [cm²]	Asl [cm²]
1.35G+1.05Q	10	0,00	329,47	1,00	0,01	0,65	290,29	347,93	203,69	2,50	3τμ.ΣΦ8/9.5/20		
1.35G+1.05QB	7	0,00	329,53	1,00	0,03	0,65	290,36	347,93	203,69	2,50	3τμ.ΣΦ8/9.5/20		

* Αντίσταση σε ροπή στρέψης σχεδιασμού $Trdmax = 620,62kNm$ - Ροπή στρέψης κατά την ρηγμάτωση $Trdc = 159,07kNm$ - $Vrdmax = 2463,44kN$

Μέγιστα απαιτούμενου διαμήκη οπλισμού και συνδετήρων

Θέση [/]	Κόμβ [/]	Κάτω [cm²]	Φορτ [/]	Ανω [cm²]	Φορτ [/]	Συνδετήρες [τμ Φ/σ]	Φορτ [/]	Διαγ. [cm²]	Φορτ [/]	Διαγ. [cm²]	Φορτ [/]	Κορμός [cm²]	Φορτ [/]
Άνοιγμα		21,43	1.35G+1.05QB	3,39	$\Sigma:+x$	3τμ.ΣΦ8/20	1.35G+1.05Q						
Κόμβος	10	7,82	$\Sigma:+x$	15,65	$\Sigma:+x$	3τμ.ΣΦ8/9.5	1.35G+1.05Q						
Κόμβος	7	7,83	$\Sigma:+x$	15,66	$\Sigma:+x$	3τμ.ΣΦ8/9.5	1.35G+1.05QB						

Ελεγχος Συνάφειας Κόμβων [EC8-1 §5.6.2.2]

Κόμβ [/]	Στύλος [/]	hc [m]	>	hc_min [m]	vd [/]	ρ_bot [o/oo]	ρ_max [o/oo]	dbL [mm]	<	dbL_max [mm]
10	K10	0,50	>	0,39	0,02	2,42	9,23	Φ20	<	Φ25,6
7	K7	0,50	>	0,39	0,02	2,42	9,23	Φ20	<	Φ25,6

Απαιτούμενος και τοποθετούμενος διαμήκης οπλισμός [Μέθοδος simplex]

Av. []	Θέση []	Αρχή[r] [cm²]	Ανοιγμα[r] [cm²]	Τέλος[r] [cm²]	Αρχή[p] [cm²]	Ανοιγμα[p] [cm²]	Τέλος[p] [cm²]
1	Πάνω	15,65	3,39	15,66	16,12	3,39	16,12
1	Κάτω	7,82	21,43	7,83	12,57	25,13	12,57

Ελεγχοι διαμόρφωσης λεπτομερειών για τοπική πλαστιμότητα [EC8-1 §5.4.3.1.2]

Av.	Κομ.	Κατ.	As1_pr	As_sl	As2_pr	As2_ca	(As1_pr+As_sl)/2	$\rho_1_{pr}+\rho_{sl}$	ρ_{max}	ρ_{2_pr}
1	10	M-	16,12	0,00	12,57	0,00	12,57	>	8,06	3,11
1	10	M+	12,57	0,00	16,12	0,00	16,12	>	6,28	0,86
1	7	M-	16,12	0,00	12,57	0,00	12,57	>	8,06	3,11
1	7	M+	12,57	0,00	16,12	0,00	16,12	>	6,28	0,86

$$\rho_{max} = \rho' + \Delta_{\rho} : \Delta_{\rho} = 0.0018 \cdot \frac{f_{cd}}{\mu_{\phi} \cdot \epsilon_{syd} \cdot f_{yd}} = 6,80 \% : \mu_{\phi} = 5,60$$

Δοκός: Δ2.1, Όροφος 2

Γενικά δεδομένα δοκού

Κόμβοι	Αρχή: 11	Τέλος: 8	Μέλος: 63	ΣΠΕΜ = 1,00
Διατομή	Πλακοδοκός		Ανωδομής	Ακαμπτες απολήξεις

Διαστάσεις	80/70/360/50/5,2 [cm]	Μήκος Icl=10,90m	Bl=0,25m	Br=0,25m
Υλικά	Συκρόδεμα: C30/37	Χάλυβας: B500C	Συνδετήρες: B500C	
Κανονισμός	ΚΠΜ	Κύρια δοκός	Ανακατανομή ροπών=Ναι	

Μέγιστα οπλισμών ροπών κάμψης

Φορτ [/]	Κόμβος [/]	Θέση [m]	MEd [kNm]	NEd [kN]	As1_ca [cm²]	As2_ca [cm²]	As_sl [cm²]	x [m]	As1_rq [cm²]	As2_rq [cm²]	ρ1_rq [o/oo]	E [/]
ΣΣ:+x	11	0,00	-949,48	0,00	37,21	0,00	0,00	0,15	37,21	18,60	7,178	2
ΣΣ:+z	0	5,45	949,48	0,00	34,57	0,00	0,00	0,04	34,57	3,39	6,669	2
1.35G+1.05QB	0	5,45	1481,98	0,00	54,47	0,00	0,00	0,06	54,47	3,39	10,507	2
ΣΣ:-z	8	0,00	-948,42	0,00	37,17	0,00	0,00	0,14	37,17	18,58	7,170	2

Ο. Κ. Λειτουργικότητας: Μέγιστα ελέγχου ρηγμάτωσης - wk < 0,30/0,30 [EC2-1-1 §7.3]

Φορτ [/]	Κόμβος [/]	MEd [kNm]	NEd [kN]	As1_pr [cm²]	As2_pr [cm²]	Φεδ [mm]	As1min [cm²]	sm [mm]	σs [MPa]	σs_max [MPa]	wk [mm]	Προσθ.1 [/]	Προσθ.2 [/]
1.00[G+ψ2xQ]	0	1051,56	0,00	56,55	3,39	20,0	7,67	41	311,4	367,3	0,26		
1.00[G+ψ2xQ]	11	-618,87	0,00	39,02	28,27	17,3	5,10	44	279,8	365,2	0,24		
1.00[G+ψ2xQ]	8	-618,86	0,00	39,02	28,27	17,3	5,10	44	279,8	365,2	0,24		

Ο. Κ. Λειτουργικότητας: Συνθήκη απαλλαγής αναλυτικού υπολογισμού βέλους [EC2-1-1 §7.4]

I [m]	d [m]	K [/]	Θέση [/]	ρ0 [o/oo]	ρ1_ca [o/oo]	ρ2_ca [o/oo]	l/d [/]	<	(l/d)lim [/]
11,40	0,65	1,00	0	5,477	2,335	0,000	17,6	<	29,4

Μέγιστα οπλισμών διάτμησης και στρέψης

Φορτ [/]	Κόμβος [/]	Θέση [m]	VEdmax [kN]	ζ ["/]	TEd [kNm]	Θέση [kN]	VEd [m]	V'Rdc [kN]	VRdc [kN]	cotθ ["/]	Συνδετήρες τημ.[mm/cm/cm]	As45 [cm²]	Asl [cm²]
1.35G+1.05QB	11	0,00	846,55	1,00	-0,01	0,65	745,90	347,93	273,51	2,25	3τμ.ΣΦ8/9.5/11.5		
1.35G+1.05QE	8	0,00	846,54	1,00	0,04	0,65	745,89	347,93	273,51	2,25	3τμ.ΣΦ8/9.5/11.5		

* Αντίσταση σε ροπή στρέψης σχεδιασμού TRdmax = 620,62kNm - Ροπή στρέψης κατά την ρηγμάτωση TRdc = 159,07kNm - VRdmax = 2463,44kN

Μέγιστα απαιτούμενου διαμήκη οπλισμού και συνδετήρων

Θέση [/]	Κόμβος [/]	Κάτω [cm²]	Φορτ [/]	Ανω [cm²]	Φορτ [/]	Συνδετήρες Τημ.Φ/ς []	Φορτ [/]	Διαγ. [cm²]	Φορτ [/]	Διαγ. [cm²]	Φορτ [/]	Κορμός [cm²]	Φορτ [/]
Άνοιγμα		54,47	1.35G+1.05QB	3,39	ΣΣ:+x	3τμ.ΣΦ8/11.5	1.35G+1.05QB						
Κόμβος	11	18,60	ΣΣ:+x	37,21	ΣΣ:+x	3τμ.ΣΦ8/9.5	1.35G+1.05QB						
Κόμβος	8	18,58	ΣΣ:-z	37,17	ΣΣ:-z	3τμ.ΣΦ8/9.5	1.35G+1.05QE						

Ελεγχος Συνάφειας Κόμβων [EC8-1 §5.6.2.2]

Κόμβος [/]	Στύλος [/]	hc [m]	>	hc_min [m]	vd [/]	ρ_bot [o/oo]	ρ_max [o/oo]	dbL [mm]	<	dbL_max [mm]
11	K11	0,50	>	0,38	0,03	5,45	12,26	Φ20	<	Φ26,3
8	K8	0,50	>	0,38	0,03	5,45	12,26	Φ20	<	Φ26,3

Απαιτούμενος και τοποθετούμενος διαμήκης οπλισμός [Μέθοδος simplex]

Av. []	Θέση []	Αρχή[γ] [cm²]	Ανοιγμα[γ] [cm²]	Τέλος[γ] [cm²]	Αρχή[ρ] [cm²]	Ανοιγμα[ρ] [cm²]	Τέλος[ρ] [cm²]
1	Πάνω	37,21	3,39	37,17	39,02	3,39	39,02
1	Κάτω	18,60	54,47	18,58	28,27	56,55	28,27

Ελεγχοι διαμόρφωσης λεπτομερειών για τοπική πλαστιμότητα [EC8-1 §5.4.3.1.2]

Av.	Κομ. []	Κατ.	As1_pr [cm²]	As_sl [cm²]	As2_pr [cm²]	As2_ca [cm²]	As2_pr-As2_ca [cm²]	(As1_pr+As_sl)/2 [cm²]	ρ1_pr+ρ_sl [o/oo]	ρmax [o/oo]	ρ2_pr [o/oo]	
1	11	M-	39,02	0,00	28,27	0,00	28,27	>	19,51	7,53	<	12,26
1	11	M+	28,27	0,00	39,02	0,00	39,02	>	14,14	1,21	<	8,47
1	8	M-	39,02	0,00	28,27	0,00	28,27	>	19,51	7,53	<	12,26
1	8	M+	28,27	0,00	39,02	0,00	39,02	>	14,14	1,21	<	8,47

$$\rho_{\text{max}} = \rho' + \Delta_{\rho}; \Delta_{\rho} = 0.0018 \cdot \frac{f_{cd}}{\mu_{\phi} \cdot \epsilon_{syd} \cdot f_{yd}} = 6,80 \% : \mu_{\phi} = 5,60$$

Δοκός: Δ3.1, Όροφος 2**Γενικά δεδομένα δοκού**

Κόμβοι	Αρχή: 12	Τέλος: 9	Μέλος: 64	ΣΠΕΜ = 1,00
Διαστομή	Πλακοδοκός		Αναδομής	Ακαμπτες αποληξεις
Διαστάσεις	80/70/205/50/5,2 [cm]		Μήκος Icl=10,90m	Bl=0,25m Br=0,25m
Υλικά	Συκρόδεμα: C30/37		Χάλυβας: B500C	Συνδετήρες: B500C
Κανονισμός	ΚΠΜ		Κύρια δοκός	Ανακατανομή ροπών=Ναι

Μέγιστα οπλισμών ροπών κάμψης

Φορτ [/]	Κόμβος [/]	Θέση [m]	MEd [kNm]	NEd [kN]	As1_ca [cm²]	As2_ca [cm²]	As_sl [cm²]	x [m]	As1_rq [cm²]	As2_rq [cm²]	ρ1_rq [o/oo]	E [/]
ΣΣ:+x	12	0,00	-384,86	0,00	14,20	0,00	0,00	0,07	15,03	7,51	2,899	2
ΣΣ:+z	12	0,00	-39,68	0,00	1,41	0,00	0,00	0,02	15,03	7,51	2,899	2
ΣΣ:+x	0	4,36	384,86	0,00	13,94	0,00	0,00	0,04	15,03	3,39	2,899	2

Μέγιστα οπλισμών ροπών κάμψης

Φορτ [/]	Κόμβ [/]	Θέση [m]	MEd [kNm]	NEd [kN]	As1_ca [cm²]	As2_ca [cm²]	As_sl [cm²]	x [m]	As1_rq [cm²]	As2_rq [cm²]	ρ1_rq [o/oo]	E [/]
1.35G+1.05QB	0	5,45	524,08	0,00	19,07	0,00	0,00	0,04	19,07	3,39	3,679	2
ΣΣ:+x	9	0,00	-384,80	0,00	14,20	0,00	0,00	0,07	15,03	7,51	2,899	2

O. K. Λειτουργικότητας: Μέγιστα ελέγχου ρηγμάτωσης - wk < 0,30/0,30 [EC2-1-1 §7.3]

Φορτ [/]	Κόμβ [/]	MEd [kNm]	NEd [kN]	As1_pr [cm²]	As2_pr [cm²]	Φερ [mm]	As1min [cm²]	sm [mm]	σs [MPa]	σs_max [MPa]	wk [mm]	Προσθ.1 [/]	Προσθ.2 [/]
1.00[G+ψ2xQ]	0	374,39	0,00	20,36	3,39	18,0	8,40	99	303,3	320,5			
1.00[G+ψ2xQ]	12	-211,68	0,00	16,12	10,18	16,3	6,20	100	222,1	320,5	0,21		
1.00[G+ψ2xQ]	9	-211,57	0,00	16,12	10,18	16,3	6,20	100	222,0	320,5	0,21		

O. K. Λειτουργικότητας: Συνθήκη απαλλαγής αναλυτικού υπολογισμού βέλους [EC2-1-1 §7.4]

I [m]	d [m]	K [/]	Θέση [/]	ρ0 [o/oo]	ρ1_ca [o/oo]	ρ2_ca [o/oo]	l/d [/]	<	(l/d)lim [/]
11,40	0,65	1,00	0	5,477	1,436	0,000	17,6	<	82,0

Μέγιστα οπλισμών διάτμησης και στρέψης

Φορτ [/]	Κόμβ [/]	Θέση [m]	VEdmax [kN]	ζ [/]	TEd [kNm]	Θέση [kN]	VEd [m]	V'Rdc [kN]	VRdc [kN]	cotθ [/]	Συνδετήρες τμ. [mm/cm/cm]	As45 [cm²]	Asl [cm²]
1.35G+1.05QE	12	0,00	295,34	1,00	0,04	0,65	260,23	347,93	203,69	2,50	3τμ.ΣΦ8/9.5/20		
1.35G+1.05QB	9	0,00	295,32	1,00	-0,03	0,65	260,21	347,93	203,69	2,50	3τμ.ΣΦ8/9.5/20		

* Αντίσταση σε ροπή στρέψης σχεδιασμού TRdmax = 620,62kNm - Ροπή στρέψης κατά την ρηγμάτωση TRdc = 159,07kNm - VRdmax = 2463,44kN

Μέγιστα απαιτούμενου διαμήκη οπλισμού και συνδετήρων

Θέση [/]	Κόμβ [/]	Κάτω [cm²]	Φορτ [/]	Ανω [cm²]	Φορτ [/]	Συνδετήρες [τμ.Φ/σ]	Φορτ [/]	Διαγ. [cm²]	Φορτ [/]	Διαγ. [cm²]	Φορτ [/]	Κορμός [cm²]	Φορτ [/]
Άνοιγμα		19,07	1.35G+1.05QB	3,39	ΣΣ:+x	3τμ.ΣΦ8/20	1.35G+1.05QE						
Κόμβος	12	7,51		15,03	ΣΣ:+z	3τμ.ΣΦ8/9.5	1.35G+1.05QE						
Κόμβος	9	7,51		15,03	ΣΣ:+x	3τμ.ΣΦ8/9.5	1.35G+1.05QB						

Ελεγχος Συνάφειας Κόμβων [EC8-1 §5.6.2.2]

Κόμβ [/]	Στύλος [/]	hc [m]	>	hc_min [m]	vd [/]	ρ_bot [o/oo]	ρ_max [o/oo]	dbL [mm]	<	dbL_max [mm]
12	K12	0,50	>	0,35	0,02	1,96	8,76	Φ18	<	Φ25,7
9	K9	0,50	>	0,35	0,02	1,96	8,76	Φ18	<	Φ25,7

Απαιτούμενος και τοποθετούμενος διαμήκης οπλισμός [Μέθοδος simplex]

Av. [\]	Θέση [\]	Αρχή[r] [cm²]	Ανοιγμα[r] [cm²]	Τέλος[r] [cm²]		Αρχή[p] [cm²]	Ανοιγμα[p] [cm²]	Τέλος[p] [cm²]
1	Πάνω	15,03	3,39	15,03		16,12	3,39	16,12
1	Κάτω	7,51	19,07	7,51		10,18	20,36	10,18

Ελεγχοι διαμόρφωσης λεπτομερειών για τοπική πλαστιμότητα [EC8-1 §5.4.3.1.2]

Av.	Κομ [/]	Κατ. [/]	As1_pr [cm²]	As_sl [cm²]	As2_pr [cm²]	As2_ca [cm²]	As2_pr-As2_ca [cm²]	(As1_pr+As_sl)/2 [cm²]	ρ1_pr+ρ_sl [o/oo]	ρmax [o/oo]	ρ2_pr [o/oo]
1	12	M-	16,12	0,00	10,18	0,00	10,18	>	8,06	3,11	<
1	12	M+	10,18	0,00	16,12	0,00	16,12	>	5,09	0,77	<
1	9	M-	16,12	0,00	10,18	0,00	10,18	>	8,06	3,11	<
1	9	M+	10,18	0,00	16,12	0,00	16,12	>	5,09	0,77	<

$$\rho_{\text{max}} = \rho' + \Delta_{\rho} : \Delta_{\rho} = 0,0018 \cdot \frac{f_{cd}}{\mu_{\phi} \cdot \varepsilon_{sy} \cdot f_{yd}} = 6,80 \% : \mu_{\phi} = 5,60$$

Δοκός: Δ4.1, Όροφος 2**Γενικά δεδομένα δοκού**

Κόμβοι	Αρχή: 7	Τέλος: 8	Μέλος: 65	ΣΠΕΜ = 1,00
Διαστομή		Πλακοδόκος	Ανωδομής	Ακαμπτες απόληξεις
Διαστάσεις		40/90/130/50/5,2 [cm]	Μήκος lcl=6,75m	Bl=0,50m Br=0,65m
Υλικά		Σκυρόδεμα: C30/37	Χάλυβας: B500C	Συνδετήρες: B500C
Κανονισμός		KPM	Κύρια δοκός	Ανακατανομή ροπών=Nai

Μέγιστα οπλισμών ροπών κάμψης

Φορτ [/]	Κόμβ [/]	Θέση [m]	MEd [kNm]	NEd [kN]	As1_ca [cm²]	As2_ca [cm²]	As_sl [cm²]	x [m]	As1_rq [cm²]	As2_rq [cm²]	ρ1_rq [o/oo]	E [/]
ΣΣ:+x	7	0,00	-346,99	0,00	9,80	0,00	0,00	0,09	9,83	4,91	2,898	2
ΣΣ:+z	7	0,00	166,53	0,00	4,56	0,00	0,00	0,03	9,83	4,91	2,898	2
1.15G+1.50QA	0	3,38	97,72	0,00	2,66	0,00	0,00	0,02	5,11	2,26	1,506	2
ΣΣ:+z	0	6,08	232,05	0,00	6,37	0,00	0,00	0,03	9,83	2,26	2,898	2
ΣΣ:+x	8	0,00	-381,62	0,00	10,82	0,00	14,58	0,09	9,83	12,20	2,898	2

Ο. Κ. Λειτουργικότητας: Μέγιστα ελέγχου ρηγμάτωσης - wk < 0,30/0,30 [EC2-1-1 §7.3]

Φορτ [/]	Κόμβος [/]	MEd [kNm]	NEd [kN]	As1_pr [cm²]	As2_pr [cm²]	Φερ [mm]	As1min [cm²]	sm [mm]	σs [MPa]	σs_max [MPa]	wk [mm]	Προσθ.1 [/]	Προσθ.2 [/]
1.00[G+ψ2xQ]	0	92,22	0,00	10,18	2,26	18,0	4,83	99	112,6	350,1	0,09		
1.00[G+ψ2xQ]	7	-123,44	0,00	9,90	10,18	16,2	3,00	74	160,8	340,8	0,13		
1.00[G+ψ2xQ]	8	-78,06	0,00	10,30	12,44	14,9	2,90	60	74,3	352,3	0,06		

Ο. Κ. Λειτουργικότητας: Συνθήκη απαλλαγής αναλυτικού υπολογισμού βέλους [EC2-1-1 §7.4]

I [m]	d [m]	K [/]	Θέση [/]	ρ0 [o/oo]	ρ1_ca [o/oo]	ρ2_ca [o/oo]	I/d [/]	<	(I/d)lim [/]
7,65	0,85	1,30	0	5,477	0,317	0,000	9,0	<	200,0

Μέγιστα οπλισμών διάτμησης και στρέψης

Φορτ [/]	Κόμβος [/]	Θέση [m]	VEdmax [kN]	ζ [/]	TEd [kNm]	Θέση [kN]	VEd [m]	V'Rdc [kN]	VRdc [kN]	cotθ [/]	Συνδετήρες τμ.[mm/cm/cm]	As45 [cm²]	Asl [cm²]
ΣΣ:+z	7	0,00	257,87	-0,14	19,73	0,85	229,13	227,66	124,62	2,50	2τμ.ΣΦ8/9.5/20		
ΣΣ:+z	8	0,00	264,17	-0,11	19,73	0,85	235,44	227,66	126,31	2,50	2τμ.ΣΦ8/9.5/20		

* Αντίσταση σε ροπή στρέψης σχεδιασμού TRdmax = 291,22kNm - Ροπή στρέψης κατά την ρηγμάτωση TRdc = 74,64kNm - VRdmax = 1611,88kN

Μέγιστα απαιτούμενου διαμήκη οπλισμού και συνδετήρων

Θέση [/]	Κόμβος [/]	Κάτω [cm²]	Φορτ [/]	Ανω [cm²]	Φορτ [/]	Συνδετήρες τμ.Φ/s]	Φορτ [/]	Διαγ. [cm²]	Φορτ [/]	Διαγ. [cm²]	Φορτ [/]	Κορμός [cm²]	Φορτ [/]
Άνοιγμα		9,83	ΣΣ:+z	2,26	1.15G+1.50QA	2τμ.ΣΦ8/20	ΣΣ:+z						
Κόμβος	7	9,83	ΣΣ:+z	9,83	ΣΣ:+x	2τμ.ΣΦ8/9.5	ΣΣ:+z						
Κόμβος	8	12,20	ΣΣ:+x	9,83	ΣΣ:+x	2τμ.ΣΦ8/9.5	ΣΣ:+z						

Δοκός: Δ4.2, Όροφος 2**Γενικά δεδομένα δοκού**

Κόμβοι	Αρχή: 8	Τέλος: 9	Μέλος: 66	ΣΠΕΜ = 1,00
Διατομή	Πλακοδοκός		Ανωδομής	Ακαμπτες απολήξεις
Διαστάσεις	40/90/105/50/5,2 [cm]		Μήκος lcl=4,85m	Bl=0,65m Br=0,50m
Υλικά	Σκυρόδεμα: C30/37		Χάλυβας: B500C	Συνδετήρες: B500C
Κανονισμός	ΚΠΜ		Κύρια δοκός	Ανακατανομή ροπών=Ναι

Μέγιστα οπλισμών ροπών κάμψης

Φορτ [/]	Κόμβος [/]	Θέση [m]	MEd [kNm]	NEd [kN]	As1_ca [cm²]	As2_ca [cm²]	As_sl [cm²]	x [m]	As1_rq [cm²]	As2_rq [cm²]	ρ1_rq [o/oo]	E [/]
ΣΣ:+x	8	0,00	-381,62	0,00	10,82	0,00	14,58	0,09	9,83	12,20	2,898	2 η
1.15G+1.50QB	0	1,94	37,15	0,00	1,01	0,00	0,00	0,01	5,11	2,26	1,506	2
ΣΣ:+z	0	0,00	185,45	0,00	5,09	0,00	0,00	0,03	9,83	2,26	2,898	2
ΣΣ:+x	9	0,00	-293,60	0,00	8,25	0,00	0,00	0,08	9,83	4,91	2,898	2
ΣΣ:-z	9	0,00	125,27	0,00	3,42	0,00	0,00	0,03	9,83	4,91	2,898	2

Ο. Κ. Λειτουργικότητας: Μέγιστα ελέγχου ρηγμάτωσης - wk < 0,30/0,30 [EC2-1-1 §7.3]

Φορτ [/]	Κόμβος [/]	MEd [kNm]	NEd [kN]	As1_pr [cm²]	As2_pr [cm²]	Φερ [mm]	As1min [cm²]	sm [mm]	σs [MPa]	σs_max [MPa]	wk [mm]	Προσθ.1 [/]	Προσθ.2 [/]
1.00[G+ψ2xQ]	0	37,12	0,00	10,18	8,04	18,0	4,77	99	45,6	344,5	0,04		
1.00[G+ψ2xQ]	8	-32,32	0,00	10,30	20,36	14,9	3,04	60	30,7	352,3	0,02		
1.00[G+ψ2xQ]	9	-67,14	0,00	10,05	10,18	16,0	3,15	75	86,1	340,4	0,07		

Ο. Κ. Λειτουργικότητας: Συνθήκη απαλλαγής αναλυτικού υπολογισμού βέλους [EC2-1-1 §7.4]

I [m]	d [m]	K [/]	Θέση [/]	ρ0 [o/oo]	ρ1_ca [o/oo]	ρ2_ca [o/oo]	I/d [/]	<	(I/d)lim [/]
5,75	0,85	1,30	0	5,477	0,162	0,000	6,8	<	200,0

Μέγιστα οπλισμών διάτμησης και στρέψης

Φορτ [/]	Κόμβος [/]	Θέση [m]	VEdmax [kN]	ζ [/]	TEd [kNm]	Θέση [kN]	VEd [m]	V'Rdc [kN]	VRdc [kN]	cotθ [/]	Συνδετήρες τμ.[mm/cm/cm]	As45 [cm²]	Asl [cm²]
ΣΣ:-z	8	0,00	270,49	-0,43	23,88	0,85	245,45	227,66	126,31	2,50	2τμ.ΣΦ8/12.5/20		
ΣΣ:-z	9	0,00	258,97	-0,49	23,88	0,85	233,92	227,66	125,28	2,50	2τμ.ΣΦ8/12.5/20		

* Αντίσταση σε ροπή στρέψης σχεδιασμού TRdmax = 291,22kNm - Ροπή στρέψης κατά την ρηγμάτωση TRdc = 74,64kNm - VRdmax = 1611,88kN

Μέγιστα απαιτούμενου διαμήκη οπλισμού και συνδετήρων

Θέση [/]	Κόμβος [/]	Κάτω [cm²]	Φορτ [/]	Ανω [cm²]	Φορτ [/]	Συνδετήρες τμ.Φ/s]	Φορτ [/]	Διαγ. [cm²]	Φορτ [/]	Διαγ. [cm²]	Φορτ [/]	Κορμός [cm²]	Φορτ [/]
Άνοιγμα		9,83	ΣΣ:+z	2,26	1.15G+1.50QB	2τμ.ΣΦ8/20	ΣΣ:-z						
Κόμβος	8	12,20	ΣΣ:+x	9,83	ΣΣ:+x	2τμ.ΣΦ8/12.5	ΣΣ:-z						
Κόμβος	9	9,83	ΣΣ:-z	9,83	ΣΣ:+x	2τμ.ΣΦ8/12.5	ΣΣ:-z						

Ελεγχος Συνάφειας Κόμβων [EC8-1 §5.6.2.2]

Κόμβος [/]	Στύλος [/]	hc [m]	>	hc_min [m]	vd [/]	ρ_bot [o/oo]	ρ_max [o/oo]	dbL [mm]	<	dbL_max [mm]
7	K7	1,00	>	0,35	0,02	3,00	9,46	Φ18	<	Φ51,4
8	K8	1,30	>	0,43	0,03	6,00	12,46	Φ18	<	Φ54,4

Ελεγχος Συνάφειας Κόμβων [EC8-1 §5.6.2.2]

Κόμβ [/]	Στύλος [/]	hc [m]	>	hc_min [m]	vd	ρ_bot [o/oo]	ρ_max [o/oo]	dbL [mm]	<	dbL_max [mm]
9	K9	1,00	>	0,35	0,02	3,00	9,46	Φ18	<	Φ51,4

Απαιτούμενος και τοποθετούμενος διαμήκης οπλισμός [Μέθοδος simplex]

Av. [\]	Θέση [\]	Αρχή[r] [cm²]	Ανοιγμα[r] [cm²]	Τέλος[r] [cm²]		Αρχή[p] [cm²]	Ανοιγμα[p] [cm²]	Τέλος[p] [cm²]	
1	Πάνω	9,83	2,26	9,83		9,90	2,26	10,30	
1	Κάτω	9,83	9,83	12,20		10,18	10,18	20,36	
2	Πάνω	9,83	2,26	9,83		10,30	8,04	10,05	
2	Κάτω	12,20	9,83	9,83		20,36	10,18	10,18	

Ελεγχοι διαμόρφωσης λεπτομερειών για τοπική πλαστιμότητα [EC8-1 §5.4.3.1.2]

Av.	Κομ	Κατ.	As1_pr	As_sl	As2_pr	As2_ca	As2_pr+As2_ca	(As1_pr+As_sl)/2	ρ1_pr+ρ_sl	ρmax	ρ2_pr
[\]	[/]	[/]	[cm²]	[cm²]	[o/oo]	[o/oo]	[o/oo]				
1	7	M-	9,90	0,00	10,18	0,00	10,18	>	4,95	2,92	<
1	7	M+	10,18	0,00	9,90	0,00	9,90	>	5,09	0,92	<
1	8	M-	10,30	14,58	20,36	0,00	20,36	>	12,44	7,34	<
1	8	M+	20,36	0,00	10,30	0,00	10,30	>	10,18	1,85	<
2	8	M-	10,30	14,58	20,36	0,00	20,36	>	12,44	7,34	<
2	8	M+	20,36	0,00	10,30	0,00	10,30	>	10,18	2,29	<
2	9	M-	10,05	0,00	10,18	0,00	10,18	>	5,03	2,96	<
2	9	M+	10,18	0,00	10,05	0,00	10,05	>	5,09	1,14	<

$$\rho_{\text{max}} = \rho' + \Delta_{\rho} : \Delta_{\rho} = 0,0018 \cdot \frac{f_{cd}}{\mu_{\phi} \cdot \varepsilon_{syd} \cdot f_{yd}} = 6,46 \% : \mu_{\phi} = 5,90$$

Δοκός: Δ5.1, Όροφος 2

Γενικά δεδομένα δοκού

Κόμβοι	Αρχή: 10	Τέλος: 11	Μέλος: 67	ΣΠΙΕΜ = 1,00
Διατομή	Πλακοδοκός		Ανωδομής	Ακαμπτες απολήξεις
Διαστάσεις	40/90/130/50/5,2 [cm]		Μήκος lcl=6,75m	Bl=0,50m Br=0,65m
Υλικά	Σκυρόδεμα: C30/37		Χάλυβας: B500C	Συνδετήρες: B500C
Κανονισμός	ΚΠΜ		Κύρια δοκός	Ανακατανομή ροπών=Ναι

Μέγιστα οπλισμών ροπών κάμψης

Φορτ [/]	Κόμβ [/]	Θέση [m]	MEd [kNm]	NEd	As1_ca	As2_ca	As_sl	x [m]	As1_rq [cm²]	As2_rq [cm²]	ρ1_rq [o/oo]	E [/]
ΣΣ:+x	10	0,00	-346,99	0,00	9,80	0,00	0,00	0,09	9,83	4,91	2,898	2
ΣΣ:-z	10	0,00	165,14	0,00	4,52	0,00	0,00	0,03	9,83	4,91	2,898	2
1.15G+1.50QA	0	3,38	98,06	0,00	2,67	0,00	0,00	0,02	5,11	2,26	1,506	2
ΣΣ:-z	0	6,08	229,39	0,00	6,30	0,00	0,00	0,03	9,83	2,26	2,898	2
ΣΣ:+x	11	0,00	-380,29	0,00	10,78	0,00	14,58	0,09	9,83	12,20	2,898	2 η

Ο. Κ. Λειτουργικότητας: Μέγιστα ελέγχου ρηγμάτωσης - wk < 0,30/0,30 [EC2-1-1 §7.3]

Φορτ [/]	Κόμβ [/]	MEd [kNm]	NEd [kN]	As1_pr [cm²]	As2_pr [cm²]	Φεδ [mm]	As1min [cm²]	sm [mm]	σs [MPa]	σs_max [MPa]	wk [mm]	Προσθ.1 [/]	Προσθ.2 [/]
1.00[G+ψ2xQ]	0	92,21	0,00	10,18	2,26	18,0	4,83	99	112,6	350,1	0,09		
1.00[G+ψ2xQ]	10	-123,27	0,00	9,90	10,18	16,2	3,00	74	160,6	340,8	0,13		
1.00[G+ψ2xQ]	11	-78,25	0,00	10,30	12,44	14,9	2,90	60	74,4	352,3	0,06		

Ο. Κ. Λειτουργικότητας: Συνθήκη απαλλαγής αναλυτικού υπολογισμού βέλους [EC2-1-1 §7.4]

I [m]	d [m]	K [/]	Θέση [/]	ρ0 [o/oo]	ρ1_ca [o/oo]	ρ2_ca [o/oo]	I/d [/]	<	(I/d)lim [/]
7,65	0,85	1,30	0	5,477	0,316	0,000	9,0	<	200,0

Μέγιστα οπλισμών διάτμησης και στρέψης

Φορτ [/]	Κόμβ [/]	Θέση [m]	VEdmax [kNm]	ζ [/]	ΤΕd [kNm]	Θέση [kNm]	VEd [m]	V'Rdc [kN]	VRdc [kN]	cotθ [/]	Συνδετήρες τμ.[mm/cm/cm]	As45 [cm²]	Asl [cm²]
ΣΣ:+z	10	0,00	257,81	-0,14	19,82	0,85	229,08	227,66	124,62	2,50	2τμ.ΣΦ8/9,5/20		
ΣΣ:+z	11	0,00	264,23	-0,11	19,82	0,85	235,49	227,66	126,31	2,50	2τμ.ΣΦ8/9,5/20		

* Αντίσταση σε ροπή στρέψης σχεδιασμού T_{Rdm} = 291,22kNm - Ροπή στρέψης κατά την ρηγμάτωση T_{Rdc} = 74,64kNm - V_{Rdm} = 1611,88kN

Μέγιστα απαιτούμενου διαμήκη οπλισμού και συνδετήρων

Θέση [/]	Κόμβ [/]	Κάτω [cm²]	Φορτ [/]	Ανω [cm²]	Φορτ [/]	Συνδετήρες τμ.Φ/s]	Φορτ [/]	Διαγ. [cm²]	Φορτ [/]	Διαγ. [cm²]	Φορτ [/]	Κορμός [cm²]	Φορτ [/]
Άνοιγμα	10	9,83	ΣΣ:-z	2,26	1.15G+1.50QA	2τμ.ΣΦ8/20	ΣΣ:+z		2τμ.ΣΦ8/9,5	ΣΣ:+z			
Κόμβος	10	9,83	ΣΣ:-z	9,83	ΣΣ:+x	2τμ.ΣΦ8/9,5	ΣΣ:+z		2τμ.ΣΦ8/9,5	ΣΣ:+z			
Κόμβος	11	12,20	ΣΣ:+x	9,83	ΣΣ:+x	2τμ.ΣΦ8/9,5	ΣΣ:+z		2τμ.ΣΦ8/9,5	ΣΣ:+z			

Δοκός: Δ5.2, Όροφος 2

Γενικά δεδομένα δοκού

Κόμβοι	Αρχή: 11	Τέλος: 12	Μέλος: 68	ΣΠΕΜ = 1,00
Διατομή	Πλακοδοκός		Ανωδομής	Ακαμπτες απολήξεις
Διαστάσεις	40/90/105/50/5,2 [cm]		Μήκος lcl=4,85m	Bl=0,65m Br=0,50m
Υλικά	Συκρόδεμα: C30/37		Χάλυβας: B500C	Συνδετήρες: B500C
Κανονισμός	ΚΠΜ		Κύρια δοκός	Ανακατανομή ροπών=Ναι

Μέγιστα οπλισμών ροπών κάμψης

Φορτ [V]	Κόμβος [V]	Θέση [m]	MEd [kNm]	NEd [kN]	As1_ca [cm²]	As2_ca [cm²]	As_sl [cm²]	x [m]	As1_rq [cm²]	As2_rq [cm²]	ρ1_rq [o/oo]	E [V]	
ΣΣ:+x	11	0,00	-380,29	0,00	10,78	0,00	14,58	0,09	9,83	12,20	2,898	2	π
1.15G+1.50QB	0	2,42	36,31	0,00	0,98	0,00	0,00	0,01	5,11	2,26	1,506	2	
ΣΣ:-z	0	0,00	183,15	0,00	5,03	0,00	0,00	0,03	9,83	2,26	2,898	2	
ΣΣ:+x	12	0,00	-291,51	0,00	8,19	0,00	0,00	0,08	9,83	4,91	2,898	2	
ΣΣ:+z	12	0,00	121,30	0,00	3,32	0,00	0,00	0,03	9,83	4,91	2,898	2	

Ο. Κ. Λειτουργικότητας: Μέγιστα ελέγχου ρηγμάτωσης - wk < 0,30/0,30 [EC2-1-1 §7.3]

Φορτ [V]	Κόμβος [V]	MEd [kNm]	NEd [kN]	As1_pr [cm²]	As2_pr [cm²]	Φερ [mm]	As1min [cm²]	sm [mm]	σs [MPa]	σs_max [MPa]	wk [mm]	Προσθ.1 [V]	Προσθ.2 [V]
1.00[G+ψ2xQ]	0	37,12	0,00	10,18	8,04	18,0	4,77	99	45,6	344,5	0,04		
1.00[G+ψ2xQ]	11	-32,29	0,00	10,30	20,36	14,9	3,04	60	30,7	352,3	0,02		
1.00[G+ψ2xQ]	12	-67,19	0,00	10,05	10,18	16,0	3,15	75	86,2	340,4	0,07		

Ο. Κ. Λειτουργικότητας: Συνθήκη απαλλαγής αναλυτικού υπολογισμού βέλους [EC2-1-1 §7.4]

I [m]	d [m]	K [/]	Θέση [/]	ρ0 [o/oo]	ρ1_ca [o/oo]	ρ2_ca [o/oo]	I/d [/]	<	(I/d)lim [/]
5,75	0,85	1,30	0	5,477	0,162	0,000	6,8	<	200,0

Μέγιστα οπλισμών διάτμησης και στρέψης

Φορτ [V]	Κόμβος [V]	Θέση [m]	VEdmax [kN]	ζ	TEd [kNm]	Θέση [kN]	VEd [m]	V'Rdc [kN]	VRdc [kN]	cotθ	Συνδετήρες τμ.[mm/cm/cm]	As45 [cm²]	Asl [cm²]	
ΣΣ:+z	11	0,00	270,48	-0,43	23,91	0,85	245,43	227,66	126,31	2,50	2τμ.ΣΦ8/12.5/20			
ΣΣ:+z	12	0,00	258,99	-0,49	23,91	0,85	233,94	227,66	125,28	2,50	2τμ.ΣΦ8/12.5/20			

* Αντίσταση σε ροπή στρέψης σχεδιασμού TRdmax = 291,22kNm - Ροπή στρέψης κατά την ρηγμάτωση TRdc = 74,64kNm - VRdmax = 1611,88kN

Μέγιστα απαιτούμενου διαμήκη οπλισμού και συνδετήρων

Θέση [/]	Κόμβος [/]	Κάτω [cm²]	Φορτ [/]	Ανω [cm²]	Φορτ [/]	Συνδετήρες [τμ φ/s]	Φορτ [/]	Διαγ. [cm²]	Φορτ [/]	Διαγ. [cm²]	Φορτ [/]	Κορμός [cm²]	Φορτ [/]
Άνοιγμα		9,83	ΣΣ:-z	2,26	1.15G+1.50QB	2τμ.ΣΦ8/20	ΣΣ:+z						
Κόμβος	11	12,20	ΣΣ:+x	9,83		2τμ.ΣΦ8/12.5	ΣΣ:+z						
Κόμβος	12	9,83	ΣΣ:+z	9,83		2τμ.ΣΦ8/12.5	ΣΣ:+z						

Ελεγχος Συνάφειας Κόμβων [EC8-1 §5.6.2.2]

Κόμβος [V]	Στύλος [V]	hc [m]	>	hc_min [m]	vd [/]	ρ_bot [o/oo]	ρ_max [o/oo]	dbL [mm]	<	dbL_max [mm]
10	K10	1,00	>	0,35	0,02	3,00	9,46	Φ18	<	Φ51,4
11	K11	1,30	>	0,43	0,03	6,00	12,46	Φ18	<	Φ54,4
12	K12	1,00	>	0,35	0,02	3,00	9,46	Φ18	<	Φ51,4

Απαιτούμενος και τοποθετούμενος διαμήκης οπλισμός [Μέθοδος simplex]

Av. [V]	Θέση [/]	Αρχή[τ] [cm²]	Ανοιγμα[τ] [cm²]	Τέλος[τ] [cm²]		Αρχή[ρ] [cm²]	Ανοιγμα[ρ] [cm²]	Τέλος[ρ] [cm²]
1	Πάνω	9,83		2,26		9,90	2,26	10,30
1	Κάτω	9,83		9,83		10,18	10,18	20,36
2	Πάνω	9,83		2,26		10,30	8,04	10,05
2	Κάτω	12,20		9,83		20,36	10,18	10,18

Ελεγχοι διαμόρφωσης λεπτομερειών για τοπική πλαστιμότητα [EC8-1 §5.4.3.1.2]

Av.	Κομ.	Κατ.	As1_pr	As_sl	As2_pr	As2_ca	As2_pr-As2_ca	(As1_pr+As_sl)/2	ρ1_pr+ρ_sl	ρmax	ρ2_pr
[V]	[V]	[cm²]	[cm²]	[cm²]	[cm²]	[cm²]	[cm²]	[cm²]	[o/oo]	[o/oo]	[o/oo]
1	10	M-	9,90	0,00	10,18	0,00	10,18	>	4,95	2,92	<
1	10	M+	10,18	0,00	9,90	0,00	9,90	>	5,09	0,92	<
1	11	M-	10,30	14,58	20,36	0,00	20,36	>	12,44	7,34	<
1	11	M+	20,36	0,00	10,30	0,00	10,30	>	10,18	1,85	<
2	11	M-	10,30	14,58	20,36	0,00	20,36	>	12,44	7,34	<
2	11	M+	20,36	0,00	10,30	0,00	10,30	>	10,18	2,29	<
2	12	M-	10,05	0,00	10,18	0,00	10,18	>	5,03	2,96	<
2	12	M+	10,18	0,00	10,05	0,00	10,05	>	5,09	1,14	<

$$\rho_{\text{max}} = \rho' + \Delta_{\rho} : \Delta_{\rho} = 0,0018 \cdot \frac{f_{cd}}{\mu_{\phi} \cdot \epsilon_{sy} \cdot f_{yd}} = 6,46 \% : \mu_{\phi} = 5,90$$

Διαστασιολόγηση υποστυλωμάτων ορόφου - 1

Υποστύλωμα: K7, Όροφος - 1

Γενικά δεδομένα

Κόμβοι	Αρχή: 7(-2)	Τέλος: 7(-1)	Μέλος: 1	
Διατομή	Ορθογωνική: 100/50 /d'=5,5		Υψος = 3,00 [m]	
Υλικά	Σκυρόδεμα C30/37	Χάλυβας: B500C	Συνδετήρες: B500C	
Κοντό = Οχι	Ητολ=0,00 - ασ=1,76			
Κανονισμός	Πλαστιμότητα :ΚΠΜ	Πλάστιμο Τοίχωμα:Οχι	Κύριο Μέλος	
ΣΠΕΜ	[X]= 1,00	[Z]= 1,00		

Συντελεστές ελέγχου Ανακατανομής κόμβων

Κόμβος	Τοπ.Διεύθ.	aANK_1	aANK_2
7(-2)	Y	1,00	1,00
7(-2)	Z	1,00	1,00
7(-1)	Y	1,00	1,00
7(-1)	Z	1,00	1,00

Διαστασιολόγηση σε κάμψη

Φόρτ [/]	Κόμβος [/]	vd [/]	NEd [kN]	MEdy [kNm]	MEdz [kNm]	Ποσοστό Επάρκειας	
ΣΣ:-x	7(-1) +	-0,146	-1464,89	50,84	-755,26	101,40%	

Συντελεστές Ικανοτικού σχεδιασμού σε Τέμνουσα EC8-5.4.2.3(2)

Κόμβος	Τοπ.Διεύθ.	(ΣMRb/ΣMRc)_1	(ΣMRb/ΣMRc)_2
7(-1)	Y	1,00	1,00
7(-1)	Z	0,27	0,29

Μέγιστα εγκάρσιου οπλισμού

Φορτ [/]	Διε [/]	vd [/]	VEd [kN]	TEd [kNm]	V'Rdc [kN]	VRdc [kN]	cotθ [/]	Συνδετήρες Lκρ=1,00 τμ.[mm/cm/cm]	ωwd [/]	
ΣΣ:+z	Y	-0,048	453,00	1,23	281,36	293,68	2,50	6τμ.ΣΦ8/16/20	0,12	
ΣΣ:+z	Z	-0,048	1323,10	1,23	298,74	281,19	1,64	3τμ.ΣΦ8/8.5/8.5	0,23	

* ==> Αντίσταση σε τέμνουσα: Διε. Y: VRdmax = 2114,64kN - Διε. Z: VRdmax = 2245,32kN

Υποστύλωμα: K8, Όροφος - 1

Γενικά δεδομένα

Κόμβοι	Αρχή: 8(-2)	Τέλος: 8(-1)	Μέλος: 5	
Διατομή	Ορθογωνική: 130/50 /d'=5,5		Υψος = 3,00 [m]	
Υλικά	Σκυρόδεμα C30/37	Χάλυβας: B500C	Συνδετήρες: B500C	
Κοντό = Οχι	Ητολ=0,00 - ασ=1,33			
Κανονισμός	Πλαστιμότητα :ΚΠΜ	Πλάστιμο Τοίχωμα:Οχι	Κύριο Μέλος	
ΣΠΕΜ	[X]= 1,00	[Z]= 1,00		

Συντελεστές ελέγχου Ανακατανομής κόμβων

Κόμβος	Τοπ.Διεύθ.	aANK_1	aANK_2
8(-2)	Y	1,00	1,00
8(-2)	Z	1,00	1,00
8(-1)	Y	1,00	1,00
8(-1)	Z	1,00	1,00

Διαστασιολόγηση σε κάμψη

Φόρτ [/]	Κόμβος [/]	vd [/]	NEd [kN]	MEdy [kNm]	MEdz [kNm]	Ποσοστό Επάρκειας	
ΣΣ:+z	8(-1) +	-0,191	-2481,67	2128,50	-132,57	108,04%	

Συντελεστές Ικανοτικού σχεδιασμού σε Τέμνουσα EC8-5.4.2.3(2)

Κόμβος	Τοπ.Διεύθ.	(ΣMRb/ΣMRc)_1	(ΣMRb/ΣMRc)_2
8(-1)	Y	1,00	1,00
8(-1)	Z	0,26	0,31

Μέγιστα εγκάρσιου οπλισμού

Φορτ [/]	Διε [/]	vd [/]	VEd [kN]	TEd [kNm]	V'Rdc [kN]	VRdc [kN]	cotθ [/]	Συνδετήρες Lκρ=3,00 τμ.[mm/cm/cm]	ωwd [/]	
ΣΣ:+x	Y	-0,150	408,79	0,36	318,46	552,09	2,50	7τμ.ΣΦ8/11/20	0,17	
ΣΣ:-x	Z	-0,151	1622,21	0,58	342,16	545,29	1,79	3τμ.ΣΦ8/11/12	0,17	

* ==> Αντίσταση σε τέμνουσα: Διε. Y: VRdmax = 2749,03kN - Διε. Z: VRdmax = 2958,12kN

Υποστύλωμα: K9, Όροφος - 1

Γενικά δεδομένα

Κόμβοι	Αρχή: 9(-2)	Τέλος: 9(-1)	Μέλος: 9	
Διατομή	Ορθογωνική: 100/50 /d'=5,5		Υψος = 3,00 [m]	
Υλικά	Σκυρόδεμα C30/37	Χάλυβας: B500C	Συνδετήρες: B500C	
Κοντό = Οχι	Ητολ=0,00 - ασ=1,72			
Κανονισμός	Πλαστιμότητα :ΚΠΜ	Πλάστιμο Τοίχωμα:Οχι	Κύριο Μέλος	
ΣΠΕΜ	[X] = 1,00	[Z] = 1,00		

Συντελεστές ελέγχου Ανακατανομής κόμβων

Κόμβος	Τοπ.Διευθ.	aANK_1	aANK_2
9(-2)	Y	1,00	1,00
9(-2)	Z	1,00	1,00
9(-1)	Y	1,00	1,00
9(-1)	Z	1,00	1,00

Διαστασιολόγηση σε κάμψη

Φόρτ [/]	Κόμβος [/]	vd [/]	NEd [kN]	MEdy [kNm]	MEdz [kNm]	Ποσοστό Επάρκειας	
ΣΣ:+x	9(-1) +	-0,125	-1250,68	-63,87	-738,19	103,88%	

Συντελεστές Ικανοτικού σχεδιασμού σε Τέμνουσα EC8-5.4.2.3(2)

Κόμβος	Τοπ.Διευθ.	(ΣMRb/ΣMRc)_1	(ΣMRb/ΣMRc)_2
9(-1)	Y	1,00	1,00
9(-1)	Z	0,21	0,27

Μέγιστα εγκάρσιου οπλισμού

Φορτ [/]	Διε [/]	vd [/]	VED [kN]	TED [kNm]	V'Rdc [kN]	VRdc [kN]	cotθ [/]	Συνδετήρες Lκρ=1,00 τμ.[mm/cm/cm]	ωwd [/]	
ΣΣ:+z	Y	-0,011	449,34	1,23	294,74	247,92	2,50	6τμ.ΣΦ8/11/20	0,17	
ΣΣ:-z	Z	-0,023	1247,30	1,19	308,19	249,80	1,64	3τμ.ΣΦ8/9/9	0,22	

* ==> Αντίσταση σε τέμνουσα: Διε. Y: VRdmax = 2114,64kN - Διε. Z: VRdmax = 2245,32kN

Υποστύλωμα: K10, Όροφος -1**Γενικά δεδομένα**

Κόμβοι	Αρχή: 10(-2)	Τέλος: 10(-1)	Μέλος: 13	
Διατομή	Ορθογωνική: 100/50 /d'=5,5		Υψος = 3,00 [m]	
Υλικά	Σκυρόδεμα C30/37	Χάλυβας: B500C	Συνδετήρες: B500C	
Κοντό = Οχι	Ητολ=0,00 - ασ=1,76			
Κανονισμός	Πλαστιμότητα :ΚΠΜ	Πλάστιμο Τοίχωμα:Οχι	Κύριο Μέλος	
ΣΠΕΜ	[X] = 1,00	[Z] = 1,00		

Συντελεστές ελέγχου Ανακατανομής κόμβων

Κόμβος	Τοπ.Διευθ.	aANK_1	aANK_2
10(-2)	Y	1,00	1,00
10(-2)	Z	1,00	1,00
10(-1)	Y	1,00	1,00
10(-1)	Z	1,00	1,00

Διαστασιολόγηση σε κάμψη

Φόρτ [/]	Κόμβος [/]	vd [/]	NEd [kN]	MEdy [kNm]	MEdz [kNm]	Ποσοστό Επάρκειας	
ΣΣ:-x	10(-1) +	-0,147	-1474,91	36,63	750,54	100,03%	

Συντελεστές Ικανοτικού σχεδιασμού σε Τέμνουσα EC8-5.4.2.3(2)

Κόμβος	Τοπ.Διευθ.	(ΣMRb/ΣMRc)_1	(ΣMRb/ΣMRc)_2
10(-1)	Y	1,00	1,00
10(-1)	Z	0,32	0,29

Μέγιστα εγκάρσιου οπλισμού

Φορτ [/]	Διε [/]	vd [/]	VED [kN]	TED [kNm]	V'Rdc [kN]	VRdc [kN]	cotθ [/]	Συνδετήρες Lκρ=1,00 τμ.[mm/cm/cm]	ωwd [/]	
ΣΣ:-z	Y	-0,258	452,09	1,19	206,30	493,10	2,50	6τμ.ΣΦ8/12.5/20	0,15	
ΣΣ:+z	Z	-0,060	1303,81	1,23	294,26	295,02	1,66	3τμ.ΣΦ8/9/9	0,22	

* ==> Αντίσταση σε τέμνουσα: Διε. Y: VRdmax = 2114,64kN - Διε. Z: VRdmax = 2245,32kN

Υποστύλωμα: K11, Όροφος -1**Γενικά δεδομένα**

Κόμβοι	Αρχή: 11(-2)	Τέλος: 11(-1)	Μέλος: 17	
Διατομή	Ορθογωνική: 130/50 /d'=5,5		Υψος = 3,00 [m]	
Υλικά	Σκυρόδεμα C30/37	Χάλυβας: B500C	Συνδετήρες: B500C	

Κοντό = Οχι	Ητολ=0,00 - ασ=1,33		
Κανονισμός	Πλαστιμότητα :ΚΠΜ	Πλάστιμο Τοίχωμα:Οχι	Κύριο Μέλος
ΣΠΕΜ	[X] = 1,00	[Z] = 1,00	

Συντελεστές ελέγχου Ανακατανομής κόμβων

Κόμβος	Τοπ.Διευθ.	aANK_1	aANK_2
11(-2)	Y	1,00	1,00
11(-2)	Z	1,00	1,00
11(-1)	Y	1,00	1,00
11(-1)	Z	1,00	1,00

Διαστασιολόγηση σε κάμψη

Φόρτ [/]	Κόμβος [/]	vd [/]	NEd [kN]	MEdy [kNm]	MEdz [kNm]	Ποσοστό Επάρκειας	
ΣΣ:-z	11(-1) +	-0,191	-2484,56	2113,61	145,06	108,26%	

Συντελεστές Ικανοτικού σχεδιασμού σε Τέμνουσα EC8-5.4.2.3(2)

Κόμβος	Τοπ.Διευθ.	(ΣMRb/ΣMRc)_1	(ΣMRb/ΣMRc)_2
11(-1)	Y	1,00	1,00
11(-1)	Z	0,28	0,27

Μέγιστα εγκάρσιου οπλισμού

Φορτ [/]	Διε [/]	vd [/]	VEd [kN]	TEd [kNm]	V'Rdc [kN]	VRdc [kN]	cotθ [/]	Συνδετήρες Λκρ=3,00 τμ.[mm/cm/cm]	ωwd [/]
ΣΣ:+x	Y	-0,341	390,82	0,36	229,60	639,17	2,50	7τμ.ΣΦ8/11/20	0,17
ΣΣ:-z	Z	-0,155	1654,60	1,71	340,14	552,82	1,78	3τμ.ΣΦ8/11/11.5	0,17

* ==> Αντίσταση σε τέμνουσα: Διε. Y: VRdmax = 2749,03kN - Διε. Z: VRdmax = 2958,12kN

Υποστύλωμα: K12, Όροφος - 1**Γενικά δεδομένα**

Κόμβοι	Αρχή: 12(-2)	Τέλος: 12(-1)	Μέλος: 21	
Διατομή	Ορθογωνική: 100/50 /d'=5,5			Υψος = 3,00 [m]
Υλικά	Σκυρόδεμα C30/37	Χάλυβας: B500C		Συνδετήρες: B500C
Κοντό = Οχι	Ητολ=0,00 - ασ=1,72			
Κανονισμός	Πλαστιμότητα :ΚΠΜ	Πλάστιμο Τοίχωμα:Οχι	Κύριο Μέλος	
ΣΠΕΜ	[X] = 1,00	[Z] = 1,00		

Συντελεστές ελέγχου Ανακατανομής κόμβων

Κόμβος	Τοπ.Διευθ.	aANK_1	aANK_2
12(-2)	Y	1,00	1,00
12(-2)	Z	1,00	1,00
12(-1)	Y	1,00	1,00
12(-1)	Z	1,00	1,00

Διαστασιολόγηση σε κάμψη

Φόρτ [/]	Κόμβος [/]	vd [/]	NEd [kN]	MEdy [kNm]	MEdz [kNm]	Ποσοστό Επάρκειας	
ΣΣ:+x	12(-1) +	-0,126	-1263,89	-50,34	732,03	100,65%	

Συντελεστές Ικανοτικού σχεδιασμού σε Τέμνουσα EC8-5.4.2.3(2)

Κόμβος	Τοπ.Διευθ.	(ΣMRb/ΣMRc)_1	(ΣMRb/ΣMRc)_2
12(-1)	Y	1,00	1,00
12(-1)	Z	0,32	0,27

Μέγιστα εγκάρσιου οπλισμού

Φορτ [/]	Διε [/]	vd [/]	VEd [kN]	TEd [kNm]	V'Rdc [kN]	VRdc [kN]	cotθ [/]	Συνδετήρες Λκρ=1,00 τμ.[mm/cm/cm]	ωwd [/]
ΣΣ:-z	Y	-0,244	446,52	1,19	211,25	496,62	2,50	6τμ.ΣΦ8/14/20	0,14
ΣΣ:+z	Z	-0,026	1301,52	1,23	307,23	249,97	1,62	3τμ.ΣΦ8/8.5/8.5	0,23

* ==> Αντίσταση σε τέμνουσα: Διε. Y: VRdmax = 2114,64kN - Διε. Z: VRdmax = 2245,32kN

Υποστύλωμα: K13, Όροφος - 1**Γενικά δεδομένα**

Κόμβοι	Αρχή: 13(-2)	Τέλος: 13(-1)	Μέλος: 25	
Διατομή	Ορθογωνική: 50/100 /d'=5,5			Υψος = 3,00 [m]
Υλικά	Σκυρόδεμα C30/37	Χάλυβας: B500C		Συνδετήρες: B500C
Κοντό = Οχι	Ητολ=0,00 - ασ=1,58			
Κανονισμός	Πλαστιμότητα :ΚΠΜ	Πλάστιμο Τοίχωμα:Οχι	Κύριο Μέλος	
ΣΠΕΜ	[X] = 1,00	[Z] = 1,00		

Συντελεστές ελέγχου Ανακατανομής κόμβων

Κόμβος	Τοπ.Διεύθ.	aANK_1	aANK_2
13(-2)	Y	1,00	1,00
13(-2)	Z	1,00	1,00
13(-1)	Y	1,00	1,00
13(-1)	Z	1,21	1,20

Διαστασιολόγηση σε κάμψη

Φόρτ [/]	Κόμβος [/]	vd [/]	NEd [kN]	MEdy [kNm]	MEdz [kNm]	Ποσοστό Επάρκειας	
ΣΣ:-x	13(-1) -	-0,030	-303,83	796,22	10,06	132,18%	

Συντελεστές Ικανοτικού σχεδιασμού σε Τέμνουσα EC8-5.4.2.3(2)

Κόμβος	Τοπ.Διεύθ.	(ΣMRb/ΣMRc)_1	(ΣMRb/ΣMRc)_2
13(-1)	Y	1,00	1,00
13(-1)	Z	1,00	1,00

Μέγιστα εγκάρσιου οπλισμού

Φορτ [/]	Διε [/]	vd [/]	VEd [kN]	TEd [kNm]	V'Rdc [kN]	VRdc [kN]	cotθ [/]	Συνδετήρες Lκρ=1,00 τμ.[mm/cm/cm]	ωwd [/]	
ΣΣ:+x	Y	-0,027	490,42	0,25	289,10	256,02	2,50	6τμ.ΣΦ8/16/20	0,12	
ΣΣ:+x	Z	-0,027	803,88	0,25	306,96	242,37	2,00	3τμ.ΣΦ8/16/19.5	0,12	

* ==> Αντίσταση σε τέμνουσα: Διε. Y: VRdmax = 2114,64kN - Διε. Z: VRdmax = 2245,32kN

Υποστύλωμα: K14, Όροφος -1**Γενικά δεδομένα**

Κόμβοι	Αρχή: 14(-2)	Τέλος: 14(-1)	Μέλος: 26	
Διατομή	Ορθογωνική: 50/100 /d'=5,5		Υψος = 3,00 [m]	
Υλικά	Σκυρόδεμα C30/37	Χάλυβας: B500C	Συνδετήρες: B500C	
Κοντό = Οχι	Ητολ=0,00 - ασ=1,52			
Κανονισμός	Πλαστιμότητα :ΚΠΜ	Πλάστιμο Τοιχωμα:Οχι	Κύριο Μέλος	
ΣΠΕΜ	[X] = 1,00	[Z] = 1,00		

Διαστασιολόγηση σε κάμψη

Φόρτ [/]	Κόμβος [/]	vd [/]	NEd [kN]	MEdy [kNm]	MEdz [kNm]	Ποσοστό Επάρκειας	
ΣΣ:-z	14(-1) -	-0,070	-704,33	823,88	0,17	147,77%	

Συντελεστές Ικανοτικού σχεδιασμού σε Τέμνουσα EC8-5.4.2.3(2)

Κόμβος	Τοπ.Διεύθ.	(ΣMRb/ΣMRc)_1	(ΣMRb/ΣMRc)_2
14(-1)	Y	1,00	1,00
14(-1)	Z	1,00	1,00

Μέγιστα εγκάρσιου οπλισμού

Φορτ [/]	Διε [/]	vd [/]	VEd [kN]	TEd [kNm]	V'Rdc [kN]	VRdc [kN]	cotθ [/]	Συνδετήρες Lκρ=1,00 τμ.[mm/cm/cm]	ωwd [/]	
ΣΣ:+x	Y	-0,069	239,07	0,25	273,89	312,67	2,50	6τμ.ΣΦ8/16/20	0,12	
ΣΣ:-x	Z	-0,069	928,01	0,41	290,81	302,54	1,89	3τμ.ΣΦ8/16/16.5	0,12	

* ==> Αντίσταση σε τέμνουσα: Διε. Y: VRdmax = 2114,64kN - Διε. Z: VRdmax = 2245,32kN

Υποστύλωμα: K15, Όροφος -1**Γενικά δεδομένα**

Κόμβοι	Αρχή: 15(-2)	Τέλος: 15(-1)	Μέλος: 27	
Διατομή	Ορθογωνική: 50/100 /d'=5,5		Υψος = 3,00 [m]	
Υλικά	Σκυρόδεμα C30/37	Χάλυβας: B500C	Συνδετήρες: B500C	
Κοντό = Οχι	Ητολ=0,00 - ασ=1,58			
Κανονισμός	Πλαστιμότητα :ΚΠΜ	Πλάστιμο Τοιχωμα:Οχι	Κύριο Μέλος	
ΣΠΕΜ	[X] = 1,00	[Z] = 1,00		

Συντελεστές ελέγχου Ανακατανομής κόμβων

Κόμβος	Τοπ.Διεύθ.	aANK_1	aANK_2
15(-2)	Y	1,00	1,00
15(-2)	Z	1,00	1,00
15(-1)	Y	1,00	1,00
15(-1)	Z	1,20	1,20

Διαστασιολόγηση σε κάμψη

Φόρτ [/]	Κόμβος [/]	vd [/]	NEd [kN]	MEdy [kNm]	MEdz [kNm]	Ποσοστό Επάρκειας	
ΣΣ:+x	15(-1) -	-0,026	-263,99	774,59	-9,43	133,84%	

Συντελεστές Ικανοτικού σχεδιασμού σε Τέμνουσα EC8-5.4.2.3(2)

Κόμβος	Τοπ.Διευθ.	(ΣMRb/ΣMRc)_1	(ΣMRb/ΣMRc)_2
15(-1)	Y	1,00	1,00
15(-1)	Z	1,00	1,00

Μέγιστα εγκάρσιου οπλισμού

Φορτ [/]	Διε [/]	vd [/]	VEd [kN]	TEd [kNm]	V'Rdc [kN]	VRdc [kN]	cotθ [/]	Συνδετήρες Λκρ=1,00 τμ.[mm/cm/cm]	ωwd [/]	
ΣΣ:-x	Y	-0,022	376,12	0,41	290,94	249,15	2,50	6τμ.ΣΦ8/16/20	0,12	
ΣΣ:-x	Z	-0,022	798,54	0,41	308,92	235,08	2,01	3τμ.ΣΦ8/16/19.5	0,12	

* ==> Αντίσταση σε τέμνουσα: Διε. Y: VRdmax = 2114,64kN - Διε. Z: VRdmax = 2245,32kN

Διαστασιολόγηση υποστυλωμάτων ορόφου 0

Υποστύλωμα: K7, Όροφος 0

Γενικά δεδομένα

Κόμβοι	Αρχή: 7(-1)	Τέλος: 7(0)	Μέλος: 2	
Διατομή	Ορθογωνική: 100/50 /d'=5,5			Υψος = 6,45 [m]
Υλικά	Σκυρόδεμα C30/37	Χάλυβας: B500C		Συνδετήρες: B500C
Κοντό= Οχι	Ητολ=0,00 - ασ=3,57			
Κανονισμός	Πλαστιμότητα :ΚΠΜ	Πλάστιμο Τοίχωμα:Οχι		Κύριο Μέλος
ΣΠΕΜ	[X] = 1,00	[Z] = 1,00		

Συντελεστές ελέγχου κόμβων

Κόμβος	Τοπ.Διευθ.			
7(-1)	Y		aANK_1 = 1,00	aANK_2 = 1,00
7(-1)	Z		aCD_1 = 1,00	aCD_2 = 1,00
7(0)	Y		aCD_1 = 1,05	aCD_2 = 1,04
7(0)	Z		aCD_1 = 1,00	aCD_2 = 1,00

Διαστασιολόγηση σε κάμψη

Φόρτ [/]	Κόμβος [/]	vd [/]	NEd [kN]	MEdy [kNm]	MEdz [kNm]	Ποσοστό Επάρκειας	
ΣΣ:-x	7(0) -	-0,140	-1395,24	-15,33	804,47	100,55%	

Συντελεστές Ικανοτικού σχεδιασμού σε Τέμνουσα EC8-5.4.2.3(2)

Κόμβος	Τοπ.Διευθ.	(ΣMRb/ΣMRc)_1	(ΣMRb/ΣMRc)_2
7(-1)	Y	1,00	1,00
7(-1)	Z	0,27	0,29
7(0)	Y	0,34	0,36
7(0)	Z	0,67	0,67

Μέγιστα εγκάρσιου οπλισμού

Φορτ [/]	Διε [/]	vd [/]	VEd [kN]	TEd [kNm]	V'Rdc [kN]	VRdc [kN]	cotθ [/]	Συνδετήρες Λκρ=1,08 τμ.[mm/cm/cm]	owd [/]	
ΣΣ:-x	Y	-0,054	241,81	2,04	279,23	309,79	2,50	6τμ.ΣΦ8/16/20	0,12	π
ΣΣ:-z	Z	-0,057	413,00	5,14	295,26	301,77	2,50	3τμ.ΣΦ8/16/20	0,12	π

* ==> Αντίσταση σε τέμνουσα: Διε. Y: VRdmax = 2114,64kN - Διε. Z: VRdmax = 2245,32kN

Υποστύλωμα: K8, Όροφος 0

Γενικά δεδομένα

Κόμβοι	Αρχή: 8(-1)	Τέλος: 8(0)	Μέλος: 6	
Διατομή	Ορθογωνική: 130/50 /d'=5,5			Υψος = 6,45 [m]
Υλικά	Σκυρόδεμα C30/37	Χάλυβας: B500C		Συνδετήρες: B500C
Κοντό= Οχι	Ητολ=0,00 - ασ=2,79			
Κανονισμός	Πλαστιμότητα :ΚΠΜ	Πλάστιμο Τοίχωμα:Οχι		Κύριο Μέλος
ΣΠΕΜ	[X] = 1,00	[Z] = 1,00		

Συντελεστές ελέγχου κόμβων

Κόμβος	Τοπ.Διευθ.			
8(-1)	Y		aANK_1 = 1,00	aANK_2 = 1,00
8(-1)	Z		aCD_1 = 1,00	aCD_2 = 1,00
8(0)	Y		aCD_1 = 1,29	aCD_2 = 1,00
8(0)	Z		aCD_1 = 1,56	aCD_2 = 1,56

Διαστασιολόγηση σε κάμψη

Φόρτ [/]	Κόμβος [/]	vd [/]	NEd [kN]	MEdy [kNm]	MEdz [kNm]	Ποσοστό Επάρκειας	
ΣΣ:-x	8(0) -	-0,186	-2421,22	-2536,30	346,68	100,01%	

Συντελεστές Ικανοτικού σχεδιασμού σε Τέμνουσα EC8-5.4.2.3(2)

Κόμβος	Τοπ.Διευθ.	(ΣMRb/ΣMRc)_1	(ΣMRb/ΣMRc)_2
8(-1)	Y	1,00	1,00
8(-1)	Z	0,26	0,31
8(0)	Y	0,71	0,71
8(0)	Z	0,55	0,41

Μέγιστα εγκάρσιου οπλισμού

Φορτ [/]	Διε [/]	vd [/]	VEd [kN]	TEd [kNm]	V'Rdc [kN]	VRdc [kN]	cotθ [/]	Συνδετήρες Λκρ=1,30 τμ.[mm/cm/cm]	owd [/]	
ΣΣ:+x	Y	-0,107	335,30	1,82	338,21	521,14	2,50	7τμ.ΣΦ8/14/20	0,14	π
ΣΣ:-z	Z	-0,108	735,17	7,37	363,63	503,77	2,50	3τμ.ΣΦ8/14/20	0,13	π

* ==> Αντίσταση σε τέμνουσα: Διε. Y: VRdmax = 2749,03kN - Διε. Z: VRdmax = 2958,12kN

Υποστύλωμα: Κ9, Όροφος 0

Γενικά δεδομένα

Κόμβοι	Αρχή: 9(-1)	Τέλος: 9(0)	Μέλος: 10	
Διατομή	Ορθογωνική: 100/50 /d'=5,5			Υψος = 6,45 [m]
Υλικά	Σκυρόδεμα C30/37	Χάλυβας: B500C		Συνδετήρες: B500C
Κοντό = Οχι	Ητολ=0,00 - ασ=3,60			
Κανονισμός	Πλαστιμότητα :ΚΠΜ	Πλάστιμο Τοίχωμα:Οχι	Kύριο Μέλος	
ΣΠΕΜ	[X] = 1,00	[Z] = 1,00		

Συντελεστές ελέγχου κόμβων

Κόμβος	Τοπ.Διευθ.			
9(-1)	Y		aANK_1 = 1,00	aANK_2 = 1,00
9(-1)	Z		aCD_1 = 1,00	aCD_2 = 1,00
9(0)	Y		aCD_1 = 1,01	aCD_2 = 1,00
9(0)	Z		aCD_1 = 1,00	aCD_2 = 1,00

Διαστασιολόγηση σε κάμψη

Φόρτ [/]	Κόμβος [/]	vd [/]	NEd [kN]	MEdy [kNm]	MEdz [kNm]	Ποσοστό Επάρκειας	
ΣΣ:+x	9(0) -	-0,118	-1184,30	27,95	777,43	117,70%	

Συντελεστές Ικανοτικού σχεδιασμού σε Τέμνουσα EC8-5.4.2.3(2)

Κόμβος	Τοπ.Διευθ.	(ΣMRb/ΣMRc)_1	(ΣMRb/ΣMRc)_2
9(-1)	Y	1,00	1,00
9(-1)	Z	0,21	0,27
9(0)	Y	0,34	0,34
9(0)	Z	0,59	0,58

Μέγιστα εγκάρσιου οπλισμού

Φορτ [/]	Διε [/]	vd [/]	VEd [kN]	TEd [kNm]	V'Rdc [kN]	VRdc [kN]	cotθ [/]	Συνδετήρες Λκρ=1,08 τμ.[mm/cm/cm]	ωwd [/]	
ΣΣ:+x	Y	-0,026	234,97	1,27	289,47	286,53	2,50	6τμ.ΣΦ8/16/20	0,12	π
ΣΣ:+x	Z	-0,191	388,15	1,27	244,42	504,95	2,50	3τμ.ΣΦ8/16/20	0,12	π

* ==> Αντίσταση σε τέμνουσα: Διε. Y: VRdmax = 2114,64kN - Διε. Z: VRdmax = 2245,32kN

Υποστύλωμα: Κ10, Όροφος 0

Γενικά δεδομένα

Κόμβοι	Αρχή: 10(-1)	Τέλος: 10(0)	Μέλος: 14	
Διατομή	Ορθογωνική: 100/50 /d'=5,5			Υψος = 6,45 [m]
Υλικά	Σκυρόδεμα C30/37	Χάλυβας: B500C		Συνδετήρες: B500C
Κοντό = Οχι	Ητολ=0,00 - ασ=3,55			
Κανονισμός	Πλαστιμότητα :ΚΠΜ	Πλάστιμο Τοίχωμα:Οχι	Kύριο Μέλος	
ΣΠΕΜ	[X] = 1,00	[Z] = 1,00		

Συντελεστές ελέγχου κόμβων

Κόμβος	Τοπ.Διευθ.			
10(-1)	Y		aANK_1 = 1,00	aANK_2 = 1,00
10(-1)	Z		aCD_1 = 1,00	aCD_2 = 1,00
10(0)	Y		aCD_1 = 1,05	aCD_2 = 1,05
10(0)	Z		aCD_1 = 1,00	aCD_2 = 1,00

Διαστασιολόγηση σε κάμψη

Φόρτ [/]	Κόμβος [/]	vd [/]	NEd [kN]	MEdy [kNm]	MEdz [kNm]	Ποσοστό Επάρκειας	
ΣΣ:-x	10(0) -	-0,140	-1401,82	-7,81	-795,07	102,36%	

Συντελεστές Ικανοτικού σχεδιασμού σε Τέμνουσα EC8-5.4.2.3(2)

Κόμβος	Τοπ.Διευθ.	(ΣMRb/ΣMRc)_1	(ΣMRb/ΣMRc)_2
10(-1)	Y	1,00	1,00
10(-1)	Z	0,32	0,29
10(0)	Y	0,34	0,36
10(0)	Z	0,67	0,67

Μέγιστα εγκάρσιου οπλισμού

Φορτ [/]	Διε [/]	vd [/]	VEd [kN]	TEd [kNm]	V'Rdc [kN]	VRdc [kN]	cotθ [/]	Συνδετήρες Λκρ=1,08 τμ.[mm/cm/cm]	ωwd [/]	
ΣΣ:-x	Y	-0,201	239,62	2,04	226,68	504,39	2,50	6τμ.ΣΦ8/16/20	0,12	π
ΣΣ:+z	Z	-0,058	406,03	5,48	295,20	301,98	2,50	3τμ.ΣΦ8/16/20	0,12	π

* ==> Αντίσταση σε τέμνουσα: Διε. Y: VRdmax = 2114,64kN - Διε. Z: VRdmax = 2245,32kN

Υποστύλωμα: K11, Όροφος 0

Γενικά δεδομένα

Κόμβοι	Αρχή: 11(-1)	Τέλος: 11(0)	Μέλος: 18	
Διατομή	Ορθογωνική: 130/50 /d'=5,5			Υψος = 6,45 [m]
Υλικά	Σκυρόδεμα C30/37		Χάλυβας: B500C	Συνδετήρες: B500C
Κοντό= Οχι	Ητολ=0,00 - ασ=2,78			
Κανονισμός	Πλαστιμότητα :ΚΠΜ		Πλάστιμο Τοίχωμα:Οχι	Κύριο Μέλος
ΣΠΕΜ	[X] = 1,00	[Z] = 1,00		

Συντελεστές ελέγχου κόμβων

Κόμβος	Τοπ.Διευθ.			
11(-1)	Y	aANK_1 = 1,00		aANK_2 = 1,00
11(-1)	Z	aCD_1 = 1,00		aCD_2 = 1,00
11(0)	Y	aCD_1 = 1,00		aCD_2 = 1,30
11(0)	Z	aCD_1 = 1,57		aCD_2 = 1,57

Διαστασιολόγηση σε κάμψη

Φόρτ [/]	Κόμβος [/]	vd [/]	NEd [kN]	MEdy [kNm]	MEdz [kNm]	Ποσοστό Επάρκειας	
ΣΣ:-x	11(0) -	-0,187	-2427,00	-2536,30	-344,48	100,15%	

Συντελεστές Ικανοτικού σχεδιασμού σε Τέμνουσα EC8-5.4.2.3(2)

Κόμβος	Τοπ.Διευθ.	(ΣMRb/ΣMRc)_1	(ΣMRb/ΣMRc)_2
11(-1)	Y	1,00	1,00
11(-1)	Z	0,28	0,27
11(0)	Y	0,70	0,70
11(0)	Z	0,41	0,55

Μέγιστα εγκάρσιου οπλισμού

Φορτ [/]	Διε [/]	vd [/]	VEd [kN]	TEd [kNm]	V'Rdc [kN]	VRdc [kN]	cotθ [/]	Συνδετήρες Lκρ=1,30 τμ.[mm/cm/cm]	ωwd [/]	
ΣΣ:+x	Y	-0,293	335,44	1,82	251,97	681,77	2,50	7τμ.ΣΦ8/14/20	0,14	π
ΣΣ:+z	Z	-0,108	731,97	7,87	363,55	504,08	2,50	3τμ.ΣΦ8/14/20	0,13	π

* ==> Αντίσταση σε τέμνουσα: Διε. Y: VRdmax = 2749,03kN - Διε. Z: VRdmax = 2958,12kN

Υποστύλωμα: K12, Όροφος 0

Γενικά δεδομένα

Κόμβοι	Αρχή: 12(-1)	Τέλος: 12(0)	Μέλος: 22	
Διατομή	Ορθογωνική: 100/50 /d'=5,5			Υψος = 6,45 [m]
Υλικά	Σκυρόδεμα C30/37		Χάλυβας: B500C	Συνδετήρες: B500C
Κοντό= Οχι	Ητολ=0,00 - ασ=3,60			
Κανονισμός	Πλαστιμότητα :ΚΠΜ		Πλάστιμο Τοίχωμα:Οχι	Κύριο Μέλος
ΣΠΕΜ	[X] = 1,00	[Z] = 1,00		

Συντελεστές ελέγχου κόμβων

Κόμβος	Τοπ.Διευθ.			
12(-1)	Y	aANK_1 = 1,00		aANK_2 = 1,00
12(-1)	Z	aCD_1 = 1,00		aCD_2 = 1,00
12(0)	Y	aCD_1 = 1,00		aCD_2 = 1,01
12(0)	Z	aCD_1 = 1,00		aCD_2 = 1,00

Διαστασιολόγηση σε κάμψη

Φόρτ [/]	Κόμβος [/]	vd [/]	NEd [kN]	MEdy [kNm]	MEdz [kNm]	Ποσοστό Επάρκειας	
ΣΣ:+x	12(0) -	-0,119	-1192,93	20,88	-767,65	101,16%	

Συντελεστές Ικανοτικού σχεδιασμού σε Τέμνουσα EC8-5.4.2.3(2)

Κόμβος	Τοπ.Διευθ.	(ΣMRb/ΣMRc)_1	(ΣMRb/ΣMRc)_2
12(-1)	Y	1,00	1,00
12(-1)	Z	0,32	0,27
12(0)	Y	0,35	0,34
12(0)	Z	0,63	0,64

Μέγιστα εγκάρσιου οπλισμού

Φορτ [/]	Διε [/]	vd [/]	VEd [kN]	TEd [kNm]	V'Rdc [kN]	VRdc [kN]	cotθ [/]	Συνδετήρες Lκρ=1,08 τμ.[mm/cm/cm]	ωwd [/]	
ΣΣ:+x	Y	-0,190	232,50	1,27	230,51	491,25	2,50	6τμ.ΣΦ8/16/20	0,12	π
ΣΣ:+z	Z	-0,190	395,64	1,27	244,76	489,87	2,50	3τμ.ΣΦ8/16/20	0,12	π

* ==> Αντίσταση σε τέμνουσα: Διε. Y: VRdmax = 2114,64kN - Διε. Z: VRdmax = 2245,32kN

Διαστασιολόγηση υποστυλωμάτων ορόφου 1

Υποστύλωμα: K7, Όροφος 1

Γενικά δεδομένα

Κόμβοι	Αρχή: 7(0)	Τέλος: 7(1)	Μέλος: 3	
Διατομή	Ορθογωνική: 100/50 /d'=5,5			Υψος = 4,20 [m]
Υλικά	Σκυρόδεμα C30/37	Χάλυβας: B500C		Συνδετήρες: B500C
Κοντό= Οχι	Ητολ=0,00 - ασ=2,10			
Κανονισμός	Πλαστιμότητα :ΚΠΜ	Πλάστιμο Τοίχωμα:Οχι		Κύριο Μέλος
ΣΠΕΜ	[X]= 1,00	[Z]= 1,00		

Συντελεστές Ικανοτικού ελέγχου κόμβων

Κόμβος	Τοπ.Διευθ.	aCD_1	aCD_2
7(0)	Y	2,32	2,32
7(0)	Z	1,83	1,92
7(1)	Y	1,37	1,00
7(1)	Z	1,00	1,00

Διαστασιολόγηση σε κάμψη

Φόρτ [/]	Κόμβος [/]	vd [/]	NEd [kN]	MEdy [kNm]	MEdz [kNm]	Ποσοστό Επάρκειας
ΣΣ:-z	7(0) +	-0,076	-761,86	-115,62	589,06	100,42%

Συντελεστές Ικανοτικού σχεδιασμού σε Τέμνουσα EC8-5.4.2.3(2)

Κόμβος	Τοπ.Διευθ.	(ΣMRb/ΣMRc)_1	(ΣMRb/ΣMRc)_2
7(0)	Y	0,34	0,36
7(0)	Z	0,67	0,67
7(1)	Y	0,33	0,30
7(1)	Z	0,51	0,36

Μέγιστα εγκάρσιου οπλισμού

Φορτ [/]	Διε [/]	vd [/]	VEd [kN]	TEd [kNm]	V'Rdc [kN]	VRdc [kN]	cotθ [/]	Συνδετήρες Λκρ=1,00 τμ.[mm/cm/cm]	owd [/]
ΣΣ:+x	Y	-0,126	299,41	0,72	253,45	388,80	2,50	6τμ.ΣΦ8/16/20	0,12
ΣΣ:+z	Z	-0,126	262,99	3,60	269,27	382,79	2,50	3τμ.ΣΦ8/16/20	0,12

* ==> Αντίσταση σε τέμνουσα: Διε. Y: VRdmax = 2114,64kN - Διε. Z: VRdmax = 2245,32kN

Υποστύλωμα: K8, Όροφος 1

Γενικά δεδομένα

Κόμβοι	Αρχή: 8(0)	Τέλος: 8(1)	Μέλος: 7	
Διατομή	Ορθογωνική: 130/50 /d'=5,5			Υψος = 4,20 [m]
Υλικά	Σκυρόδεμα C30/37	Χάλυβας: B500C		Συνδετήρες: B500C
Κοντό= Οχι	Ητολ=0,00 - ασ=1,87			
Κανονισμός	Πλαστιμότητα :ΚΠΜ	Πλάστιμο Τοίχωμα:Οχι		Κύριο Μέλος
ΣΠΕΜ	[X]= 1,00	[Z]= 1,00		

Συντελεστές Ικανοτικού ελέγχου κόμβων

Κόμβος	Τοπ.Διευθ.	aCD_1	aCD_2
8(0)	Y	2,88	2,14
8(0)	Z	2,86	2,86
8(1)	Y	2,00	1,21
8(1)	Z	1,74	1,75

Διαστασιολόγηση σε κάμψη

Φόρτ [/]	Κόμβος [/]	vd [/]	NEd [kN]	MEdy [kNm]	MEdz [kNm]	Ποσοστό Επάρκειας
ΣΣ:-x	8(0) +	-0,134	-1747,54	2075,15	-550,44	101,90%

Συντελεστές Ικανοτικού σχεδιασμού σε Τέμνουσα EC8-5.4.2.3(2)

Κόμβος	Τοπ.Διευθ.	(ΣMRb/ΣMRc)_1	(ΣMRb/ΣMRc)_2
8(0)	Y	0,71	0,71
8(0)	Z	0,55	0,41
8(1)	Y	0,78	0,78
8(1)	Z	0,45	0,28

Μέγιστα εγκάρσιου οπλισμού

Φορτ [/]	Διε [/]	vd [/]	VEd [kN]	TEd [kNm]	V'Rdc [kN]	VRdc [kN]	cotθ [/]	Συνδετήρες Λκρ=1,30 τμ.[mm/cm/cm]	owd [/]
ΣΣ:+x	Y	-0,194	544,74	1,03	297,75	671,82	2,50	7τμ.ΣΦ8/14/20	0,14
ΣΣ:-x	Z	-0,072	890,28	1,60	381,93	435,61	2,28	3τμ.ΣΦ8/14/20	0,13

* ==> Αντίσταση σε τέμνουσα: Διε. Y: VRdmax = 2749,03kN - Διε. Z: VRdmax = 2958,12kN

Υποστύλωμα: Κ9, Όροφος 1

Γενικά δεδομένα

Κόμβοι	Αρχή: 9(0)	Τέλος: 9(1)	Μέλος: 11	
Διατομή	Ορθογωνική: 100/50 /d'=5,5			Υψος = 4,20 [m]
Υλικά	Σκυρόδεμα C30/37		Χάλυβας: B500C	Συνδετήρες: B500C
Κοντό= Οχι	Ητολ=0,00 - ασ=2,36			
Κανονισμός	Πλαστιμότητα :ΚΠΜ		Πλάστιμο Τοίχωμα:Οχι	Κύριο Μέλος
ΣΠΕΜ	[X] = 1,00	[Z] = 1,00		

Συντελεστές Ικανοτικού ελέγχου κόμβων

Κόμβος	Τοπ.Διευθ.	aCD_1	aCD_2
9(0)	Y	2,35	2,30
9(0)	Z	1,55	1,51
9(1)	Y	1,45	1,00
9(1)	Z	1,00	1,00

Διαστασιολόγηση σε κάμψη

Φόρτ [/]	Κόμβος [/]	vd [/]	NEd [kN]	MEdy [kNm]	MEdz [kNm]	Ποσοστό Επάρκειας	
ΣΣ:-z	9(0) +	-0,064	-637,45	66,73	538,93	107,96%	

Συντελεστές Ικανοτικού σχεδιασμού σε Τέμνουσα EC8-5.4.2.3(2)

Κόμβος	Τοπ.Διευθ.	(ΣMRb/ΣMRc)_1	(ΣMRb/ΣMRc)_2
9(0)	Y	0,34	0,34
9(0)	Z	0,59	0,58
9(1)	Y	0,34	0,35
9(1)	Z	0,53	0,36

Μέγιστα εγκάρσιου οπλισμού

Φορτ [/]	Διε [/]	vd [/]	VEd [kN]	TEd [kNm]	V'Rdc [kN]	VRdc [kN]	cotθ [/]	Συνδετήρες Λκρ=1,00 τμ.[mm/cm/cm]	ωwd [/]	
ΣΣ:-x	Y	-0,114	273,29	1,11	257,76	372,77	2,50	6τμ.ΣΦ8/16/20	0,12	
ΣΣ:+z	Z	-0,029	245,92	3,60	306,27	244,96	2,50	3τμ.ΣΦ8/16/20	0,12	

* ==> Αντίσταση σε τέμνουσα: Διε. Y: VRdmax = 2114,64kN - Διε. Z: VRdmax = 2245,32kN

Υποστύλωμα: Κ10, Όροφος 1

Γενικά δεδομένα

Κόμβοι	Αρχή: 10(0)	Τέλος: 10(1)	Μέλος: 15	
Διατομή	Ορθογωνική: 100/50 /d'=5,5			Υψος = 4,20 [m]
Υλικά	Σκυρόδεμα C30/37		Χάλυβας: B500C	Συνδετήρες: B500C
Κοντό= Οχι	Ητολ=0,00 - ασ=2,10			
Κανονισμός	Πλαστιμότητα :ΚΠΜ		Πλάστιμο Τοίχωμα:Οχι	Κύριο Μέλος
ΣΠΕΜ	[X] = 1,00	[Z] = 1,00		

Συντελεστές Ικανοτικού ελέγχου κόμβων

Κόμβος	Τοπ.Διευθ.	aCD_1	aCD_2
10(0)	Y	2,31	2,31
10(0)	Z	1,84	1,93
10(1)	Y	1,00	1,37
10(1)	Z	1,00	1,00

Διαστασιολόγηση σε κάμψη

Φόρτ [/]	Κόμβος [/]	vd [/]	NEd [kN]	MEdy [kNm]	MEdz [kNm]	Ποσοστό Επάρκειας	
ΣΣ:+z	10(0) +	-0,076	-764,50	-117,90	-589,06	100,48%	

Συντελεστές Ικανοτικού σχεδιασμού σε Τέμνουσα EC8-5.4.2.3(2)

Κόμβος	Τοπ.Διευθ.	(ΣMRb/ΣMRc)_1	(ΣMRb/ΣMRc)_2
10(0)	Y	0,34	0,36
10(0)	Z	0,67	0,67
10(1)	Y	0,34	0,31
10(1)	Z	0,36	0,51

Μέγιστα εγκάρσιου οπλισμού

Φορτ [/]	Διε [/]	vd [/]	VEd [kN]	TEd [kNm]	V'Rdc [kN]	VRdc [kN]	cotθ [/]	Συνδετήρες Λκρ=1,00 τμ.[mm/cm/cm]	ωwd [/]	
ΣΣ:+x	Y	-0,042	299,20	0,72	283,47	276,99	2,50	6τμ.ΣΦ8/16/20	0,12	
ΣΣ:-z	Z	-0,126	262,68	3,37	269,23	382,91	2,50	3τμ.ΣΦ8/16/20	0,12	

* ==> Αντίσταση σε τέμνουσα: Διε. Y: VRdmax = 2114,64kN - Διε. Z: VRdmax = 2245,32kN

Υποστύλωμα: K11, Όροφος 1

Γενικά δεδομένα

Κόμβοι	Αρχή: 11(0)	Τέλος: 11(1)	Μέλος: 19	
Διατομή	Ορθογωνική: 130/50 /d'=5,5		Υψος = 4,20 [m]	
Υλικά	Σκυρόδεμα C30/37	Χάλυβας: B500C	Συνδετήρες: B500C	
Κοντό= Οχι	Ητολ=0,00 - ασ=1,88			
Κανονισμός	Πλαστιμότητα :ΚΠΜ	Πλάστιμο Τοίχωμα:Οχι	Κύριο Μέλος	
ΣΠΕΜ	[X]= 1,00	[Z]= 1,00		

Συντελεστές Ικανοτικού ελέγχου κόμβων

Κόμβος	Τοπ.Διευθ.	aCD_1	aCD_2
11(0)	Y	2,14	2,87
11(0)	Z	2,88	2,88
11(1)	Y	1,21	2,00
11(1)	Z	1,76	1,76

Διαστασιολόγηση σε κάμψη

Φόρτ [/]	Κόμβος [/]	vd [/]	NEd [kN]	MEdy [kNm]	MEdz [kNm]	Ποσοστό Επάρκειας	
ΣΣ:-x	11(0) +	-0,135	-1750,07	2075,15	551,79	101,82%	

Συντελεστές Ικανοτικού σχεδιασμού σε Τέμνουσα EC8-5.4.2.3(2)

Κόμβος	Τοπ.Διευθ.	(ΣMRb/ΣMRc)_1	(ΣMRb/ΣMRc)_2
11(0)	Y	0,70	0,70
11(0)	Z	0,41	0,55
11(1)	Y	0,78	0,78
11(1)	Z	0,28	0,45

Μέγιστα εγκάρσιου οπλισμού

Φορτ [/]	Διε [/]	vd [/]	VEd [kN]	TEd [kNm]	V'Rdc [kN]	VRdc [kN]	cotθ [/]	Συνδετήρες Lκρ=1,30 τμ.[mm/cm/cm]	ωwd [/]	
ΣΣ:+x	Y	-0,072	544,39	1,03	354,94	458,82	2,50	7τμ.ΣΦ8/14/20	0,14	
ΣΣ:-x	Z	-0,072	890,70	1,60	381,87	435,82	2,28	3τμ.ΣΦ8/14/20	0,13	

* ==> Αντίσταση σε τέμνουσα: Διε. Y: VRdmax = 2749,03kN - Διε. Z: VRdmax = 2958,12kN

Υποστύλωμα: K12, Όροφος 1

Γενικά δεδομένα

Κόμβοι	Αρχή: 12(0)	Τέλος: 12(1)	Μέλος: 23	
Διατομή	Ορθογωνική: 100/50 /d'=5,5		Υψος = 4,20 [m]	
Υλικά	Σκυρόδεμα C30/37	Χάλυβας: B500C	Συνδετήρες: B500C	
Κοντό= Οχι	Ητολ=0,00 - ασ=2,36			
Κανονισμός	Πλαστιμότητα :ΚΠΜ	Πλάστιμο Τοίχωμα:Οχι	Κύριο Μέλος	
ΣΠΕΜ	[X]= 1,00	[Z]= 1,00		

Συντελεστές Ικανοτικού ελέγχου κόμβων

Κόμβος	Τοπ.Διευθ.	aCD_1	aCD_2
12(0)	Y	2,29	2,34
12(0)	Z	1,56	1,53
12(1)	Y	1,00	1,44
12(1)	Z	1,00	1,00

Διαστασιολόγηση σε κάμψη

Φόρτ [/]	Κόμβος [/]	vd [/]	NEd [kN]	MEdy [kNm]	MEdz [kNm]	Ποσοστό Επάρκειας	
ΣΣ:-x	12(0) +	-0,063	-633,86	43,43	-538,93	107,93%	

Συντελεστές Ικανοτικού σχεδιασμού σε Τέμνουσα EC8-5.4.2.3(2)

Κόμβος	Τοπ.Διευθ.	(ΣMRb/ΣMRc)_1	(ΣMRb/ΣMRc)_2
12(0)	Y	0,35	0,34
12(0)	Z	0,63	0,64
12(1)	Y	0,34	0,35
12(1)	Z	0,36	0,53

Μέγιστα εγκάρσιου οπλισμού

Φορτ [/]	Διε [/]	vd [/]	VEd [kN]	TEd [kNm]	V'Rdc [kN]	VRdc [kN]	cotθ [/]	Συνδετήρες Lκρ=1,00 τμ.[mm/cm/cm]	ωwd [/]	
ΣΣ:-x	Y	-0,029	282,00	1,11	288,40	258,63	2,50	6τμ.ΣΦ8/16/20	0,12	
ΣΣ:-z	Z	-0,029	246,69	3,37	306,23	245,10	2,50	3τμ.ΣΦ8/16/20	0,12	

* ==> Αντίσταση σε τέμνουσα: Διε. Y: VRdmax = 2114,64kN - Διε. Z: VRdmax = 2245,32kN

Διαστασιολόγηση υποστυλωμάτων ορόφου 2

Υποστύλωμα: K7, Όροφος 2

Γενικά δεδομένα

Κόμβοι	Αρχή: 7(1)	Τέλος: 7(2)	Μέλος: 4	
Διατομή	Ορθογωνική: 100/50 /d'=5,5			Υψος = 4,20 [m]
Υλικά	Σκυρόδεμα C30/37	Χάλυβας: B500C		Συνδετήρες: B500C
Κοντό= Οχι	Ητολ=0,00 - ασ=2,34			
Κανονισμός	Πλαστιμότητα :ΚΠΜ	Πλάστιμο Τοίχωμα:Οχι		Κύριο Μέλος
ΣΠΕΜ	[X]= 1,00	[Z]= 1,00		

Συντελεστές ελέγχου κόμβων

Κόμβος	Τοπ.Διευθ.			
7(1)	Y	aCD_1 = 2,63		aCD_2 = 1,82
7(1)	Z	aCD_1 = 2,05		aCD_2 = 1,86
7(2)	Y	aANK_1 = 1,01		aANK_2 = 1,00
7(2)	Z	aANK_1 = 1,00		aANK_2 = 1,00

Διαστασιολόγηση σε κάμψη

Φόρτ [/]	Κόμβος [/]	vd [/]	NEd [kN]	MEdy [kNm]	MEdz [kNm]	Ποσοστό Επάρκειας	
ΣΣ:-x	7(2) -	-0,041	-411,30	114,41	504,97	105,71%	

Συντελεστές Ικανοτικού σχεδιασμού σε Τέμνουσα EC8-5.4.2.3(2)

Κόμβος	Τοπ.Διευθ.	(ΣMRb/ΣMRc)_1	(ΣMRb/ΣMRc)_2
7(1)	Y	0,33	0,30
7(1)	Z	0,51	0,36
7(2)	Y	0,48	0,46
7(2)	Z	0,81	0,66

Μέγιστα εγκάρσιου οπλισμού

Φορτ [/]	Διε [/]	vd [/]	VEd [kN]	TEd [kNm]	V'Rdc [kN]	VRdc [kN]	cotθ [/]	Συνδετήρες Λκρ=1,00 τμ.[mm/cm/cm]	ωwd [/]	
ΣΣ:+x	Y	-0,023	296,27	0,42	290,47	250,91	2,50	6τμ.ΣΦ8/16/20	0,12	
ΣΣ:+z	Z	-0,023	215,42	2,13	308,38	237,10	2,50	3τμ.ΣΦ8/16/20	0,12	

* ==> Αντίσταση σε τέμνουσα: Διε. Y: VRdmax = 2114,64kN - Διε. Z: VRdmax = 2245,32kN

Υποστύλωμα: K8, Όροφος 2

Γενικά δεδομένα

Κόμβοι	Αρχή: 8(1)	Τέλος: 8(2)	Μέλος: 8	
Διατομή	Ορθογωνική: 130/50 /d'=5,5			Υψος = 4,20 [m]
Υλικά	Σκυρόδεμα C30/37	Χάλυβας: B500C		Συνδετήρες: B500C
Κοντό= Οχι	Ητολ=0,00 - ασ=2,03			
Κανονισμός	Πλαστιμότητα :ΚΠΜ	Πλάστιμο Τοίχωμα:Οχι		Κύριο Μέλος
ΣΠΕΜ	[X]= 1,00	[Z]= 1,00		

Συντελεστές ελέγχου κόμβων

Κόμβος	Τοπ.Διευθ.			
8(1)	Y	aCD_1 = 3,85		aCD_2 = 2,34
8(1)	Z	aCD_1 = 4,17		aCD_2 = 4,18
8(2)	Y	aANK_1 = 1,11		aANK_2 = 1,00
8(2)	Z	aANK_1 = 1,00		aANK_2 = 1,21

Διαστασιολόγηση σε κάμψη

Φόρτ [/]	Κόμβος [/]	vd [/]	NEd [kN]	MEdy [kNm]	MEdz [kNm]	Ποσοστό Επάρκειας	
ΣΣ:-z	8(2) -	-0,070	-907,10	-80,07	1060,48	104,26%	

Συντελεστές Ικανοτικού σχεδιασμού σε Τέμνουσα EC8-5.4.2.3(2)

Κόμβος	Τοπ.Διευθ.	(ΣMRb/ΣMRc)_1	(ΣMRb/ΣMRc)_2
8(1)	Y	0,78	0,78
8(1)	Z	0,45	0,28
8(2)	Y	1,00	1,00
8(2)	Z	0,93	0,71

Μέγιστα εγκάρσιου οπλισμού

Φορτ [/]	Διε [/]	vd [/]	VEd [kN]	TEd [kNm]	V'Rdc [kN]	VRdc [kN]	cotθ [/]	Συνδετήρες Λκρ=1,30 τμ.[mm/cm/cm]	ωwd [/]	
ΣΣ:+x	Y	-0,101	655,59	0,60	341,19	511,32	2,50	7τμ.ΣΦ8/14/20	0,14	
ΣΣ:+z	Z	-0,101	668,86	3,05	367,14	491,86	2,50	3τμ.ΣΦ8/14/20	0,13	

* ==> Αντίσταση σε τέμνουσα: Διε. Y: VRdmax = 2749,03kN - Διε. Z: VRdmax = 2958,12kN

Υποστύλωμα: Κ9, Όροφος 2

Γενικά δεδομένα

Κόμβοι	Αρχή: 9(1)	Τέλος: 9(2)	Μέλος: 12	
Διατομή	Ορθογωνική: 100/50 /d'=5,5			Υψος = 4,20 [m]
Υλικά	Σκυρόδεμα C30/37	Χάλυβας: B500C		Συνδετήρες: B500C
Κοντό = Οχι	Ητολ=0,00 - ασ=2,23			
Κανονισμός	Πλαστιμότητα :ΚΠΜ	Πλάστιμο Τοίχωμα:Οχι	Kύριο Μέλος	
ΣΠΕΜ	[X] = 1,00	[Z] = 1,00		

Συντελεστές ελέγχου κόμβων

Κόμβος	Τοπ.Διευθ.			
9(1)	Y		aCD_1 = 2,84	aCD_2 = 1,96
9(1)	Z		aCD_1 = 2,32	aCD_2 = 2,36
9(2)	Y		aANK_1 = 1,00	aANK_2 = 1,00
9(2)	Z		aCD_1 = 1,00	aCD_2 = 1,00

Διαστασιολόγηση σε κάμψη

Φόρτ [/]	Κόμβος [/]	vd [/]	NEd [kN]	MEdy [kNm]	MEdz [kNm]	Ποσοστό Επάρκειας	
ΣΣ: +z	9(2) -	-0,033	-326,37	-17,73	465,69	112,69%	

Συντελεστές Ικανοτικού σχεδιασμού σε Τέμνουσα EC8-5.4.2.3(2)

Κόμβος	Τοπ.Διευθ.	(ΣMRb/ΣMRc)_1	(ΣMRb/ΣMRc)_2
9(1)	Y	0,34	0,35
9(1)	Z	0,53	0,36
9(2)	Y	0,52	0,54
9(2)	Z	0,82	0,54

Μέγιστα εγκάρσιου οπλισμού

Φορτ [/]	Διε [/]	vd [/]	VEd [kN]	TEd [kNm]	V'Rdc [kN]	VRdc [kN]	cotθ [/]	Συνδετήρες Λκρ=1,00 τμ.[mm/cm/cm]	ωwd [/]	
ΣΣ:-x	Y	-0,051	283,50	0,67	280,35	288,60	2,50	6τμ.ΣΦ8/16/20	0,12	
ΣΣ:+z	Z	-0,018	192,39	2,13	310,31	229,92	2,50	3τμ.ΣΦ8/16/20	0,12	

* ==> Αντίσταση σε τέμνουσα: Διε. Y: VRdmax = 2114,64kN - Διε. Z: VRdmax = 2245,32kN

Υποστύλωμα: Κ10, Όροφος 2

Γενικά δεδομένα

Κόμβοι	Αρχή: 10(1)	Τέλος: 10(2)	Μέλος: 16	
Διατομή	Ορθογωνική: 100/50 /d'=5,5			Υψος = 4,20 [m]
Υλικά	Σκυρόδεμα C30/37	Χάλυβας: B500C		Συνδετήρες: B500C
Κοντό = Οχι	Ητολ=0,00 - ασ=2,33			
Κανονισμός	Πλαστιμότητα :ΚΠΜ	Πλάστιμο Τοίχωμα:Οχι	Kύριο Μέλος	
ΣΠΕΜ	[X] = 1,00	[Z] = 1,00		

Συντελεστές ελέγχου κόμβων

Κόμβος	Τοπ.Διευθ.			
10(1)	Y		aCD_1 = 1,83	aCD_2 = 2,64
10(1)	Z		aCD_1 = 2,06	aCD_2 = 1,87
10(2)	Y		aANK_1 = 1,00	aANK_2 = 1,01
10(2)	Z		aANK_1 = 1,00	aANK_2 = 1,00

Διαστασιολόγηση σε κάμψη

Φόρτ [/]	Κόμβος [/]	vd [/]	NEd [kN]	MEdy [kNm]	MEdz [kNm]	Ποσοστό Επάρκειας	
ΣΣ:-x	10(2) -	-0,041	-412,64	118,92	-504,63	105,78%	

Συντελεστές Ικανοτικού σχεδιασμού σε Τέμνουσα EC8-5.4.2.3(2)

Κόμβος	Τοπ.Διευθ.	(ΣMRb/ΣMRc)_1	(ΣMRb/ΣMRc)_2
10(1)	Y	0,34	0,31
10(1)	Z	0,36	0,51
10(2)	Y	0,48	0,46
10(2)	Z	0,66	0,81

Μέγιστα εγκάρσιου οπλισμού

Φορτ [/]	Διε [/]	vd [/]	VEd [kN]	TEd [kNm]	V'Rdc [kN]	VRdc [kN]	cotθ [/]	Συνδετήρες Λκρ=1,00 τμ.[mm/cm/cm]	ωwd [/]	
ΣΣ:+x	Y	-0,060	296,22	0,42	277,12	300,65	2,50	6τμ.ΣΦ8/16/20	0,12	
ΣΣ:-z	Z	-0,023	216,17	1,99	308,41	236,99	2,50	3τμ.ΣΦ8/16/20	0,12	

* ==> Αντίσταση σε τέμνουσα: Διε. Y: VRdmax = 2114,64kN - Διε. Z: VRdmax = 2245,32kN

Υποστύλωμα: K11, Όροφος 2

Γενικά δεδομένα

Κόμβοι	Αρχή: 11(1)	Τέλος: 11(2)	Μέλος: 20	
Διατομή	Ορθογωνική: 130/50 /d'=5,5			Υψος = 4,20 [m]
Υλικά	Σκυρόδεμα C30/37	Χάλυβας: B500C		Συνδετήρες: B500C
Κοντό = Οχι	Ητολ=0,00 - ασ=2,03			
Κανονισμός	Πλαστιμότητα :ΚΠΜ	Πλάστιμο Τοίχωμα:Οχι	Kύριο Μέλος	
ΣΠΕΜ	[X] = 1,00	[Z] = 1,00		

Συντελεστές ελέγχου κόμβων

Κόμβος	Τοπ.Διευθ.			
11(1)	Y	aCD_1 = 2,34		aCD_2 = 3,85
11(1)	Z	aCD_1 = 4,20		aCD_2 = 4,21
11(2)	Y	aANK_1 = 1,00		aANK_2 = 1,11
11(2)	Z	aANK_1 = 1,00		aANK_2 = 1,22

Διαστασιολόγηση σε κάμψη

Φόρτ [/]	Κόμβος [/]	vd [/]	NEd [kN]	MEdy [kNm]	MEdz [kNm]	Ποσοστό Επάρκειας	
ΣΣ:+z	11(2) -	-0,070	-906,39	-80,26	-1061,59	104,11%	

Συντελεστές Ικανοτικού σχεδιασμού σε Τέμνουσα EC8-5.4.2.3(2)

Κόμβος	Τοπ.Διευθ.	(ΣΜRb/ΣΜRc)_1	(ΣΜRb/ΣΜRc)_2
11(1)	Y	0,78	0,78
11(1)	Z	0,28	0,45
11(2)	Y	1,00	1,00
11(2)	Z	0,71	0,93

Μέγιστα εγκάρσιου οπλισμού

Φορτ [/]	Διε [/]	vd [/]	VEd [kN]	TEd [kNm]	V'Rdc [kN]	VRdc [kN]	cotθ [/]	Συνδετήρες Lκρ=1,30 τμ.[mm/cm/cm]	ωwd [/]	
ΣΣ:+x	Y	-0,036	655,65	0,60	371,64	397,89	2,50	7τμ.ΣΦ8/14/20	0,14	
ΣΣ:-z	Z	-0,101	667,79	2,86	367,16	491,79	2,50	3τμ.ΣΦ8/14/20	0,13	

* ==> Αντίσταση σε τέμνουσα: Διε. Y: VRdmax = 2749,03kN - Διε. Z: VRdmax = 2958,12kN

Υποστύλωμα: K12, Όροφος 2

Γενικά δεδομένα

Κόμβοι	Αρχή: 12(1)	Τέλος: 12(2)	Μέλος: 24	
Διατομή	Ορθογωνική: 100/50 /d'=5,5			Υψος = 4,20 [m]
Υλικά	Σκυρόδεμα C30/37	Χάλυβας: B500C		Συνδετήρες: B500C
Κοντό = Οχι	Ητολ=0,00 - ασ=2,22			
Κανονισμός	Πλαστιμότητα :ΚΠΜ	Πλάστιμο Τοίχωμα:Οχι	Kύριο Μέλος	
ΣΠΕΜ	[X] = 1,00	[Z] = 1,00		

Συντελεστές ελέγχου κόμβων

Κόμβος	Τοπ.Διευθ.			
12(1)	Y	aCD_1 = 1,96		aCD_2 = 2,84
12(1)	Z	aCD_1 = 2,34		aCD_2 = 2,39
12(2)	Y	aANK_1 = 1,00		aANK_2 = 1,00
12(2)	Z	aCD_1 = 1,00		aCD_2 = 1,00

Διαστασιολόγηση σε κάμψη

Φόρτ [/]	Κόμβος [/]	vd [/]	NEd [kN]	MEdy [kNm]	MEdz [kNm]	Ποσοστό Επάρκειας	
ΣΣ:+x	12(2) -	-0,034	-341,13	-55,77	-466,85	112,74%	

Συντελεστές Ικανοτικού σχεδιασμού σε Τέμνουσα EC8-5.4.2.3(2)

Κόμβος	Τοπ.Διευθ.	(ΣΜRb/ΣΜRc)_1	(ΣΜRb/ΣΜRc)_2
12(1)	Y	0,34	0,35
12(1)	Z	0,36	0,53
12(2)	Y	0,53	0,55
12(2)	Z	0,54	0,82

Μέγιστα εγκάρσιου οπλισμού

Φορτ [/]	Διε [/]	vd [/]	VEd [kN]	TEd [kNm]	V'Rdc [kN]	VRdc [kN]	cotθ [/]	Συνδετήρες Lκρ=1,00 τμ.[mm/cm/cm]	ωwd [/]	
ΣΣ:-x	Y	-0,018	283,52	0,67	292,25	244,29	2,50	6τμ.ΣΦ8/16/20	0,12	
ΣΣ:-z	Z	-0,018	193,36	1,99	310,30	229,96	2,50	3τμ.ΣΦ8/16/20	0,12	

* ==> Αντίσταση σε τέμνουσα: Διε. Y: VRdmax = 2114,64kN - Διε. Z: VRdmax = 2245,32kN

Συνολική προμέτρηση κτιρίου

Προμέτρηση πλακών ορόφου -2

Ποσότητες σιδηρού οπλισμού

Φ8	Φ10	Φ12	Φ14	Φ16	
2289,20	690,21	952,01	843,51	1623,19	Mέτρα
903,29	425,53	845,21	1019,30	2561,95	Kg B500C

Ποσότητες Σκυροδέματος - Σιδηρού οπλισμού

Επιφάνεια ξυλοτύπου Αφαιρούνται Ολική επιφάνεια ξυλοτύπου	[m ²] [m ²] [m ²]	177,30 0,00 177,30	Βάρος σιδηρού οπλισμού Ογκος Σκυροδέματος Αναλογία Σιδ/Σκυροδέμ.	[Kg] [m ³] [Kg/m ³]	5755,30 79,80 72,15
---	---	--------------------------	--	---	---------------------------

Προμέτρηση δοκών ορόφου -2

Ποσότητες σιδηρού οπλισμού

Φ10	Φ12	Φ20	
2134,01	428,51	1993,51	Mέτρα
1316,51	382,01	4916,01	Kg B500C

Ποσότητες Σκυροδέματος - Σιδηρού οπλισμού

Επιφάνεια ξυλοτύπου Αφαιρούνται Ολική επιφάνεια ξυλοτύπου	[m ²] [m ²] [m ²]	74,05 10,95 63,10	Βάρος σιδηρού οπλισμού Ογκος Σκυροδέματος Αναλογία Σιδ/Σκυροδέμ.	[Kg] [m ³] [Kg/m ³]	6614,55 28,95 228,50
---	---	-------------------------	--	---	----------------------------

Προμέτρηση: Σύνολο ορόφου :-2

Ποσότητες σιδηρού οπλισμού

Διάμετρος [mm]	Μήκος [m]	Kg B500C	Βάρος [Kgr]	
Φ8	2289,20		903,30	
Φ10	2824,20		1742,05	
Φ12	1380,50		1227,20	
Φ14	843,50		1019,30	
Φ16	1623,20		2561,95	
Φ20	1993,50		4916,00	

Ποσότητες Σκυροδέματος - Σιδηρού οπλισμού

Επιφάνεια ξυλοτύπου Αφαιρούνται Ολική επιφάνεια ξυλοτύπου	[m ²] [m ²] [m ²]	251,35 10,95 240,40	Βάρος σιδηρού οπλισμού Ογκος Σκυροδέματος Αναλογία Σιδ/Σκυροδέμ.	[Kg] [m ³] [Kg/m ³]	12369,80 108,75 113,75
---	---	---------------------------	--	---	------------------------------

Προμέτρηση πλακών ορόφου -1

Ποσότητες σιδηρού οπλισμού

Φ8	Φ10	Φ12	Φ16	
71,52	752,26	370,05	457,01	Mέτρα
28,22	463,80	328,55	721,31	Kg B500C

Ποσότητες Σκυροδέματος - Σιδηρού οπλισμού

Επιφάνεια ξυλοτύπου Αφαιρούνται Ολική επιφάνεια ξυλοτύπου	[m ²] [m ²] [m ²]	177,30 0,00 177,30	Βάρος σιδηρού οπλισμού Ογκος Σκυροδέματος Αναλογία Σιδ/Σκυροδέμ.	[Kg] [m ³] [Kg/m ³]	1541,90 61,95 24,90
---	---	--------------------------	--	---	---------------------------

Προμέτρηση δοκών ορόφου -1

Ποσότητες σιδηρού οπλισμού

Φ8	Φ10	Φ12	Φ14	Φ16	Φ18	Φ20	
240,51	2016,01	2,01	27,51	63,01	274,01	546,01	Mέτρα
95,01	1243,51	1,51	33,51	99,51	547,51	1346,51	Kg B500C

Ποσότητες Σκυροδέματος - Σιδηρού οπλισμού

Επιφάνεια ξυλοτύπου Αφαιρούνται Ολική επιφάνεια ξυλοτύπου	[m ²] [m ²] [m ²]	75,60 4,05 71,55	Βάρος σιδηρού οπλισμού Ογκος Σκυροδέματος Αναλογία Σιδ/Σκυροδέμ.	[Kg] [m ³] [Kg/m ³]	3367,05 11,60 290,25
---	---	------------------------	--	---	----------------------------

Προμέτρηση στύλων ορόφου -1

Ποσότητες σιδηρού οπλισμού

Φ8	Φ14	Φ16	Φ18	Φ20	
1574,62	22,51	7,72	245,53	447,71	Mέτρα
621,33	27,20	12,19	490,46	1104,10	Kg B500C

Ποσότητες Σκυροδέματος - Σιδηρού οπλισμού

Επιφάνεια ξυλοτύπου Αφαιρούνται Ολική επιφάνεια ξυλοτύπου	[m ²] [m ²] [m ²]	84,60 0,00 84,60	Βάρος σιδηρού οπλισμού Ογκος Σκυροδέματος Αναλογία Σιδ/Σκυροδέμ.	[Kg] [m ³] [Kg/m ³]	2255,30 14,40 156,60
---	---	------------------------	--	---	----------------------------

Προμέτρηση: Σύνολο ορόφου :-1**Ποσότητες σιδηρού οπλισμού**

Διάμετρος [mm]	Μήκος [m]	Kg B500C	Βάρος [Kgr]	
Φ8	1886,65	744,55		
Φ10	2768,25	1707,30		
Φ12	372,05	330,05		
Φ14	50,00	60,70		
Φ16	527,70	833,00		
Φ18	519,50	1037,95		
Φ20	993,70	2450,60		

Ποσότητες Σκυροδέματος - Σιδηρού οπλισμού

Επιφάνεια ξυλοτύπου Αφαιρούνται Ολική επιφάνεια ξυλοτύπου	[m ²] [m ²] [m ²]	337,50 4,05 333,45	Βάρος σιδηρού οπλισμού Ογκος Σκυροδέματος Αναλογία Σιδ/Σκυροδέμ.	[Kg] [m ³] [Kg/m ³]	7164,15 87,95 81,45
---	---	--------------------------	--	---	---------------------------

Προμέτρηση πλακών ορόφου 0**Ποσότητες σιδηρού οπλισμού**

Φ8	Φ10	Φ12	Φ16	
71,52	752,26	370,05	457,01	Mέτρα
28,22	463,80	328,55	721,31	Kg B500C

Ποσότητες Σκυροδέματος - Σιδηρού οπλισμού

Επιφάνεια ξυλοτύπου Αφαιρούνται Ολική επιφάνεια ξυλοτύπου	[m ²] [m ²] [m ²]	177,30 0,00 177,30	Βάρος σιδηρού οπλισμού Ογκος Σκυροδέματος Αναλογία Σιδ/Σκυροδέμ.	[Kg] [m ³] [Kg/m ³]	1541,90 61,95 24,90
---	---	--------------------------	--	---	---------------------------

Προμέτρηση δοκών ορόφου 0**Ποσότητες σιδηρού οπλισμού**

Φ8	Φ12	Φ18	Φ20	
1294,51	287,01	510,01	1014,51	Mέτρα
510,51	255,01	1018,51	2502,51	Kg B500C

Ποσότητες Σκυροδέματος - Σιδηρού οπλισμού

Επιφάνεια ξυλοτύπου Αφαιρούνται Ολική επιφάνεια ξυλοτύπου	[m ²] [m ²] [m ²]	31,65 2,20 29,45	Βάρος σιδηρού οπλισμού Ογκος Σκυροδέματος Αναλογία Σιδ/Σκυροδέμ.	[Kg] [m ³] [Kg/m ³]	4286,55 8,95 478,95
---	---	------------------------	--	---	---------------------------

Προμέτρηση στύλων ορόφου 0**Ποσότητες σιδηρού οπλισμού**

Φ8	Φ18	Φ20		
2028,08	533,53	691,85	Mέτρα	
800,26	1065,76	1706,19	Kg B500C	

Ποσότητες Σκυροδέματος - Σιδηρού οπλισμού

Επιφάνεια ξυλοτύπου Αφαιρούνται Ολική επιφάνεια ξυλοτύπου	[m ²] [m ²] [m ²]	123,85 0,00 123,85	Βάρος σιδηρού οπλισμού Ογκος Σκυροδέματος Αναλογία Σιδ/Σκυροδέμ.	[Kg] [m ³] [Kg/m ³]	3572,20 21,30 167,85
---	---	--------------------------	--	---	----------------------------

Προμέτρηση: Σύνολο ορόφου :0

Ποσότητες σιδηρού οπλισμού

Διάμετρος [mm]	Μήκος [m]	Kg B500C Βάρος [Kgr]	
Φ8	3394,10	1338,95	
Φ10	752,25	463,80	
Φ12	657,05	583,55	
Φ16	457,00	721,30	
Φ18	1043,50	2084,25	
Φ20	1706,35	4208,70	

Ποσότητες Σκυροδέματος - Σιδηρού οπλισμού

Επιφάνεια ξυλοτύπου Αφαιρούνται Ολική επιφάνεια ξυλοτύπου	[m ²] [m ²] [m ²]	332,80 2,20 330,60	Βάρος σιδηρού οπλισμού Ογκός Σκυροδέματος Αναλογία Σιδ/Σκυροδέμ.	[Kg] [m ³] [Kg/m ³]	9400,55 92,15 102,00
---	---	--------------------------	--	---	----------------------------

Προμέτρηση πλακών ορόφου 1**Ποσότητες σιδηρού οπλισμού**

Φ8	Φ10	Φ12	Φ16	
71,52	752,26	370,05	457,01	Μέτρα
28,22	463,80	328,55	721,31	Kg B500C

Ποσότητες Σκυροδέματος - Σιδηρού οπλισμού

Επιφάνεια ξυλοτύπου Αφαιρούνται Ολική επιφάνεια ξυλοτύπου	[m ²] [m ²] [m ²]	177,30 0,00 177,30	Βάρος σιδηρού οπλισμού Ογκός Σκυροδέματος Αναλογία Σιδ/Σκυροδέμ.	[Kg] [m ³] [Kg/m ³]	1541,90 61,95 24,90
---	---	--------------------------	--	---	---------------------------

Προμέτρηση δοκών ορόφου 1**Ποσότητες σιδηρού οπλισμού**

Φ8	Φ12	Φ18	Φ20	
1169,51	281,01	274,51	655,01	Μέτρα
461,01	250,01	550,01	1617,51	Kg B500C

Ποσότητες Σκυροδέματος - Σιδηρού οπλισμού

Επιφάνεια ξυλοτύπου Αφαιρούνται Ολική επιφάνεια ξυλοτύπου	[m ²] [m ²] [m ²]	31,65 2,20 29,45	Βάρος σιδηρού οπλισμού Ογκός Σκυροδέματος Αναλογία Σιδ/Σκυροδέμ.	[Kg] [m ³] [Kg/m ³]	2878,55 8,95 321,60
---	---	------------------------	--	---	---------------------------

Προμέτρηση στύλων ορόφου 1**Ποσότητες σιδηρού οπλισμού**

Φ8	Φ18	Φ20	
1317,72	371,52	379,45	Μέτρα
519,96	742,15	935,77	Kg B500C

Ποσότητες Σκυροδέματος - Σιδηρού οπλισμού

Επιφάνεια ξυλοτύπου Αφαιρούνται Ολική επιφάνεια ξυλοτύπου	[m ²] [m ²] [m ²]	80,65 0,00 80,65	Βάρος σιδηρού οπλισμού Ογκός Σκυροδέματος Αναλογία Σιδ/Σκυροδέμ.	[Kg] [m ³] [Kg/m ³]	2197,90 13,85 158,60
---	---	------------------------	--	---	----------------------------

Προμέτρηση: Σύνολο ορόφου :1**Ποσότητες σιδηρού οπλισμού**

Διάμετρος [mm]	Μήκος [m]	Kg B500C Βάρος [Kgr]	
Φ8	2558,75	1009,15	
Φ10	752,25	463,80	
Φ12	651,05	578,55	
Φ16	457,00	721,30	
Φ18	646,00	1292,15	
Φ20	1034,45	2553,25	

Ποσότητες Σκυροδέματος - Σιδηρού οπλισμού

Επιφάνεια ξυλοτύπου Αφαιρούνται Ολική επιφάνεια ξυλοτύπου	[m ²] [m ²] [m ²]	289,60 2,20 287,40	Βάρος σιδηρού οπλισμού Ογκός Σκυροδέματος Αναλογία Σιδ/Σκυροδέμ.	[Kg] [m ³] [Kg/m ³]	6618,20 84,75 78,10
---	---	--------------------------	--	---	---------------------------

Προμέτρηση πλακών ορόφου 2

Ποσότητες σιδηρού οπλισμού

Φ8	Φ10	Φ12	Φ16	Mέτρα Kg B500C
71,52	752,26	370,05	457,01	
28,22	463,80	328,55	721,31	

Ποσότητες Σκυροδέματος - Σιδηρού οπλισμού

Επιφάνεια ξυλοτύπου Αφαιρούνται Ολική επιφάνεια ξυλοτύπου	[m ²] [m ²] [m ²]	177,30 0,00 177,30	Βάρος σιδηρού οπλισμού Ογκος Σκυροδέματος Αναλογία Σιδ/Σκυροδέμ.	[Kg] [m ³] [Kg/m ³]	1541,90 61,95 24,90
---	---	--------------------------	--	---	---------------------------

Προμέτρηση δοκών ορόφου 2**Ποσότητες σιδηρού οπλισμού**

Φ8	Φ12	Φ16	Φ18	Φ20	Mέτρα Kg B500C
1215,51	279,01	78,01	432,51	287,51	
479,51	248,01	124,01	864,01	708,51	

Ποσότητες Σκυροδέματος - Σιδηρού οπλισμού

Επιφάνεια ξυλοτύπου Αφαιρούνται Ολική επιφάνεια ξυλοτύπου	[m ²] [m ²] [m ²]	31,65 2,20 29,45	Βάρος σιδηρού οπλισμού Ογκος Σκυροδέματος Αναλογία Σιδ/Σκυροδέμ.	[Kg] [m ³] [Kg/m ³]	2424,05 8,95 270,85
---	---	------------------------	--	---	---------------------------

Προμέτρηση στύλων ορόφου 2**Ποσότητες σιδηρού οπλισμού**

Φ8	Φ18	Φ20	Mέτρα Kg B500C
1336,48	350,89	400,52	
527,35	700,91	987,74	

Ποσότητες Σκυροδέματος - Σιδηρού οπλισμού

Επιφάνεια ξυλοτύπου Αφαιρούνται Ολική επιφάνεια ξυλοτύπου	[m ²] [m ²] [m ²]	80,65 0,00 80,65	Βάρος σιδηρού οπλισμού Ογκος Σκυροδέματος Αναλογία Σιδ/Σκυροδέμ.	[Kg] [m ³] [Kg/m ³]	2216,00 13,85 159,90
---	---	------------------------	--	---	----------------------------

Προμέτρηση: Σύνολο ορόφου :2**Ποσότητες σιδηρού οπλισμού**

Διάμετρος [mm]	Μήκος [m]	Kg B500C Βάρος [Kgr]
Φ8	2623,50	1035,05
Φ10	752,25	463,80
Φ12	649,05	576,55
Φ16	535,00	845,30
Φ18	783,40	1564,90
Φ20	688,00	1696,25

Ποσότητες Σκυροδέματος - Σιδηρού οπλισμού

Επιφάνεια ξυλοτύπου Αφαιρούνται Ολική επιφάνεια ξυλοτύπου	[m ²] [m ²] [m ²]	289,60 2,20 287,40	Βάρος σιδηρού οπλισμού Ογκος Σκυροδέματος Αναλογία Σιδ/Σκυροδέμ.	[Kg] [m ³] [Kg/m ³]	6181,85 84,75 72,95
---	---	--------------------------	--	---	---------------------------

Προμέτρηση: Σύνολο κτιρίου**Ποσότητες σιδηρού οπλισμού**

Διάμετρος [mm]	Μήκος [m]	Kg B500C Βάρος [Kgr]
Φ8	12752,20	5031,05
Φ10	7849,20	4840,70
Φ12	3709,70	3295,85
Φ14	893,50	1080,00
Φ16	3599,90	5682,85
Φ18	2992,45	5979,25
Φ20	6416,00	15824,80

Ποσότητες Σκυροδέματος - Σιδηρού οπλισμού

Επιφάνεια ξυλοτύπου Αφαιρούνται Ολική επιφάνεια ξυλοτύπου	[m ²] [m ²] [m ²]	1500,85 21,60 1479,25	Βάρος σιδηρού οπλισμού Ογκος Σκυροδέματος Αναλογία Σιδ/Σκυροδέμ.	[Kg] [m ³] [Kg/m ³]	41734,50 458,35 91,05
---	---	-----------------------------	--	---	-----------------------------

